

Ρινική κοιλότητα, παραρρινιοι κόλποι και ενδοσκοπική εικόνα της ρινικής κοιλότητας

Χρίστος Γεωργάλας PhD MRCS(Ed) DLO(Eng) FRCS (ORL-HNS)

Endoscopic Skull Base Athens (ESA) - Νοσ. Υγεία /
Leiden University Medical Centre, Leiden , Netherlands

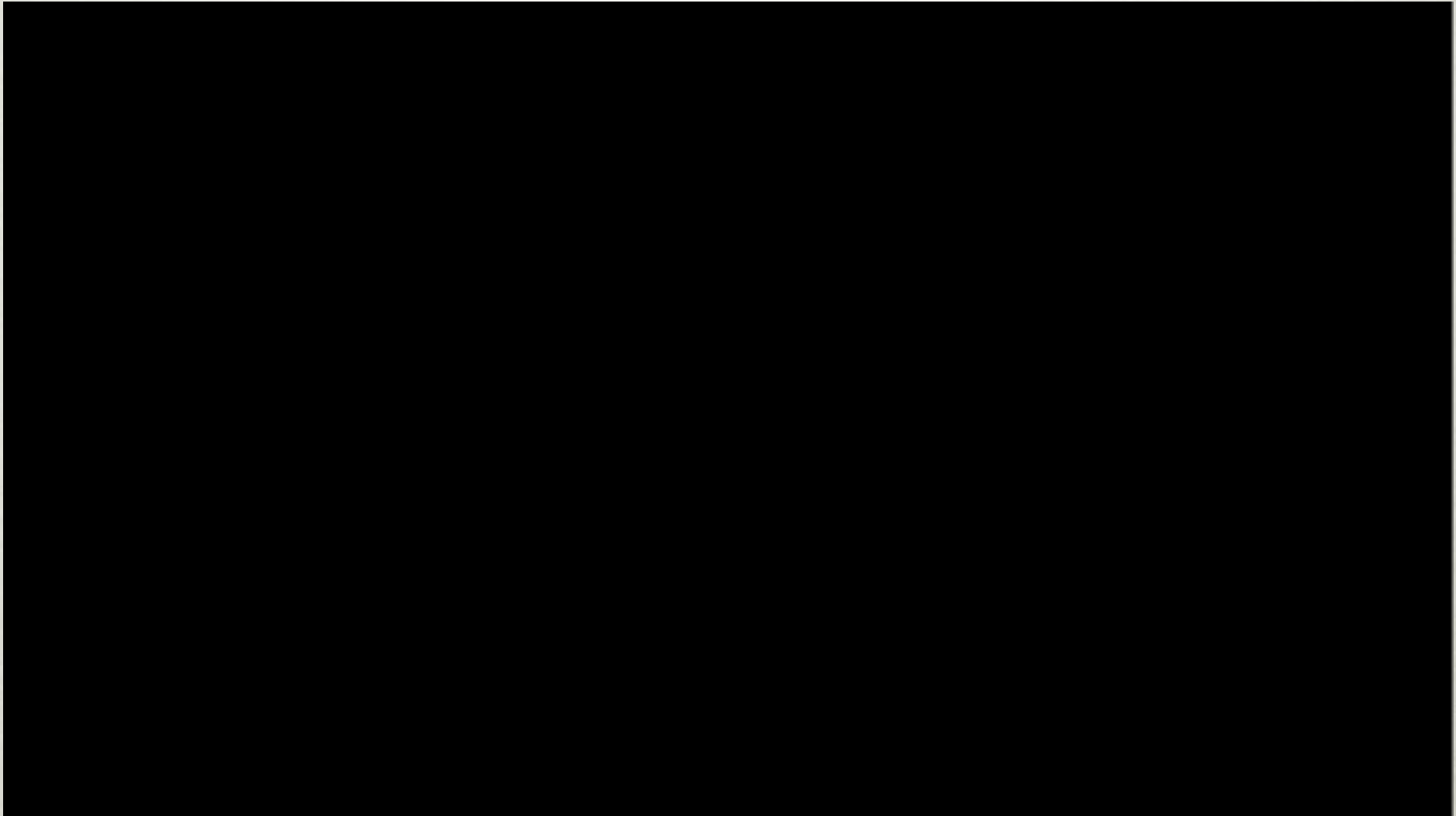


ΕΘΝΙΚΟ ΚΑΠΟΔΙΣΤΡΙΑΚΟ ΠΑΝΕΠΙΣΤΗΜΙΟ ΑΘΗΝΩΝ

ΙΑΤΡΙΚΗ ΣΧΟΛΗ

ΠΡΟΓΡΑΜΜΑ ΜΕΤΑΠΤΥΧΙΑΚΩΝ ΣΠΟΥΔΩΝ

“ΕΦΑΡΜΟΣΜΕΝΗ ΝΕΥΡΟΑΝΑΤΟΜΙΑ”



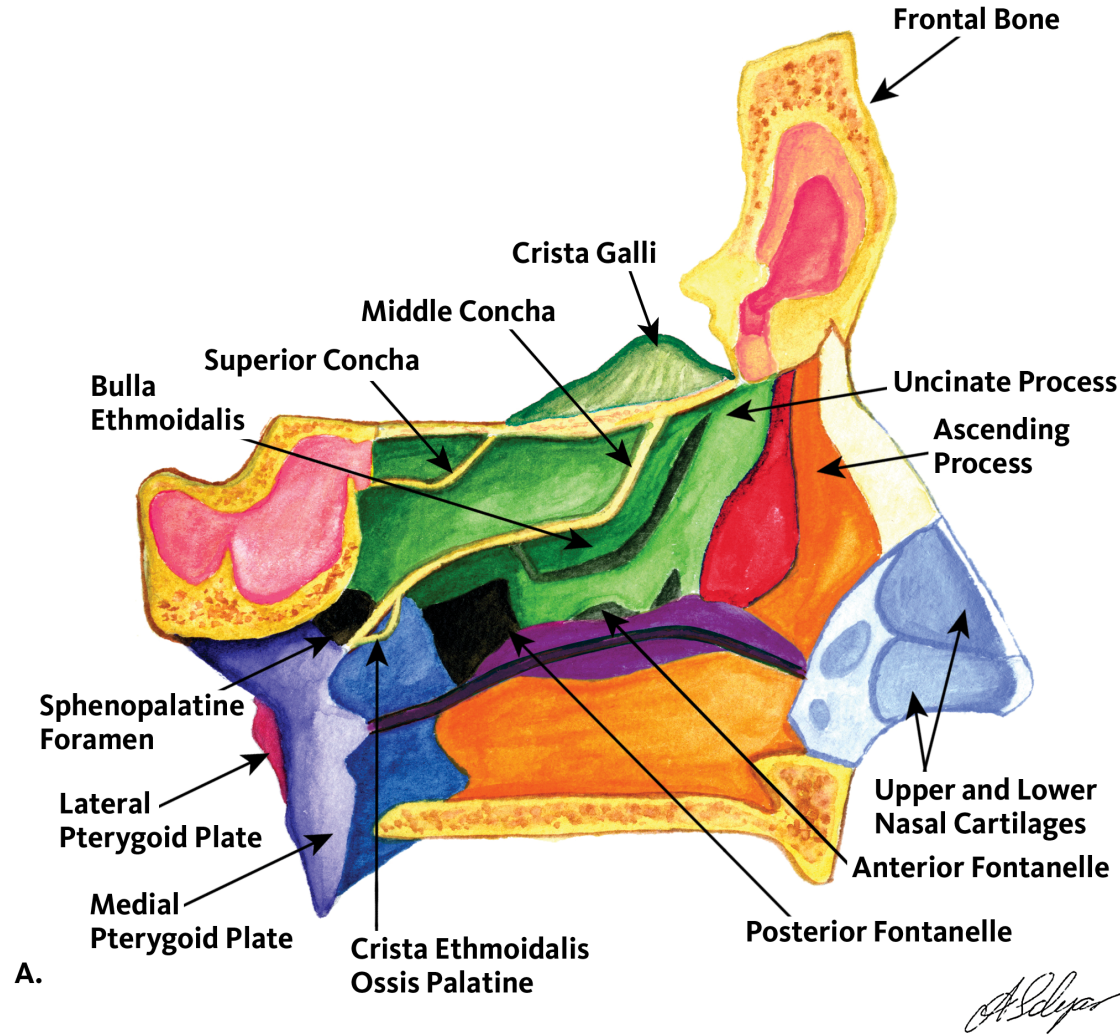
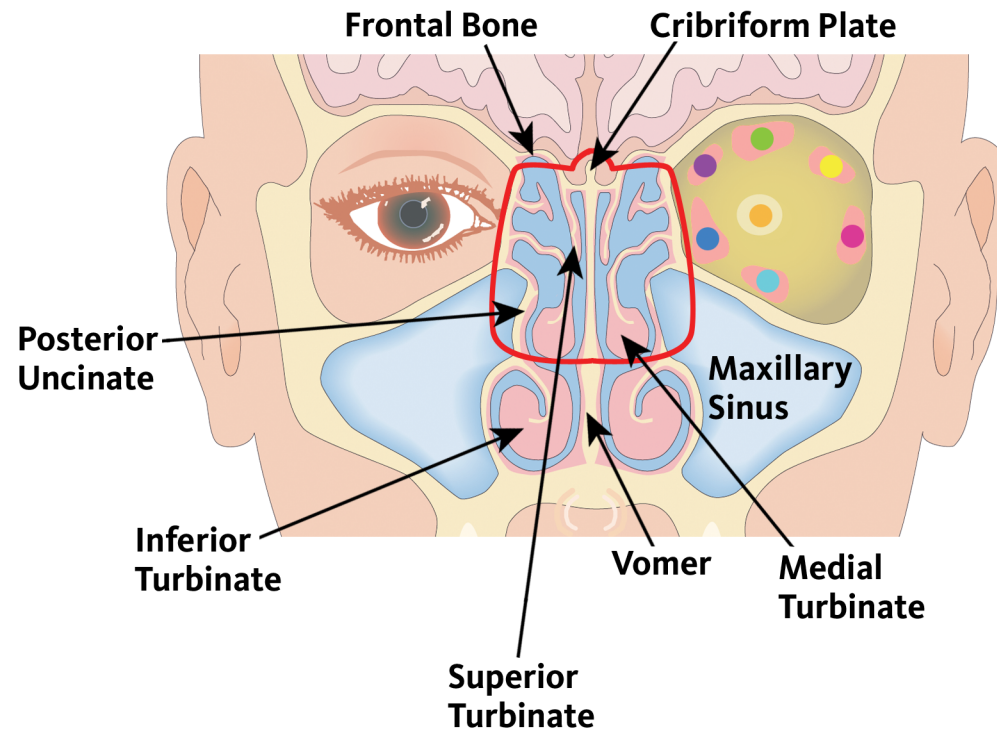


Figure 1.10 A

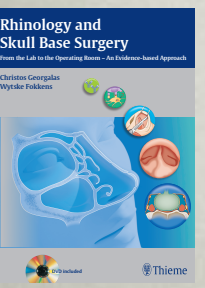
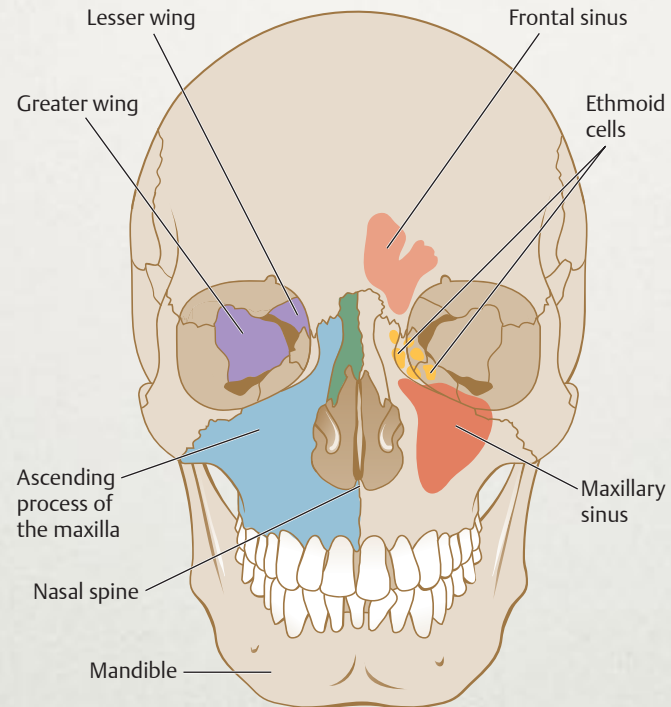
From: Georgalas et al : Rhinology and Skull Base Surgery, Thieme Publications, 2013



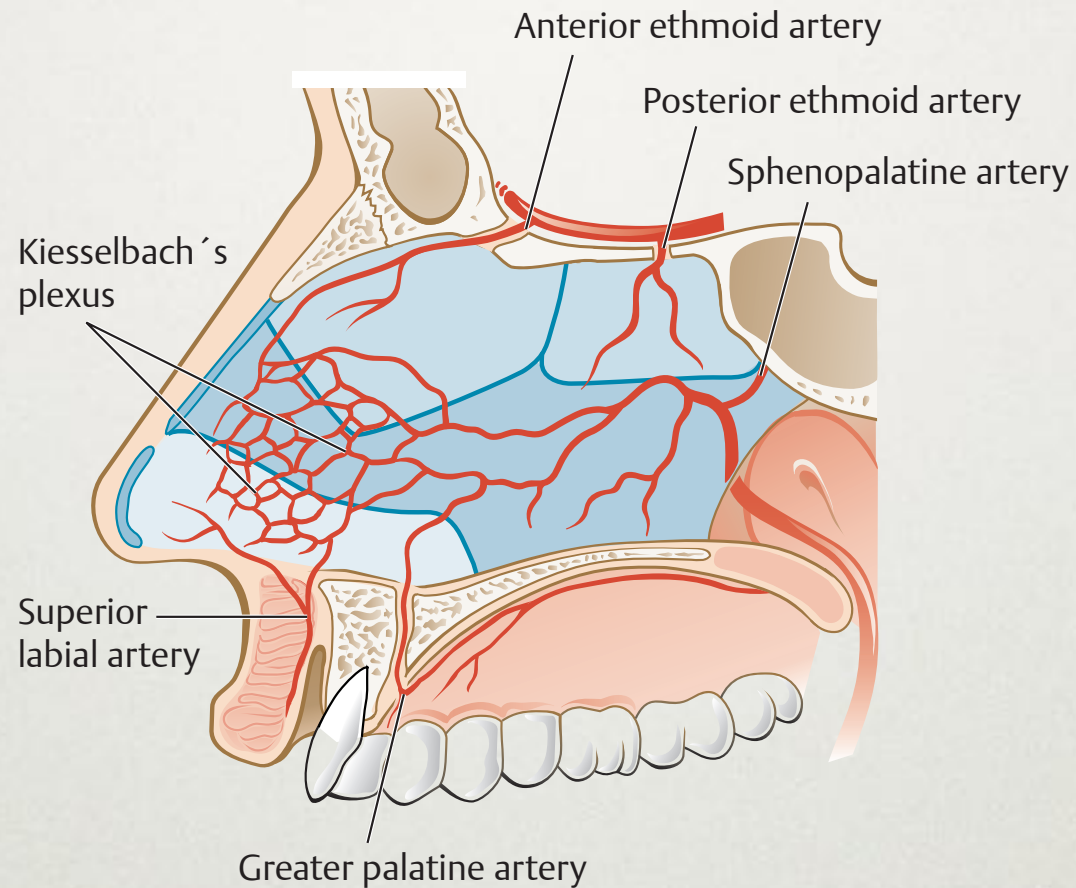
B.

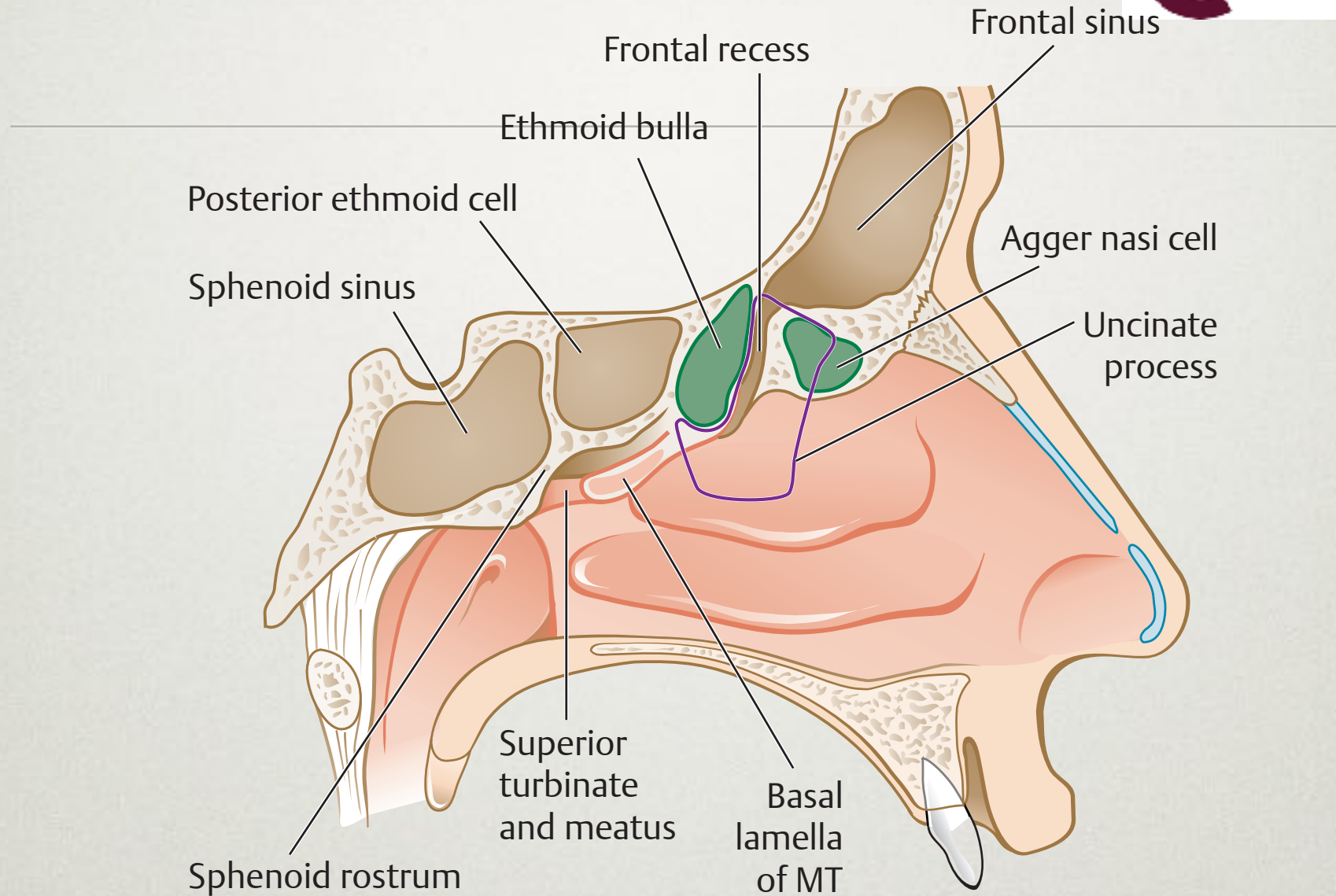
Figure 1.10 B

From: Georgalas et al : Rhinology and Skull Base Surgery, Thieme Publications, 2013

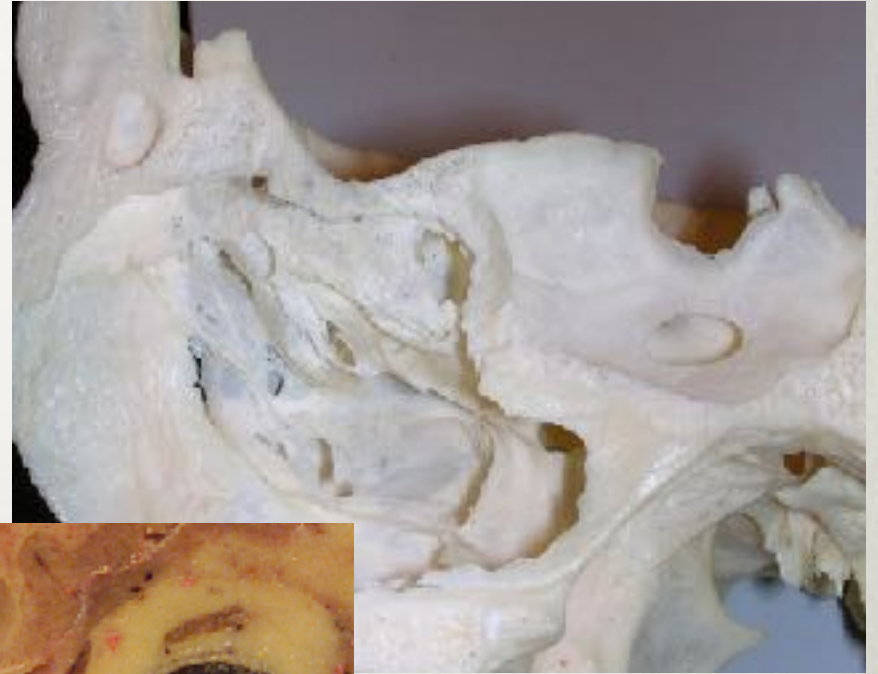
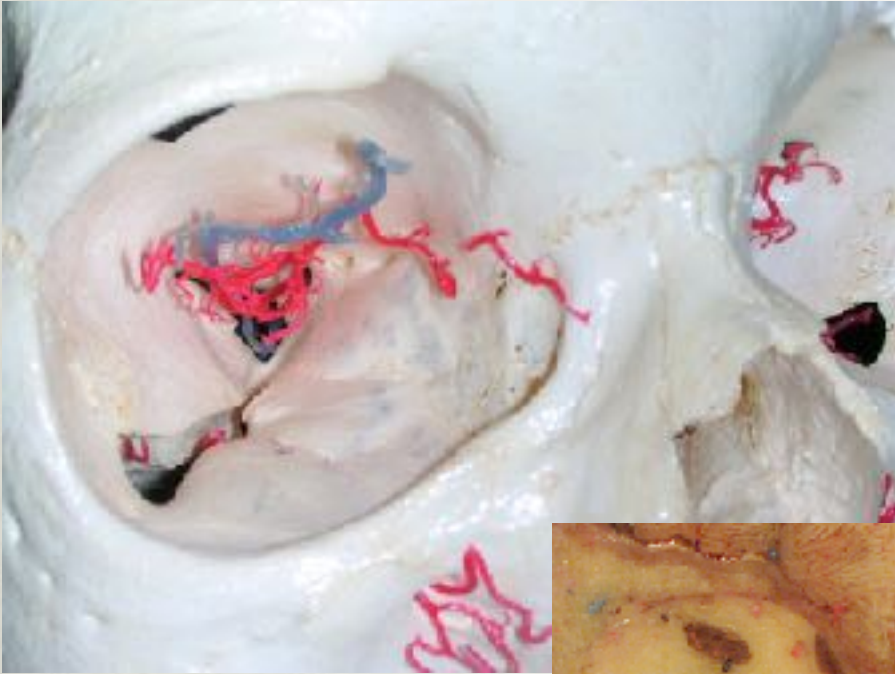


From: Georgalas et al : Rhinology and Skull Base Surgery, Thieme Publications, 2013



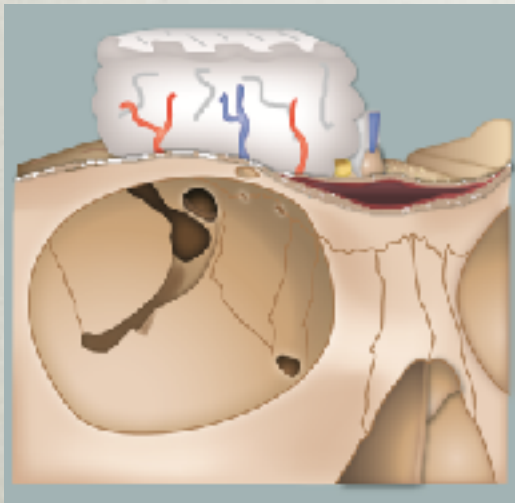


Sino-orbito-cranial interface

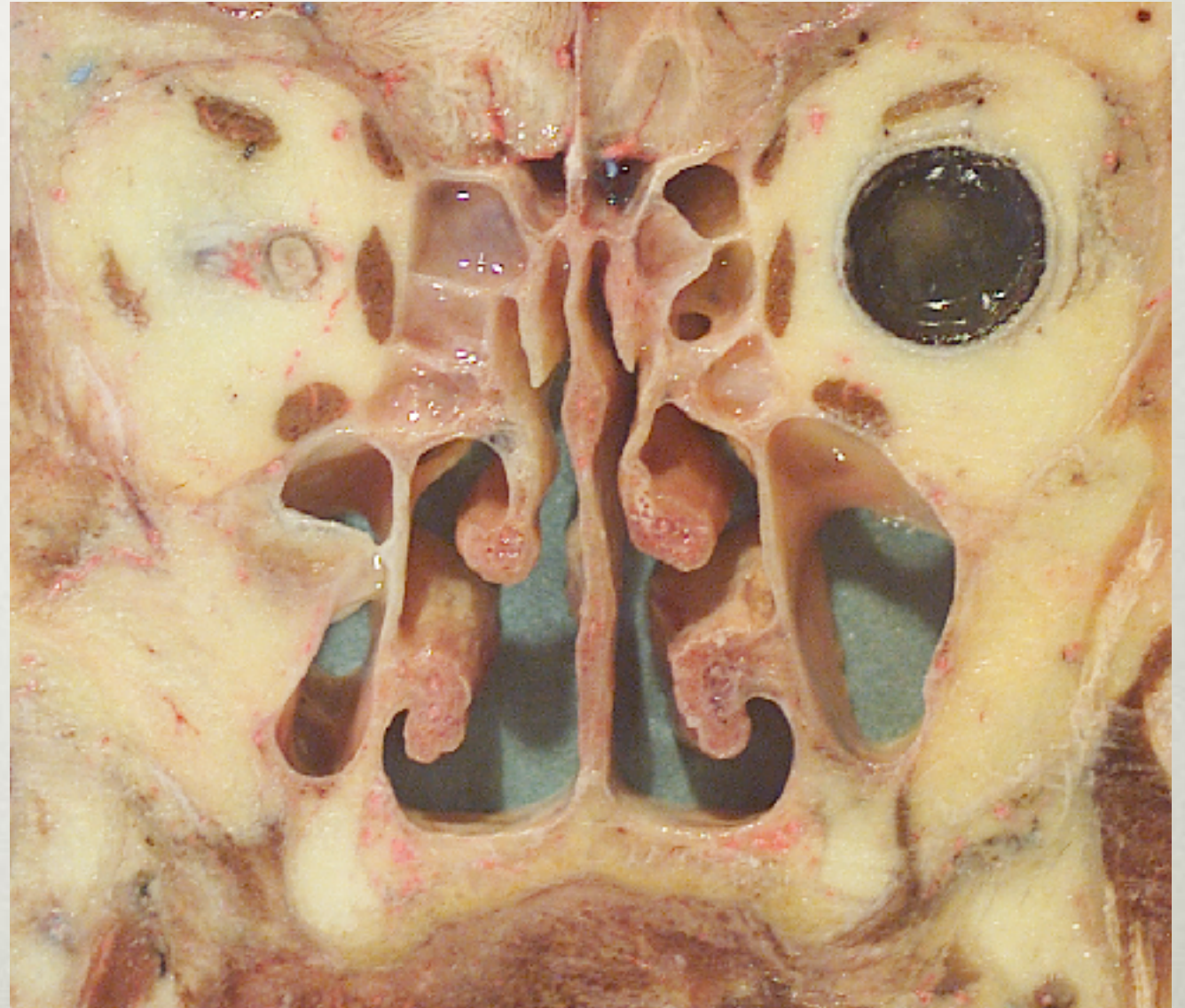
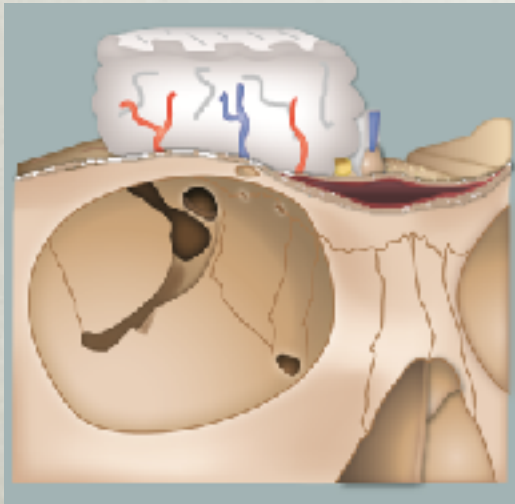


Thanks to Iacopo Dallan!

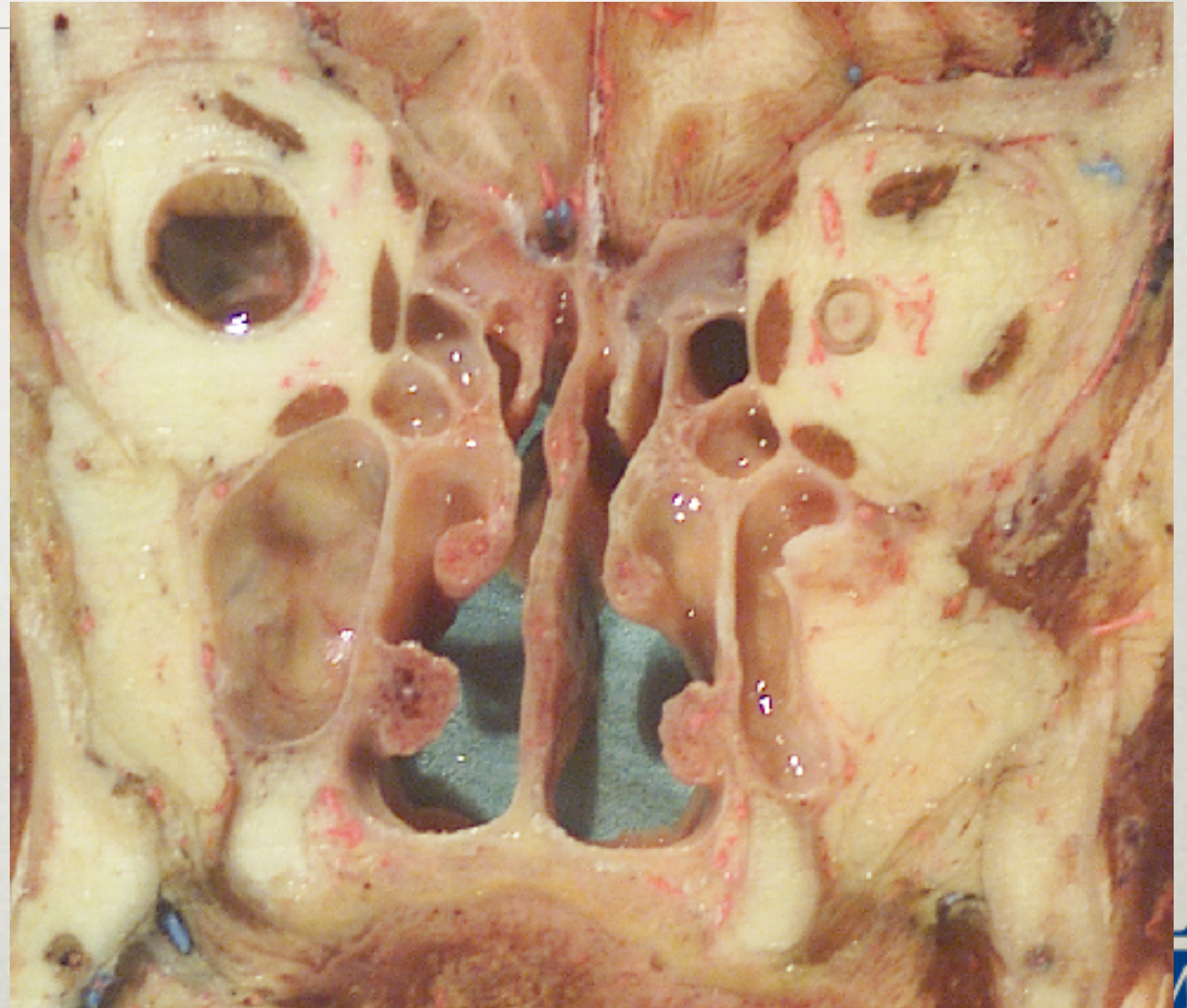
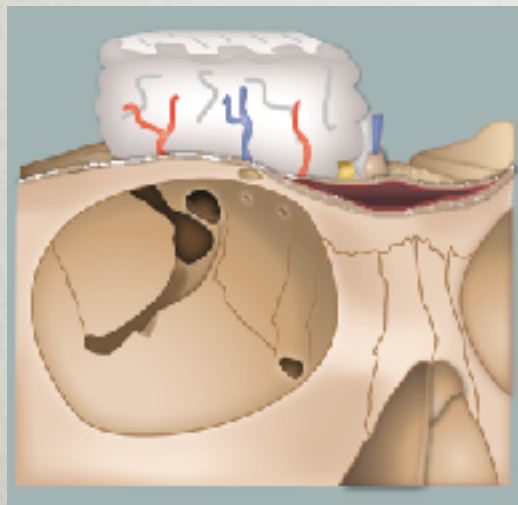
Sino-orbito-cranial interface



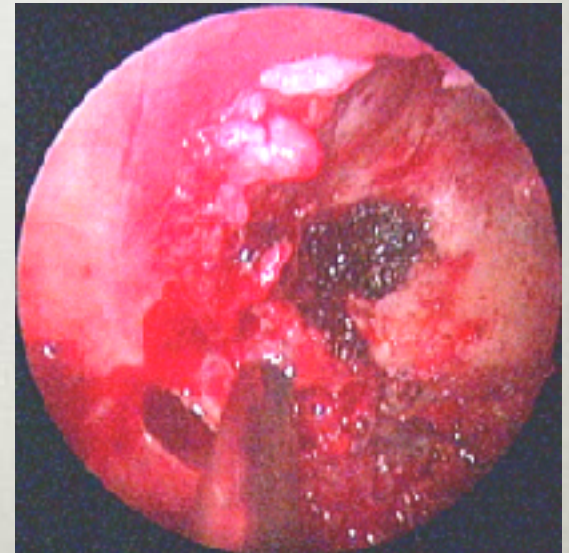
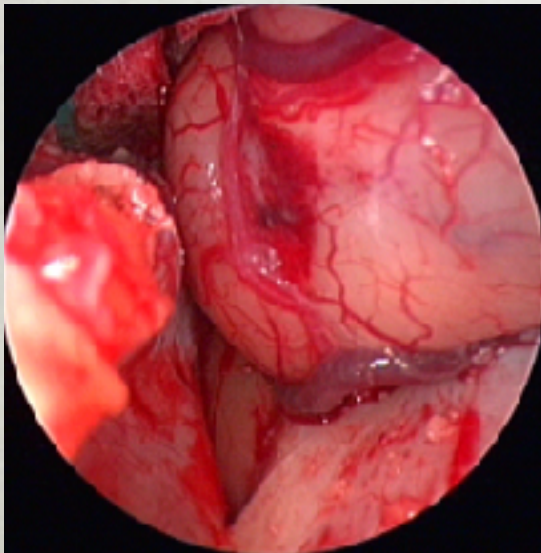
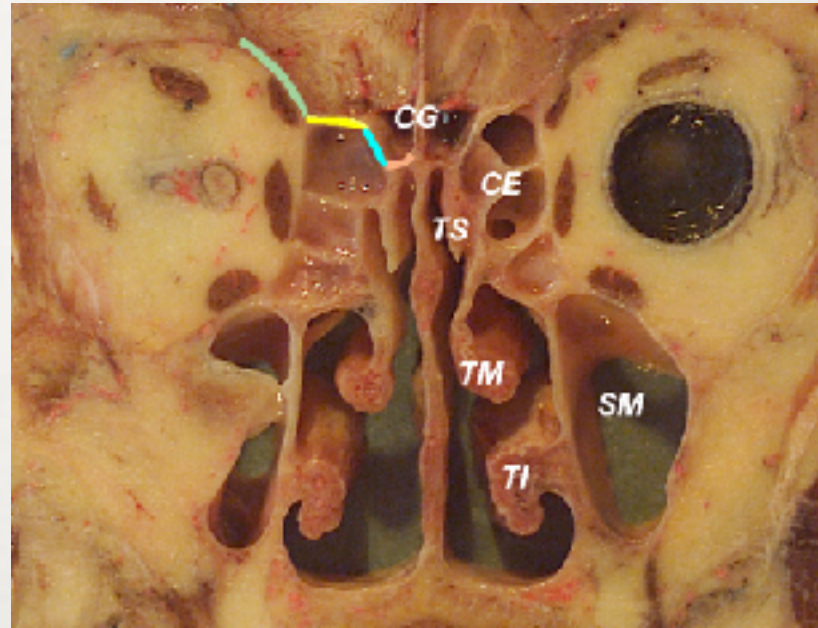
Sino-orbito-cranial interface



Sino-orbito-cranial interface



Sino-orbito-cranial interface

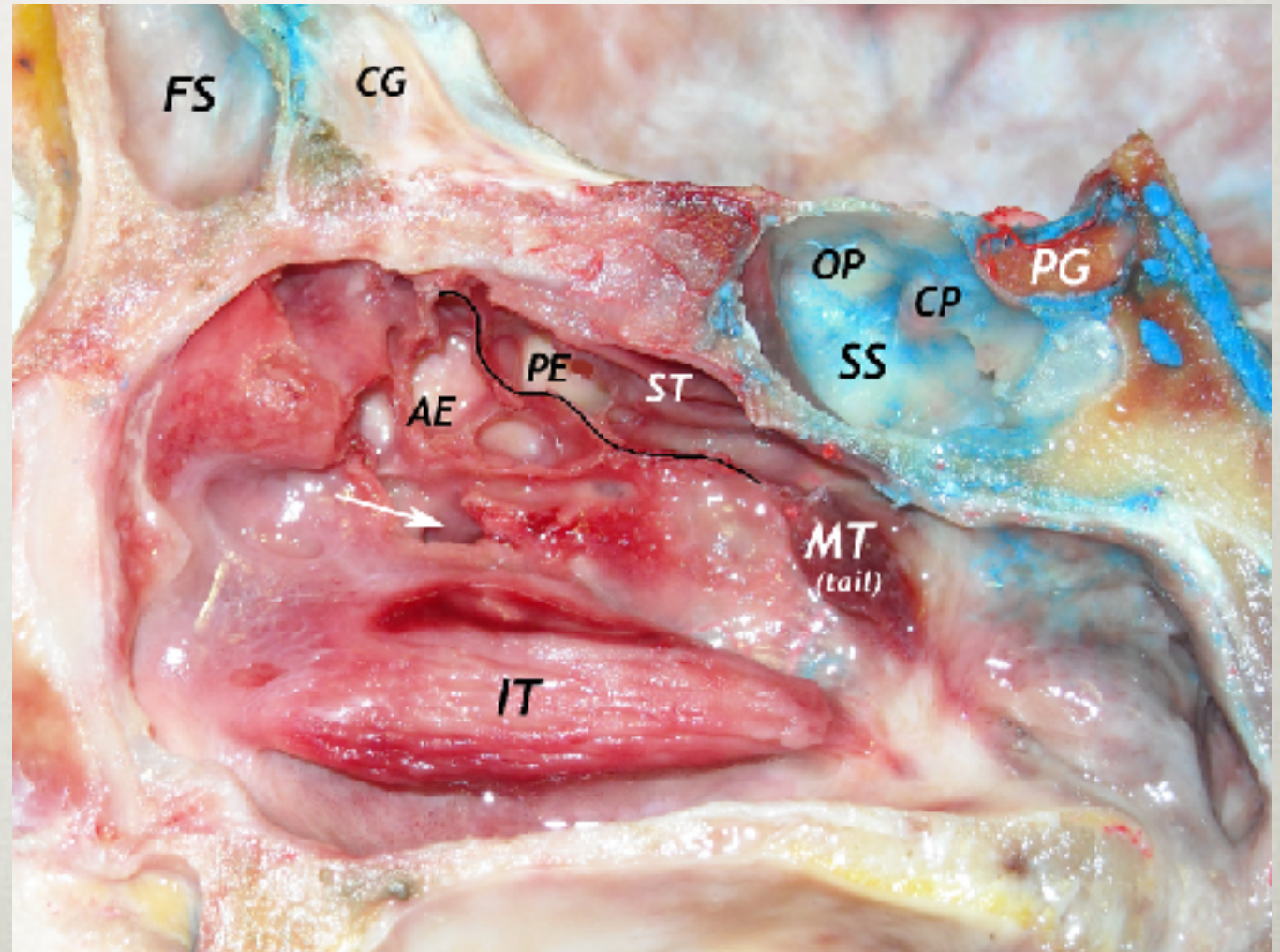


Ethmoidal box

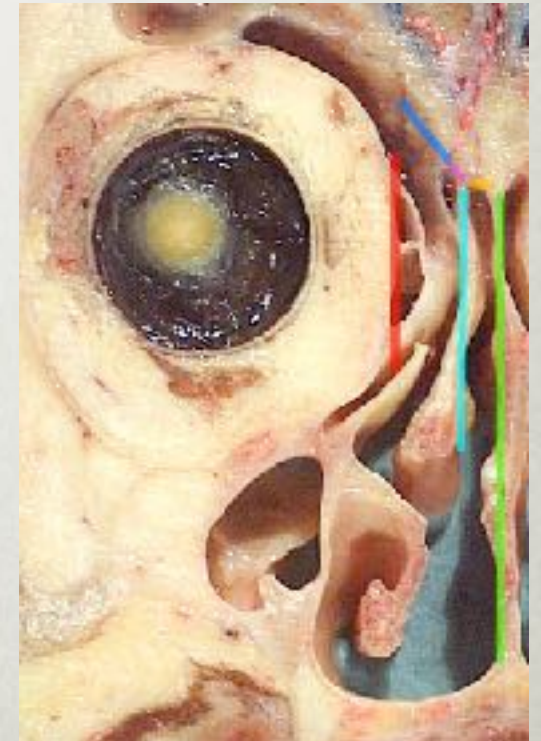
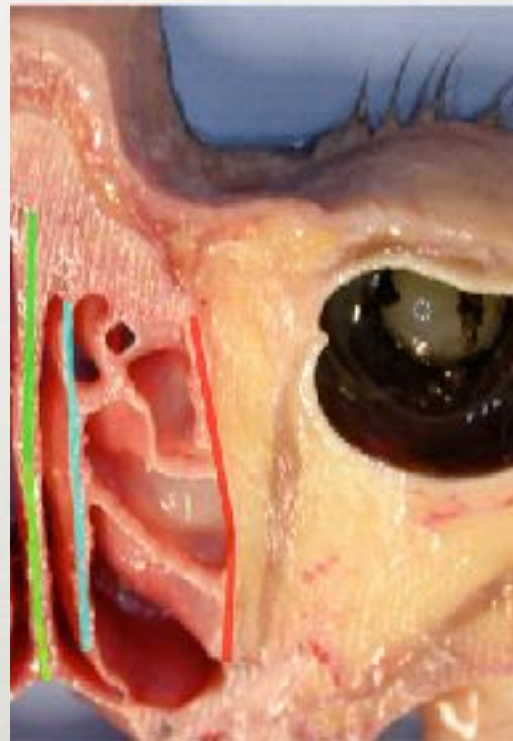
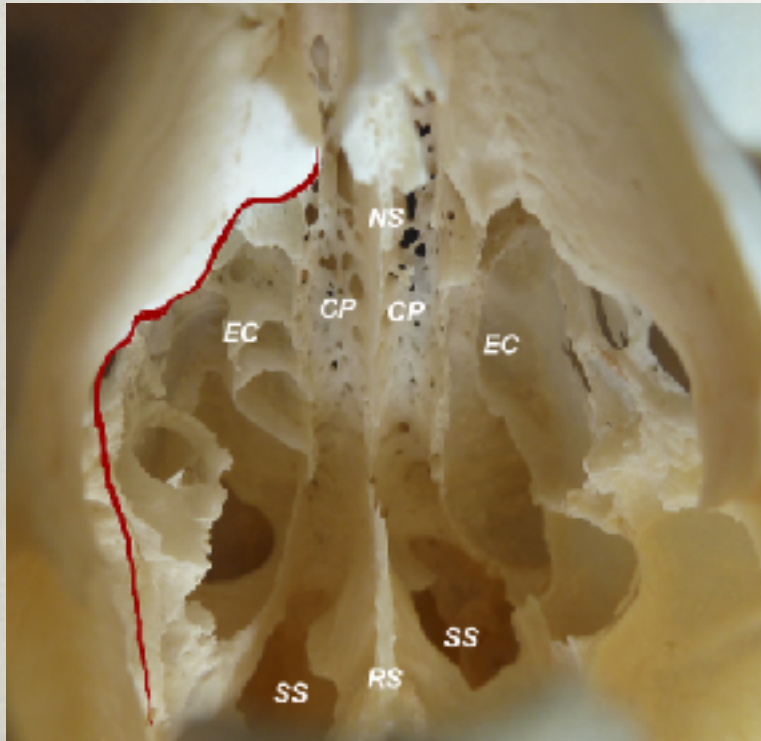


Ethmoidal complex

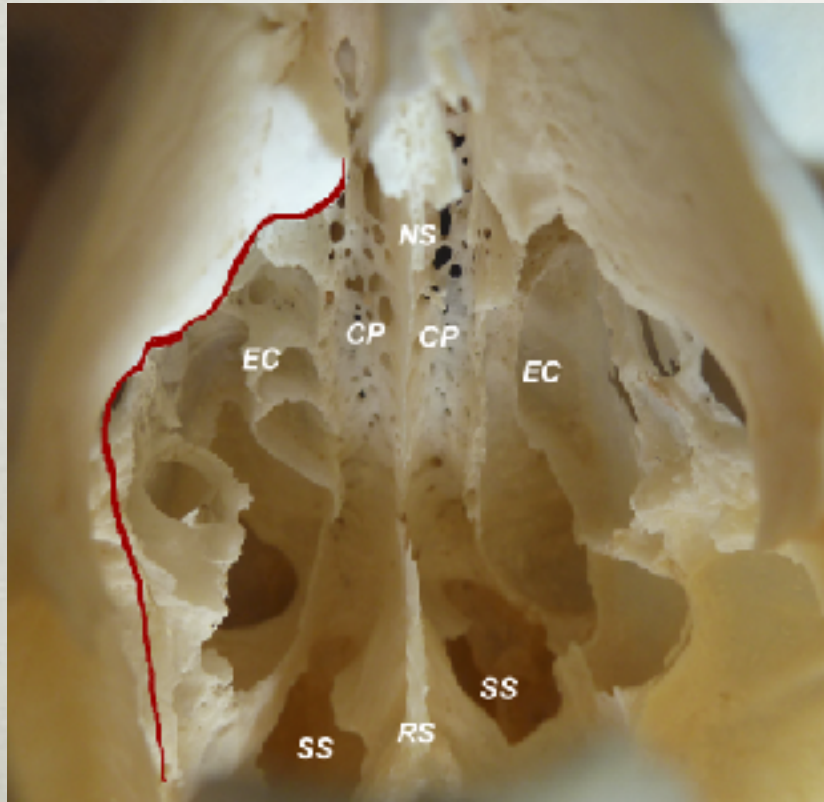
Anterior vs Posterior



Olfactory fossa & ethmoidal cells



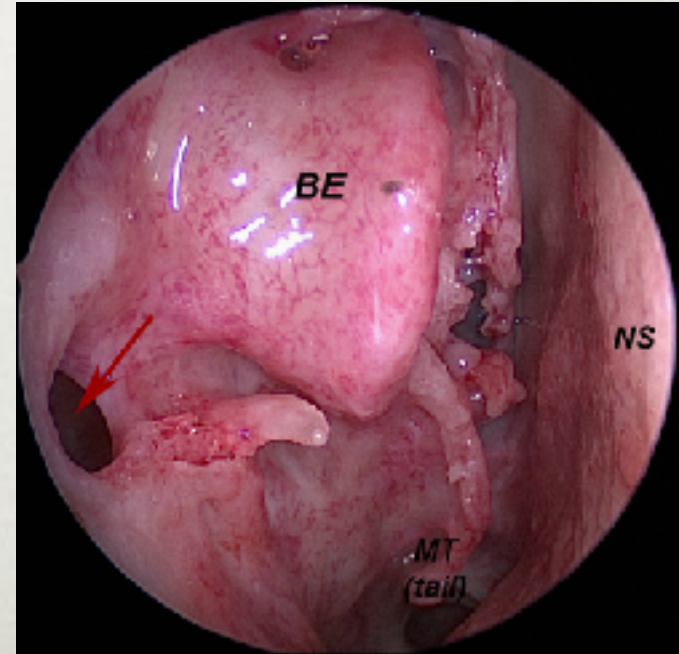
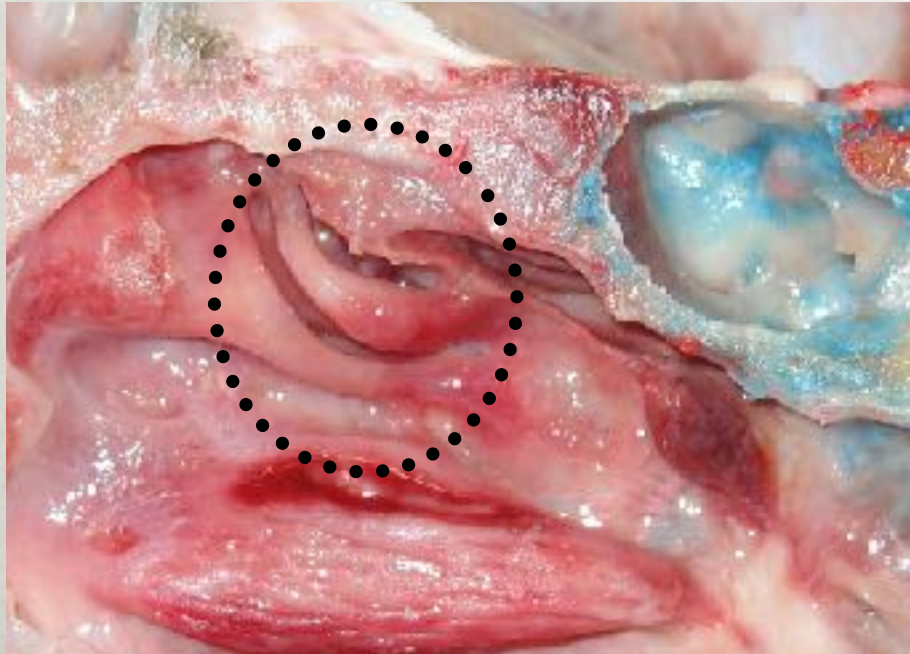
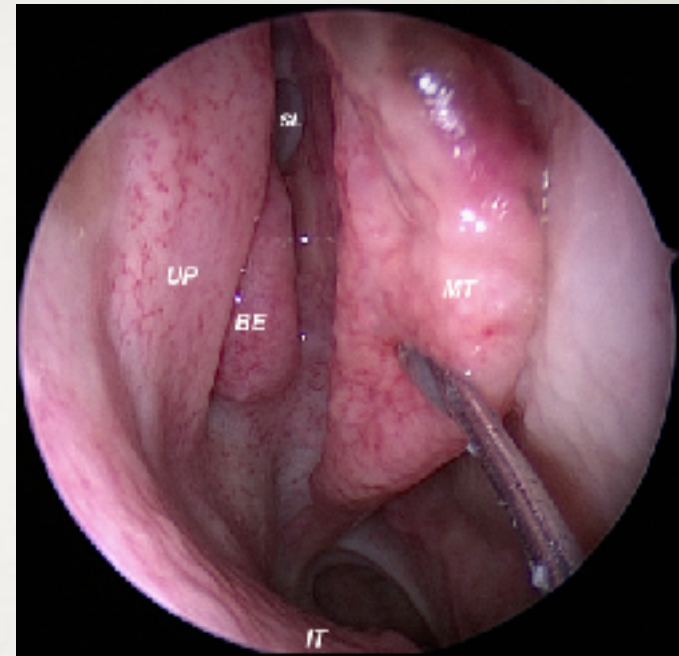
Cribriform plate & ethmoidal cells



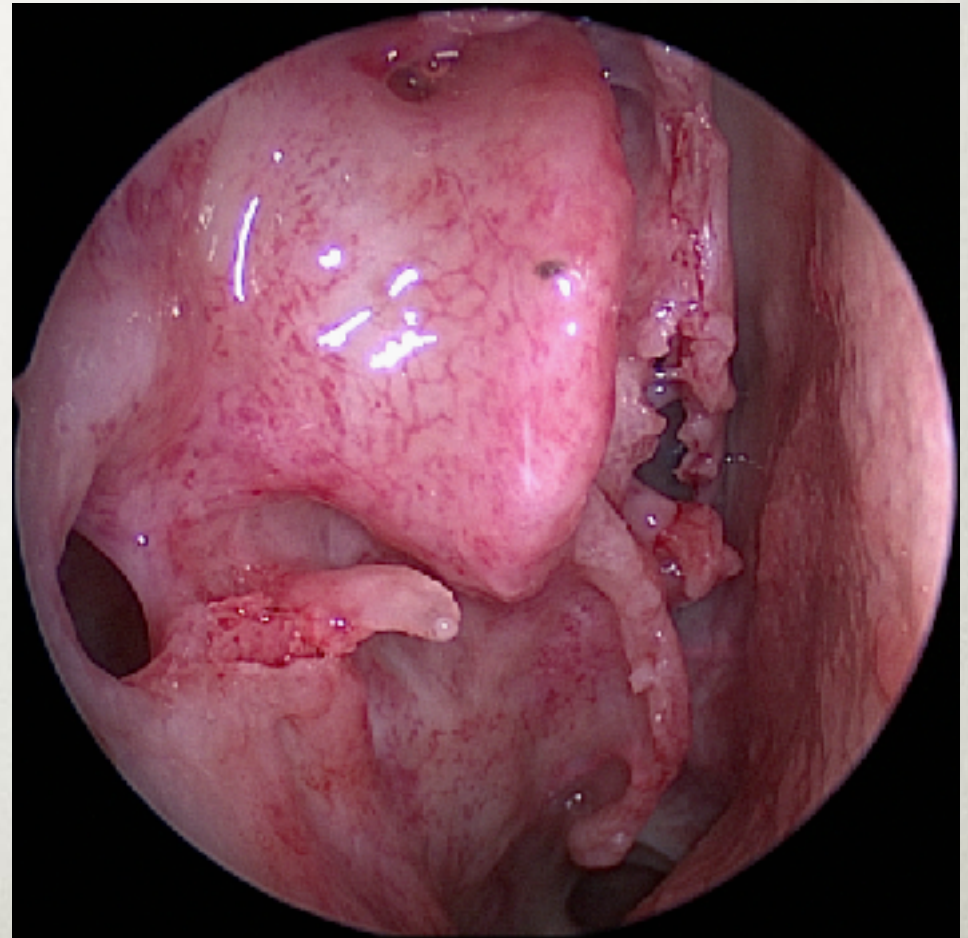
Lateral nasal wall osteology



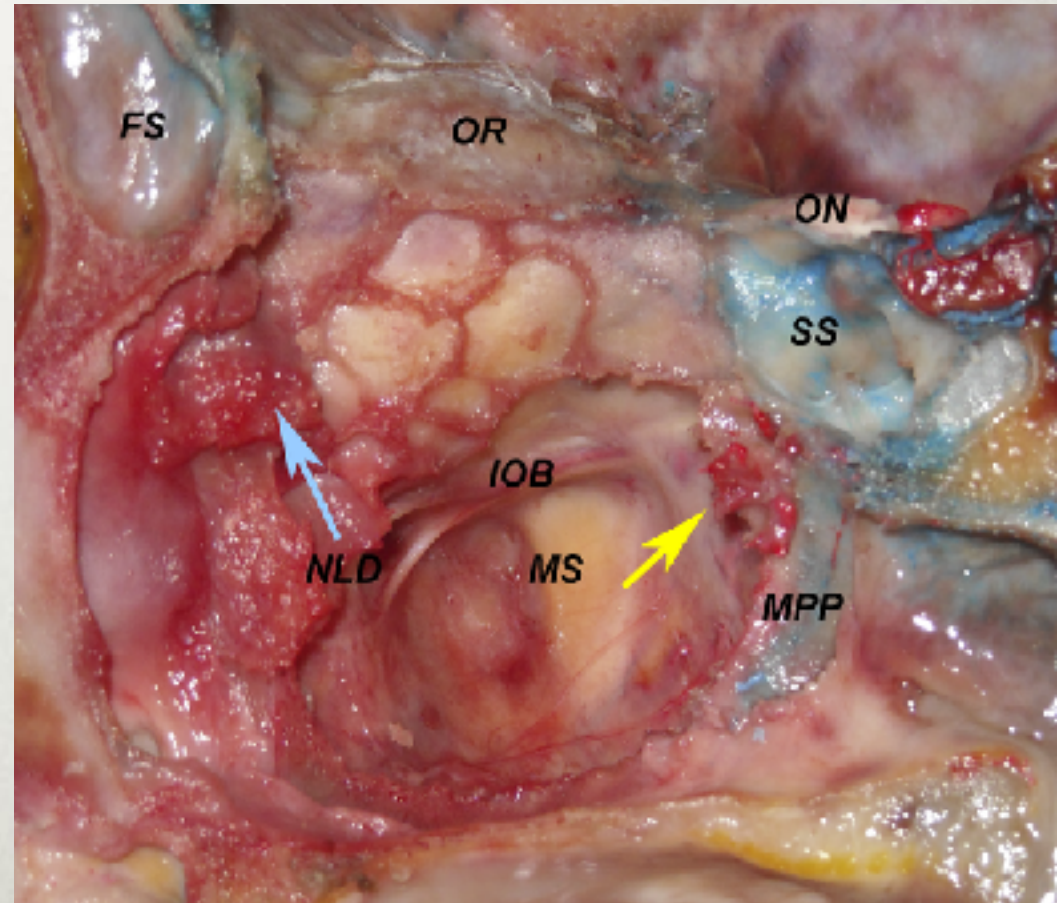
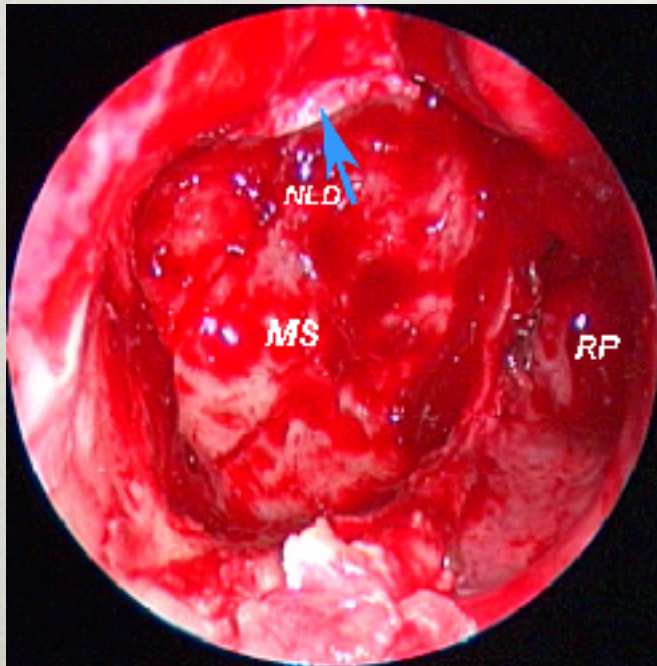
Uncinate process and Bulla ethmoidalis



Ethmoidal work
Identification of maxillary ostium

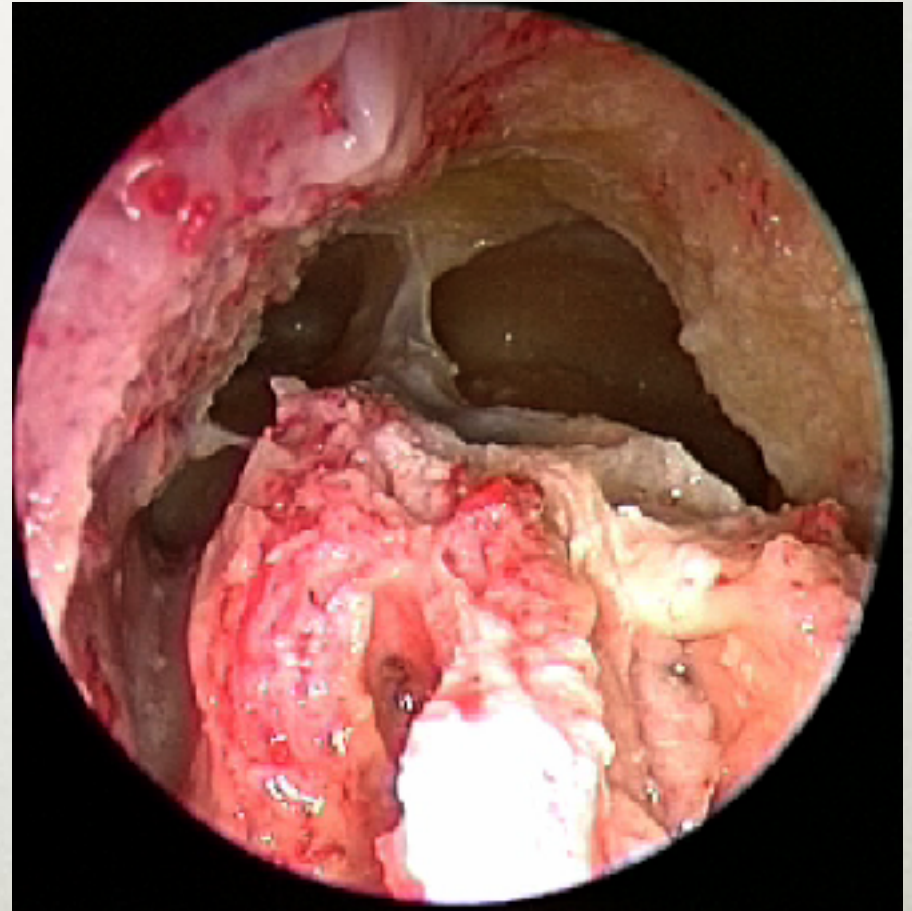
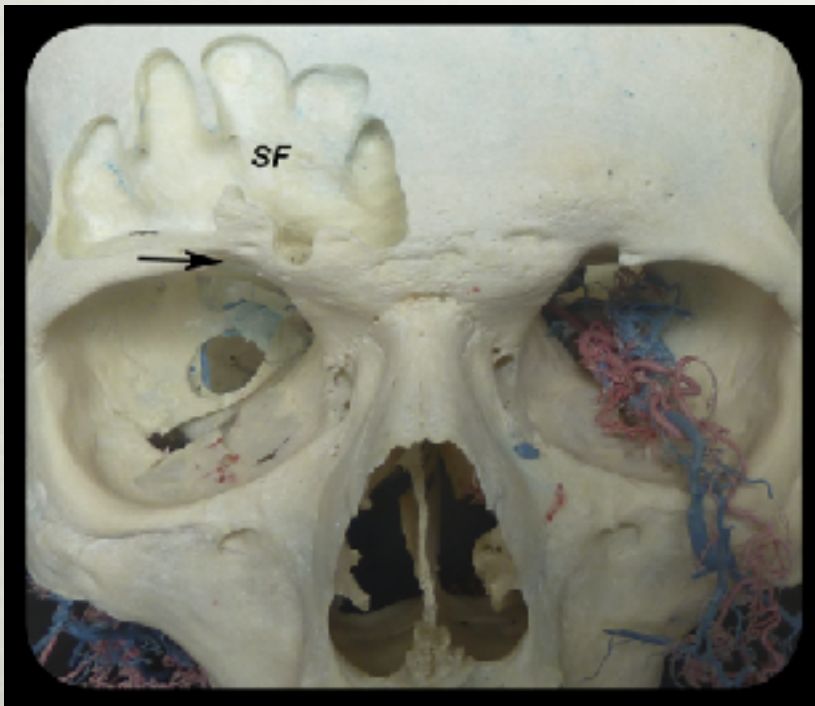


Maxillary sinus Relationship with lacrimal pathways and orbit



Frontal sinusotomy

Draf 3



Note : Ostio-meatal unit

Maxillary ostium

Ethmoid infundibulum (posterior)

Hiatus semilunaris

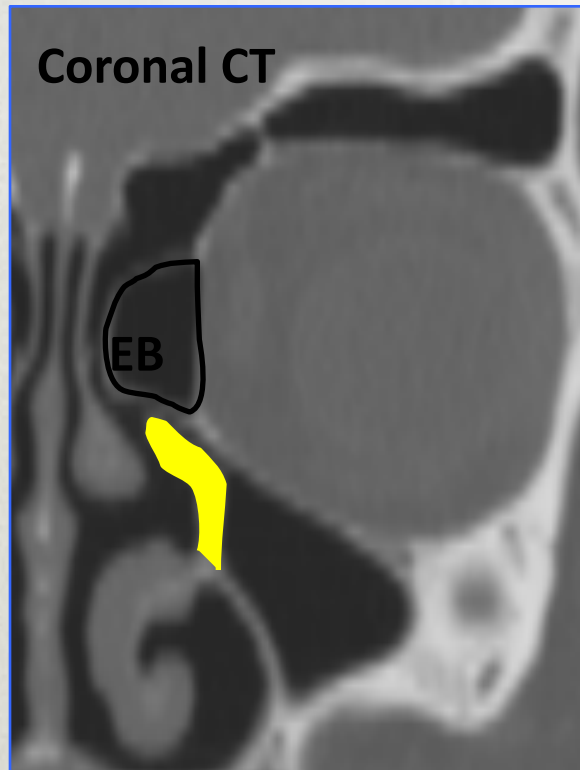
Middle meatus



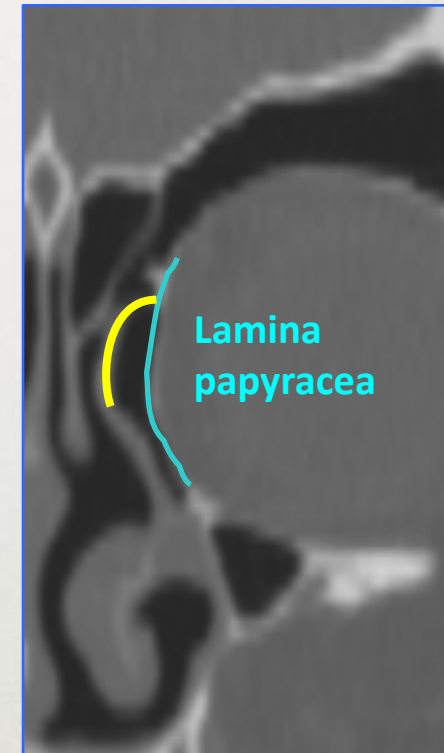
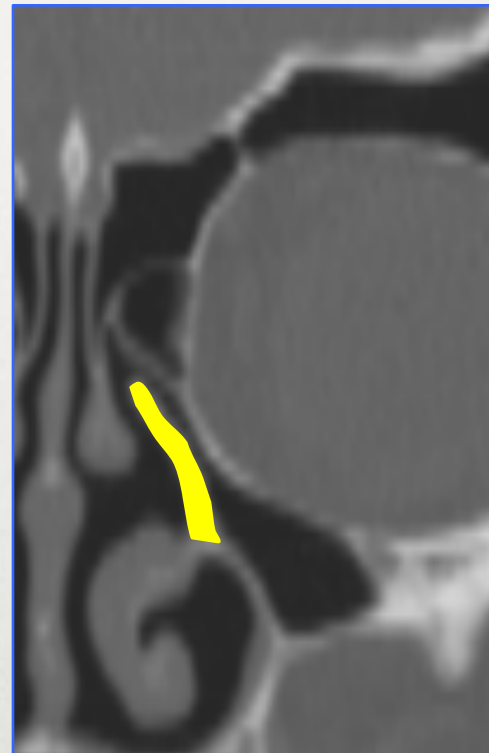
Coronal CT

Uncinate process

Thin-curved bony lamina of variable height from the lateral side of the ethmoid labyrinth, that forms a portion of the lateral nasal wall.

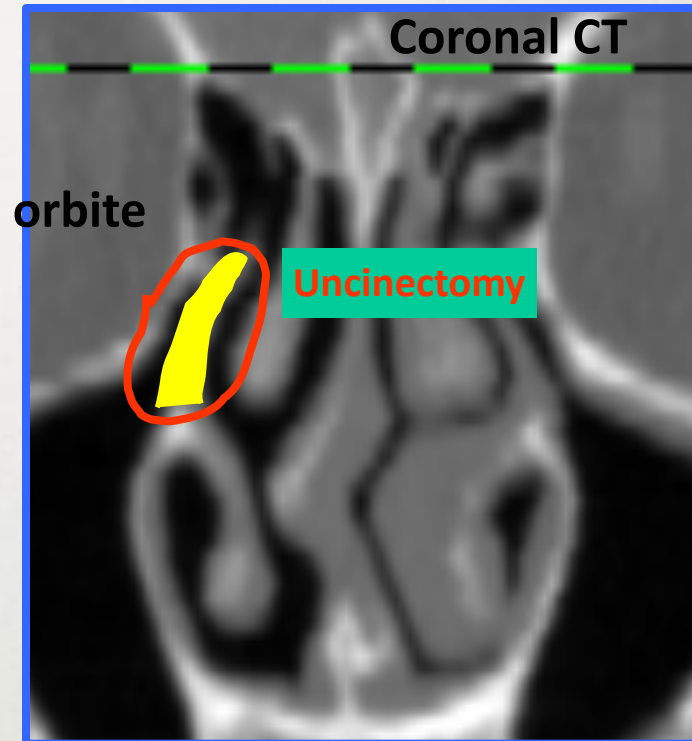
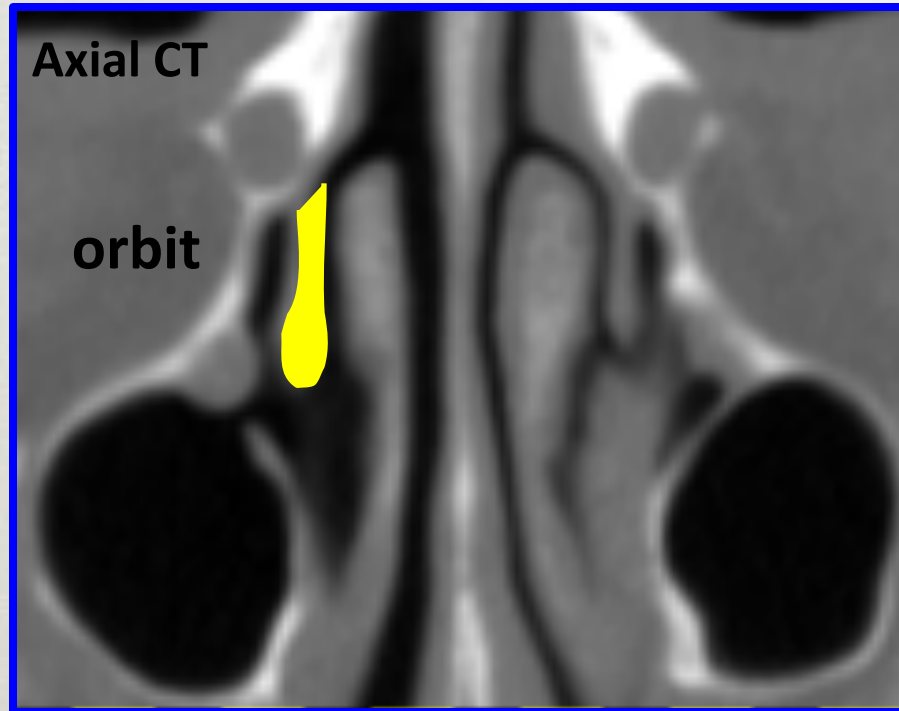


Inferior attachment to the neck of the inferior turbinate



Supero-anterior attachment to lamina papyracea in 50%

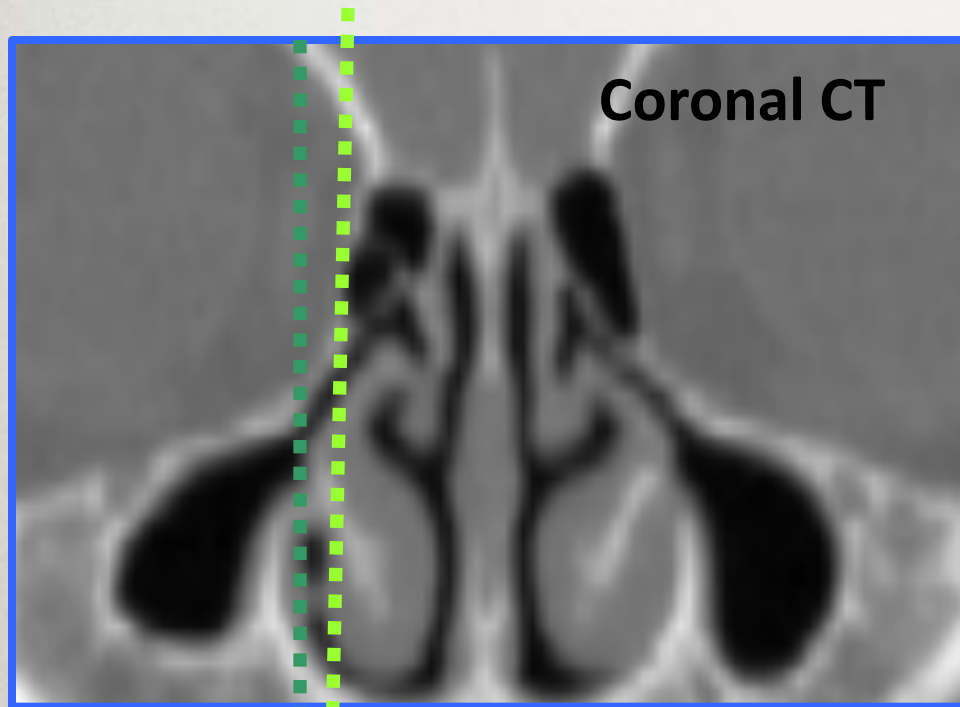
Vulnerability of the orbit



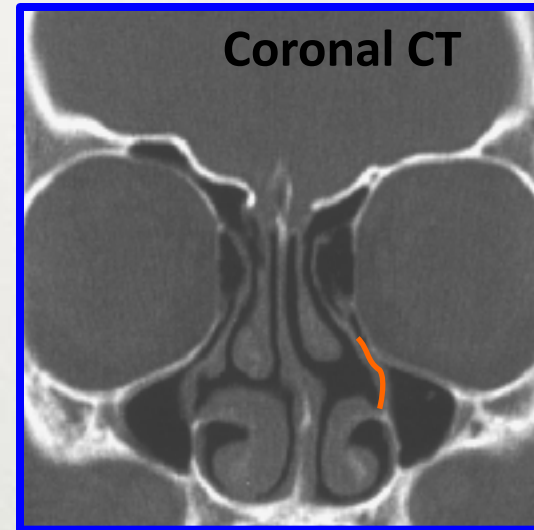
Uncinate process is very close to infero-medial orbit wall.
They can be merged.

Vulnerability of the orbit

Lamina papyracea localized medial to
the maxillary sinus ostium

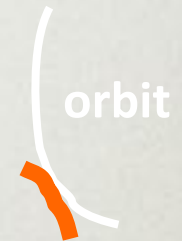


(Ex :maxillary sinus hypoplasia;reduced
ethmoid transverse diameter;children)

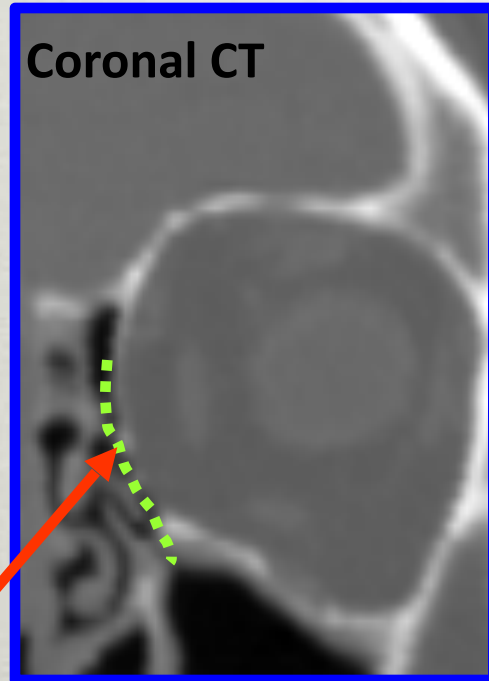


Fusion of the uncinete process to the
medial orbital wall

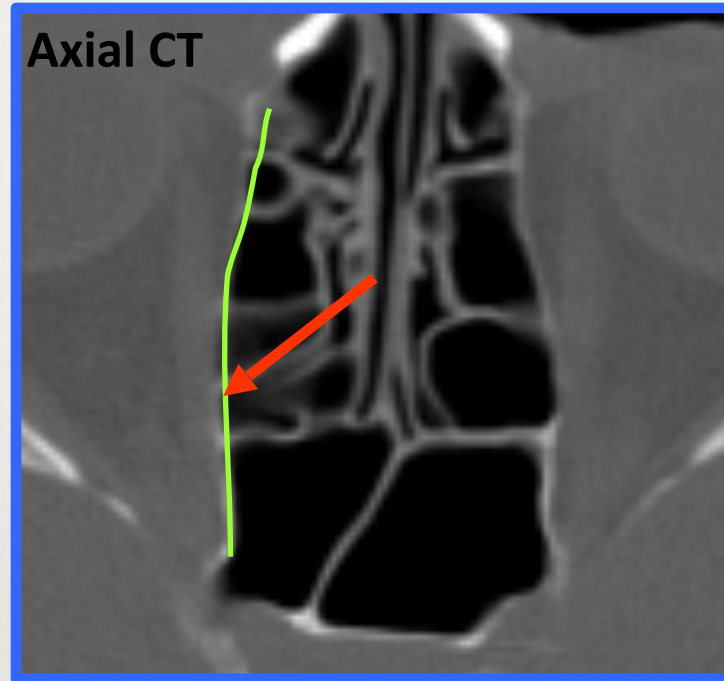
(usually associated with ipsilateral hypoplastic maxillary
sinus)



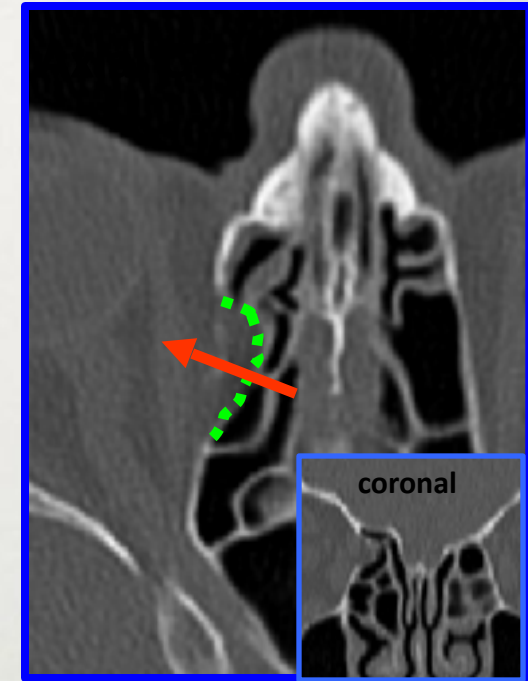
Vulnerability of the orbit



Dehiscent lamina papyracea



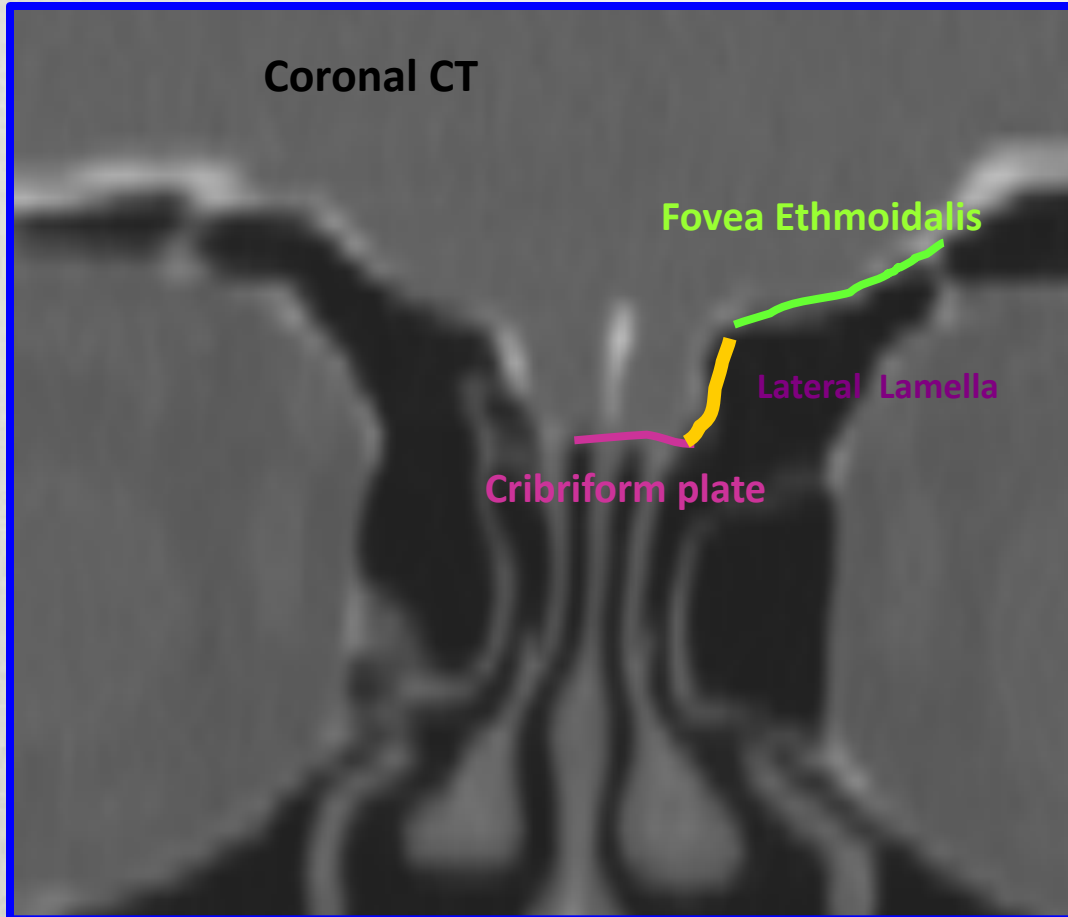
Thin medial orbital wall (lamina papyracea)



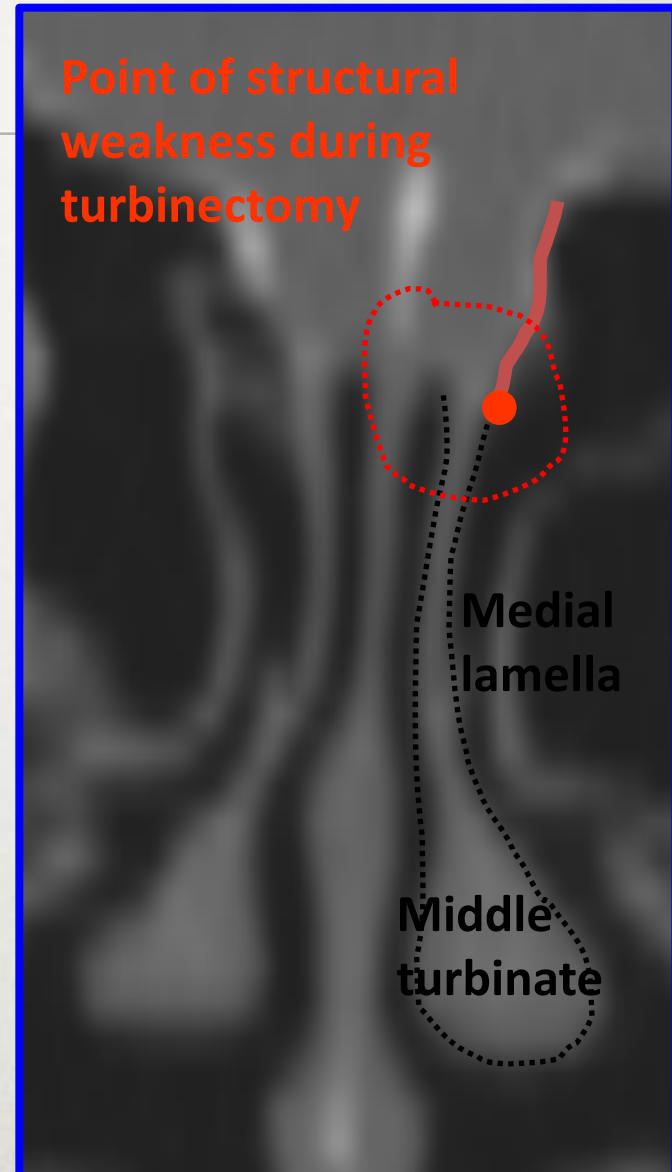
Dehiscent lamina papyracea

Lateral lamella

(point of structural weakness in the anterior skull base)



Lateral Lamella: 1-16 mm length
Dehiscent in 15% of specimens

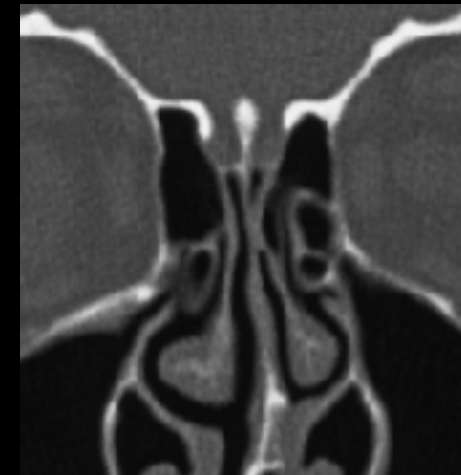
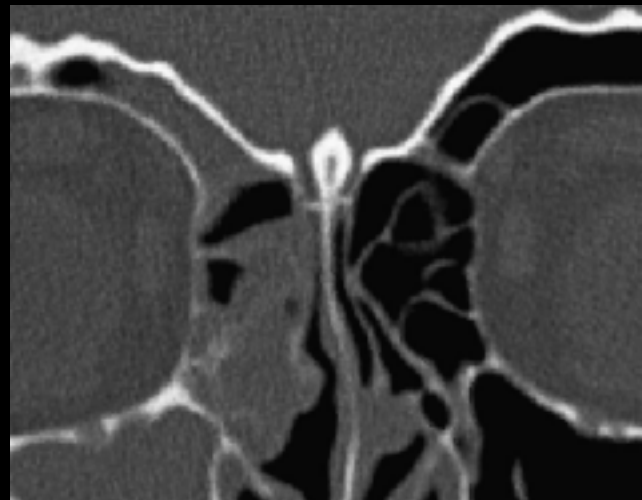


Keros classification

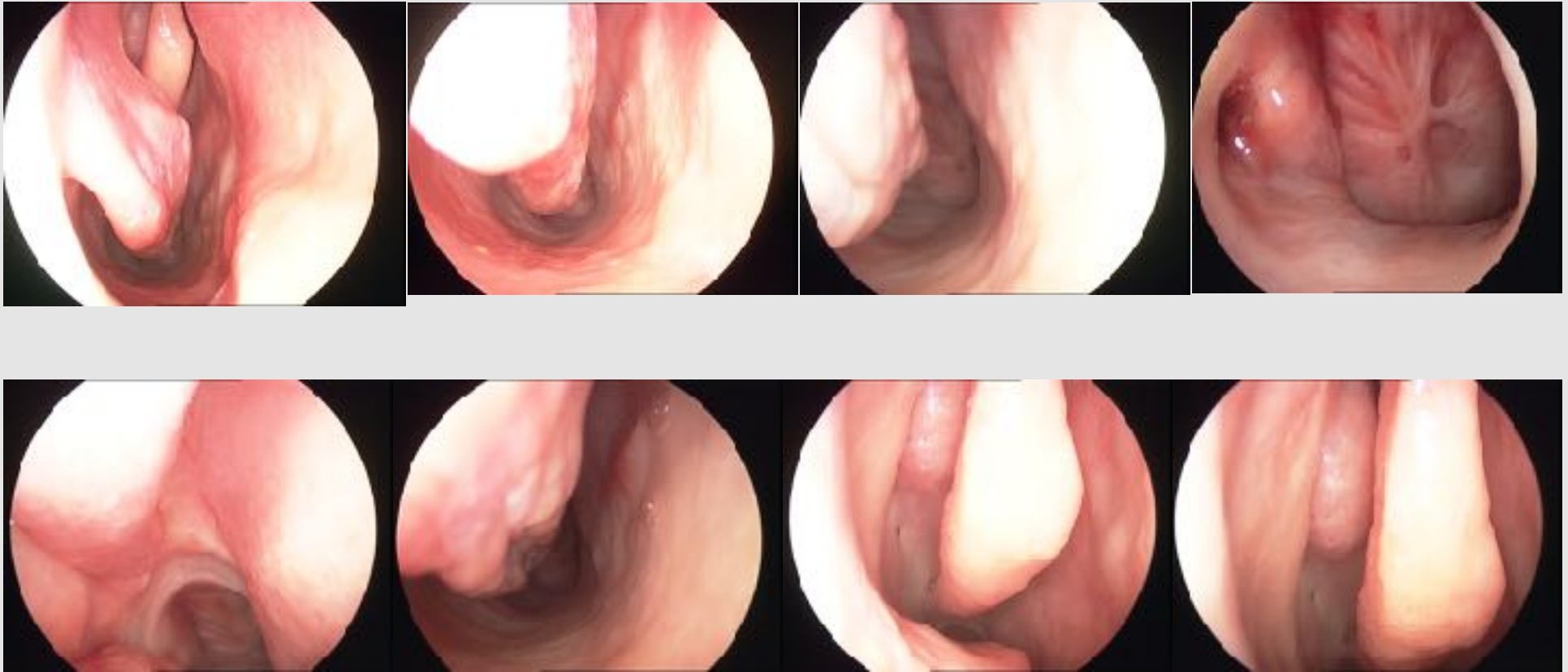
Type I: olfactory fossa is 1-3 mm deep, lateral lamella is nearly nonexistent;

Type II: olfactory fossa is 4-7 mm deep; and

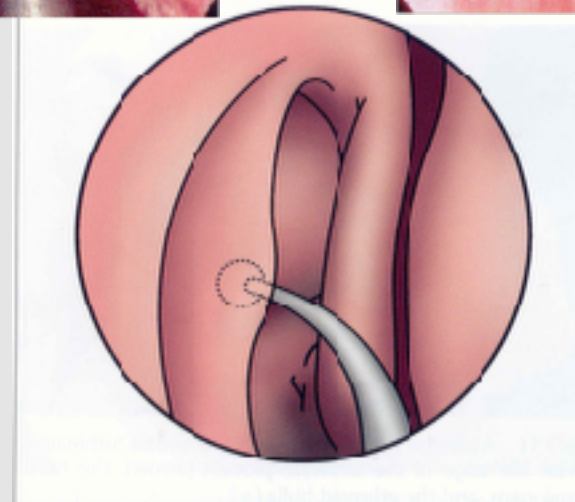
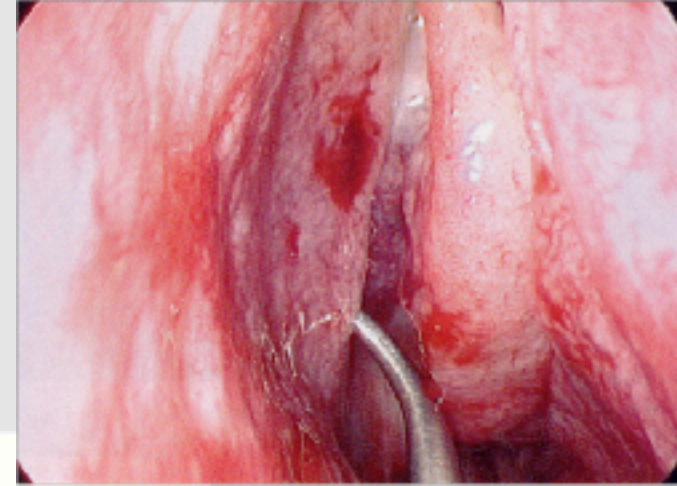
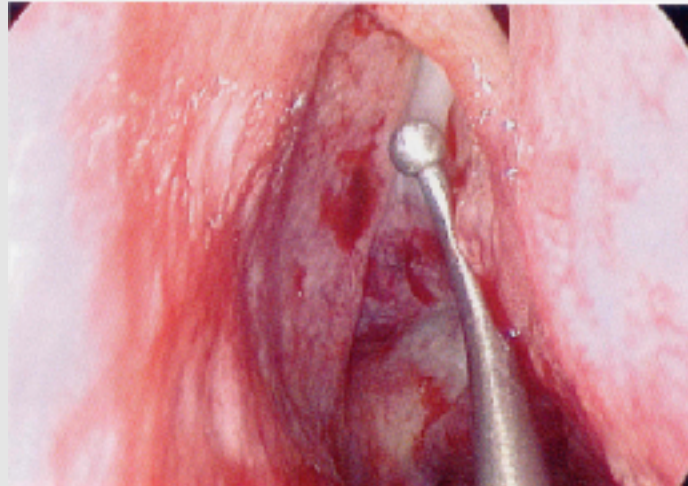
Type III: olfactory fossa is 8-16 mm deep



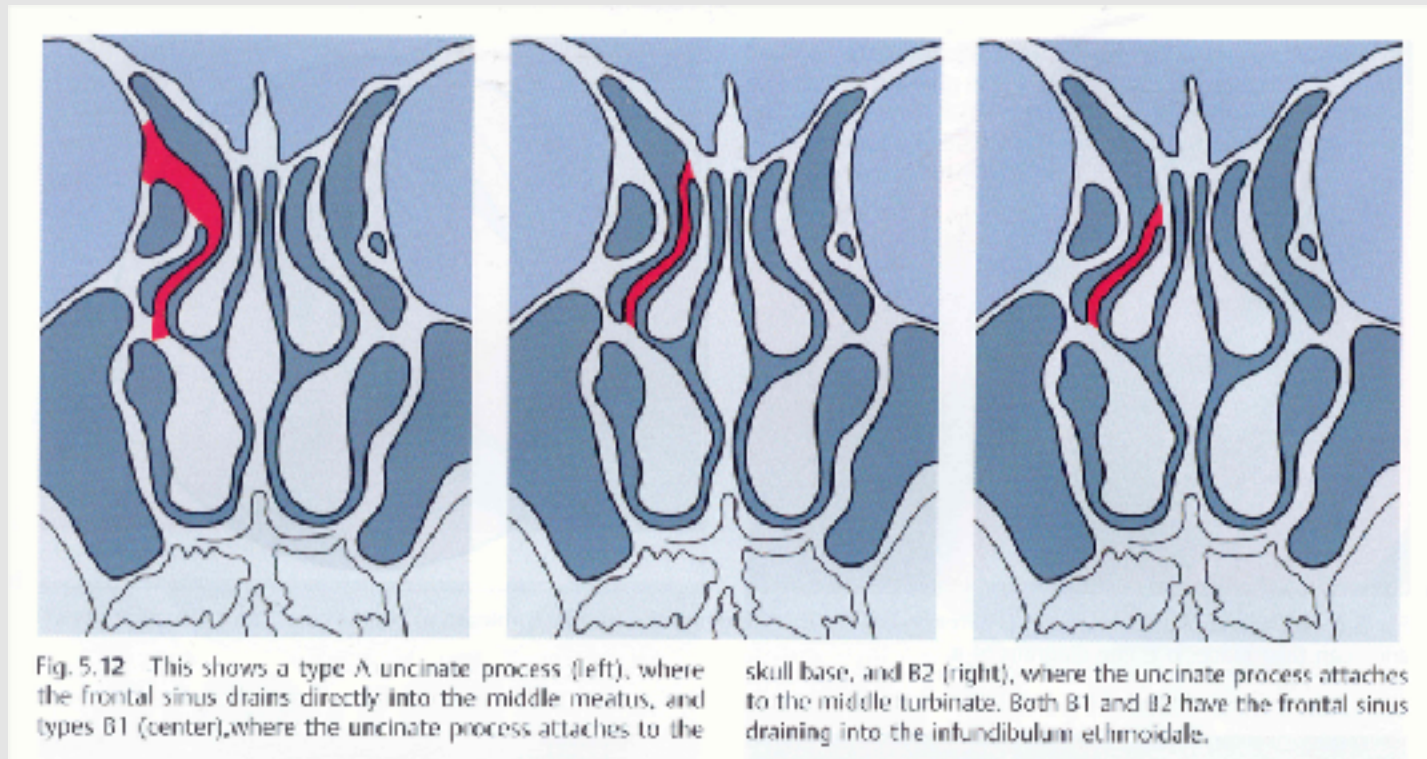
Nasal endoscopy

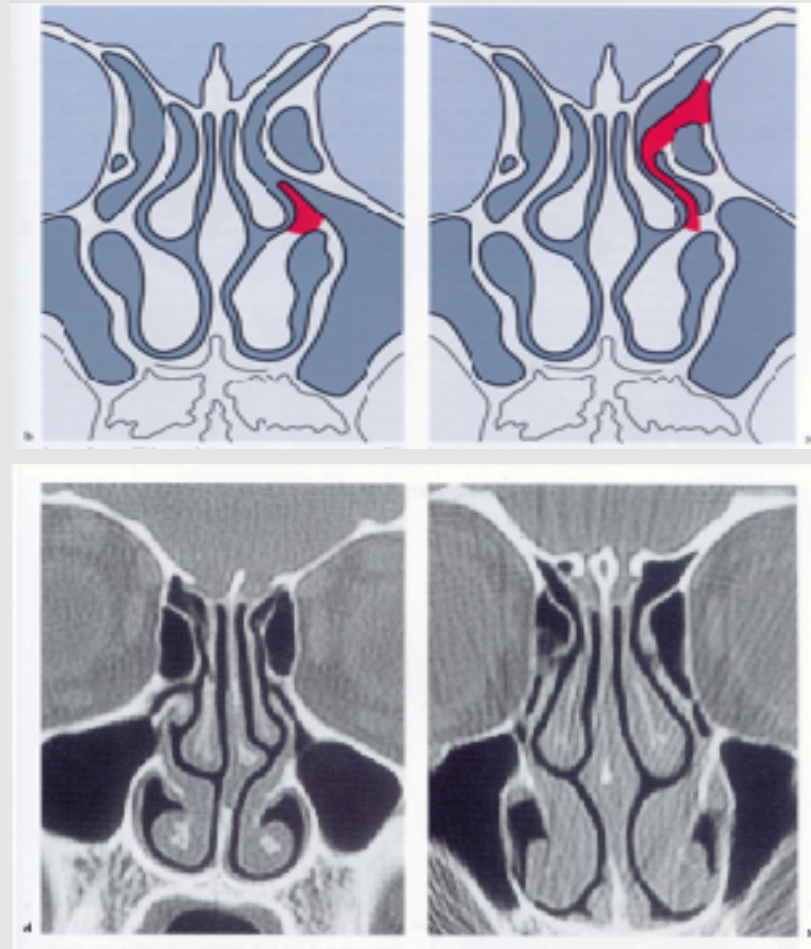


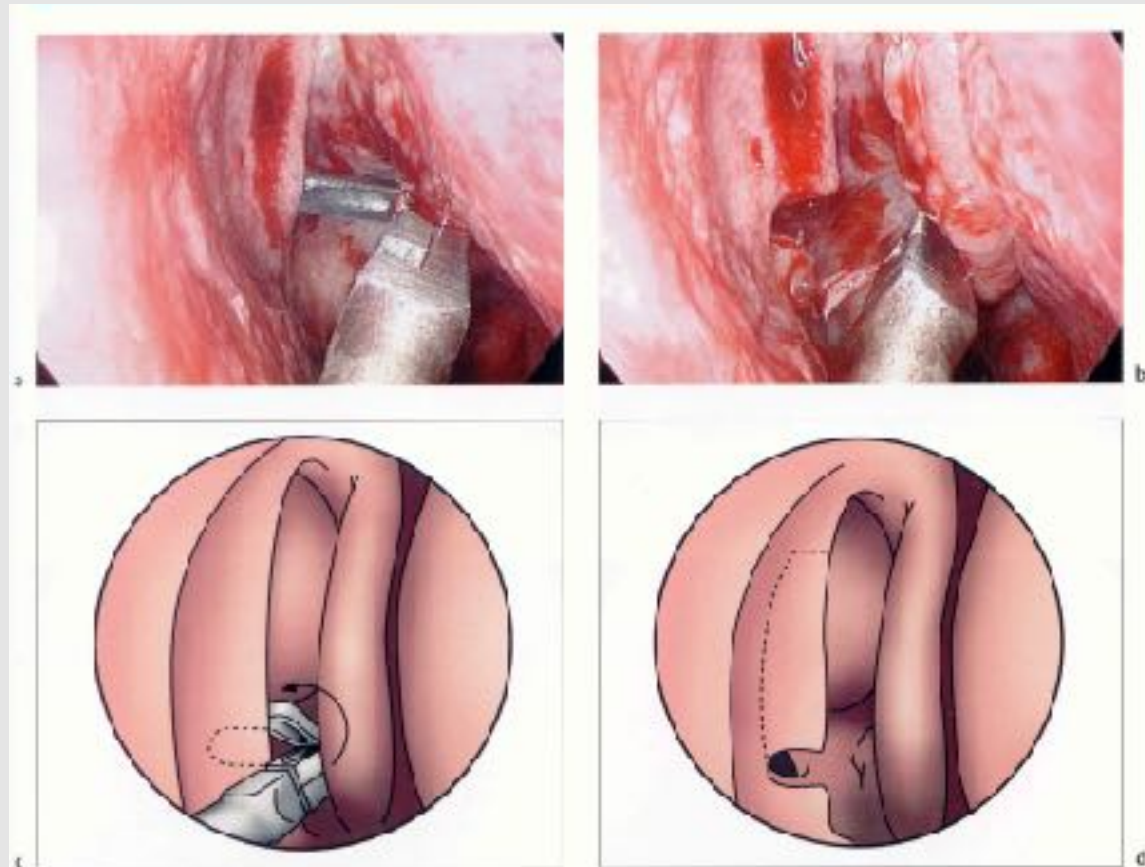
Free edge of unciniate process



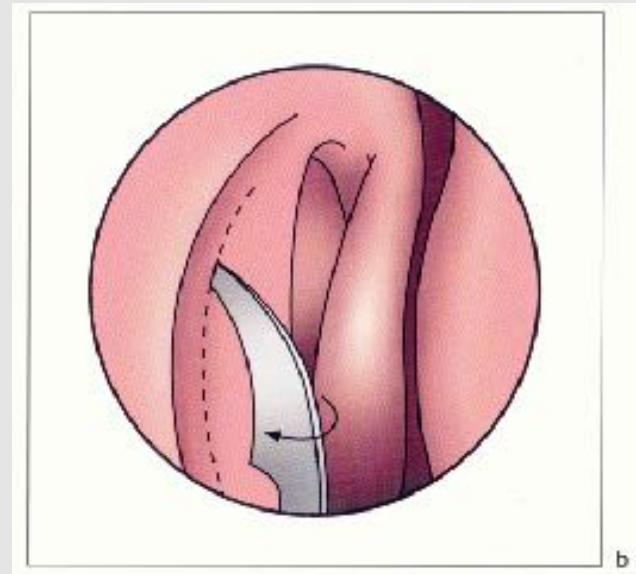
Uncinate process attachment



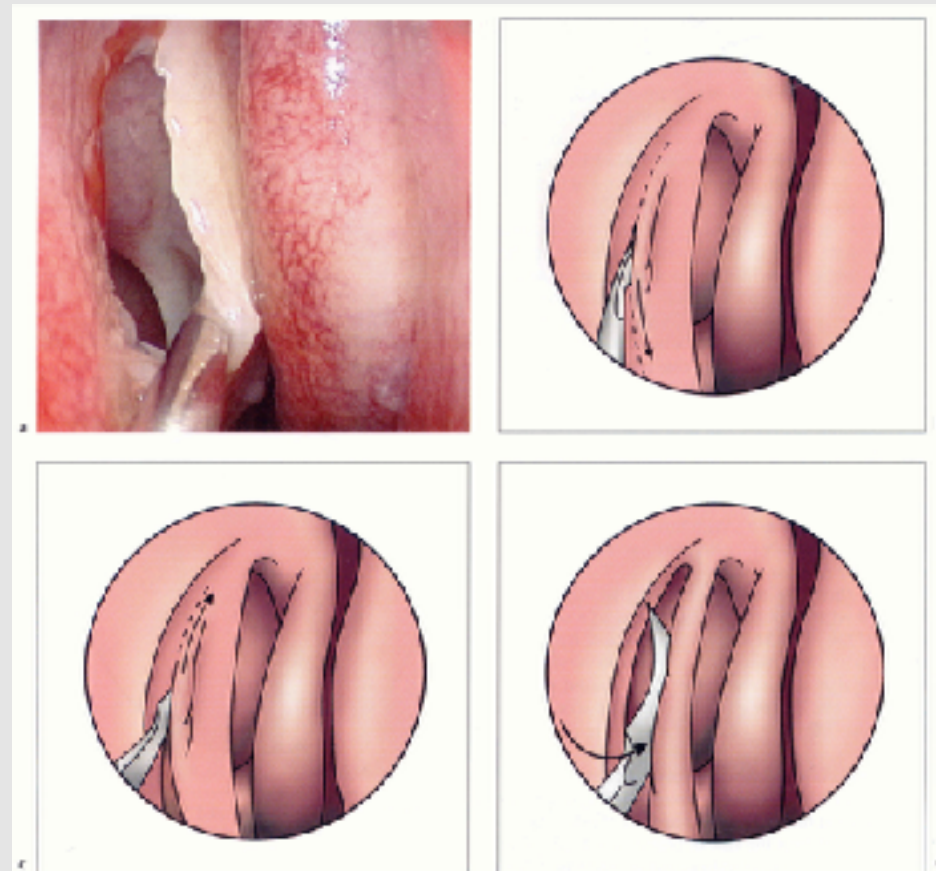


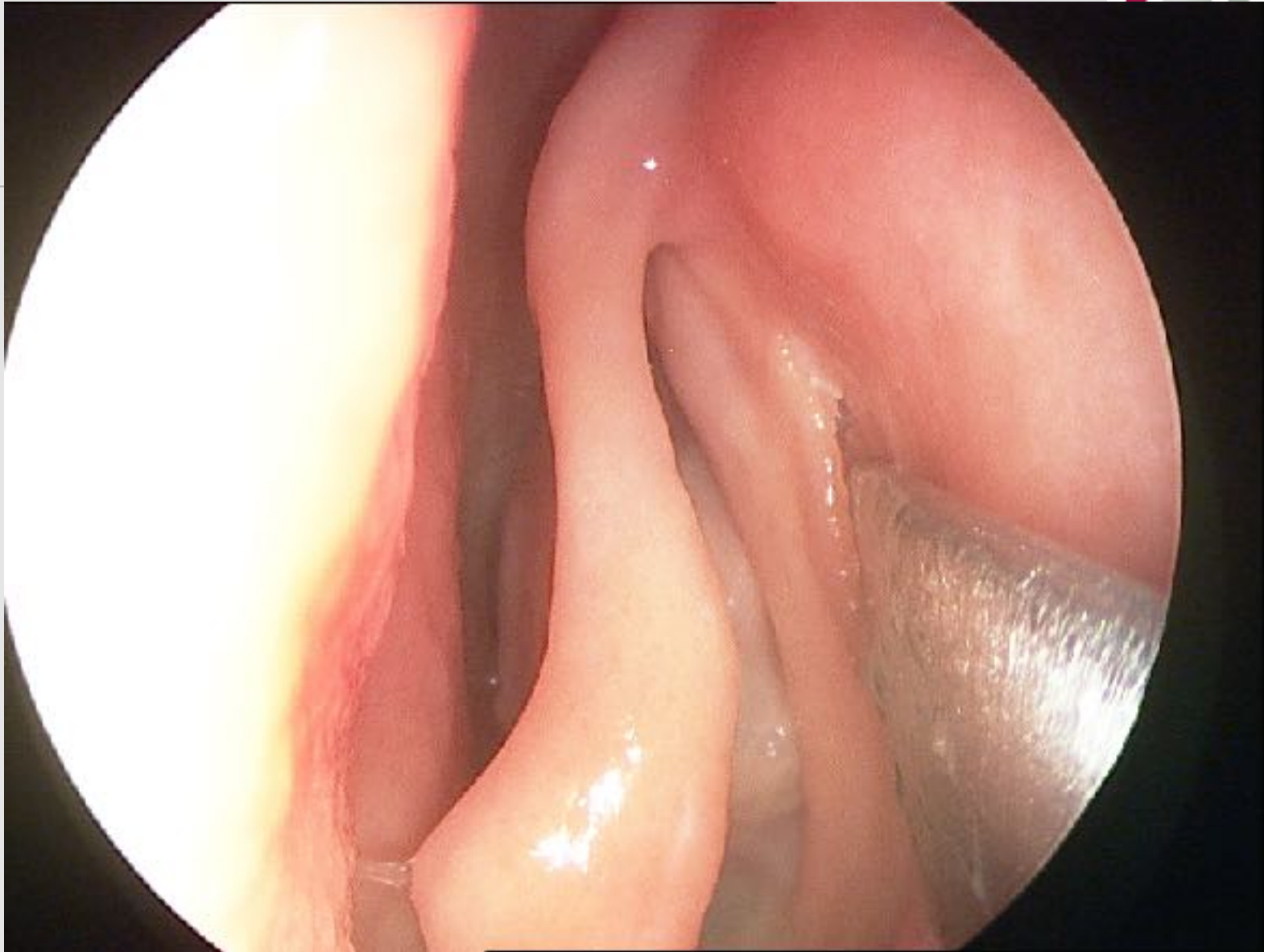


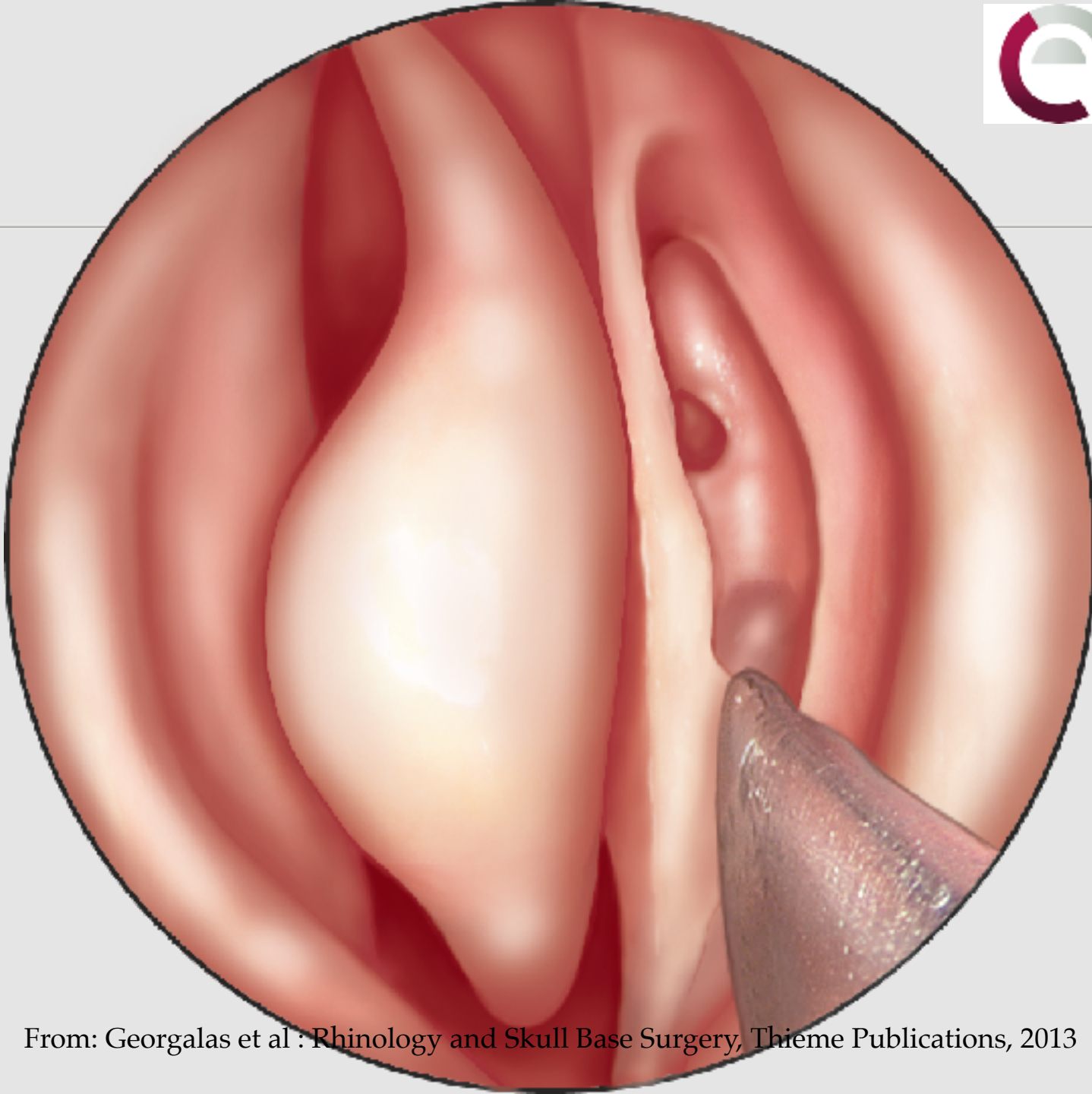
uncinectomy



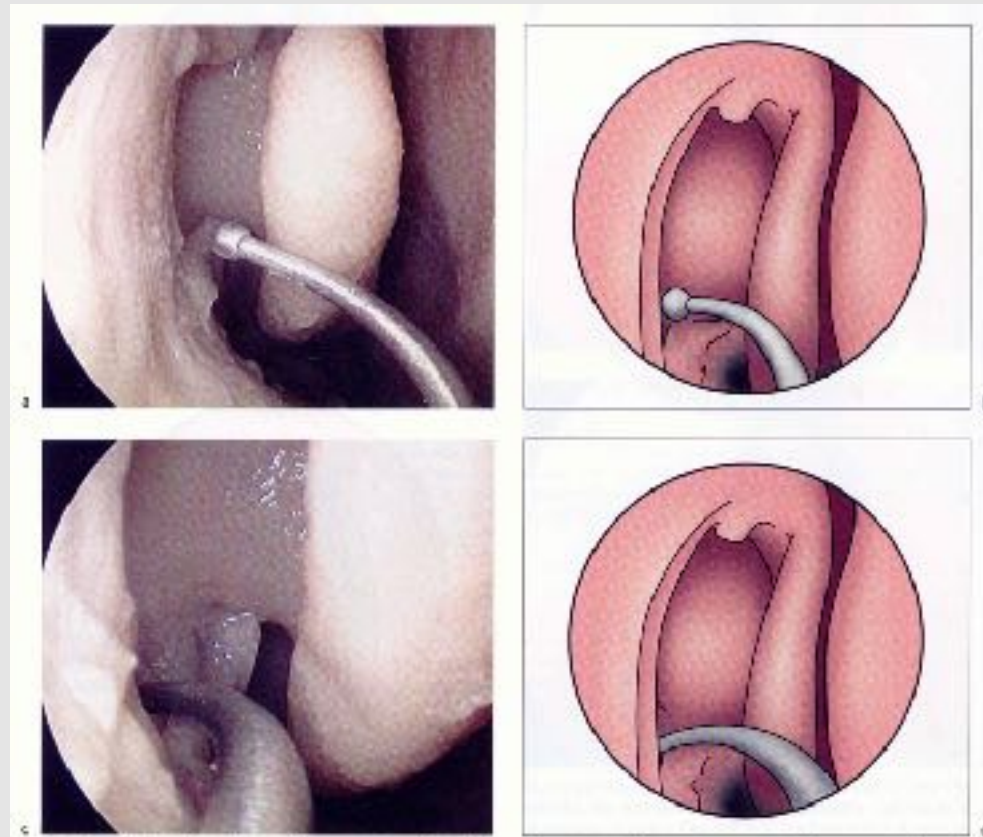
uncinectomy

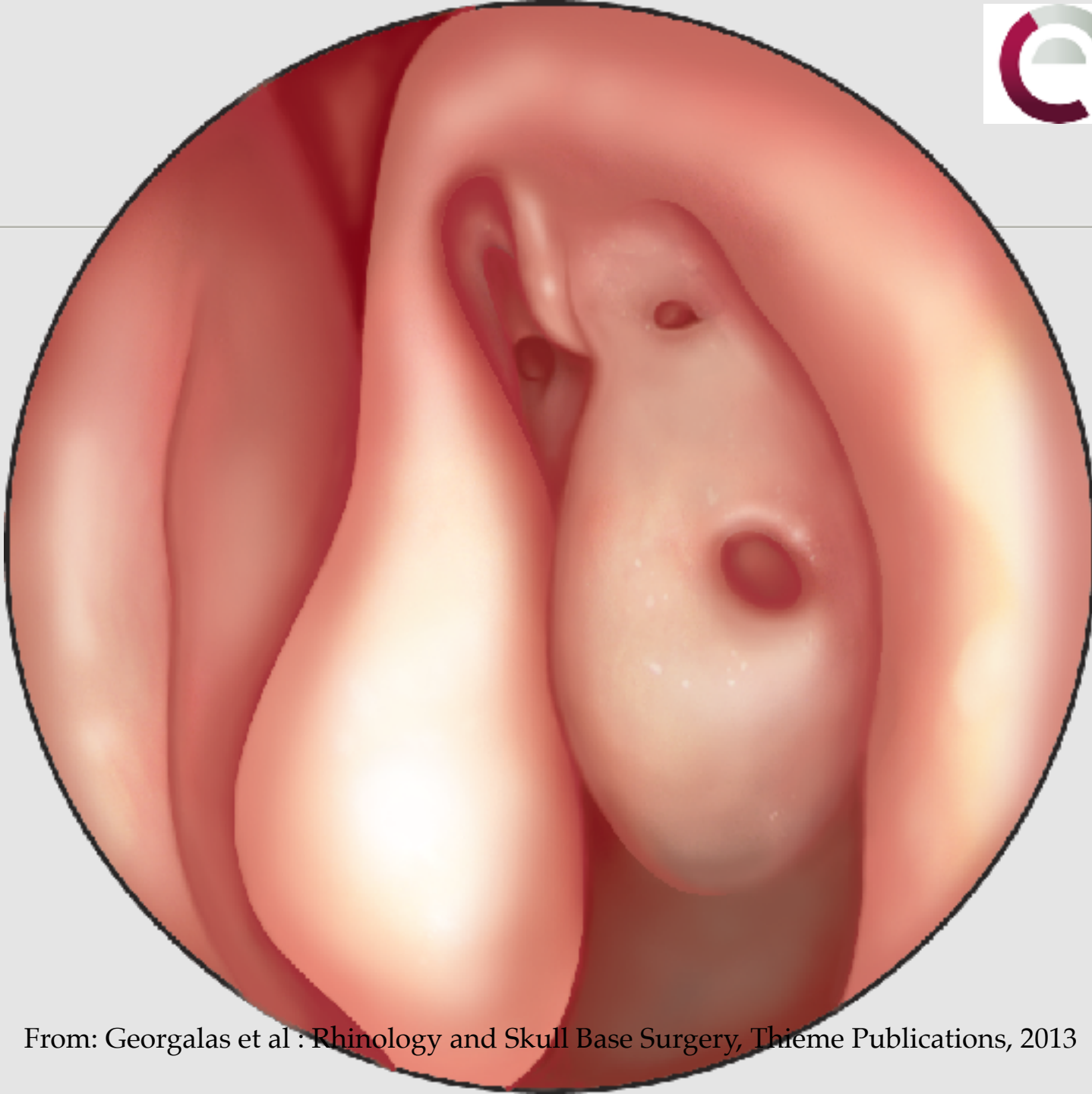




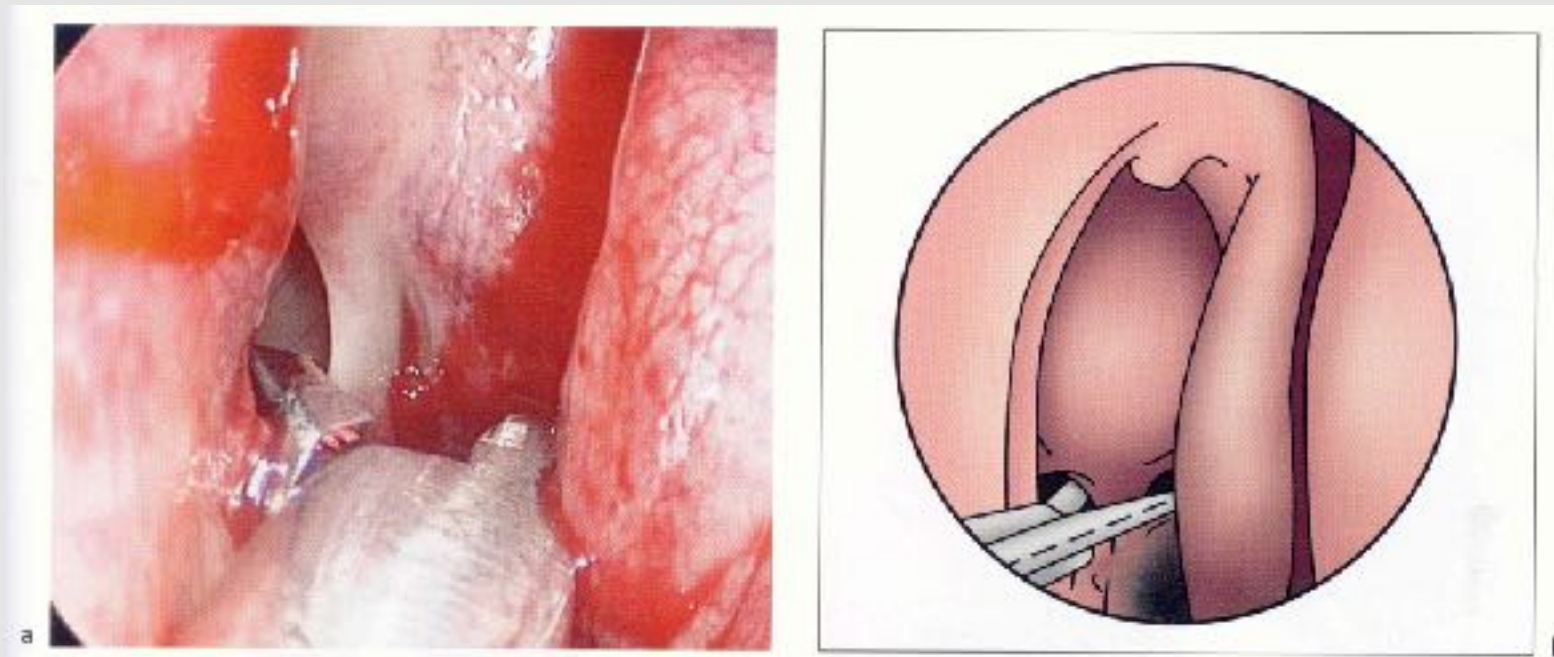


Finding the ostium





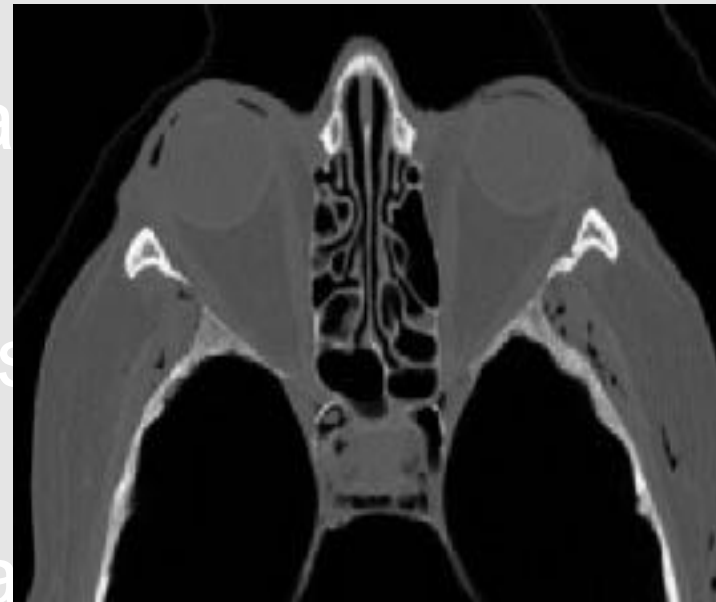
Enlargement ostium



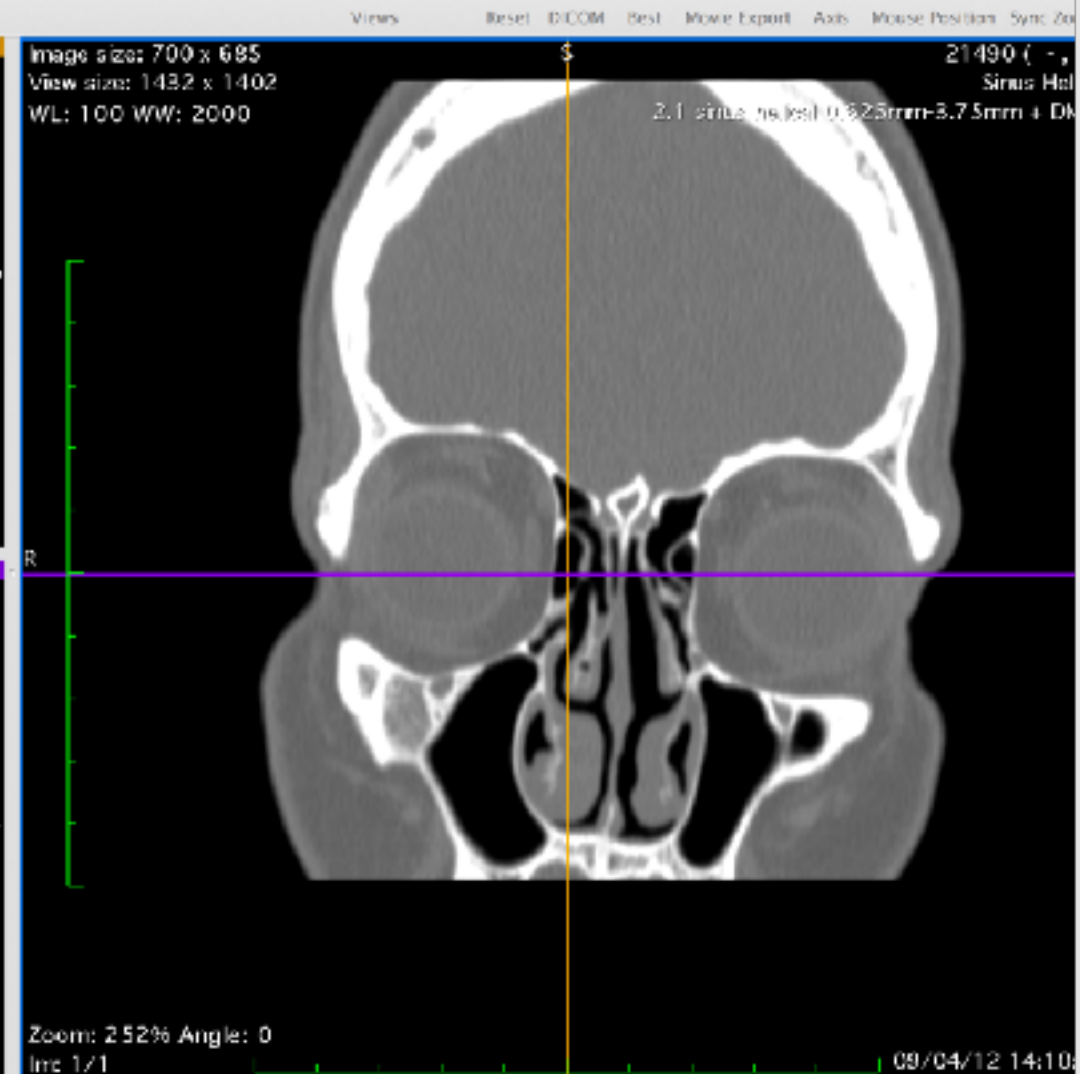
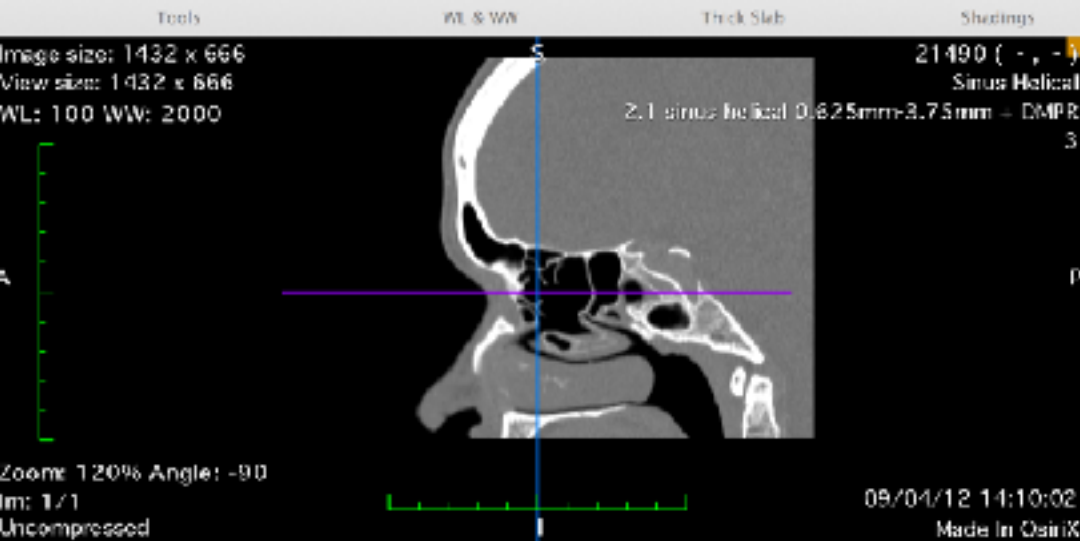
Anterior ethmoidectomy

- Remove remaining anterior ethmoid cells anterior to ground lamella
- (Not that many!)
- Stay lateral to the attachment of middle turbinate: Often attached to medial part of cribriform plate / lamella lateralis!

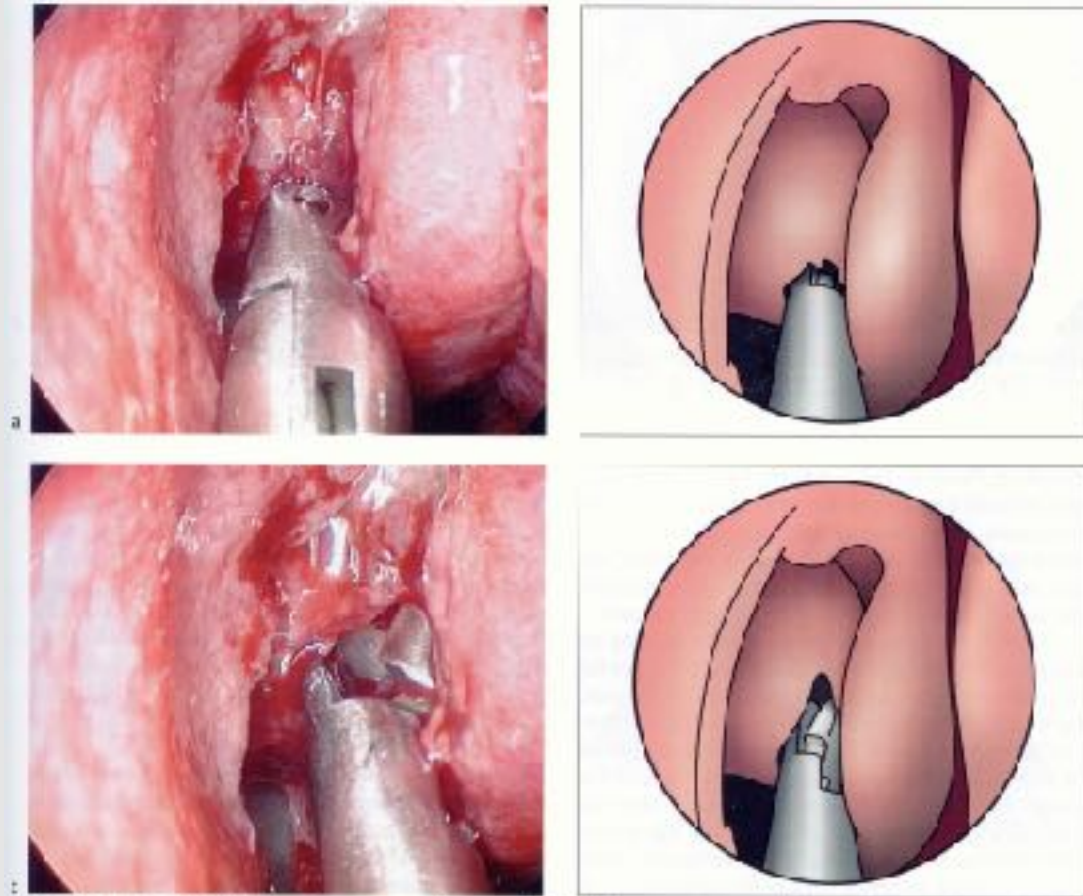
Map of bulla etmoidalis

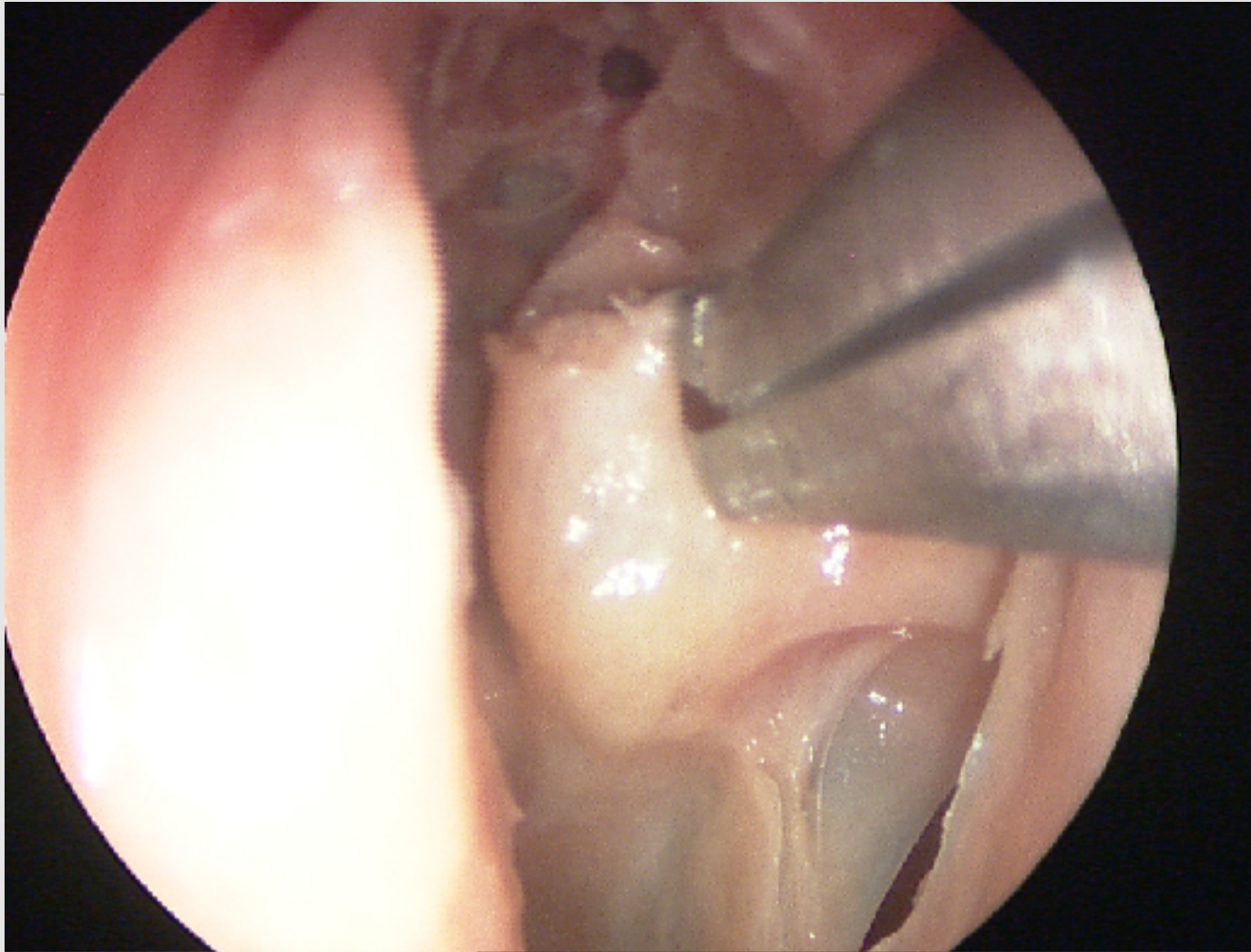


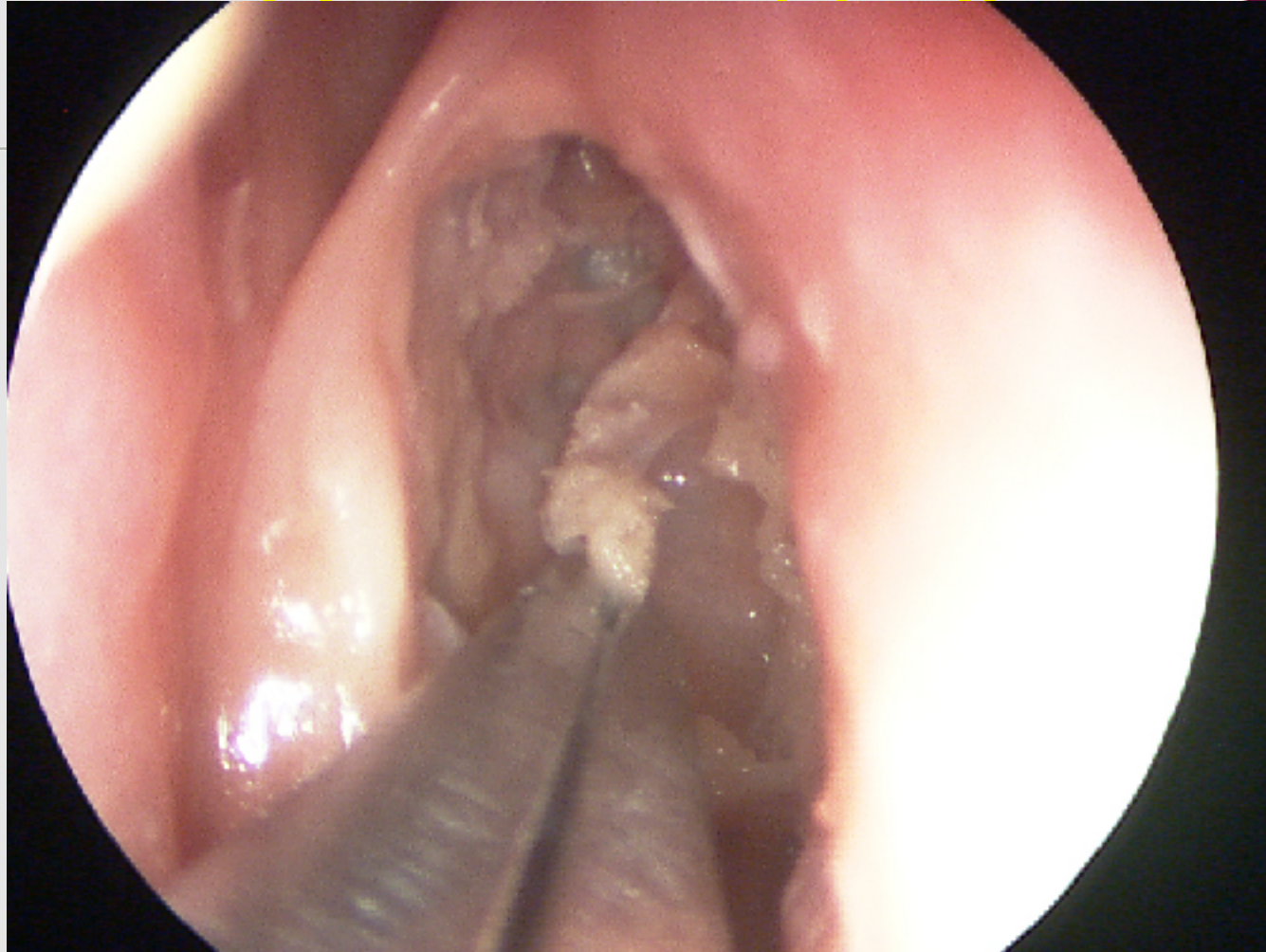
- P (basal)
 - M
 - S (base or s)
 - O (SS)
 - A (frontal)
- suprabullar cells
- Anterior- inferiorly: Infundibulum



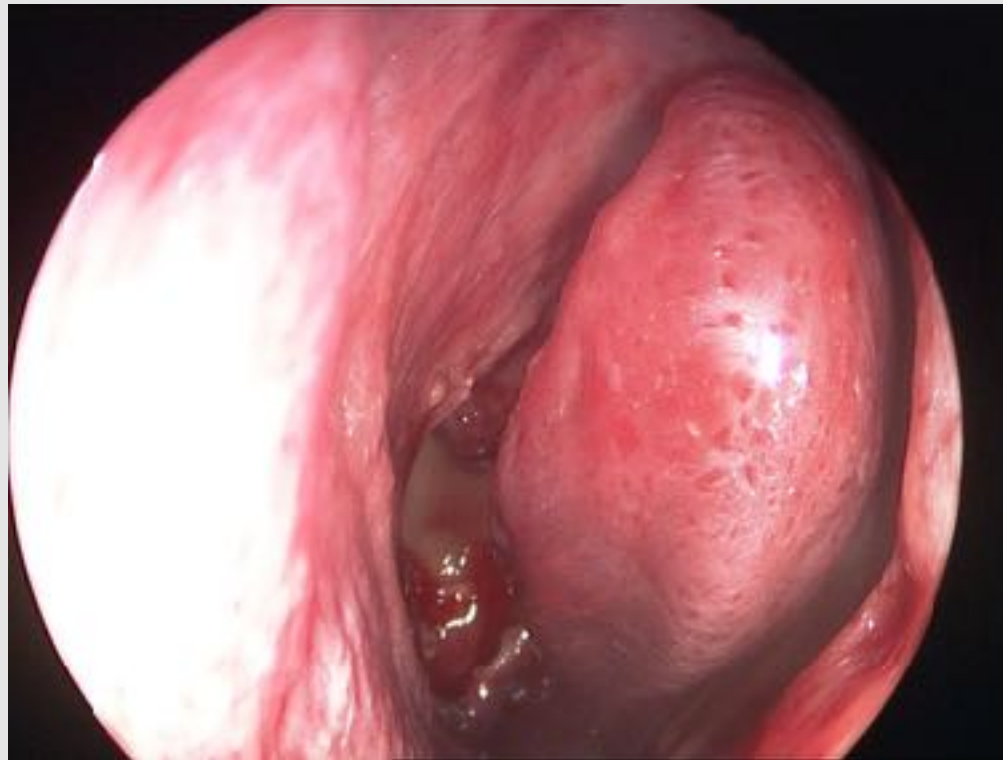
Opening of bulla



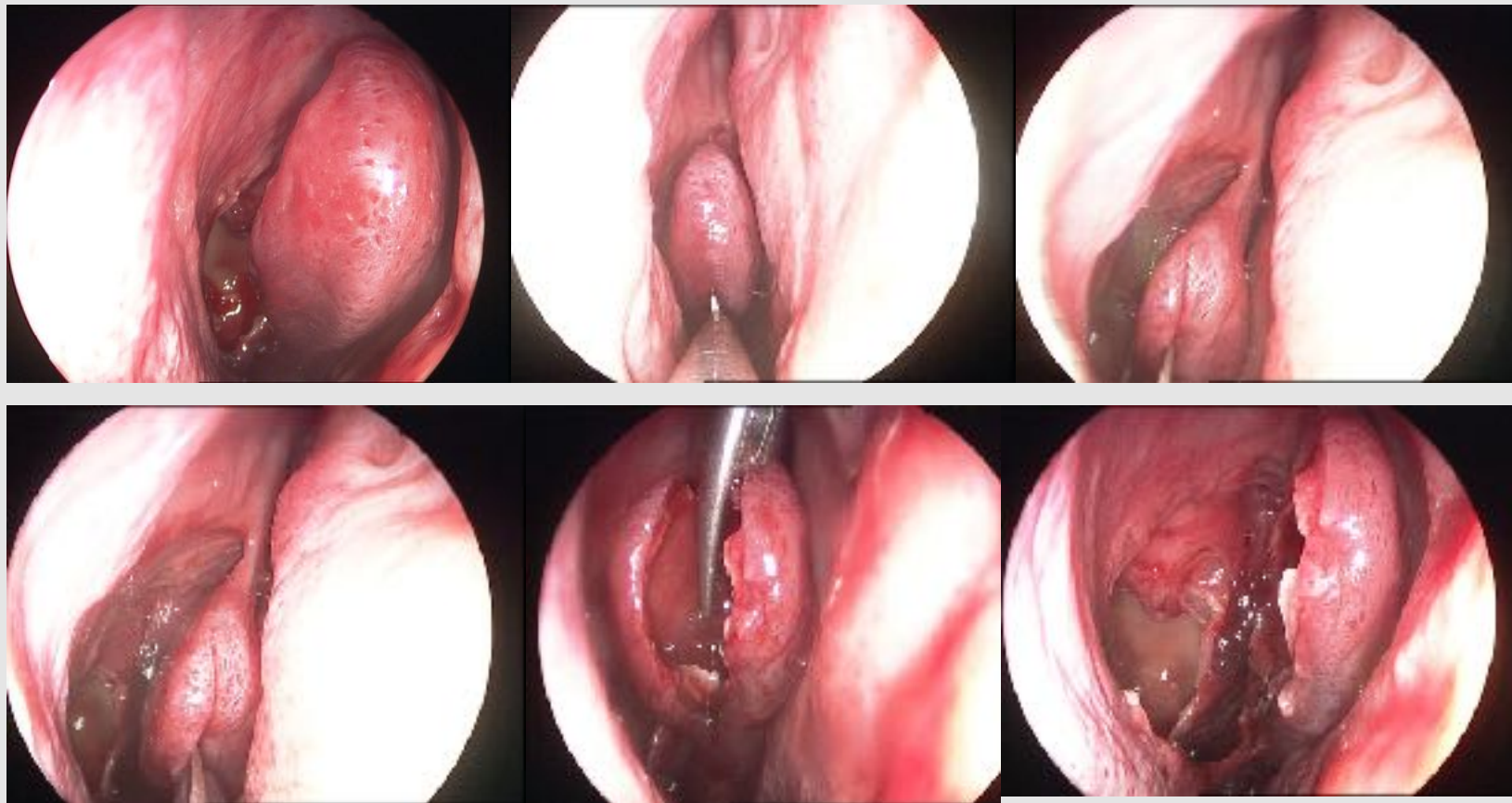




Reducing concha bullosa (pneumatised middle turbinate)



Reducing concha bullosa (pneumatised middle turbinate)





WL: 100
CLUT: New CLUT
Opacity: Linear Table

Mode: MP - Max Intensity Proj. 2
Thick Slab: 0.45

Shading: Shading
Anisot: 6.5
Diffuse: 6.5
Specular: 0.0: 2.0



Image size: 1432 x 666
View size: 1432 x 666
WL: 100 WW: 2000

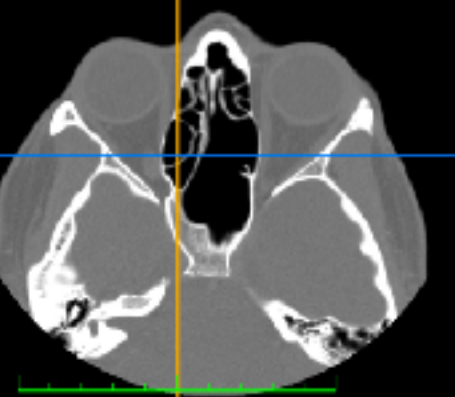


21490 (- , -)
Sinus Helical
2.1 sinus helical 0.625mm-3.75mm - DMPP
3

Zoom: 120% Angle: -90
Im: 1/1
Uncompressed

09/04/12 14:10:02
Made in OsiriX

Image size: 1368 x 685
View size: 1432 x 718
WL: 100 WW: 2000

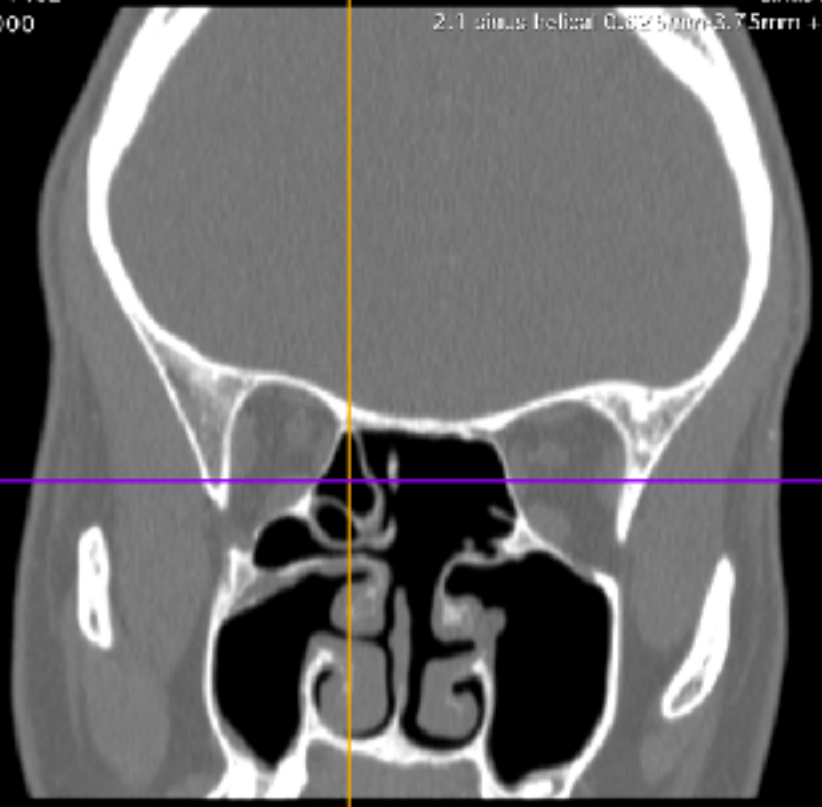


21490 (- , -)
Sinus Helical
2.1 sinus helical 0.625mm-3.75mm - DMPP
3

Zoom: 129% Angle: -180
Im: 1/1
Uncompressed

09/04/12 14:10:02
Made in OsiriX

Image size: 700 x 685
View size: 1432 x 1402
WL: 100 WW: 2000

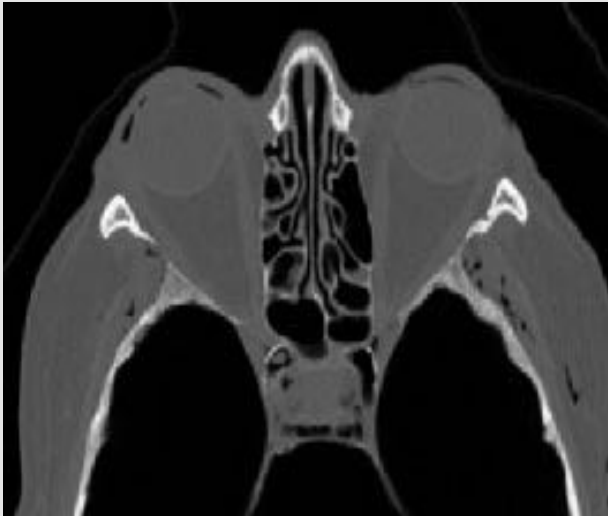


21490 (- , -)
Sinus Helical
2.1 sinus helical 0.625mm-3.75mm - DMPP
3

Zoom: 252% Angle: 0
Im: 1/1
Uncompressed

09/04/12 14:10:02
Made in OsiriX

Posterior ethmoidectomy



the posterior wall of the ethmoid cells
the posterior / inferior ethmoid cells are larger and

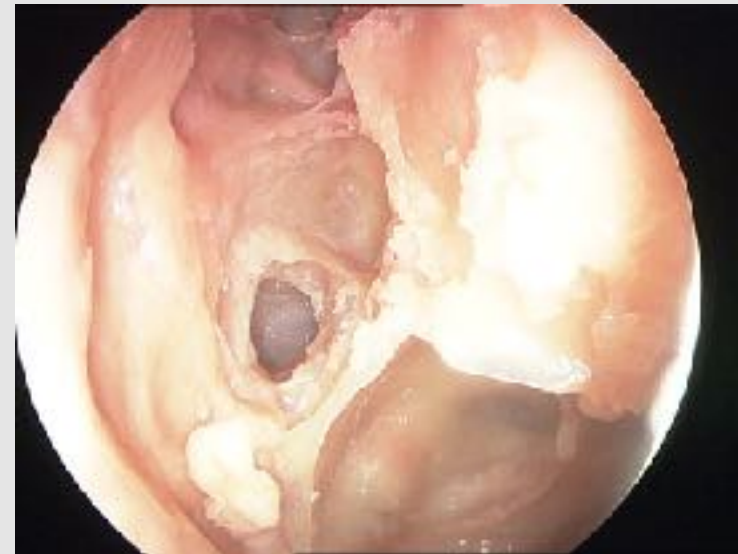


d

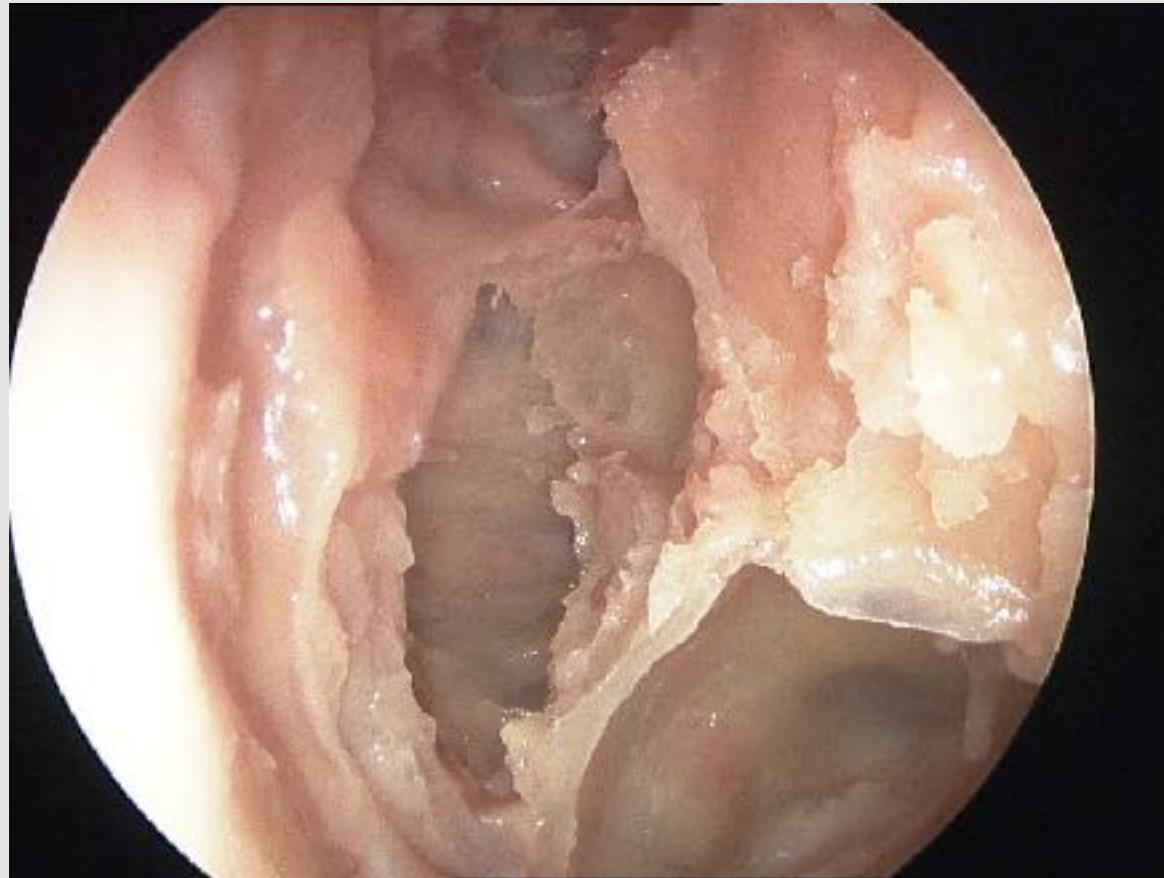
Posterior ethmoidectomy



Posterior ethmoidectomy

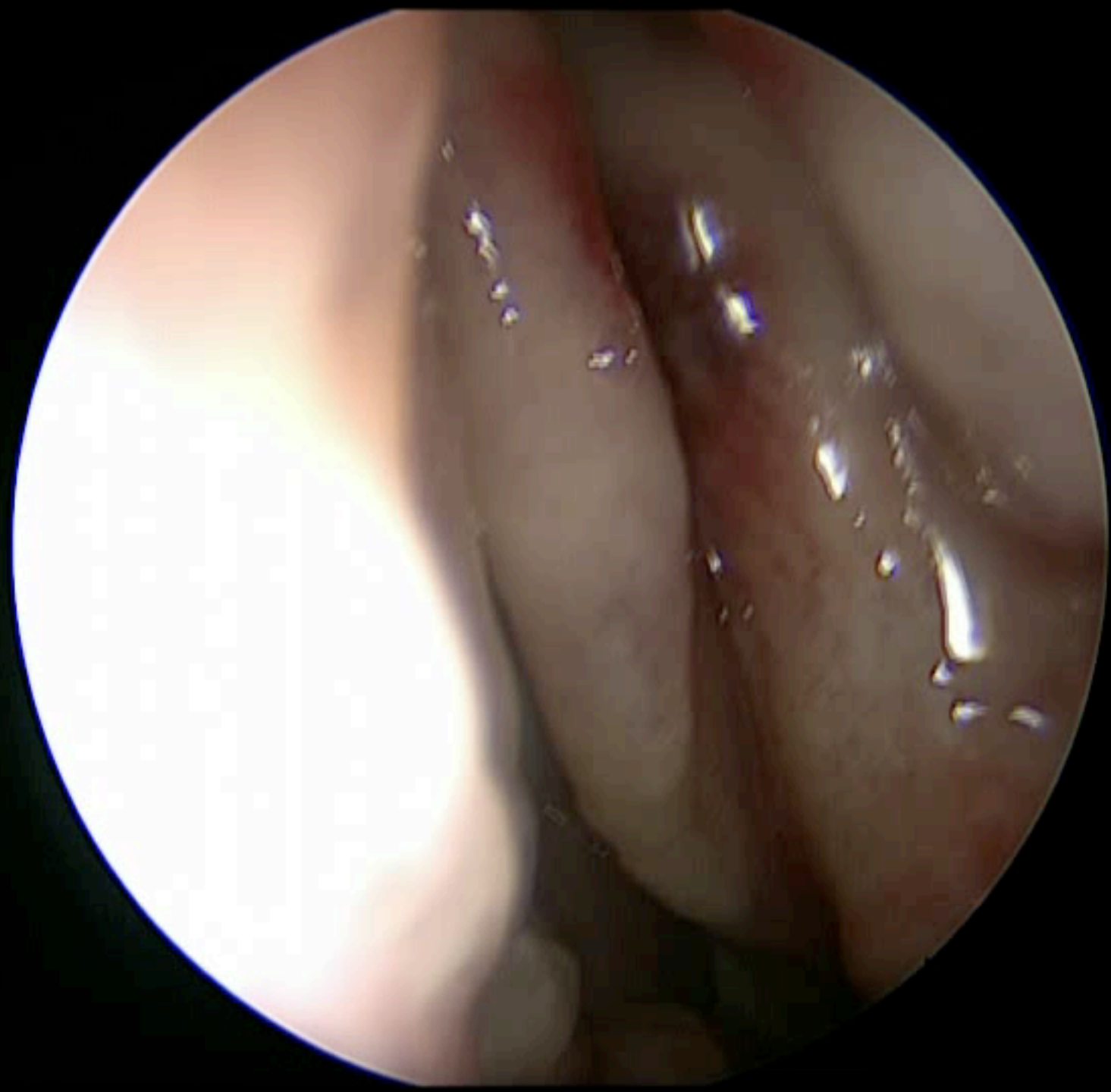


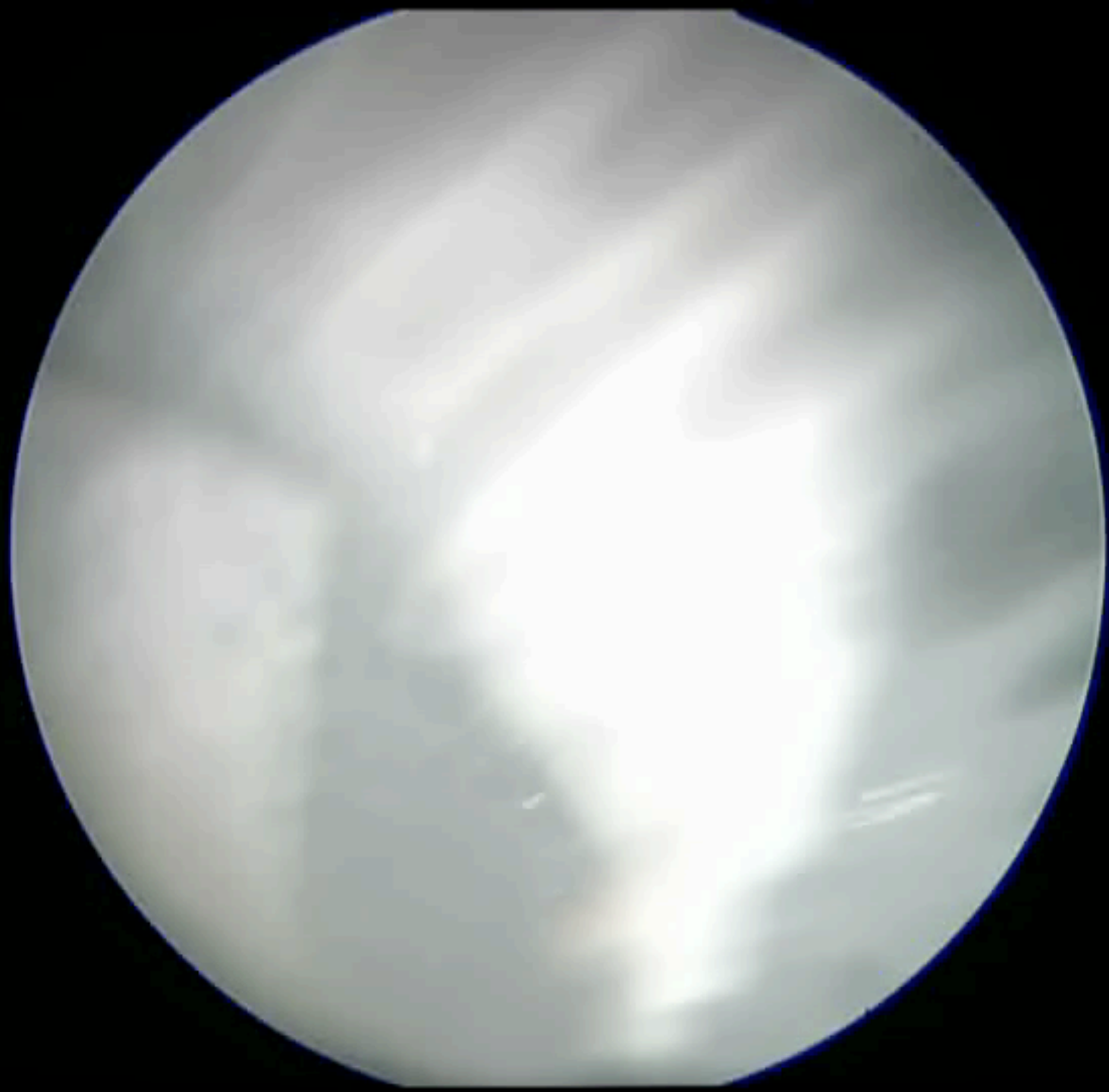
Posterior ethmoidectomy



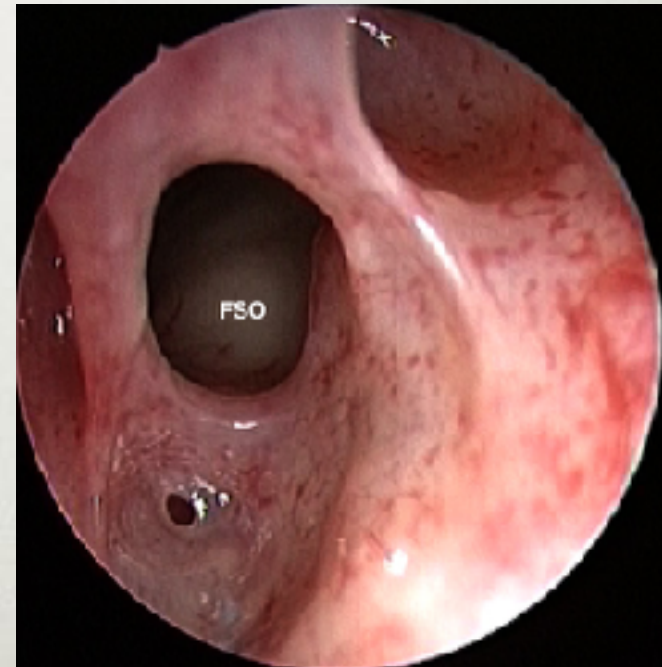
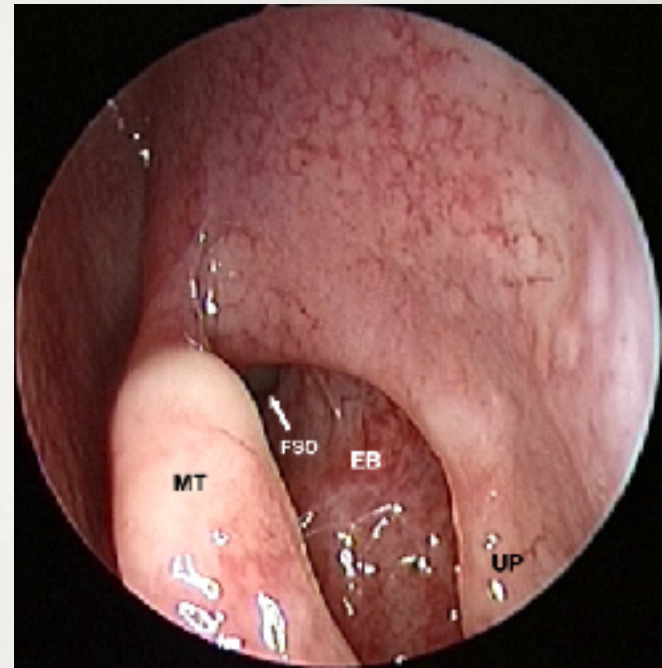
Posterior ethmoidectomy

- Keep in mind Onodi cell: superolateral to the sphenoid
- The optic nerve and carotid artery may lie in this cell

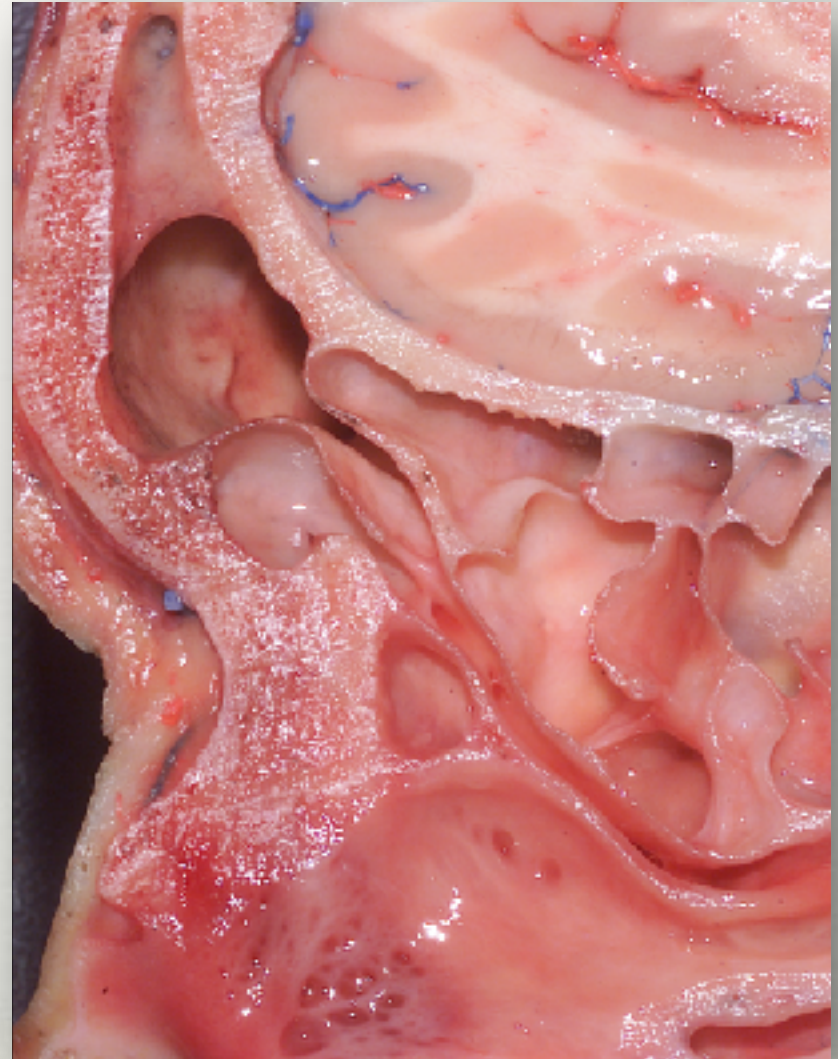




Frontal recess & sinus

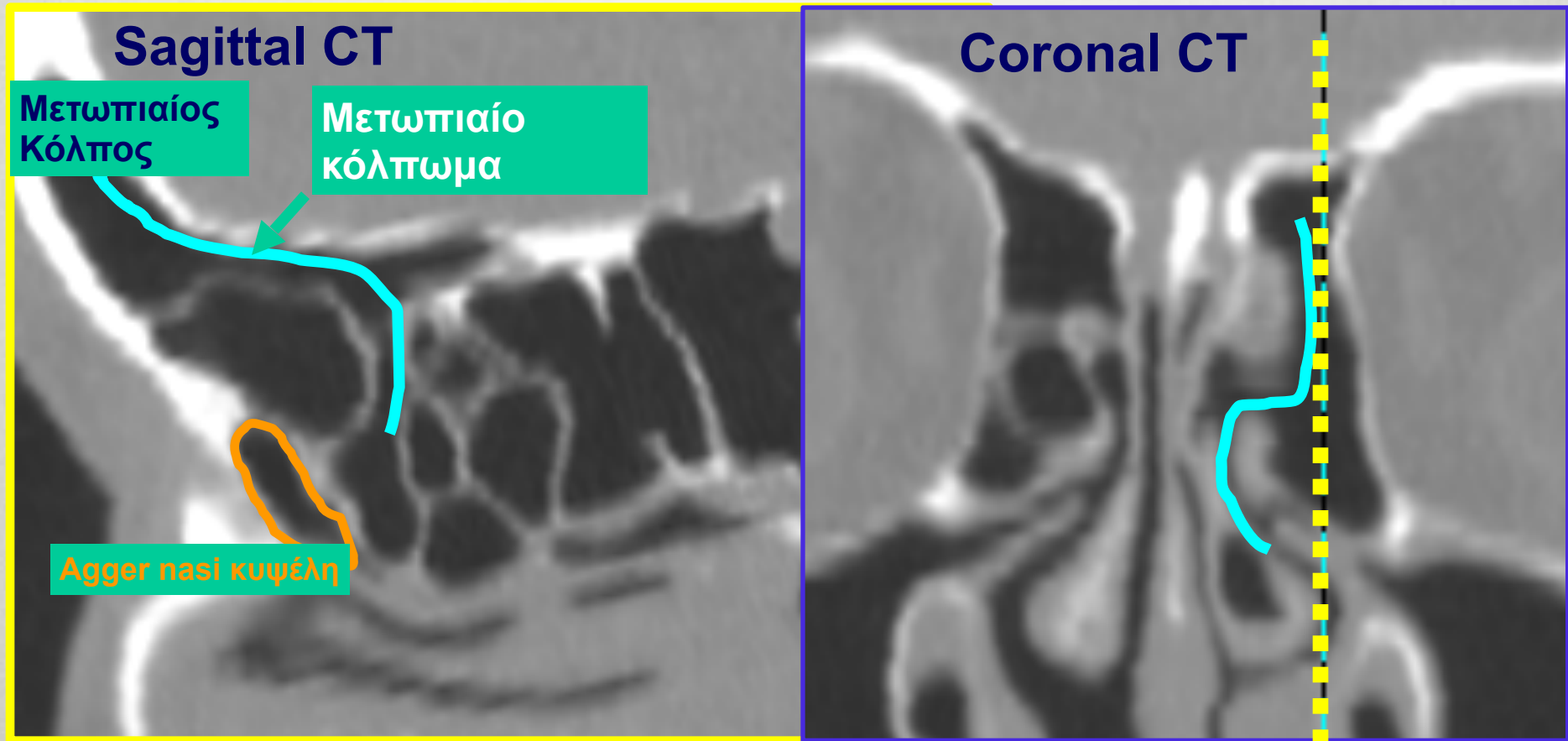


Frontal recess, intrafrontal cells



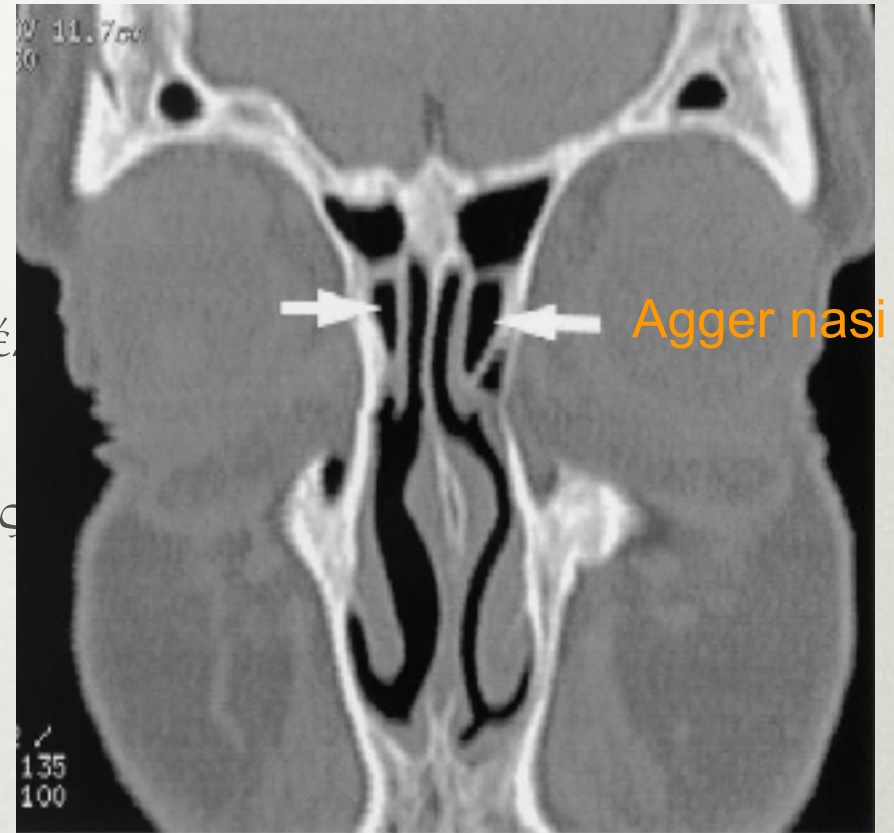
Μετωπιαίο κόλπωμα (recess)

Επικοινωνία μεταξύ μετωπιαίου κόλπου και ρινικής κοιλότητας. Δεν είναι πόρος με την αυστηρή έννοια του όρου αλλά μάλλον ένα κανάλι ανάμεσα στις πρόσθιες ηθμοειδείς κυψέλες, με τεράστια ποικιλομορφία...

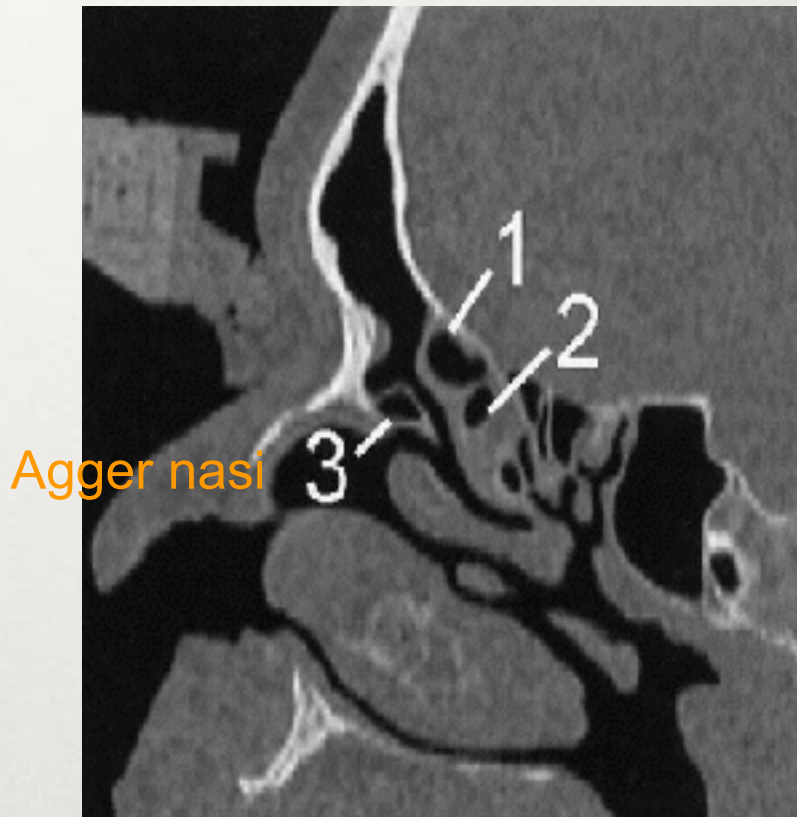
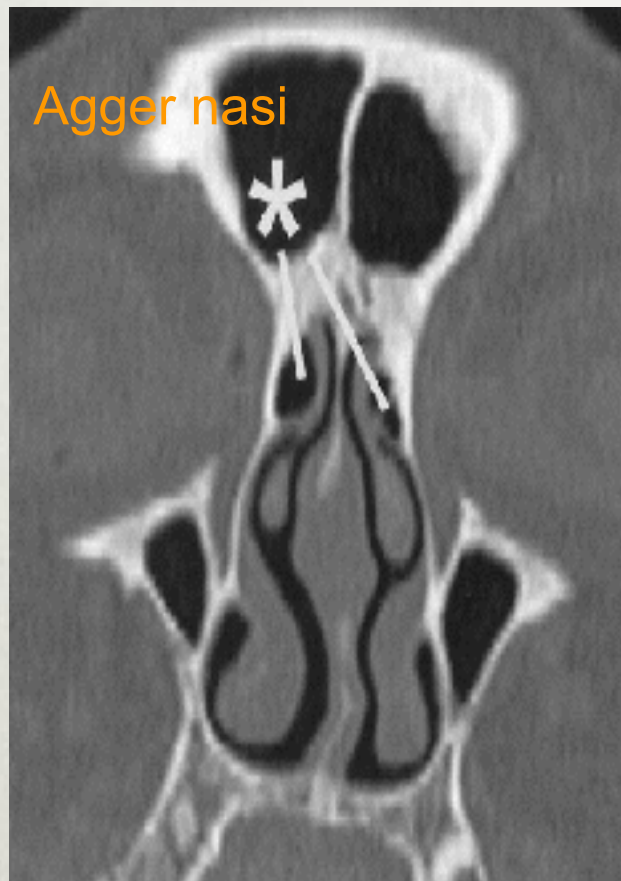


ΑΓΓΕΡ ΝΑΣΙ

- Η πιο πρόσθια ηθμοειδής κυψέλη
ethmoidalis....
- Agger nasi- Στην πρόσφυση της
- Ορια



AGGER NASI



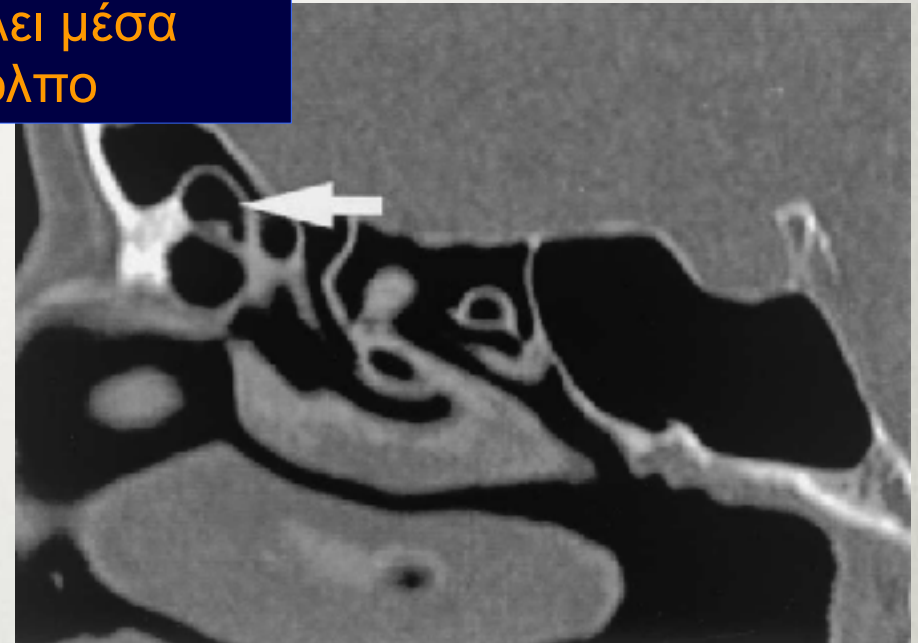
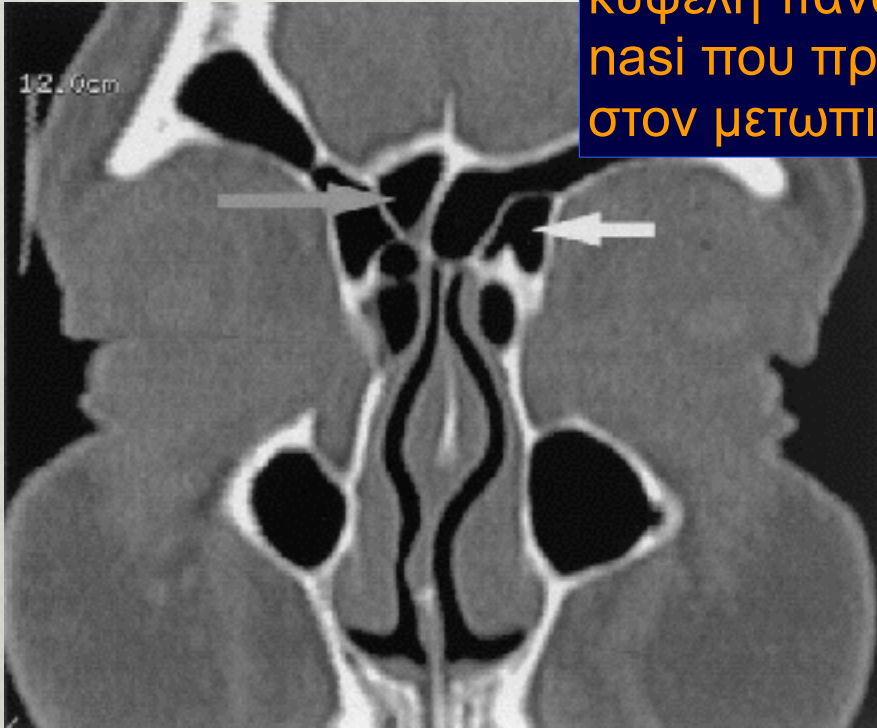
ΚΥΗΝ TYPE II



Κυηη τύπου 2: Δύο η
περισσότερες κυψέλες πάνω
από το agger nasi

ΚΥΗΝ ΤΥΠΟΥ III

Κυήν τύπου 3: Μία μοναδική κυψέλη πάνω από το agger nasi που προβάλλει μέσα στον μετωπιαίο κόλπο



ΚΥΗΝ TYPE IV

Κυήν τύπου 4: Μεμονωμένη κυψέλη μέσα στον μετωπιαίο κόλπο, χωρίς επικοινωνία με τη ρινική κοιλότητα



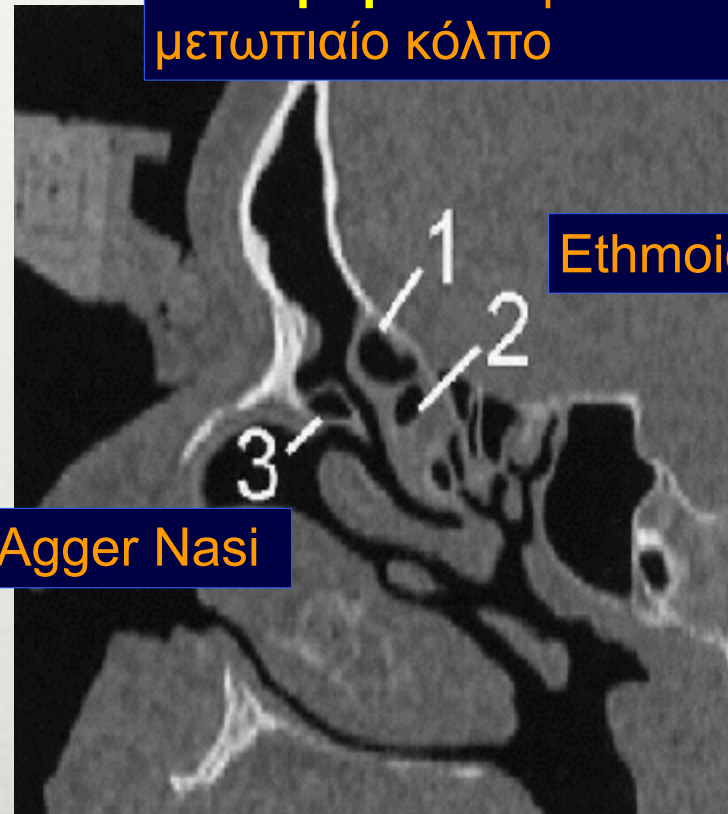
SUPRA – FRONTAL BULLAR

CELLS

Fronto bullar cell: Μοναδική
κυψέλη πάνω απο την bulla –
προβάλλει μέσα στον
μετωπιαίο κόλπο



Supra bullar cell: Μοναδική
κυψέλη πάνω απο την bulla –
δεν προβάλλει μέσα στον
μετωπιαίο κόλπο



Ethmoid bulla

Agger Nasi

KEEP IT SIMPLE....

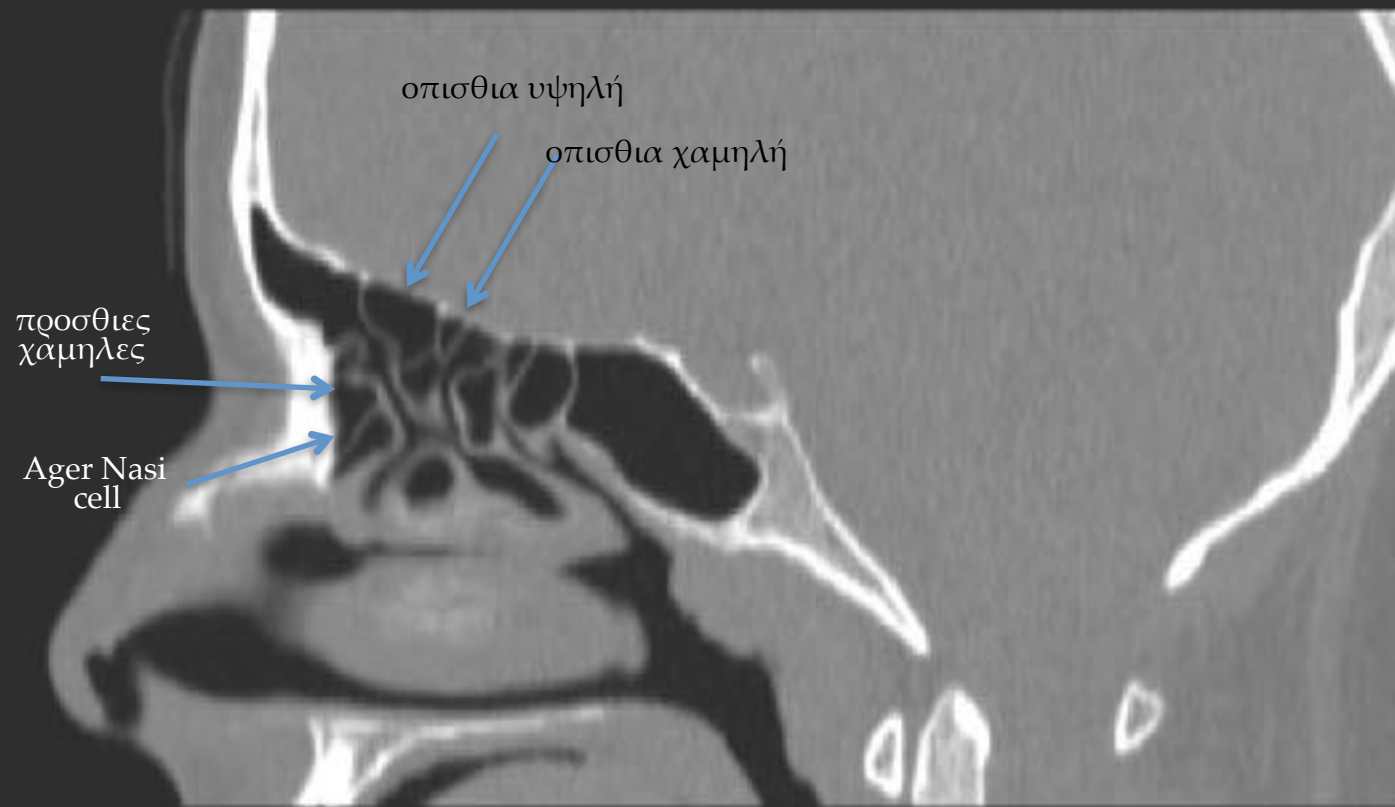
ΜΙΑ ΝΕΑ ΠΡΟΤΑΣΗ ΤΑΞΙΝΟΜΗΣΗΣ

- Πρόσθιες
 - Υψηλές (“Kuhn 3,4”)
 - Χαμηλές (“Kuhn 1,2”)
- Οπίσθιες
 - Υψηλές (“frontobullar”)
 - Χαμηλές (suprabullar”)



[European position paper on the anatomical terminology of the internal nose and paranasal sinuses.](#)

Lund VJ, Stammberger H, Fokkens WJ, Beale T, Bernal-Sprekelsen M, Eloy P, Georgalas C, Gerstenberger C, Hellings P, Herman P, Hosemann WG, Jankowski R, Jones N, Jorissen M, Leunig A, Onerci M, Rimmer J, Rombaux P, Simmen D, Tomazic PV, Tschabitscherr M, Welge-Luessen A.
Rhinol Suppl. 2014 Mar;(24):1-34.



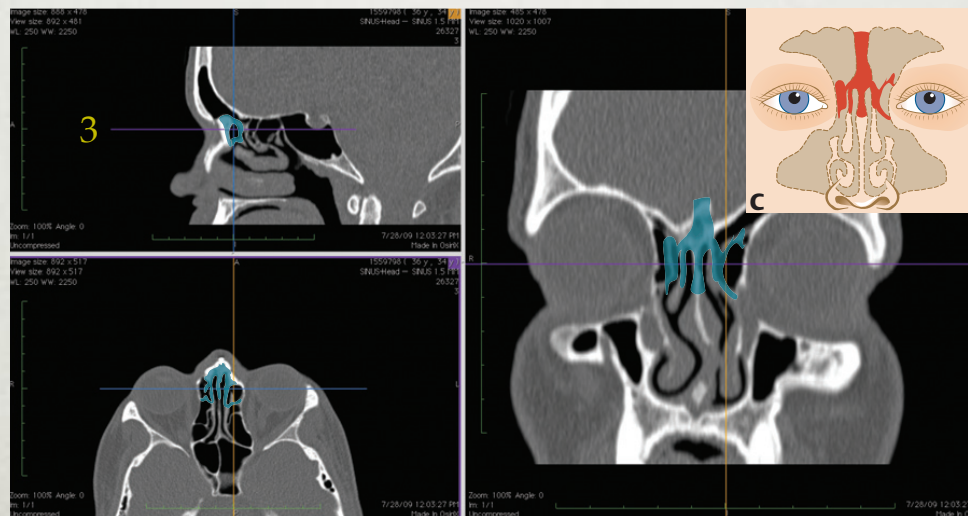
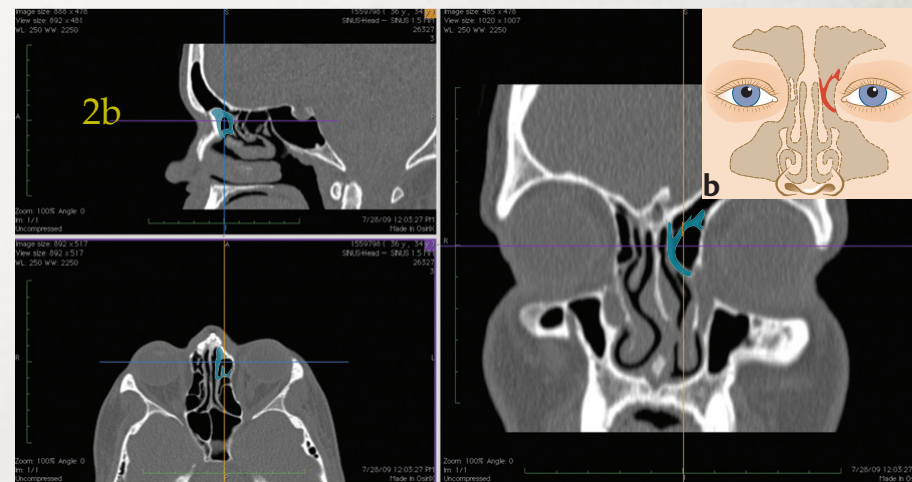
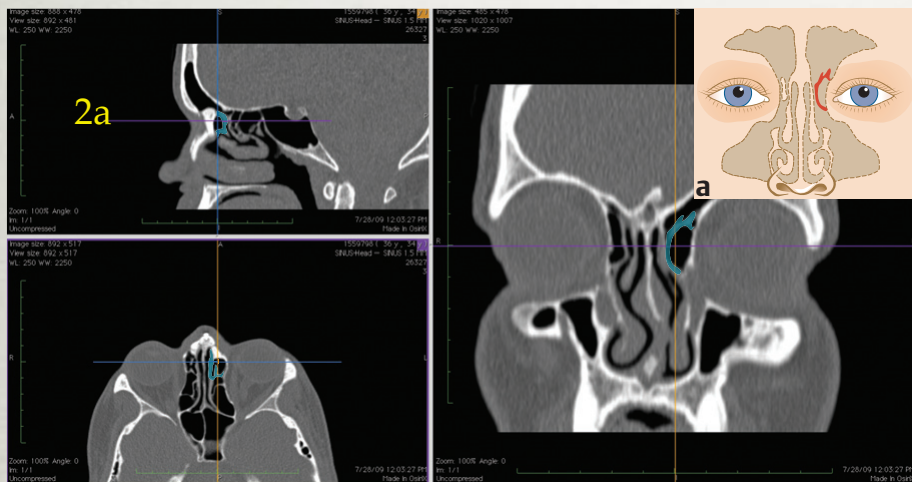
οπισθια υψηλή

οπισθια χαμηλή

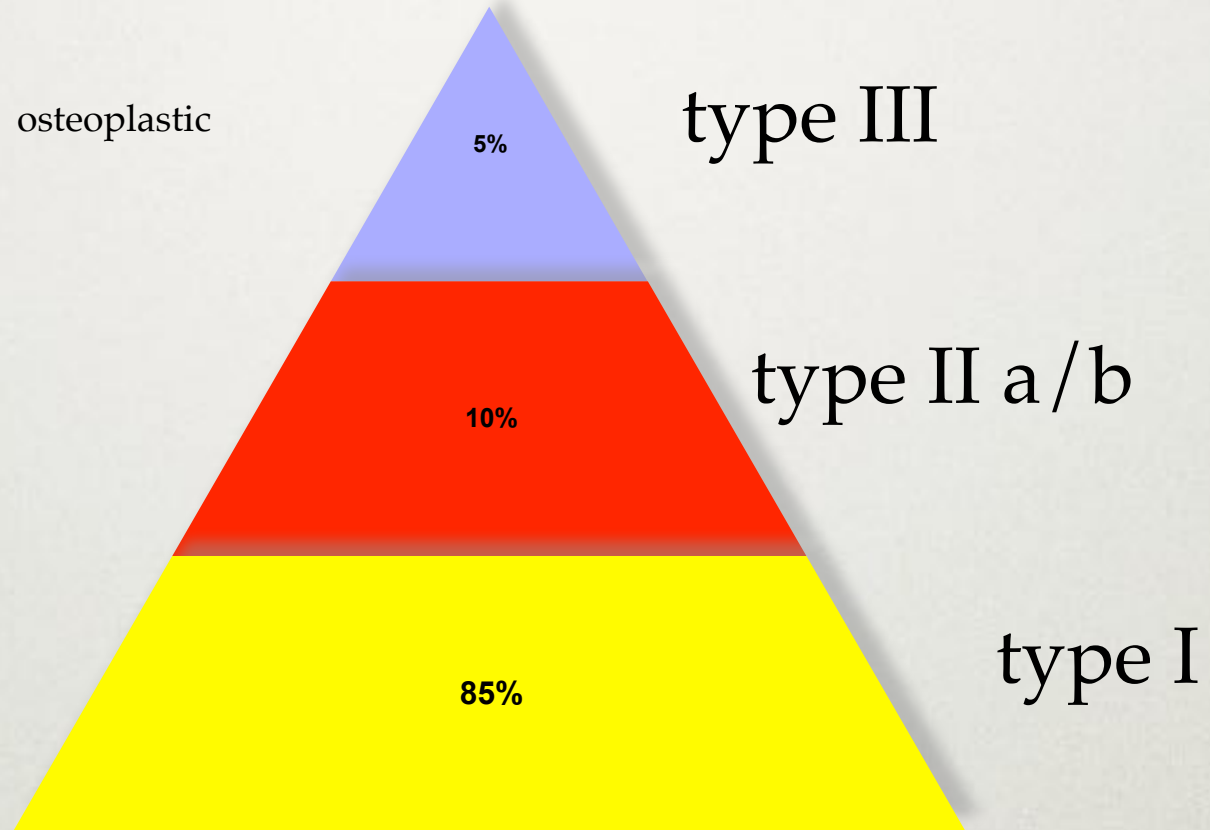
προσθιες χαμηλες

Ager Nasi cell

ΤΑΞΙΝΟΜΗΣΗ ΠΡΟΣΕΓΓΙΣΕΩΝ ΣΤΟΝ ΜΕΤΩΠΙΑΙΟ



(Primary Surgery)



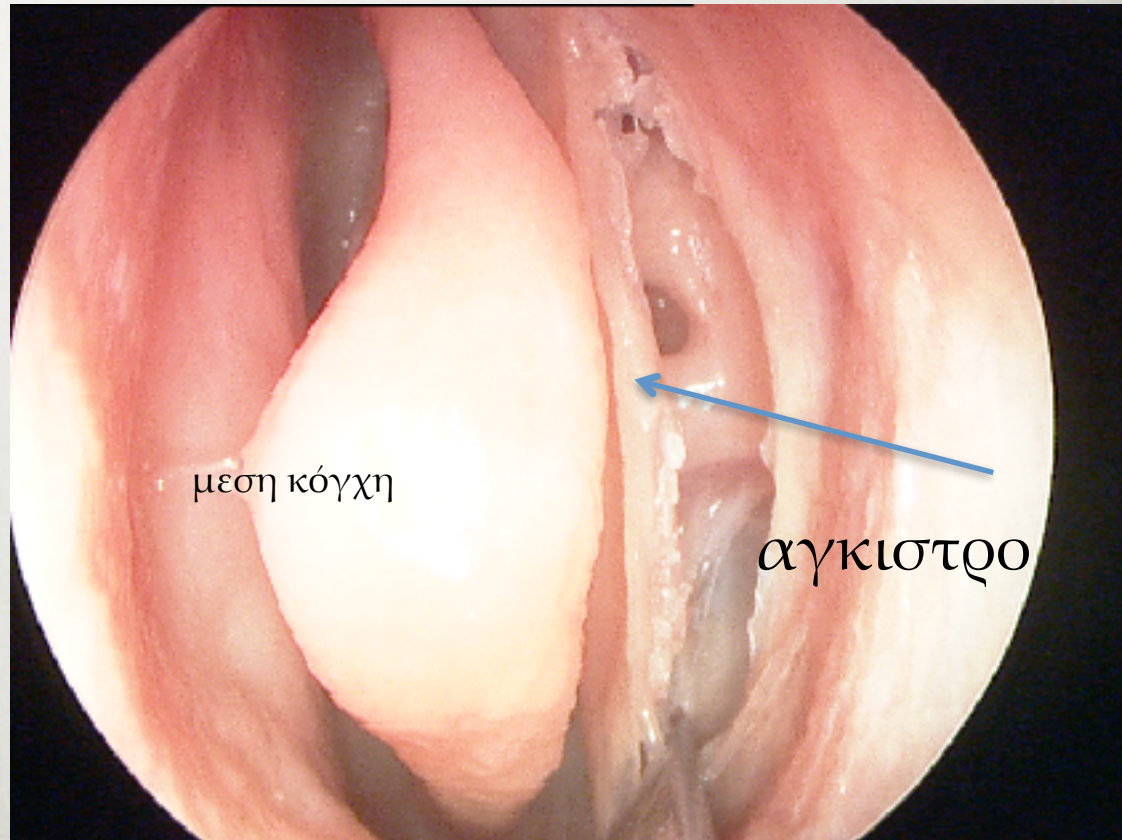
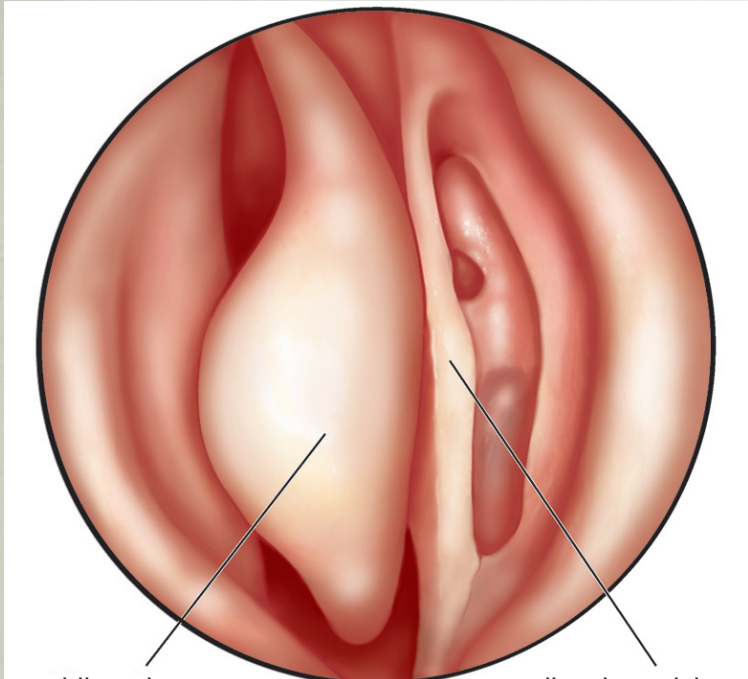
ALL - OR - NONE CONCEPT

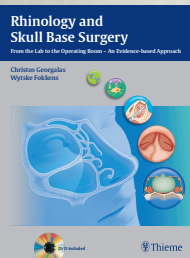
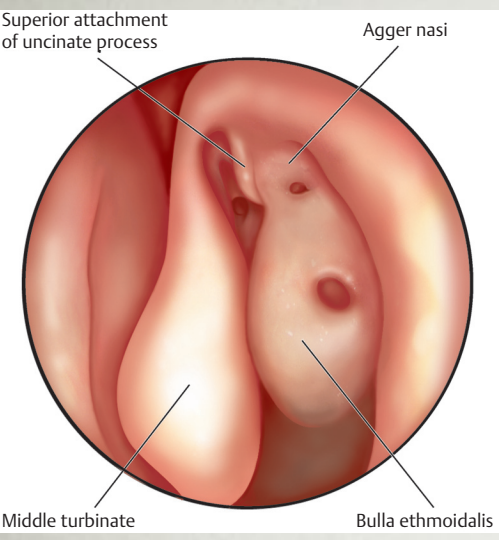
- *Μετά την είσοδο στον μετωπιαίο, δεν υπάρχει επιστροφή*
- *Μια μικρή τρύπα που ανατράται δια μέσου των οστεοκύστεων του μετωπιαίου κοιλώματος οδηγεί νομοτελιακά σε στένωση και ιατρογενή κολπίτιδα*
- *Η λιγότερο επεμβατική χειρουργική στο μετωπιαίο πρέπει να περιλαμβάνει ως ελάχιστο την πλήρη αφαίρεση όλων των οστεοκύστεων του μετωπιαίου*

ΔΡΑΦ 1 - ΕΚΤΟΜΗ ΑΓΚΪΣΤΡΟΥ ΚΑΙ ΠΡΪΘΣΘΙΑ ΗΘΜΟΙΔΕΚΤΟΜΪΗ

ενδειξεις:

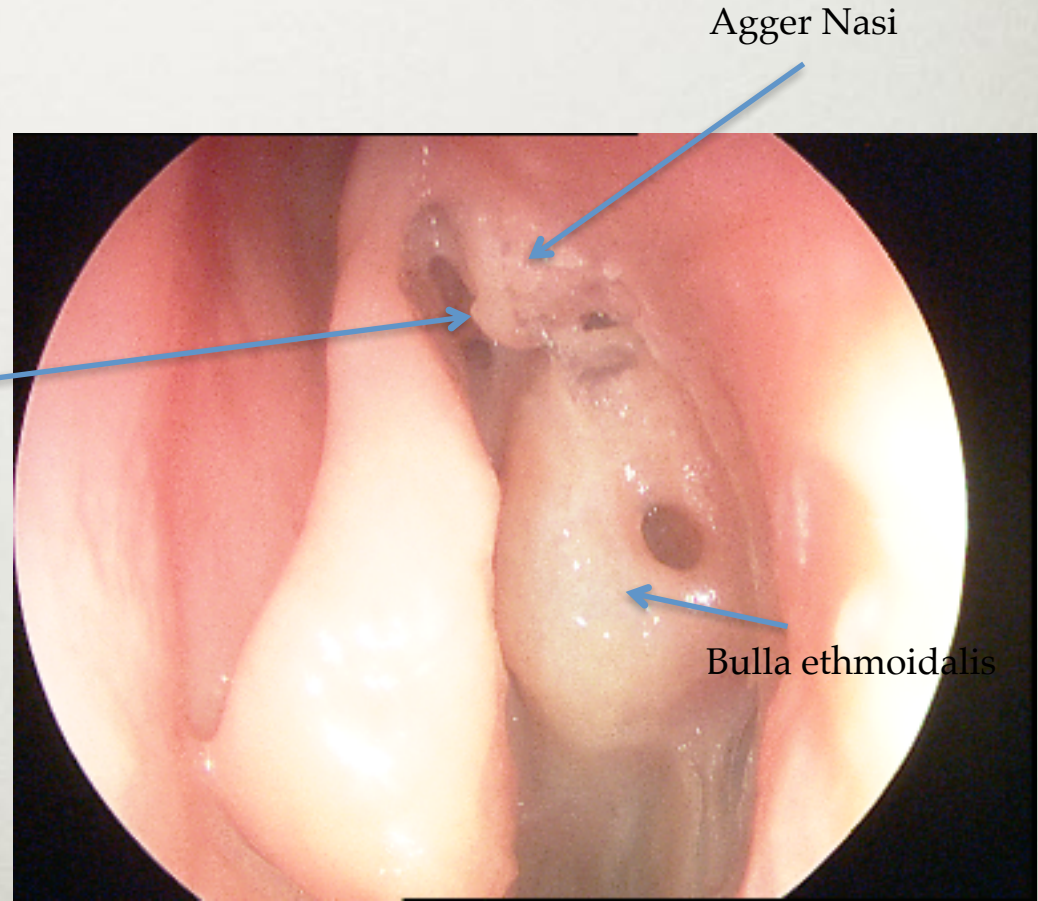
- σχεδόν όλες οι αρχικές επεμβάσεις για μετωπιαία κολπίτιδα

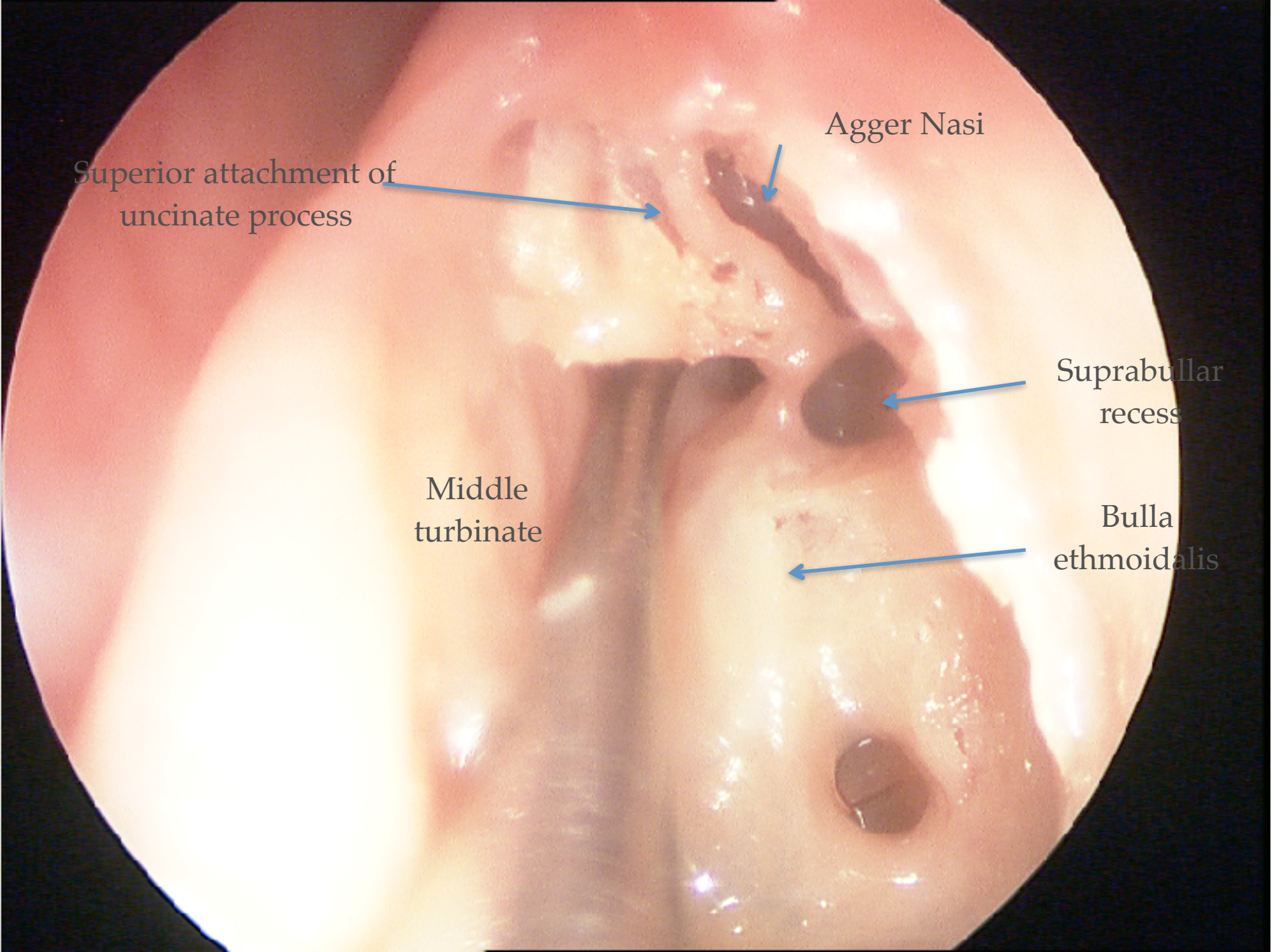




ανω προσφυση αγκιστρου

μεσα κογχη





Agger Nasi

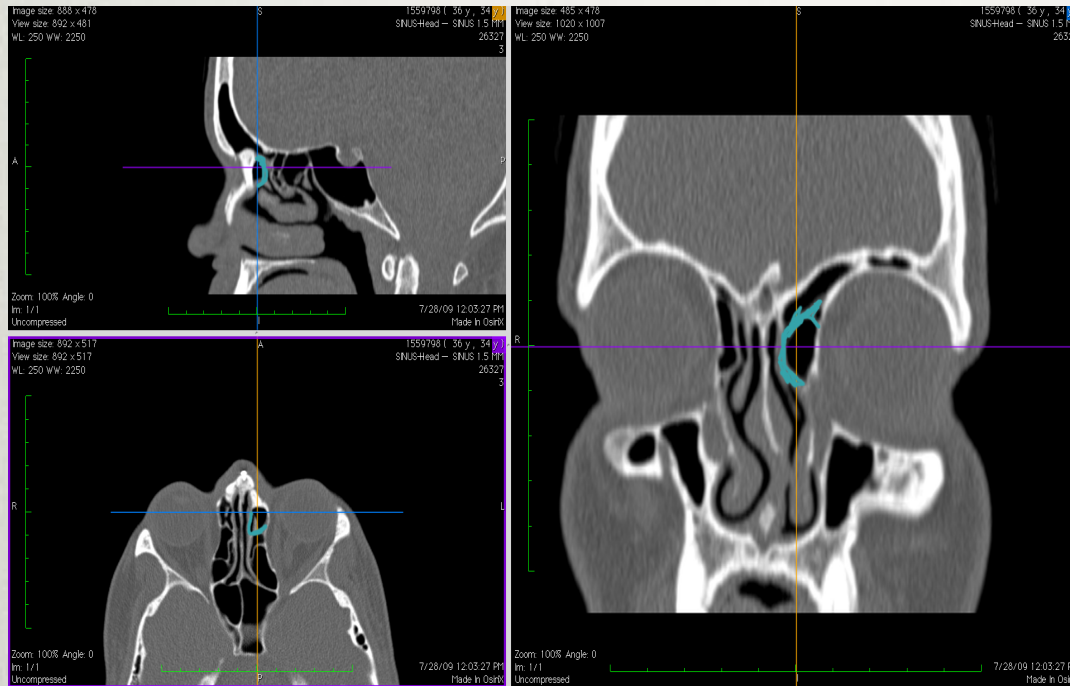
Superior attachment of
uncinate process

Suprabullar
recess

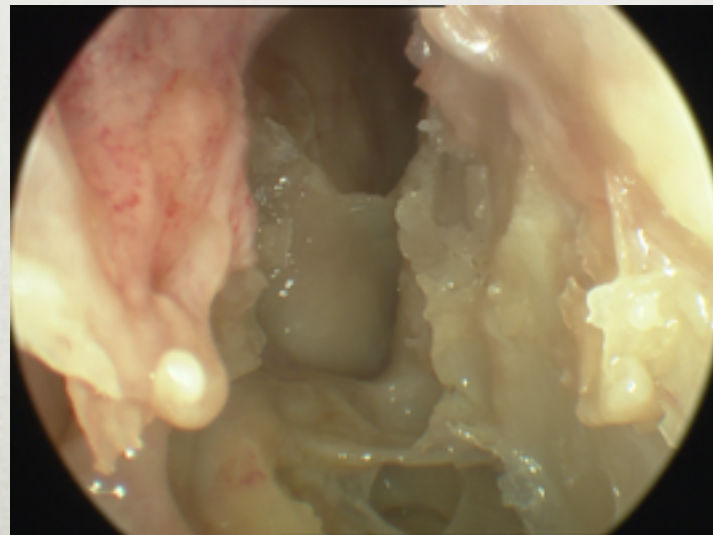
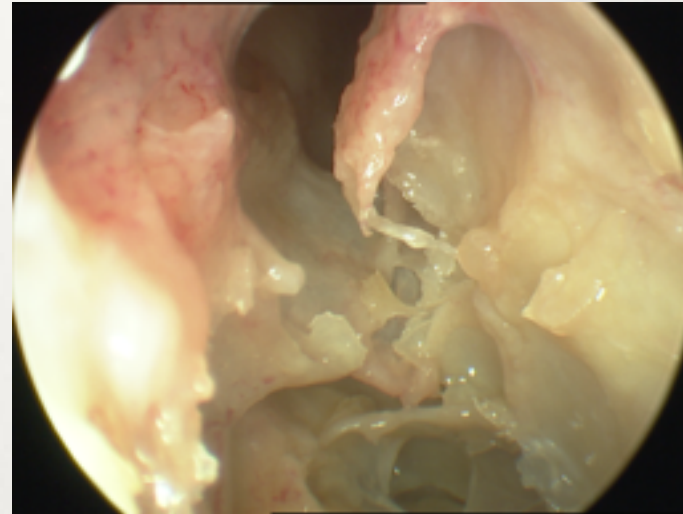
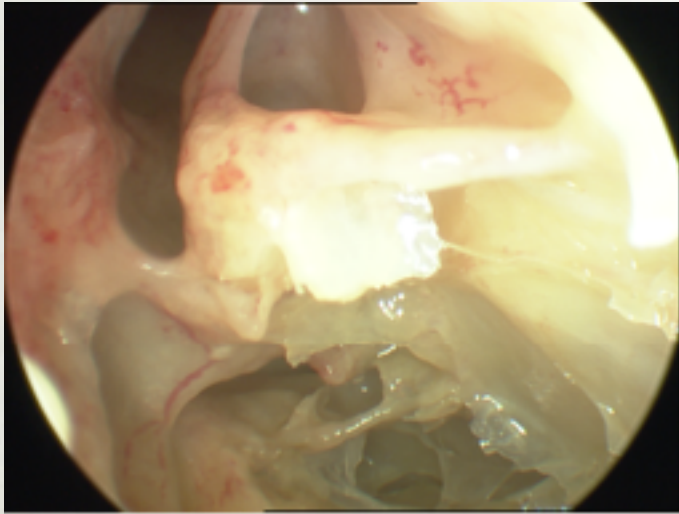
Middle
turbinate

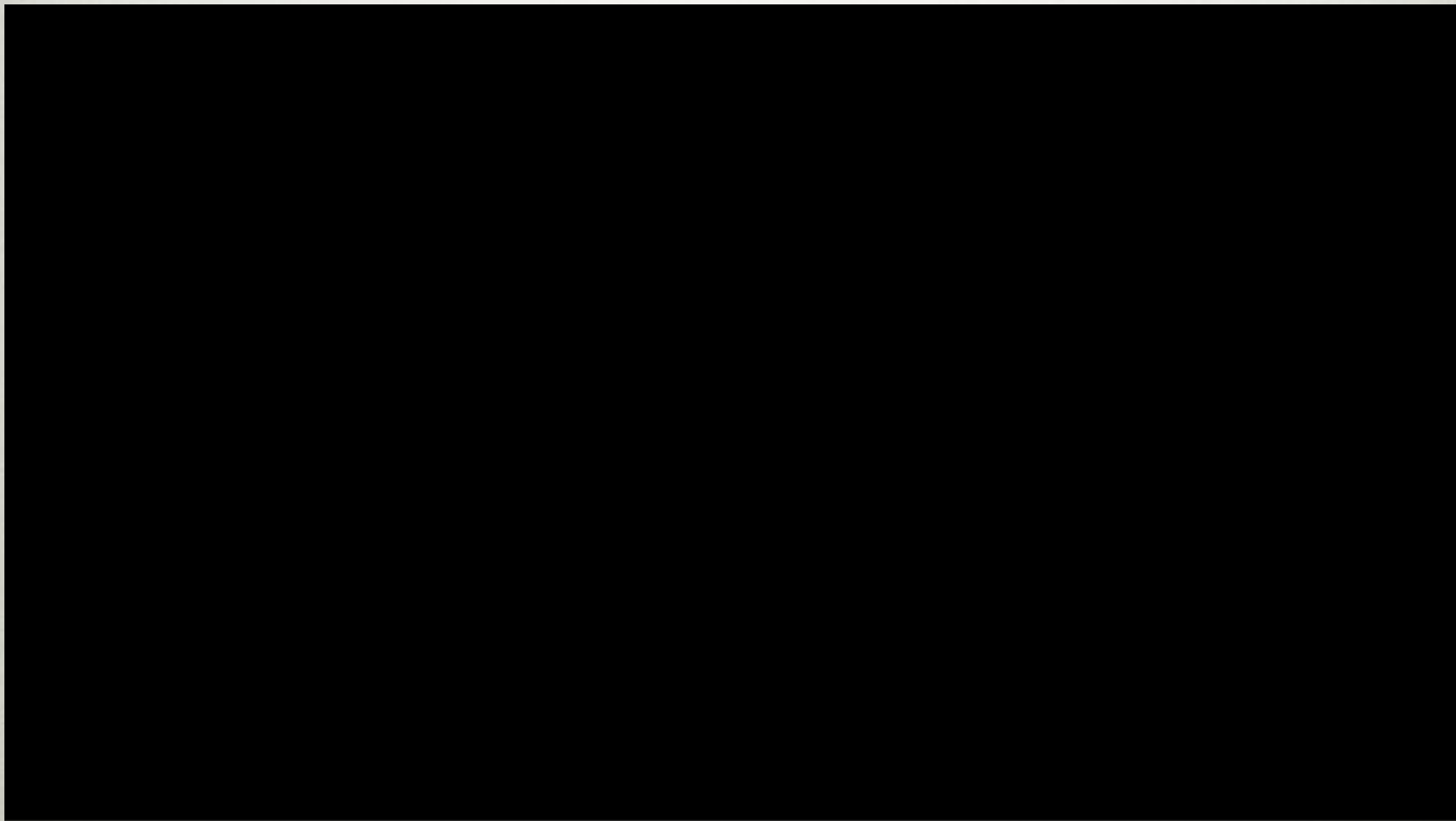
Bulla
ethmoidalis

DRAF 2A - "UNCAPPING THE EGG"



DRAF 2A

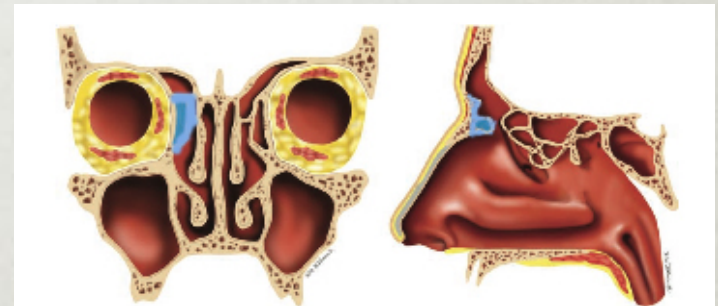
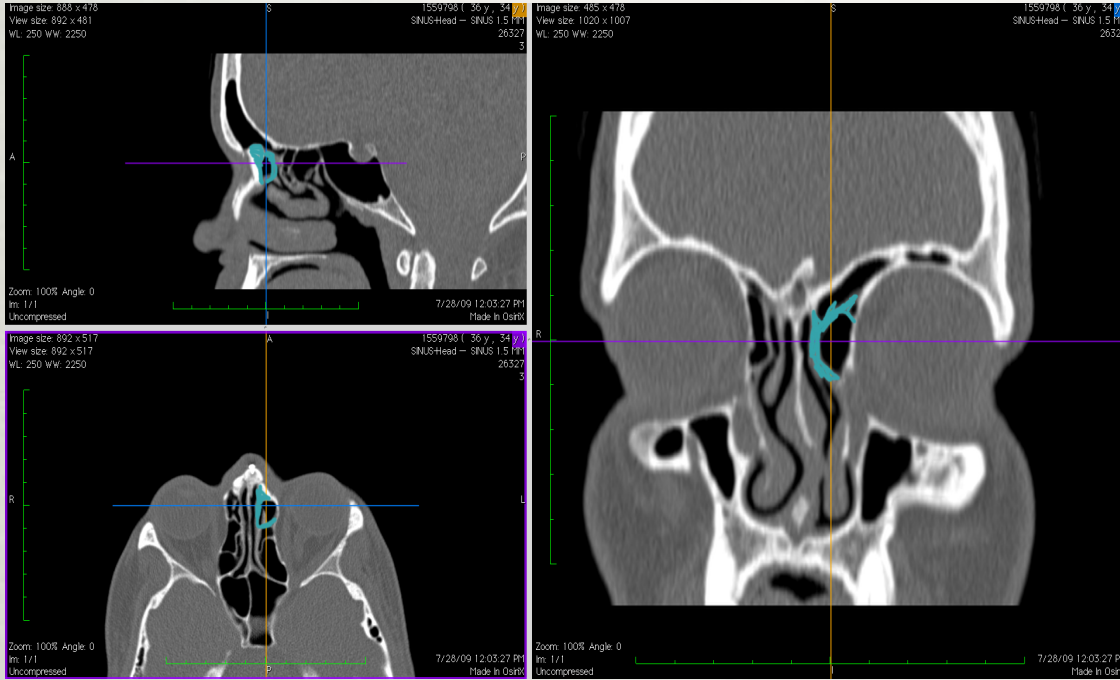




DRAF IIB

- Αφαίρεση (ανάτρηση) όλου του εδάφους του μετωπιαίου κόλπου

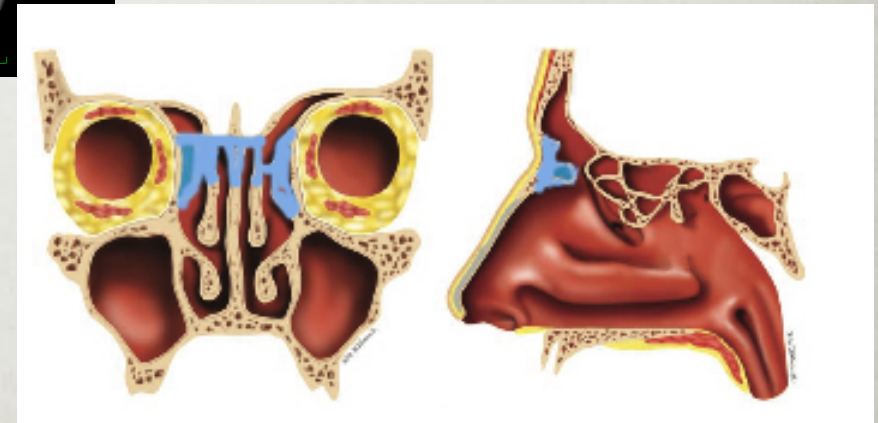
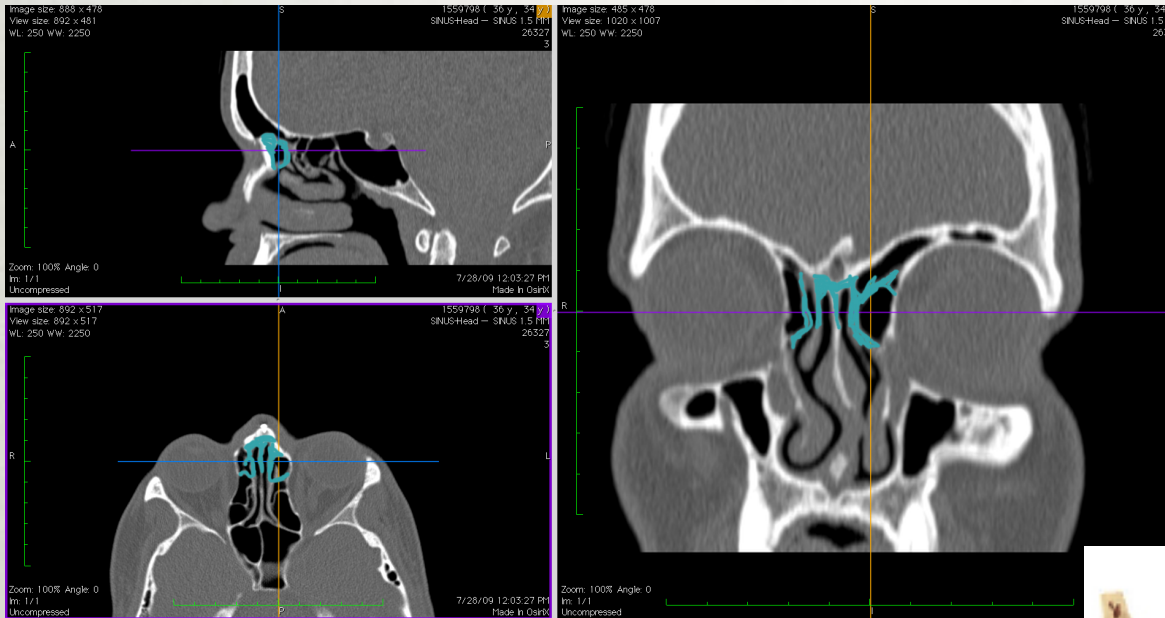
DRAF 2B



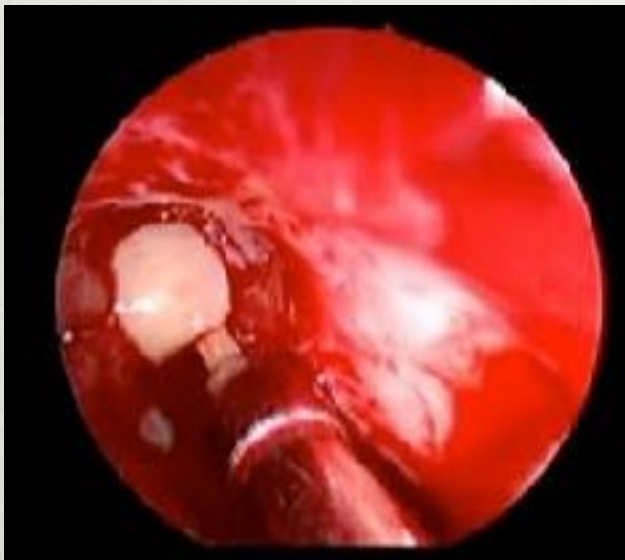
DRILLING IN THE FRONTAL SINUS



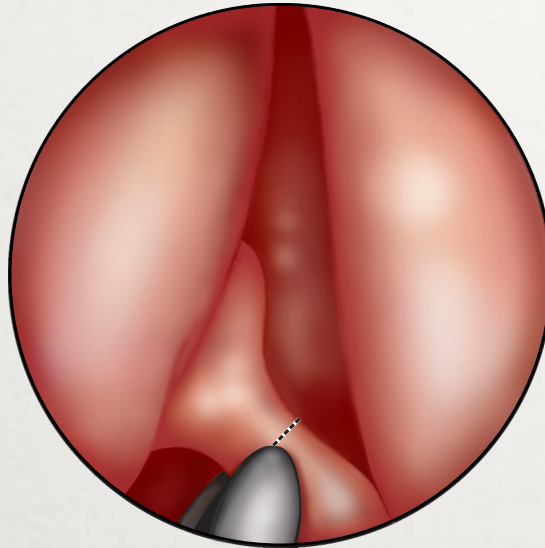
DRAF ΤΥΠΟΥ 3 -MODIFIED LOTHROP PROCEDURE



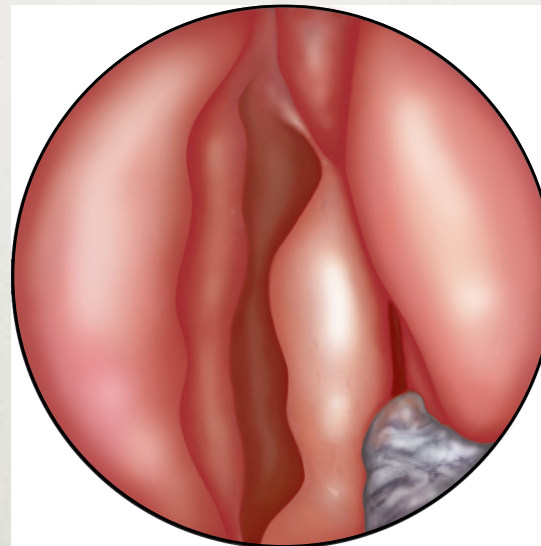
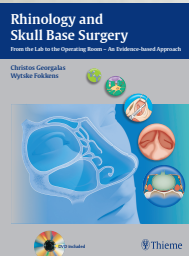
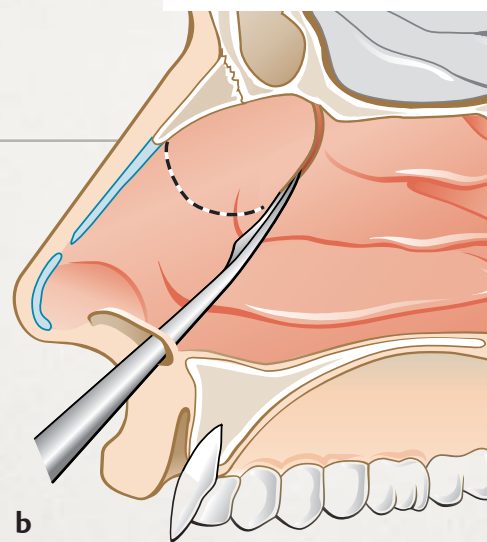
ΔΡΑΦ 2Α ΑΜΦΩ



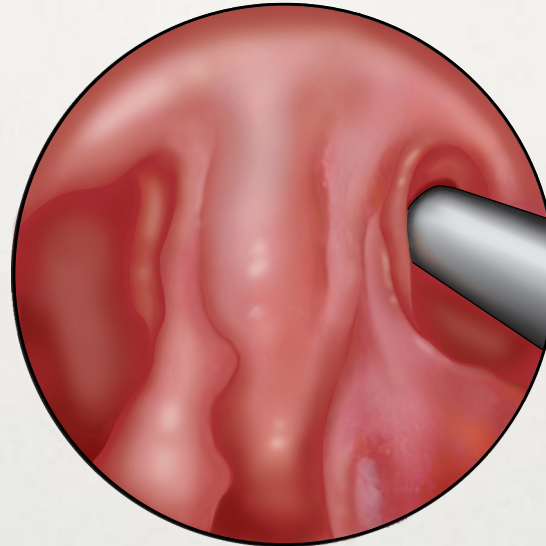
ΜΕΡΙΚΉ ΑΦΑΙΡΕΣΗ ΜΕΣΗΣ ΚΟΓΧΗΣ



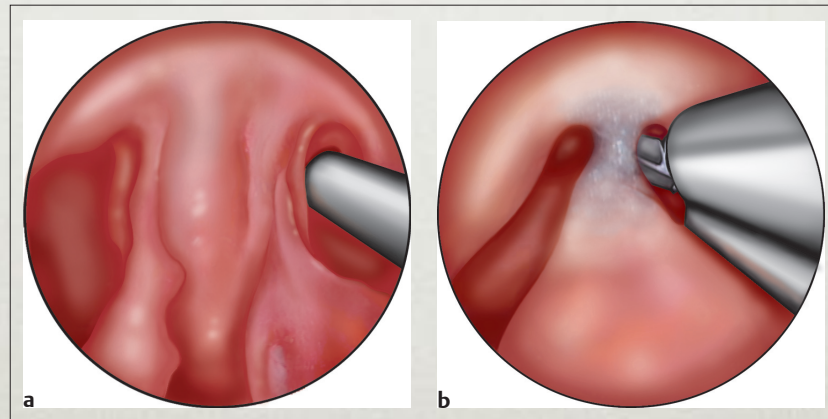
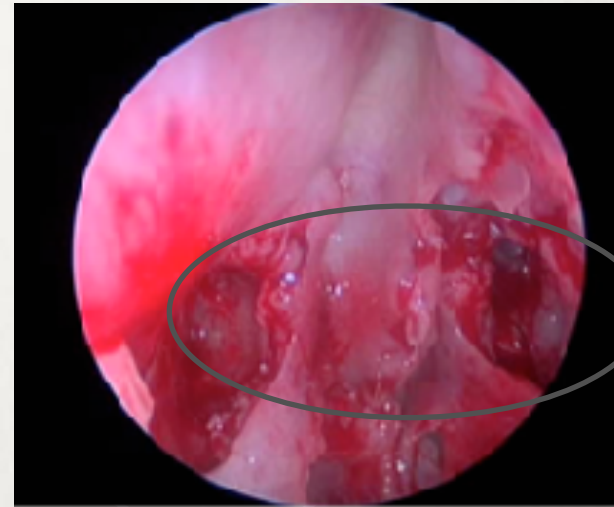
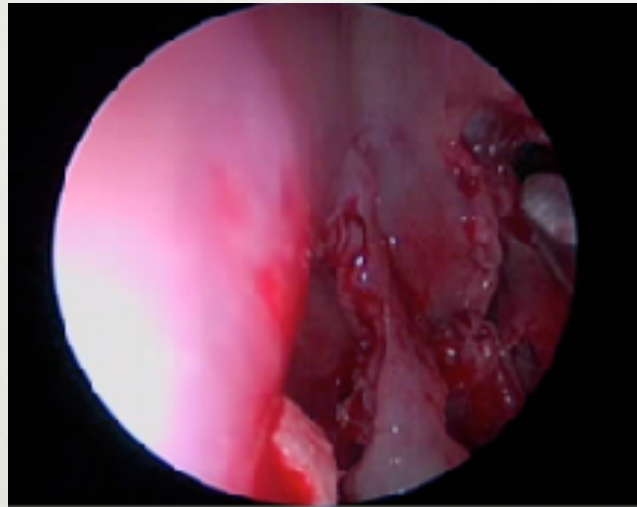
“ΠΑΡΑΘΥΡΟ” ΔΙΑΦΡΑΓΜΑΤΟΣ



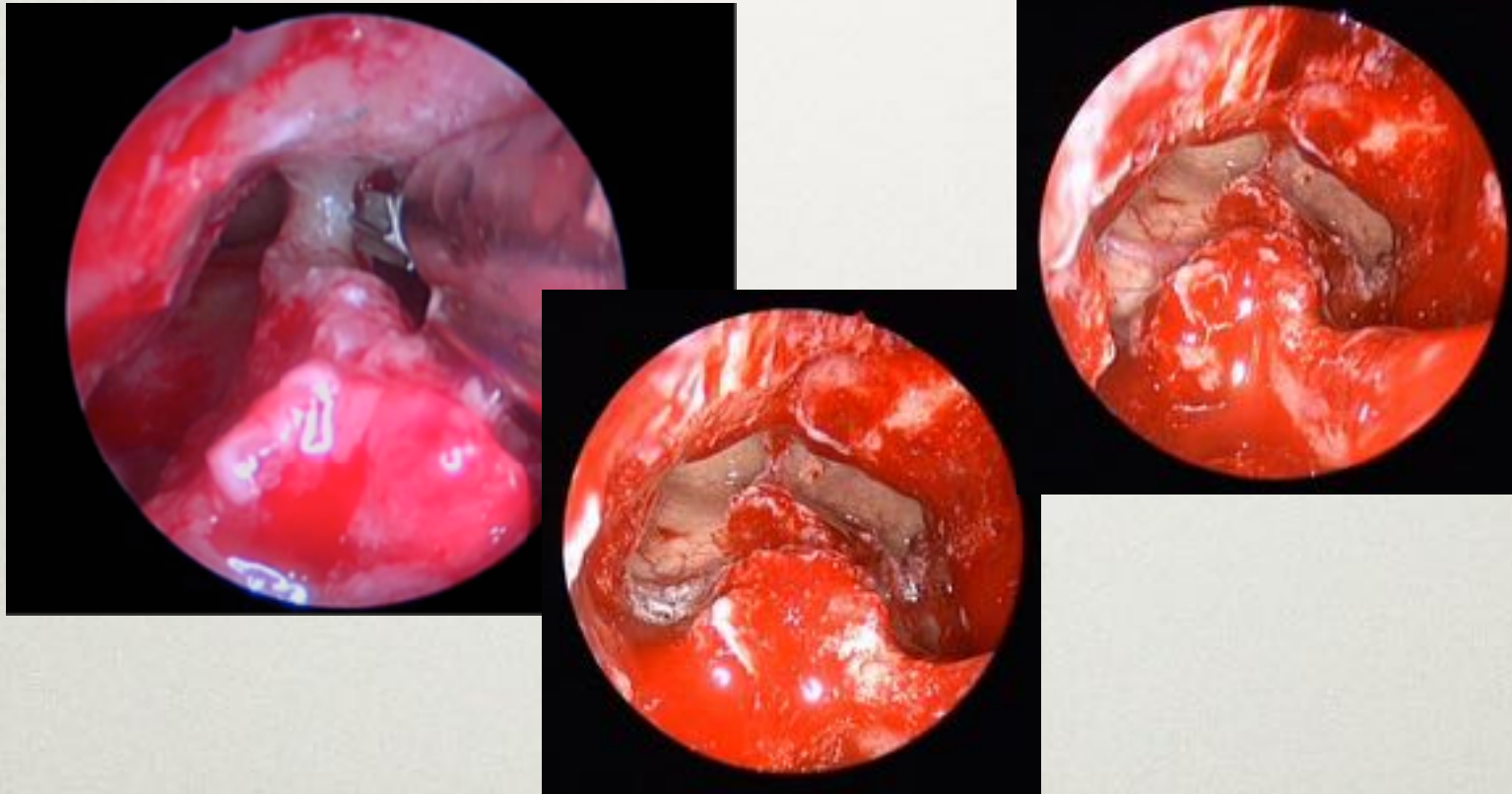
ΕΝΟΠΟΙΗΣΗ ΤΩΝ ΜΕΤΩΠΙΑΙΩΝ ΔΟΥΛΕΥΟΝΤΑΣ ΜΕΣΑ ΑΠΟ ΤΟΥΣ ΔΥΟ ΡΩΘΩΝΕΣ

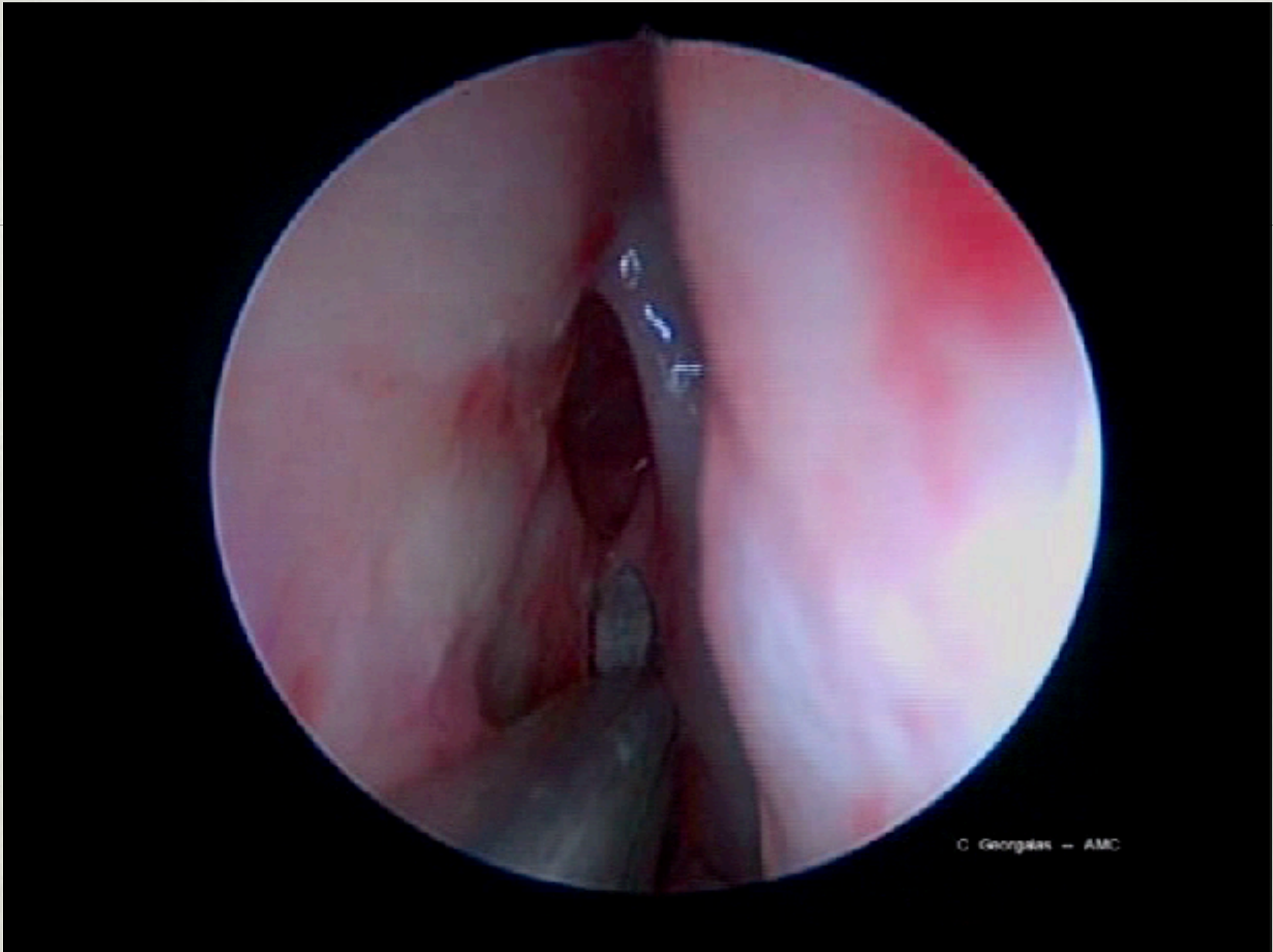


ΑΦΑΙΡΕΣΗ NASAL BEAK



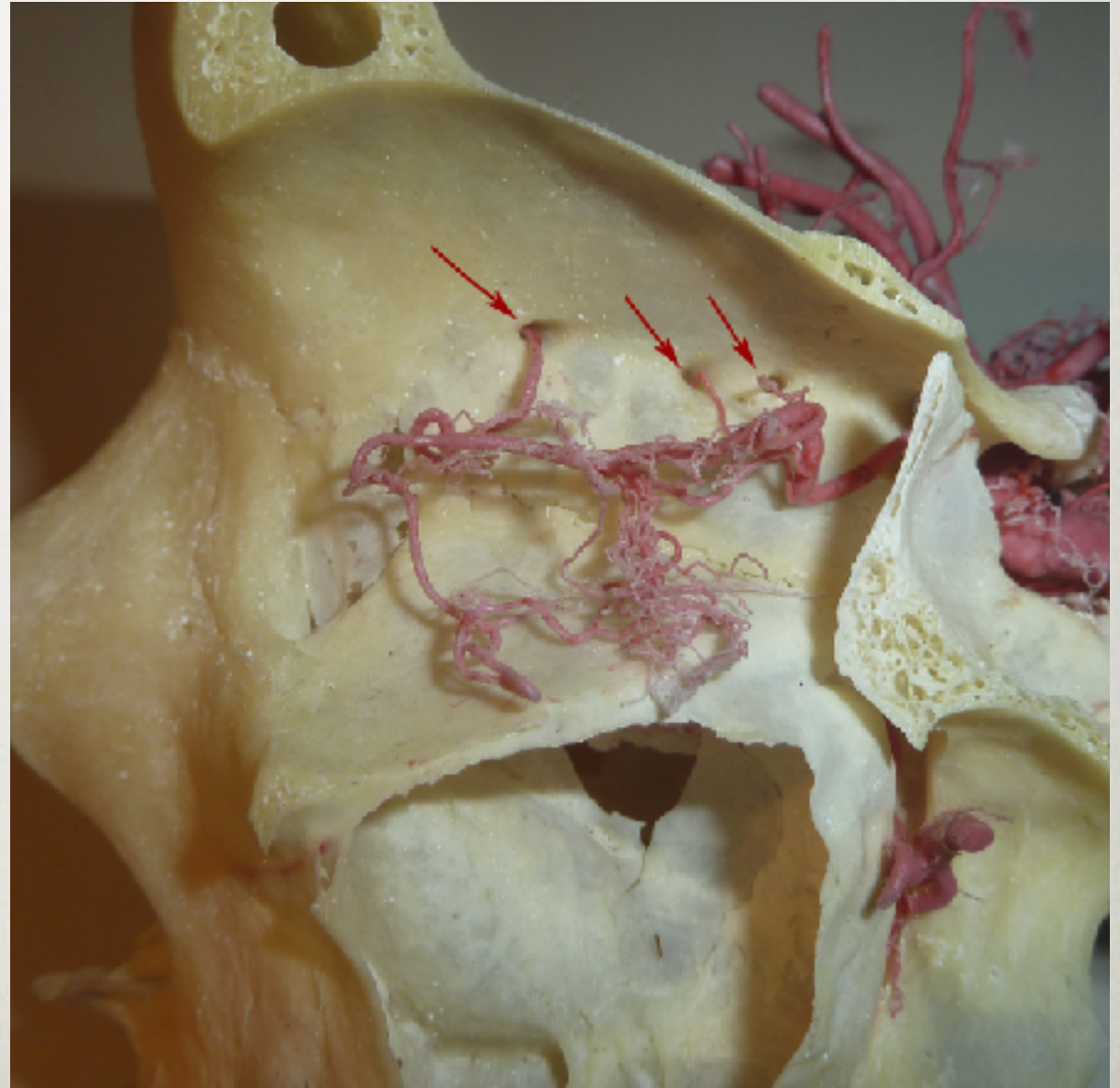
ΤΟ ΝΕΟ-ΣΤΟΜΙΟ ΜΕΓΙΣΤΟΠΟΙΕΪΤΑΙ

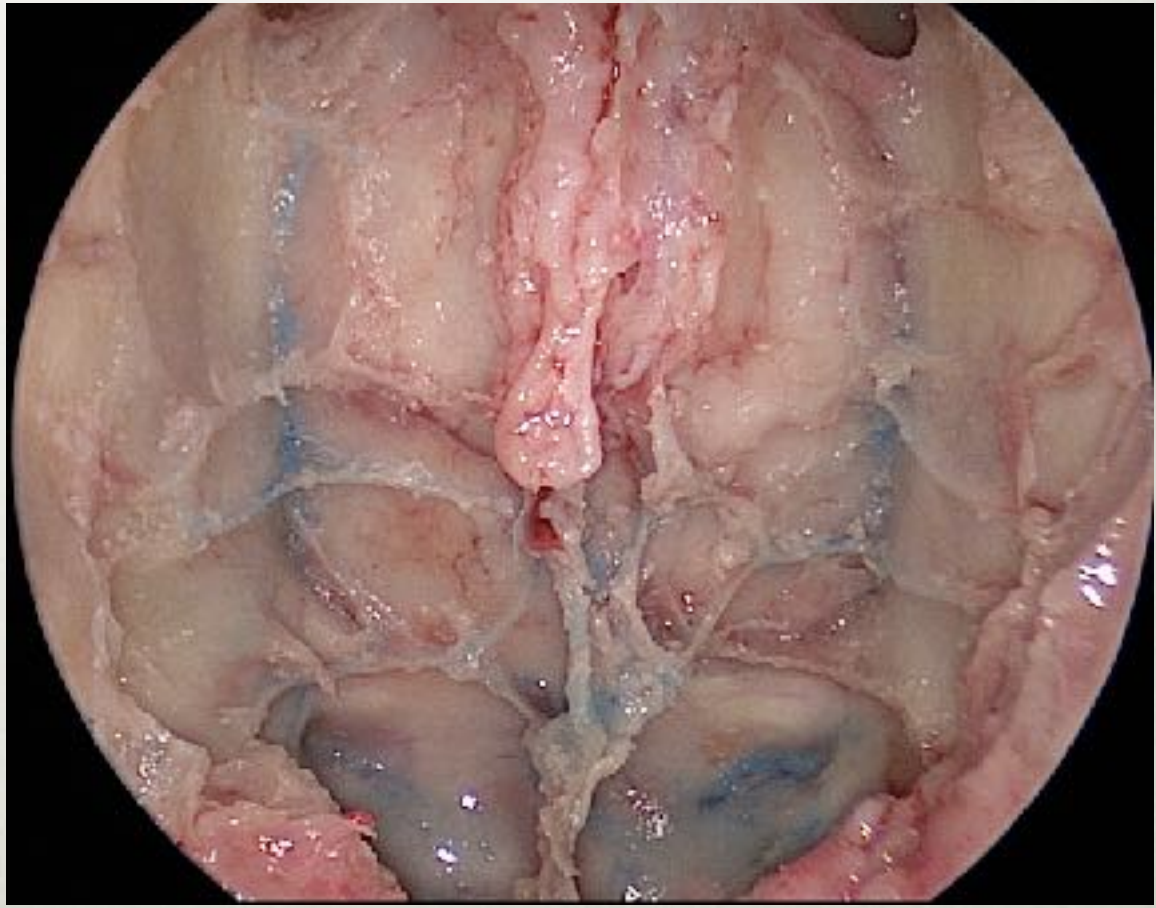


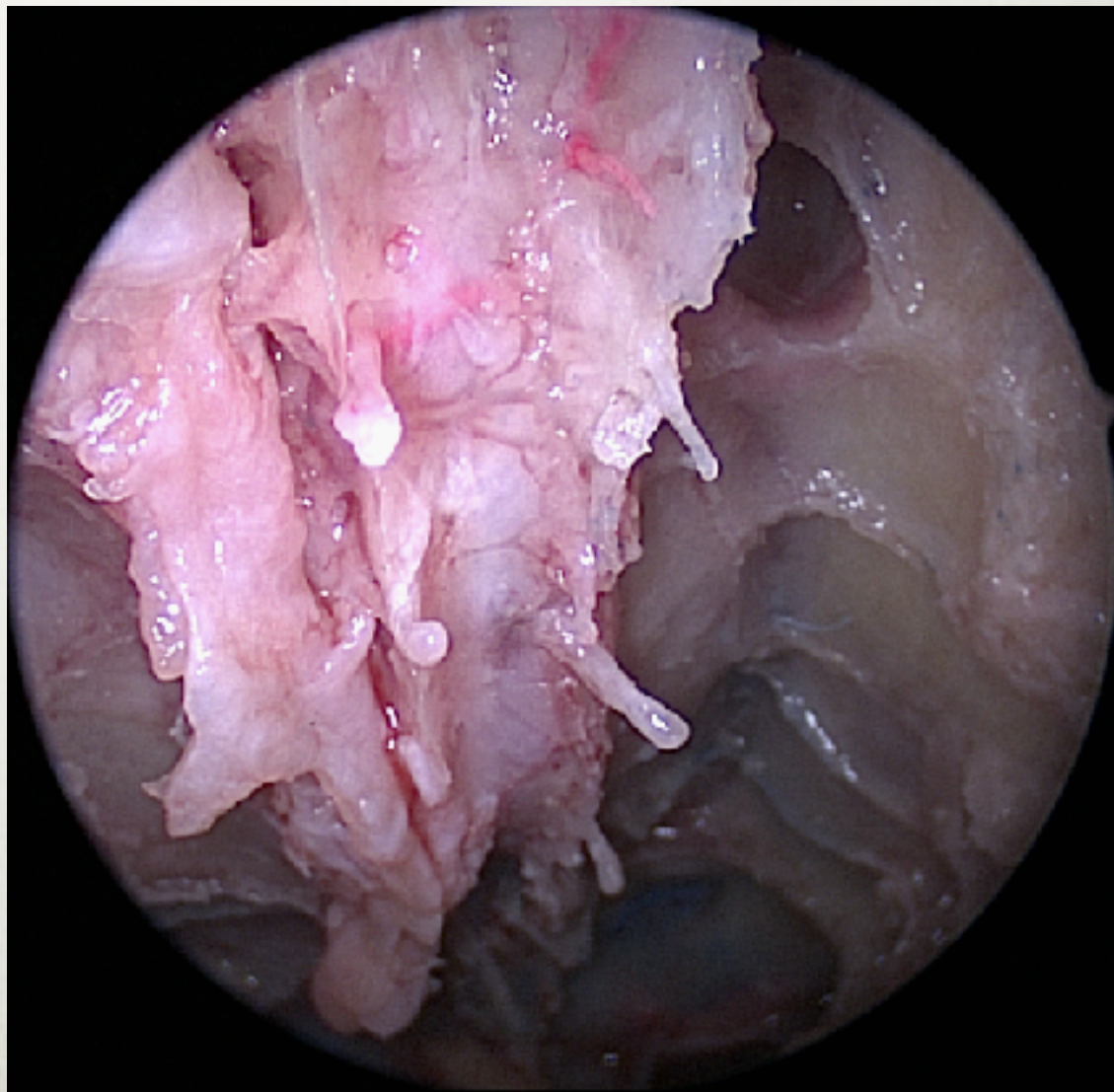


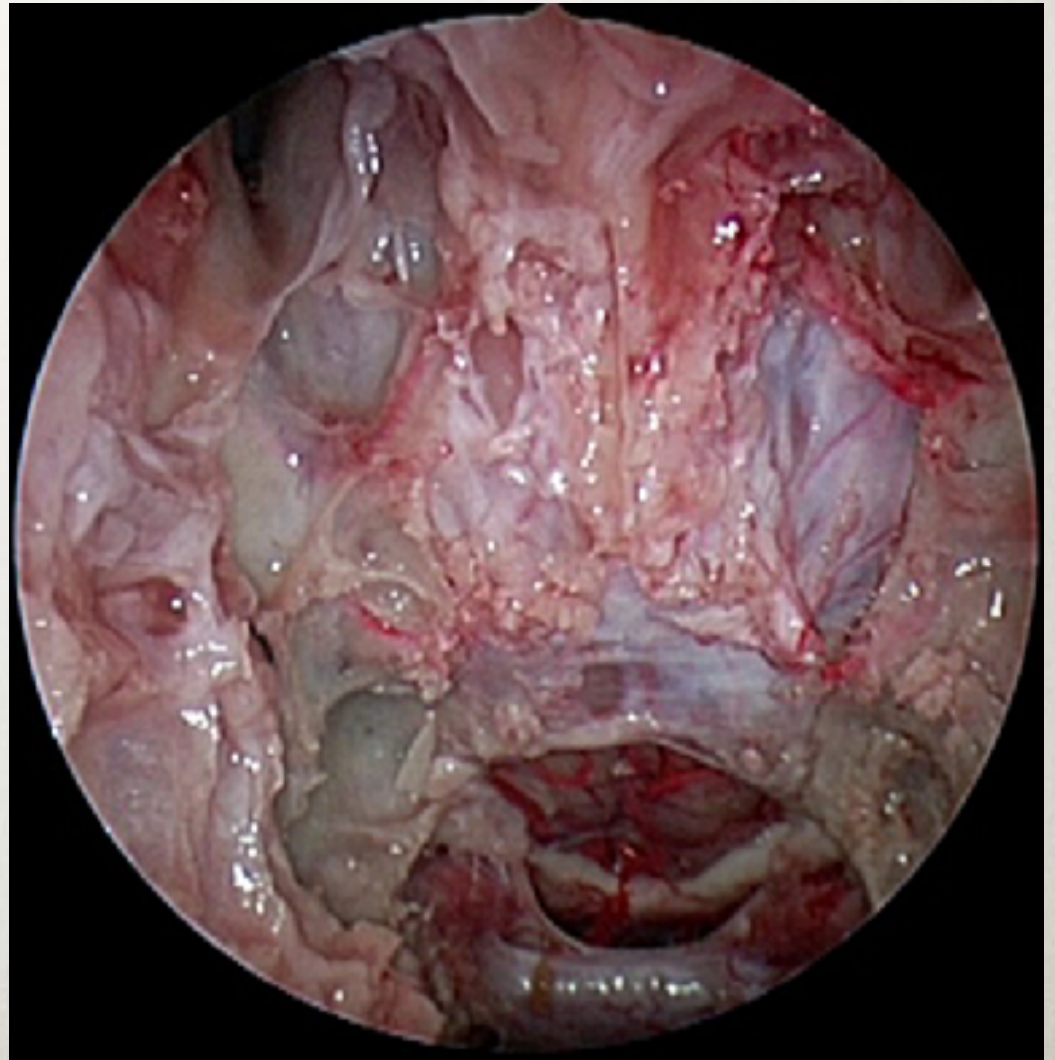
C. Georgalas - AMC

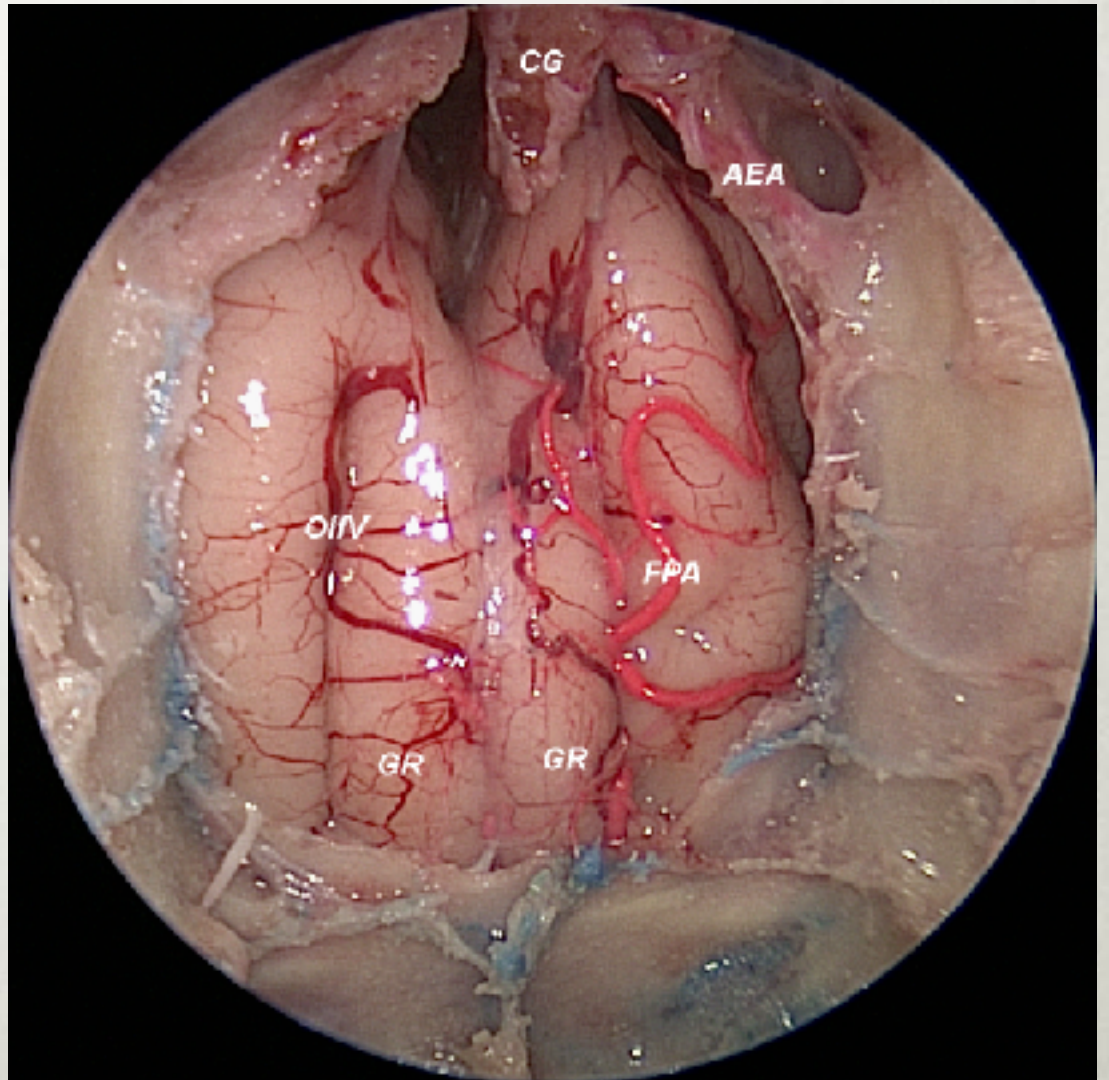
Ethmoidal arteries

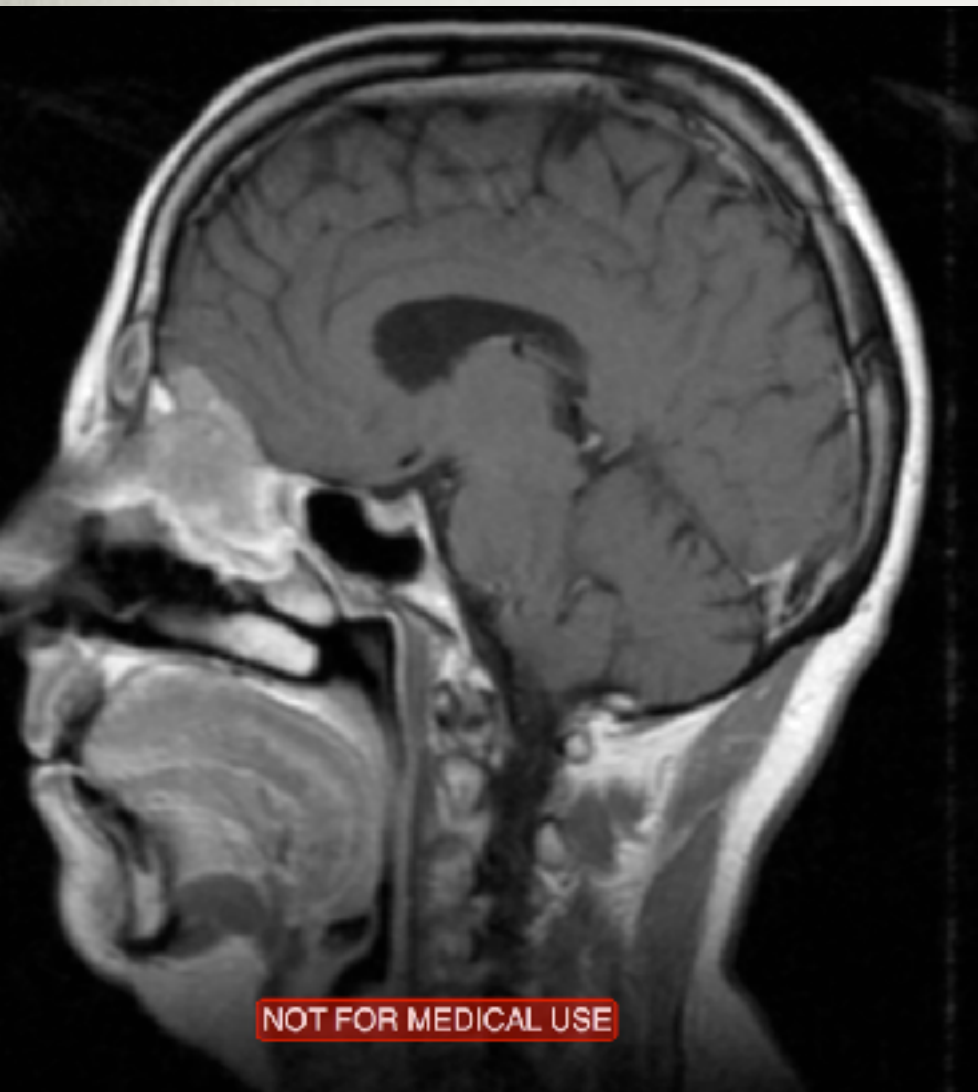


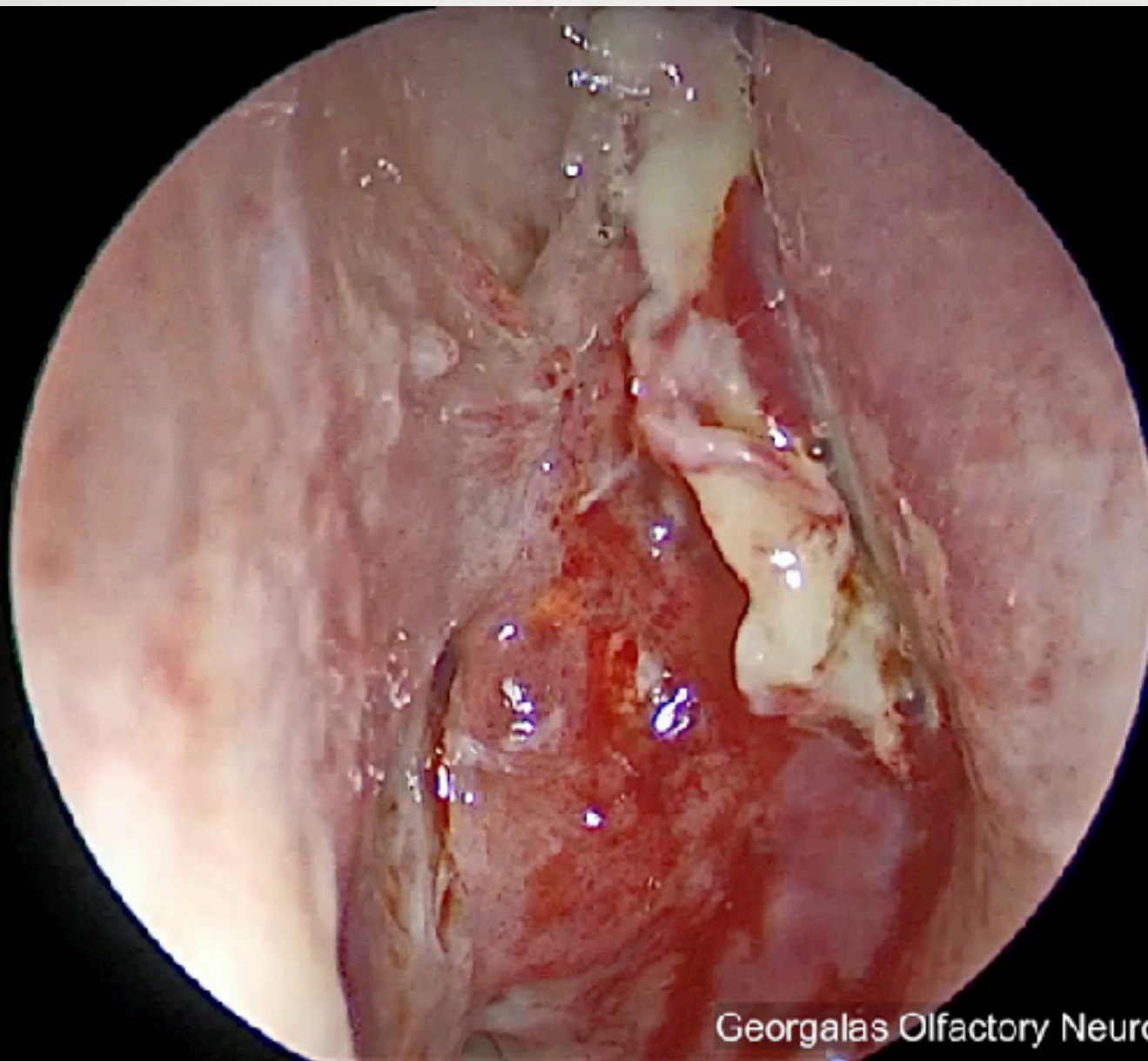






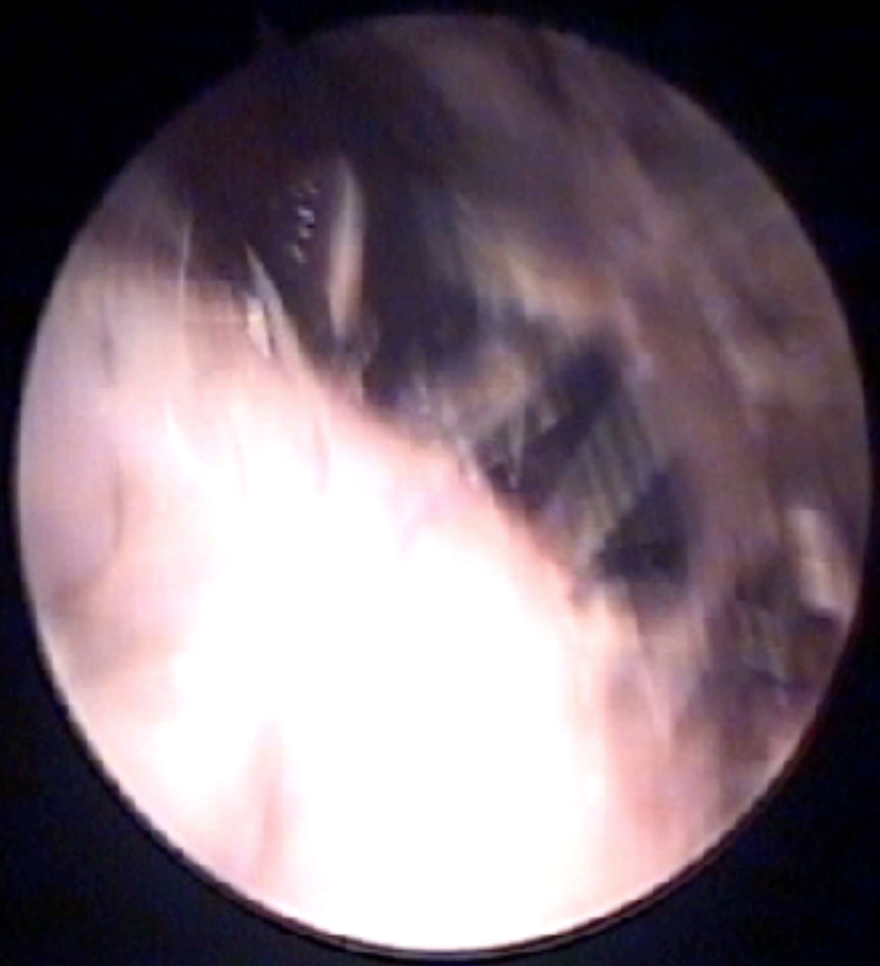




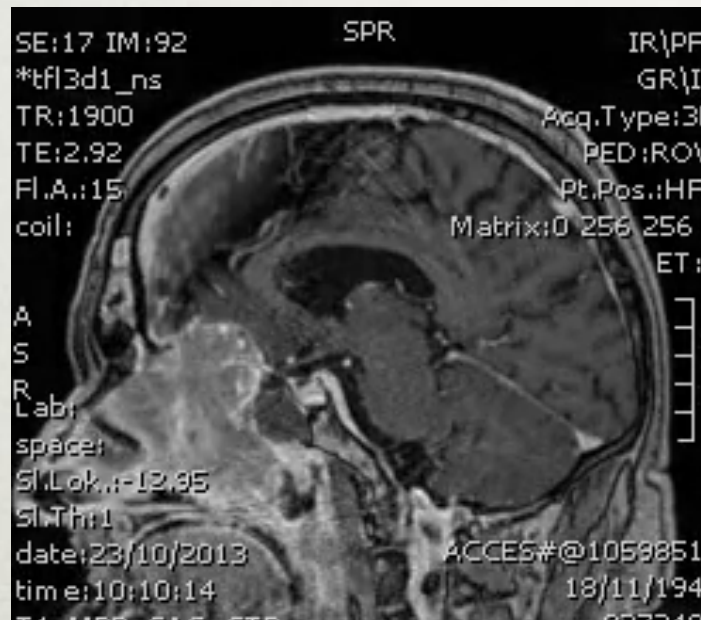


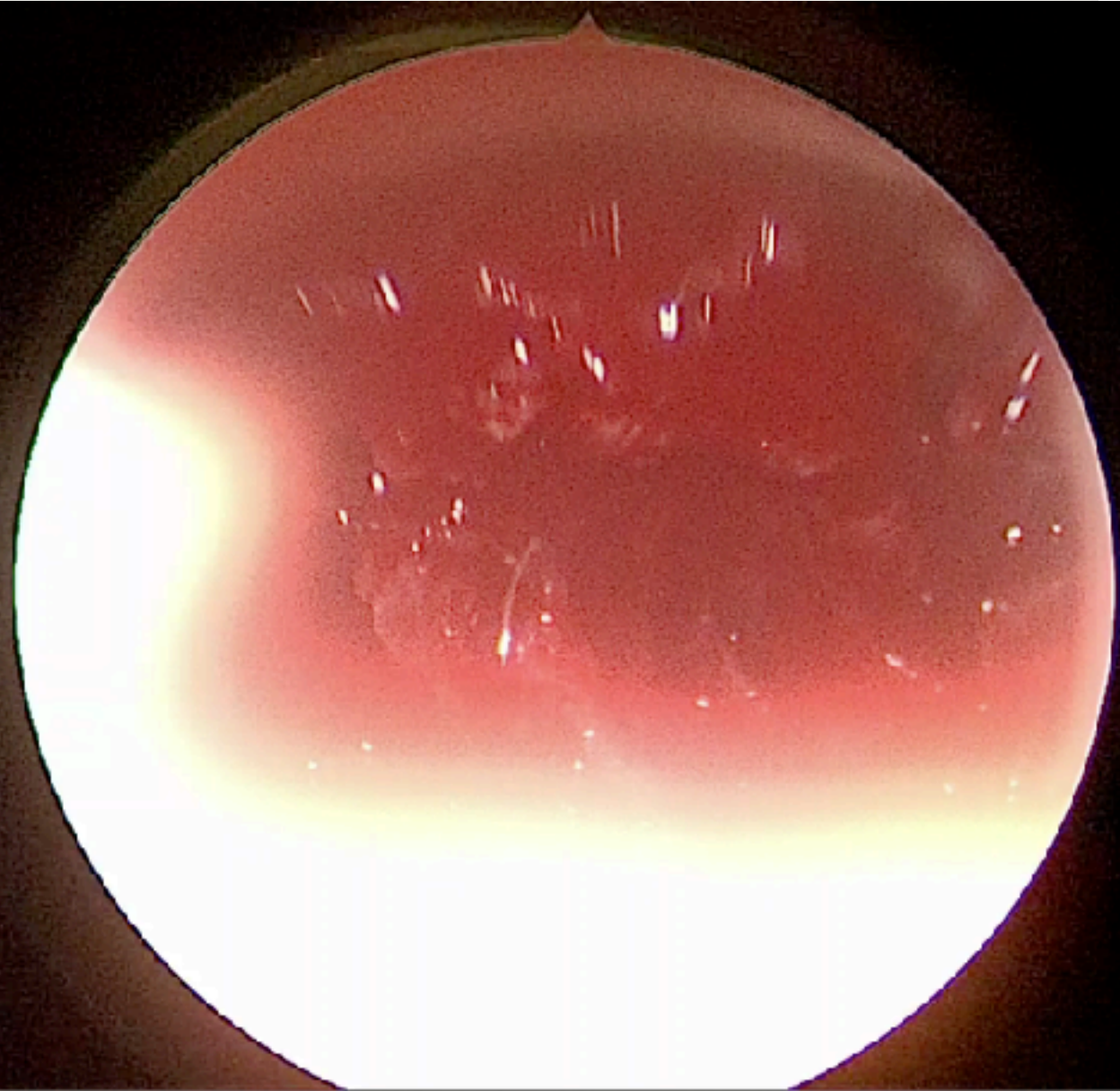
Georgalas Olfactory Neuroblastoma



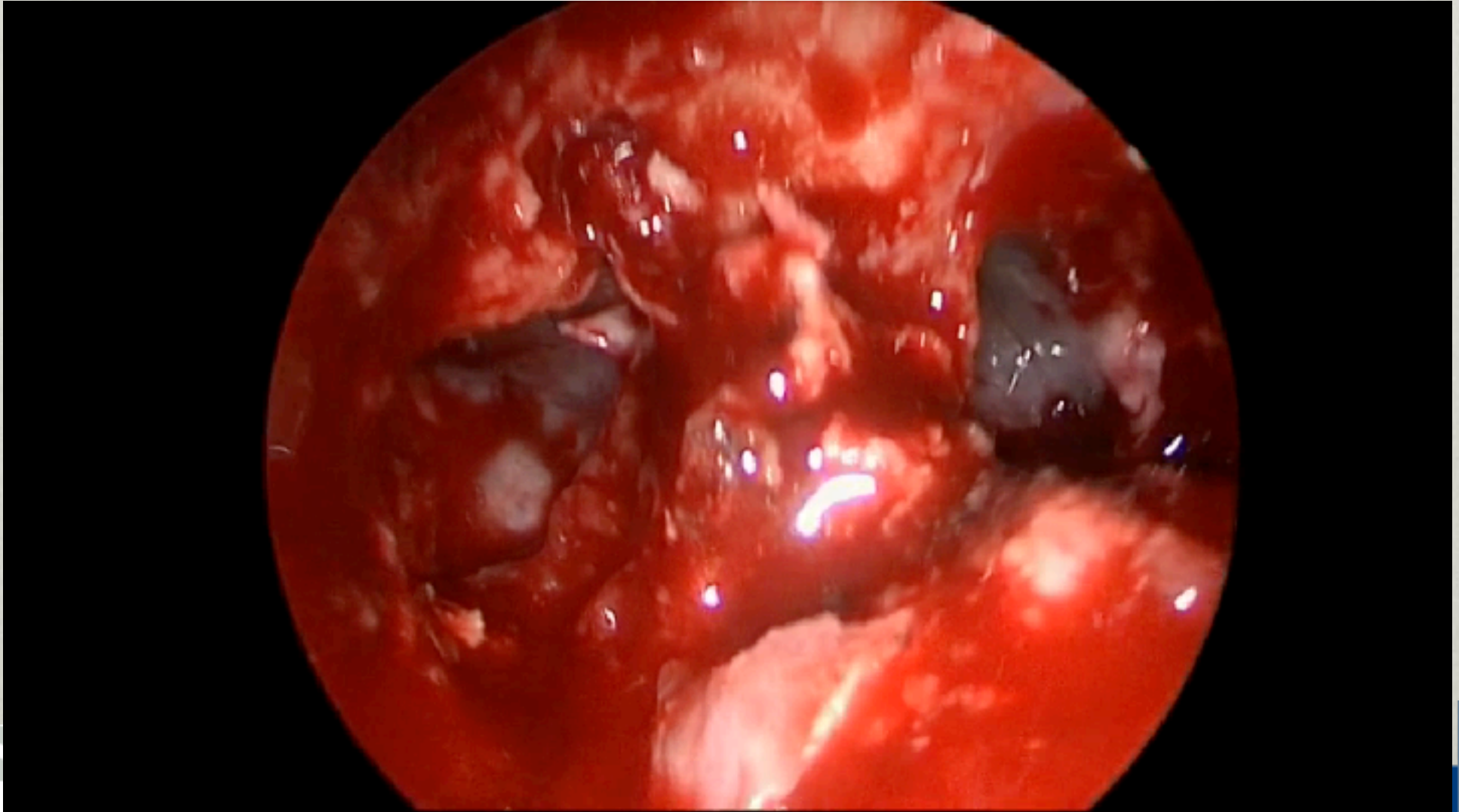


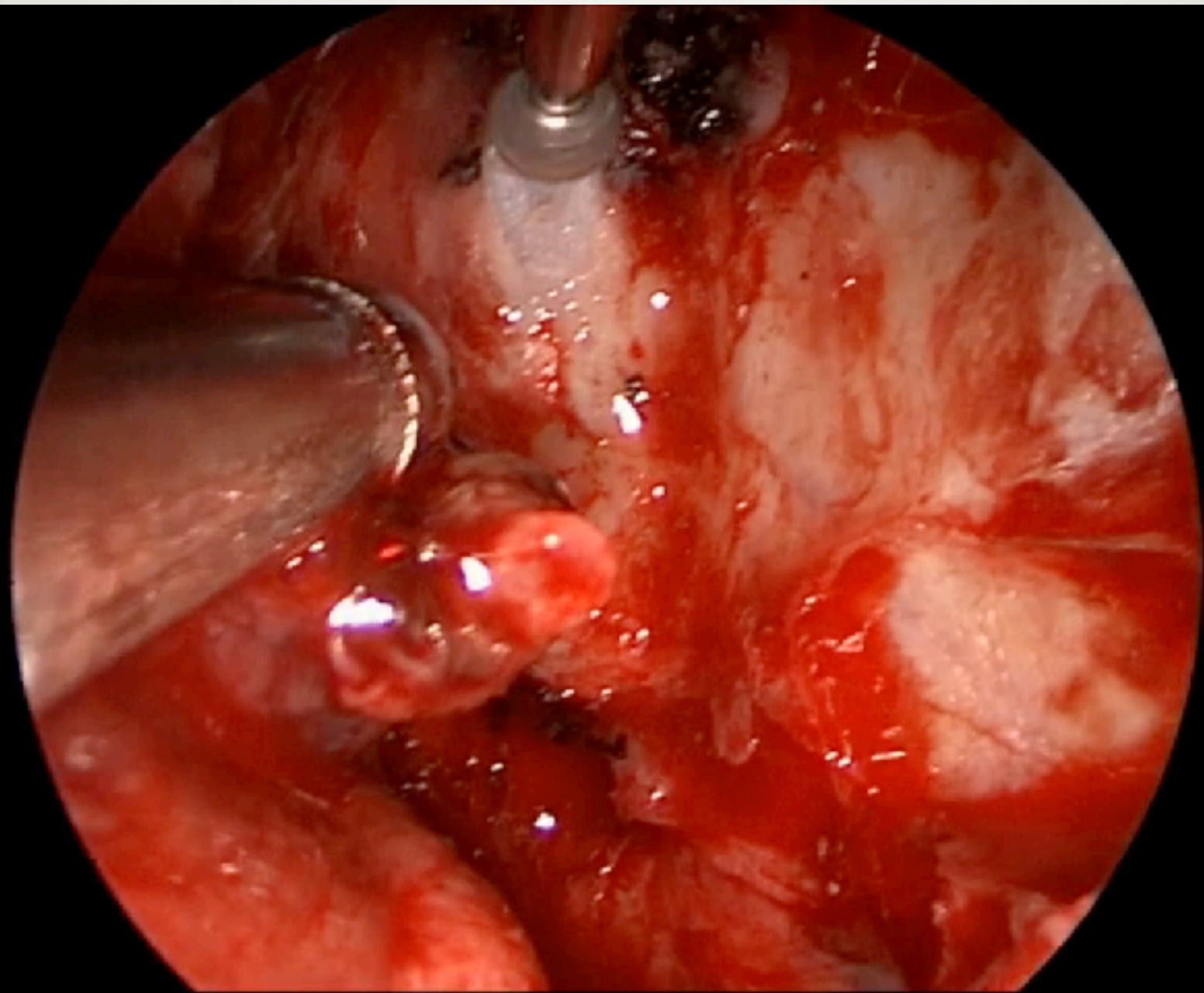
TRANSCRIBRIFORM

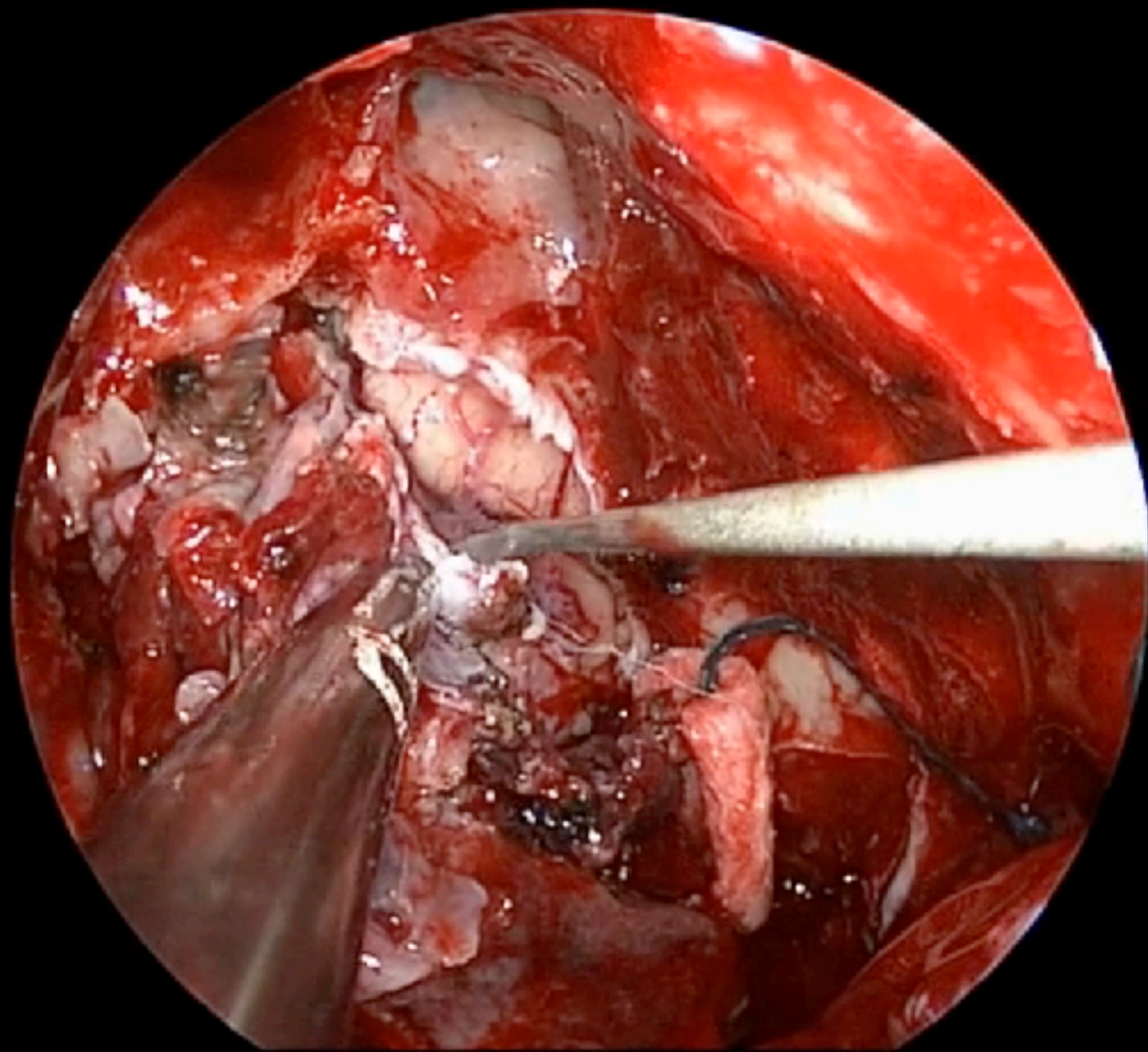


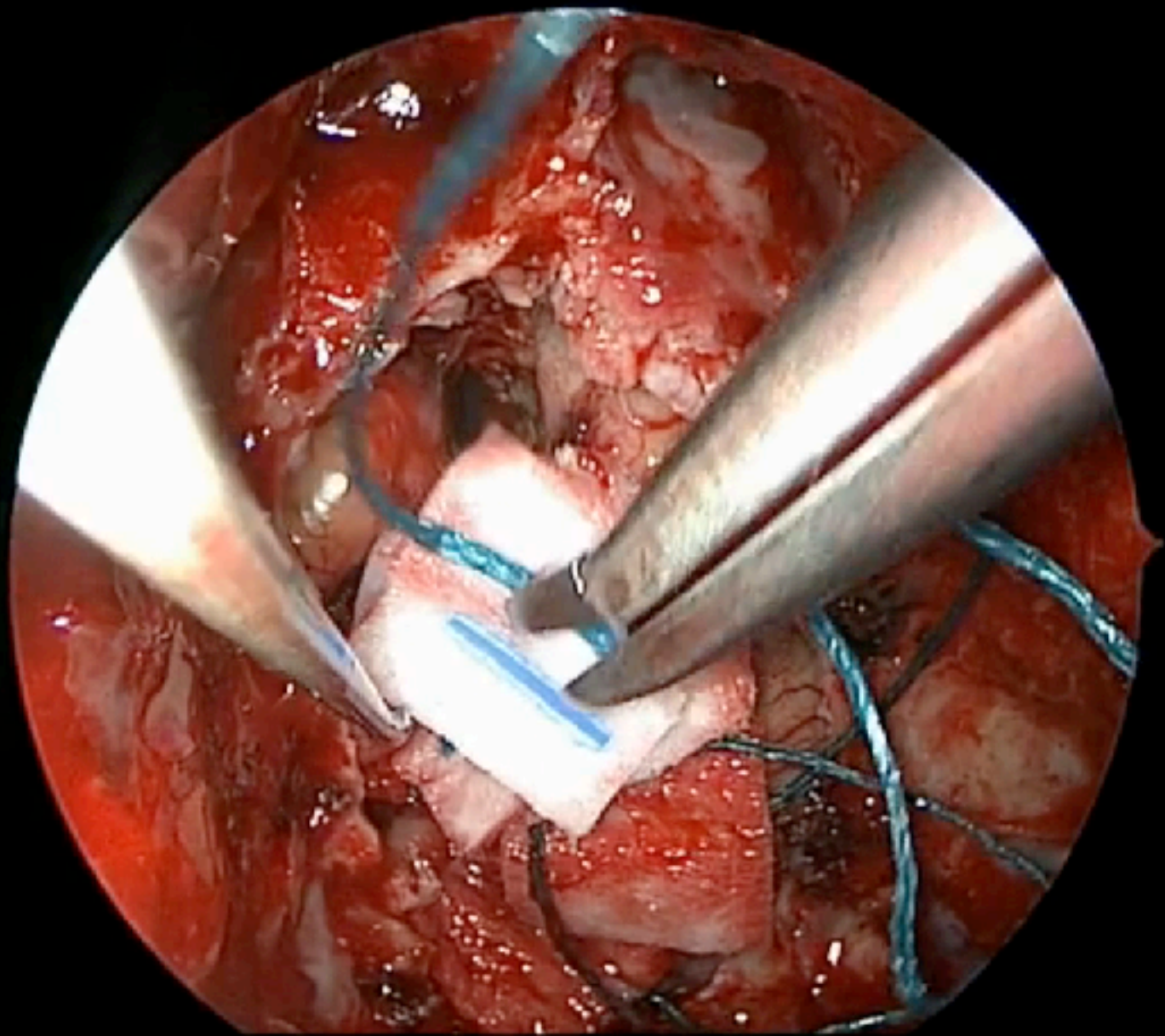


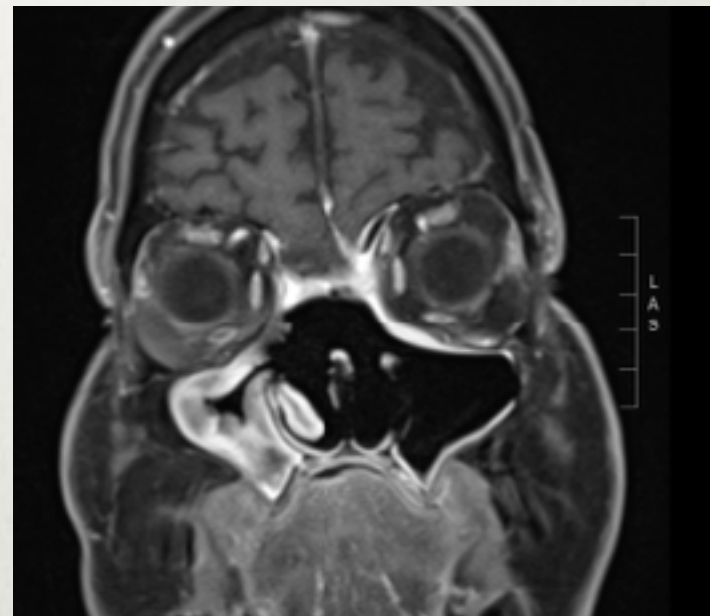
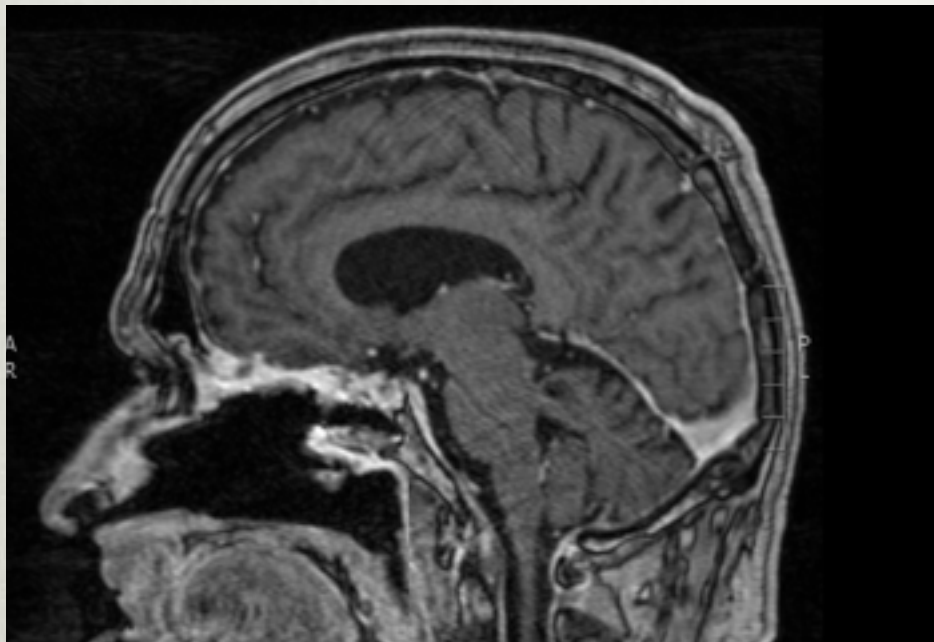
DRAF 3 - ANTERIOR ACCESS



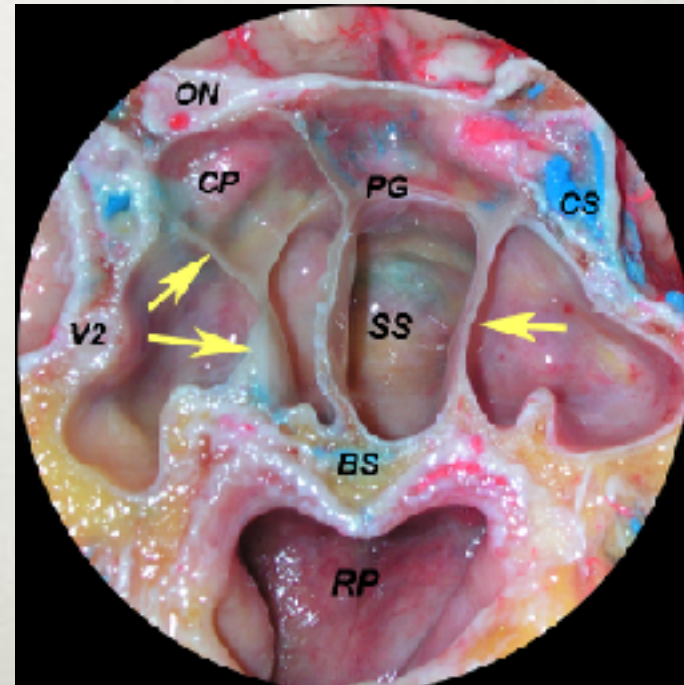
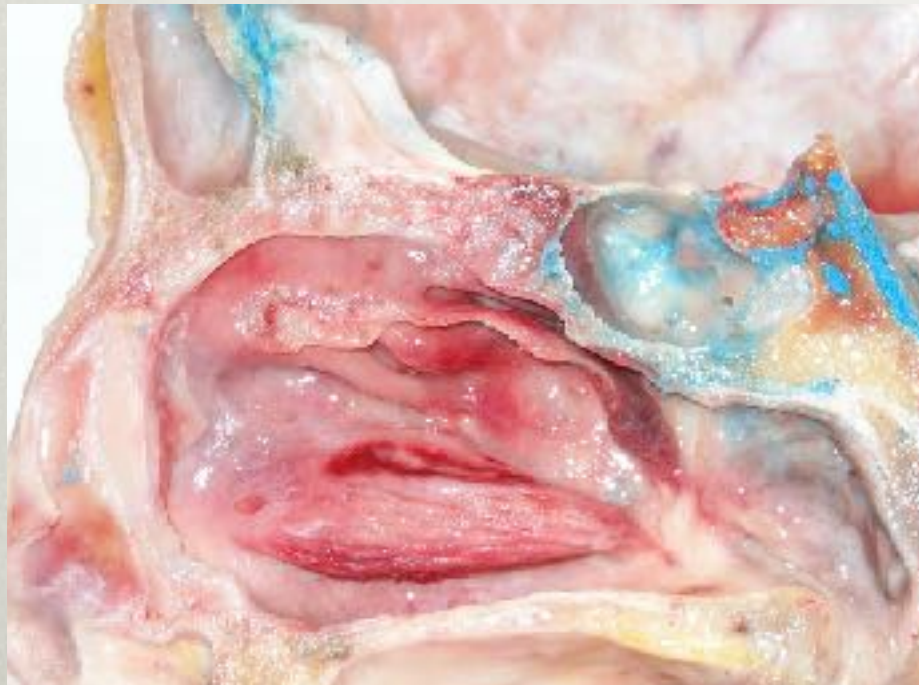
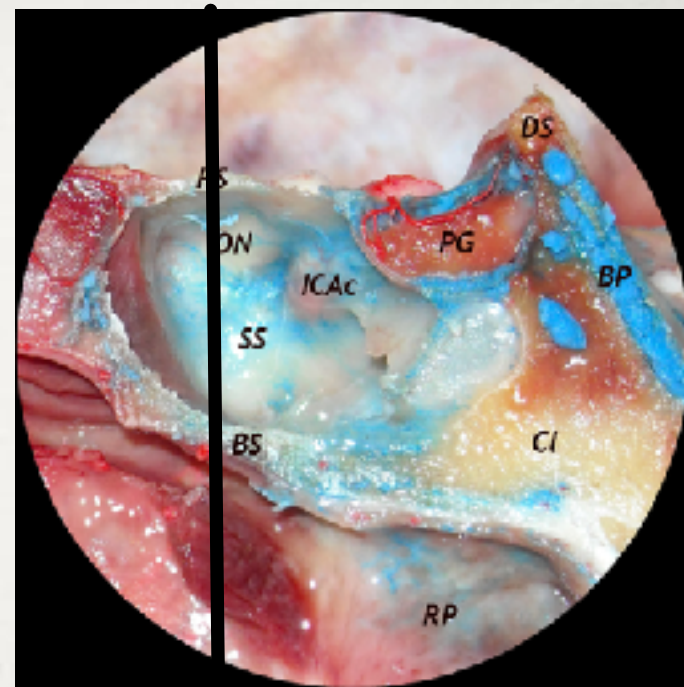




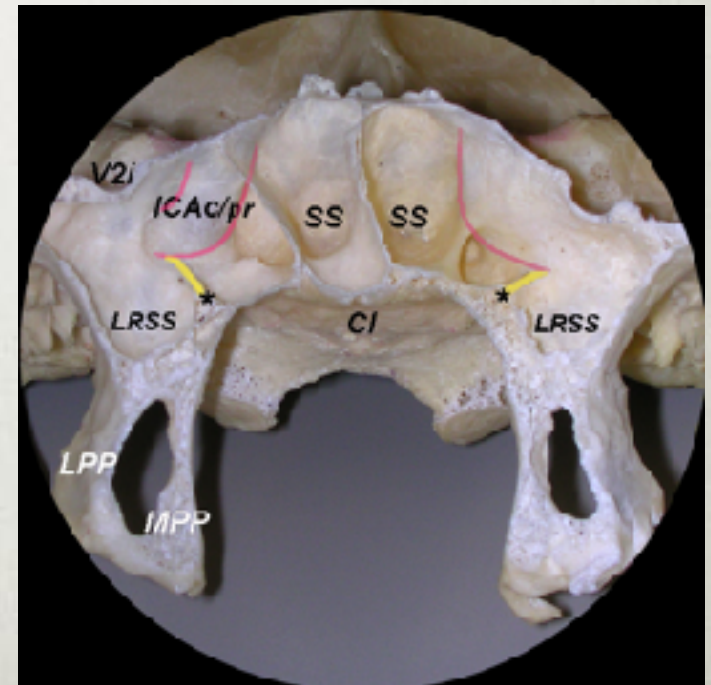




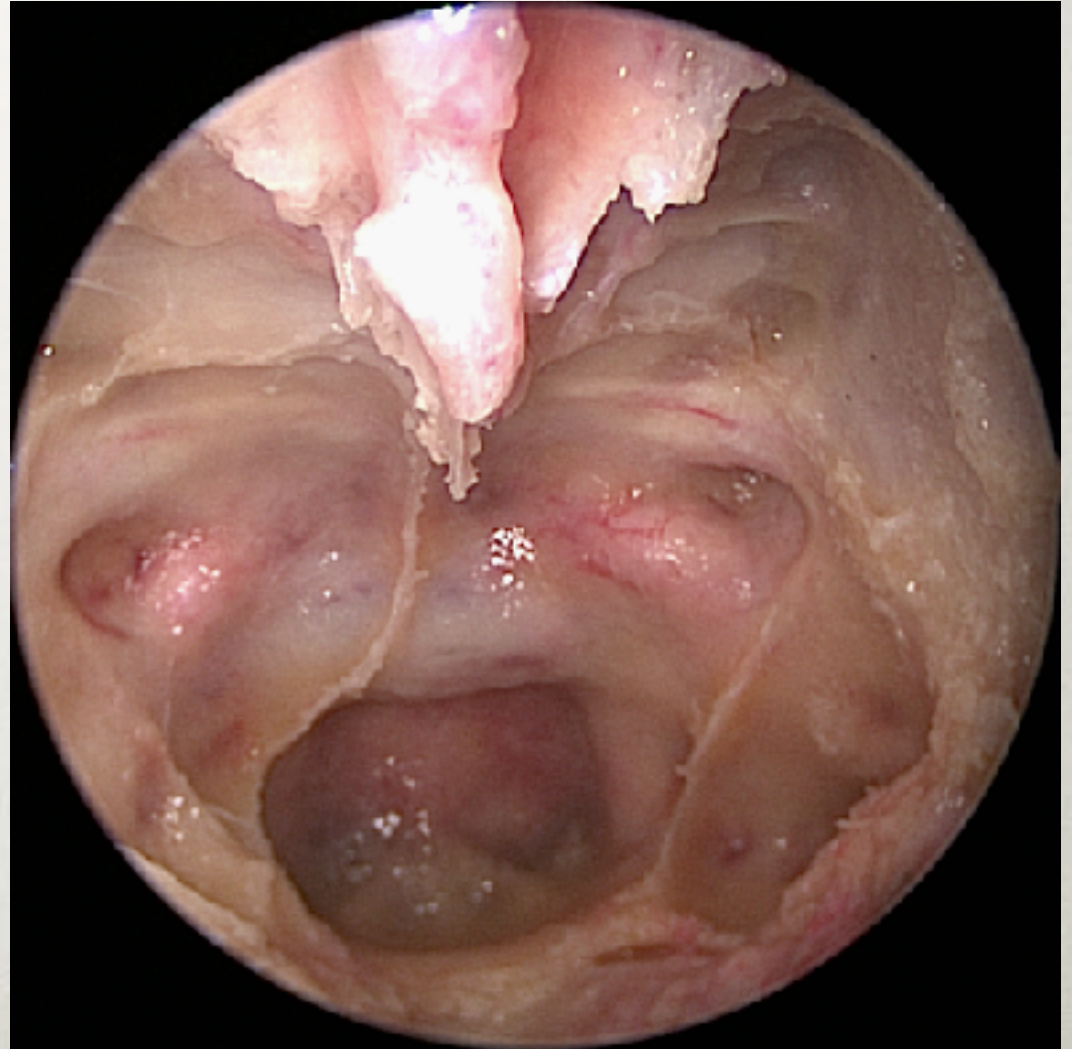
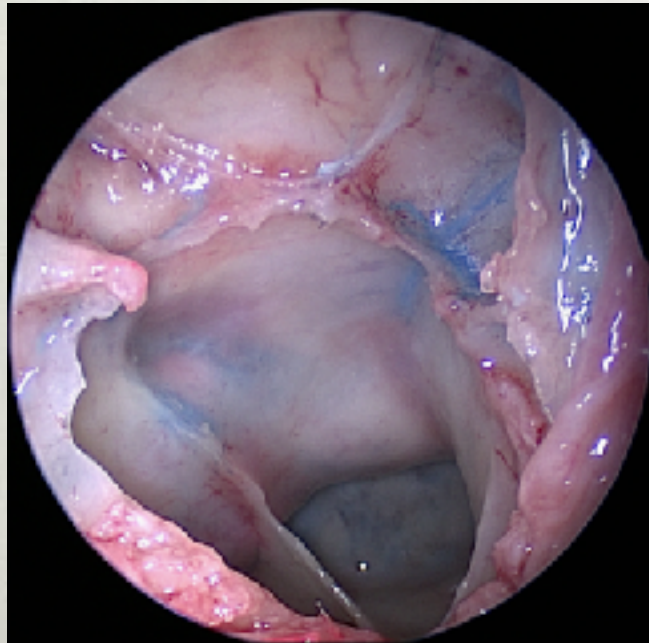
Sphenoid sinus



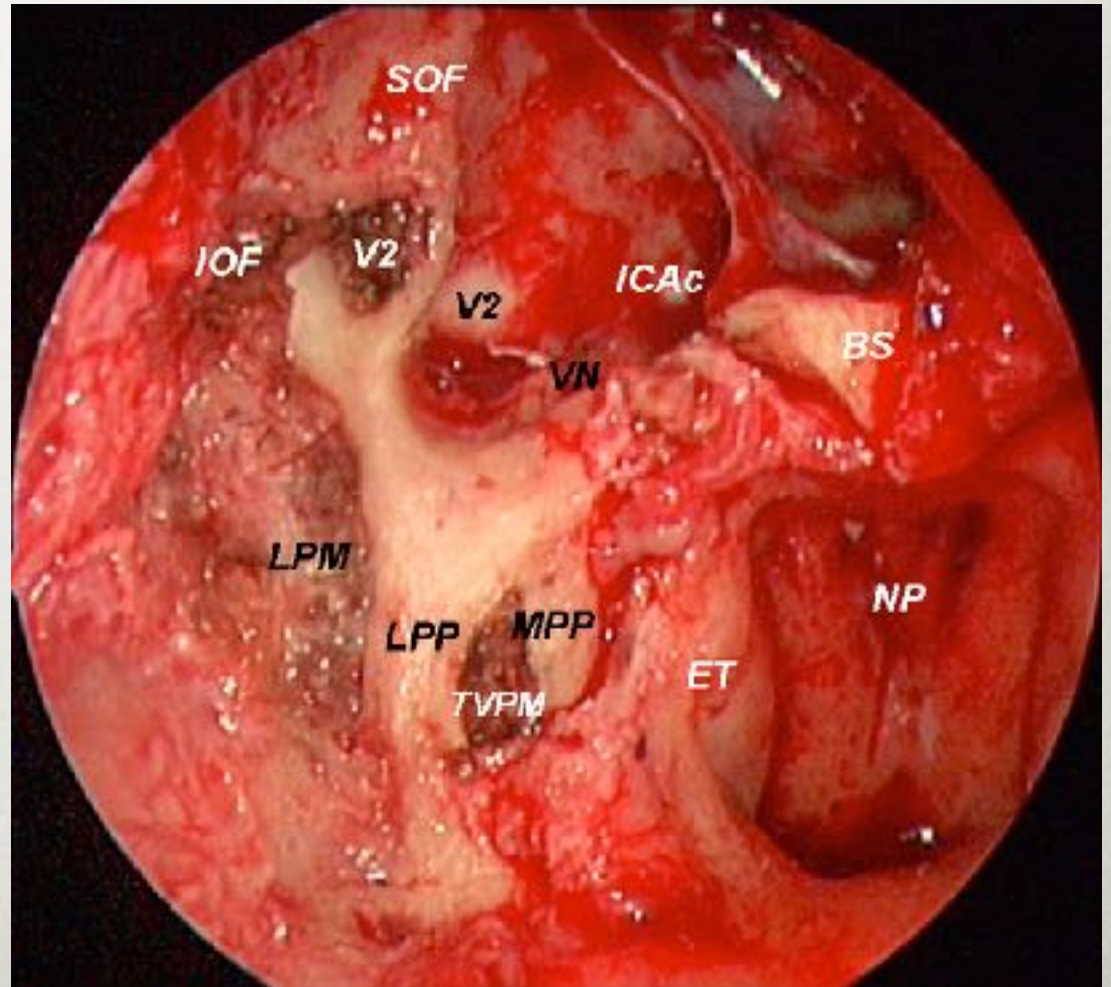
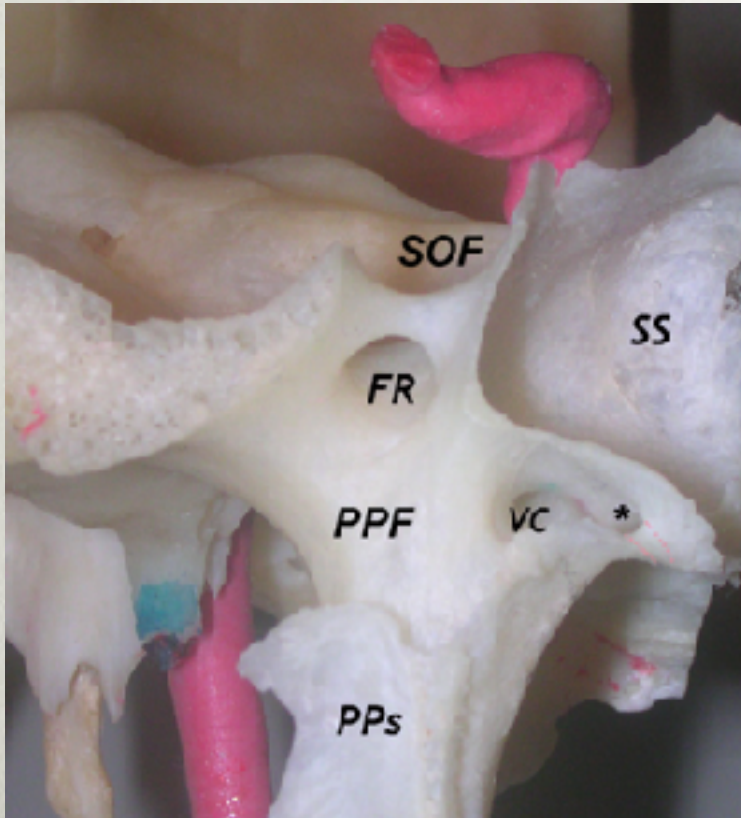
Sphenoid sinus (osteology)



Sphenoid sinus
Monolateral vs bilateral

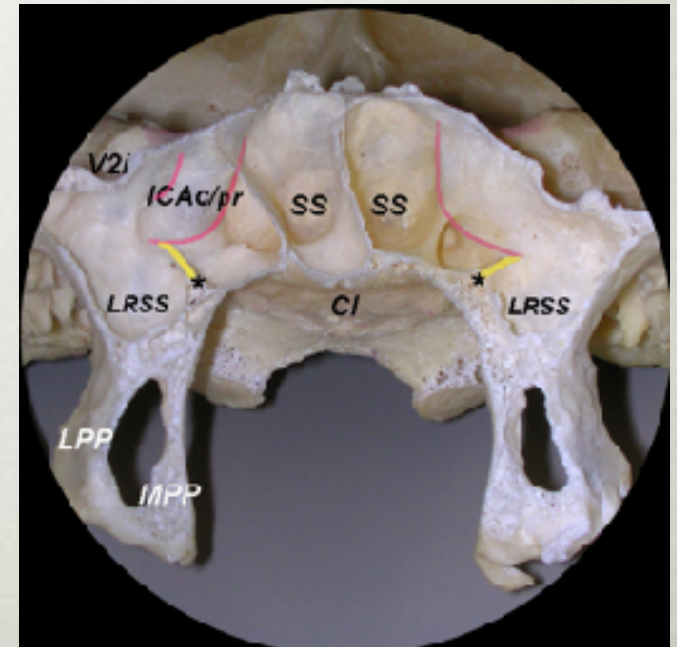


Sphenoid sinus lateral relationship

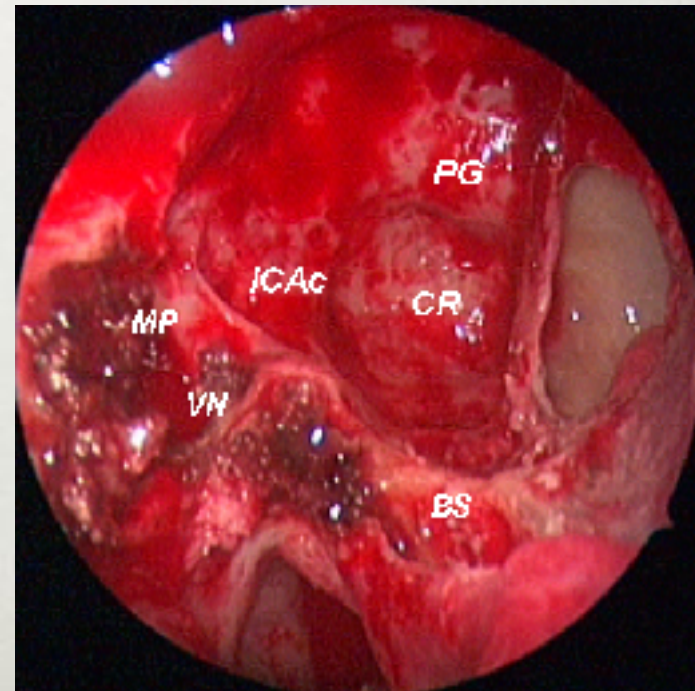
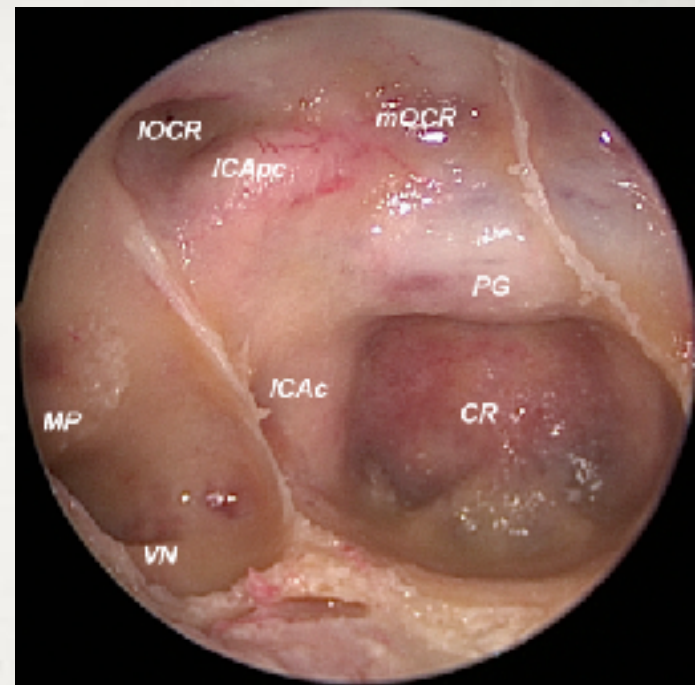


Sphenoid sinus

Different degree of pneumatization

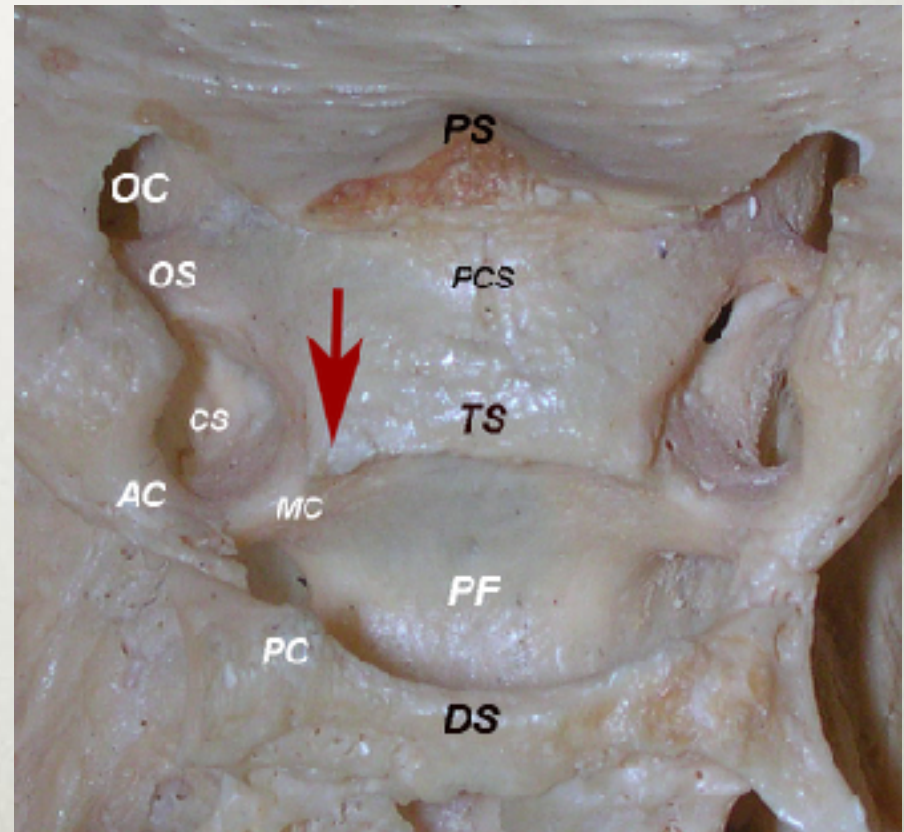
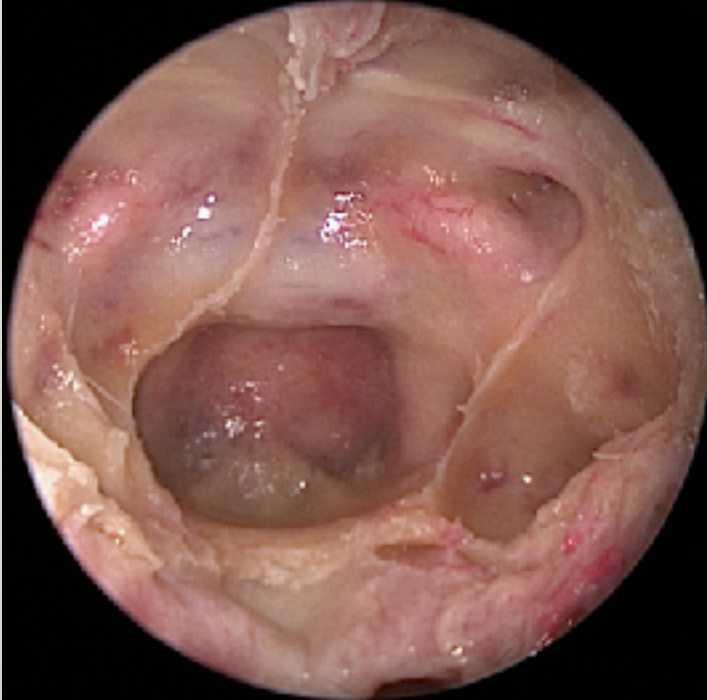


***Sphenoid sinus
Lateral recess***

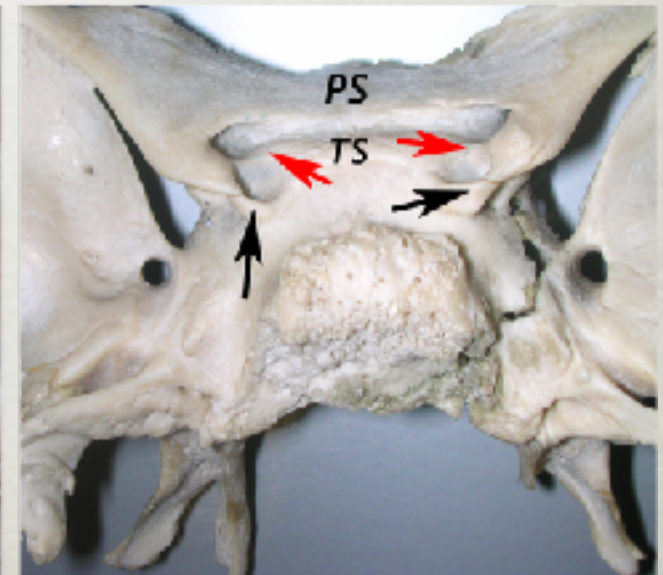
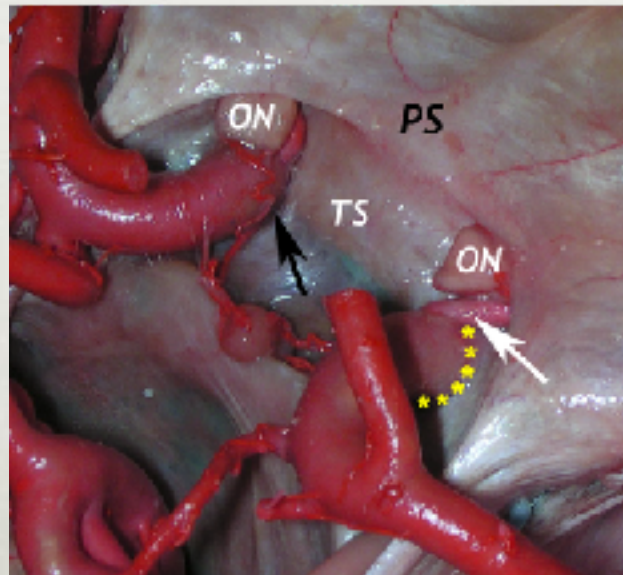
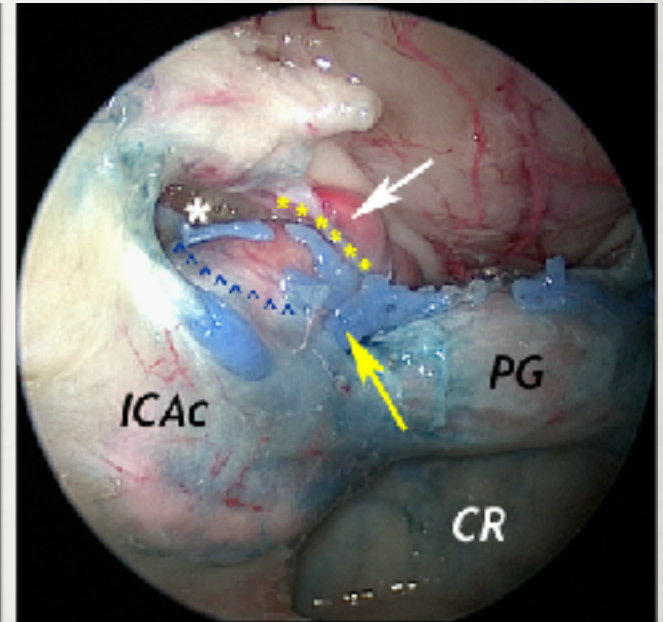
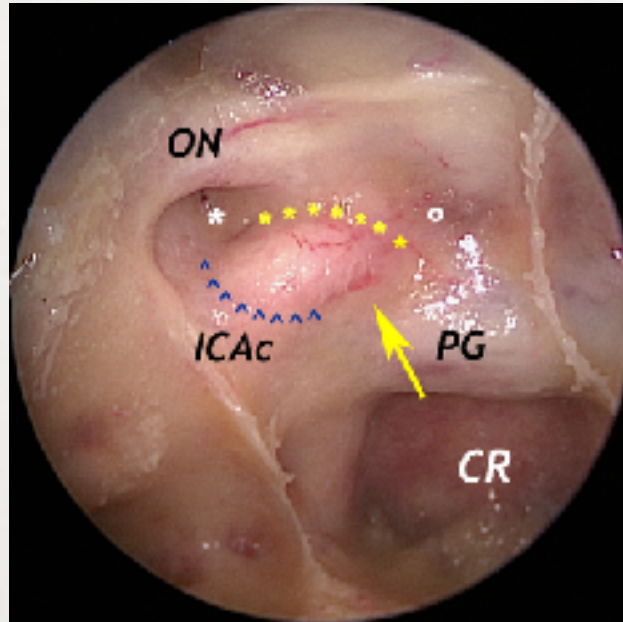


Sphenoid sinus

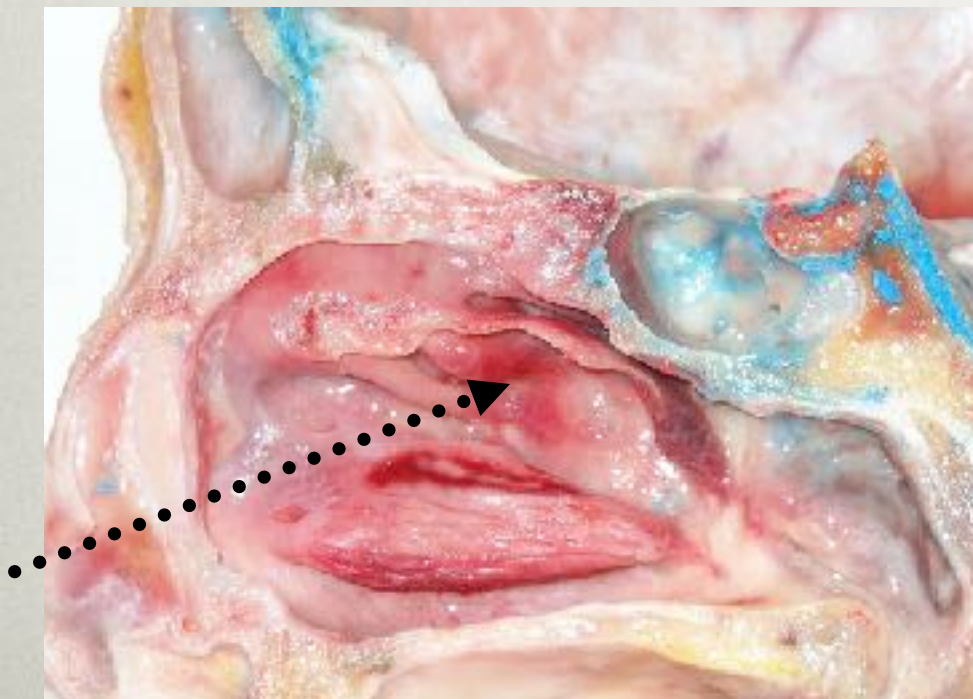
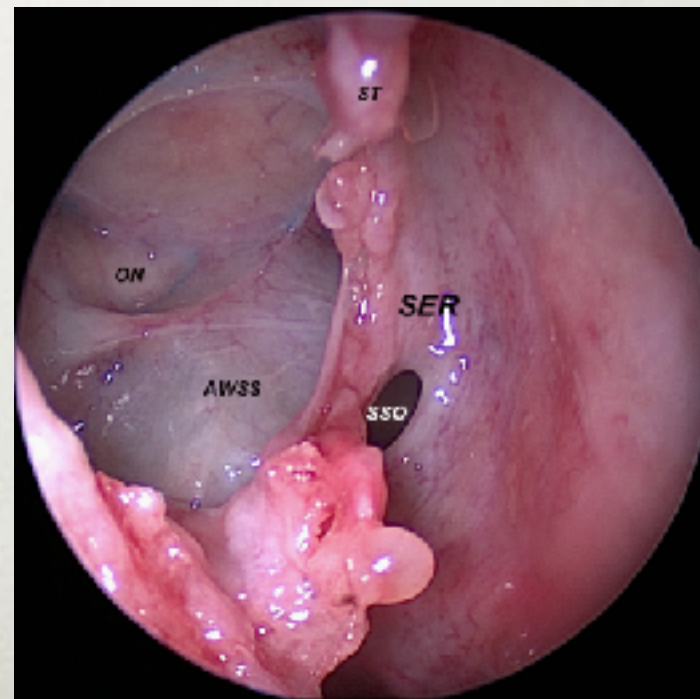
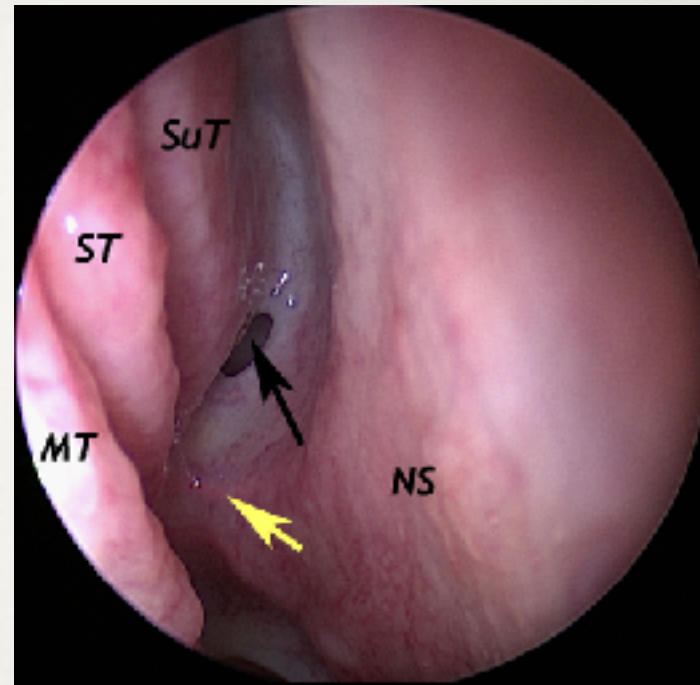
Below vs above



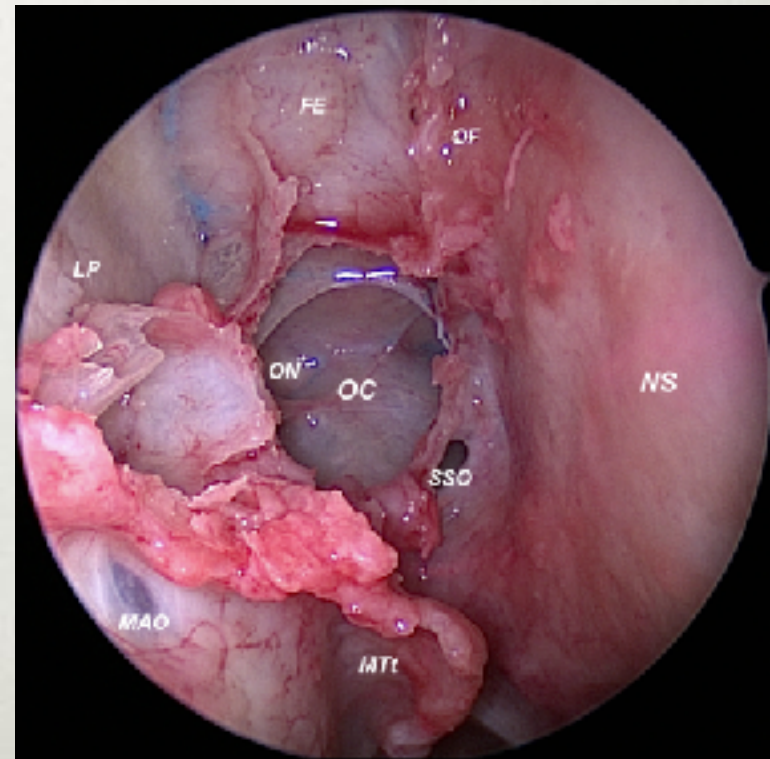
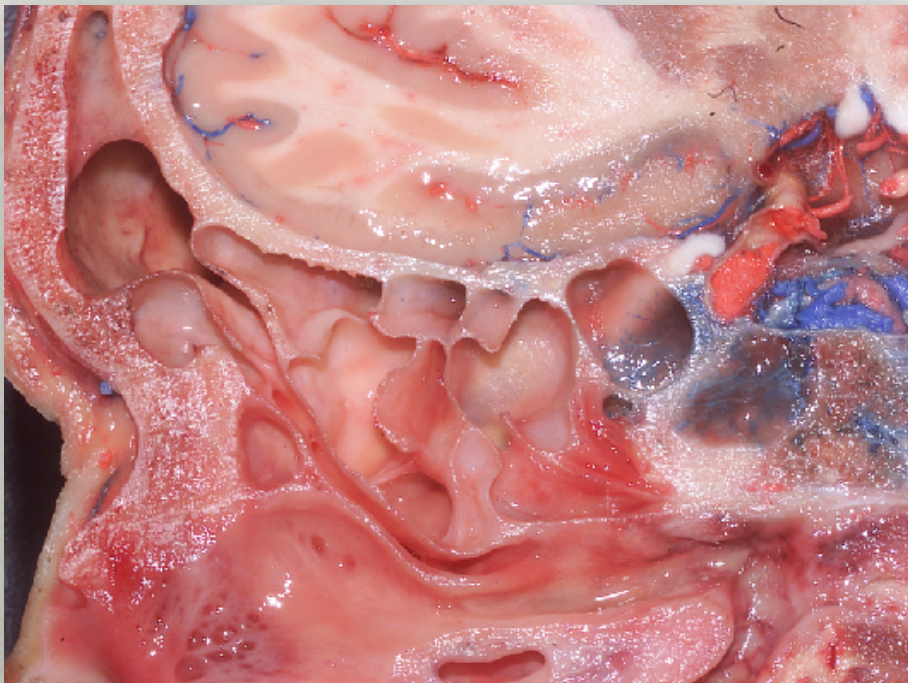
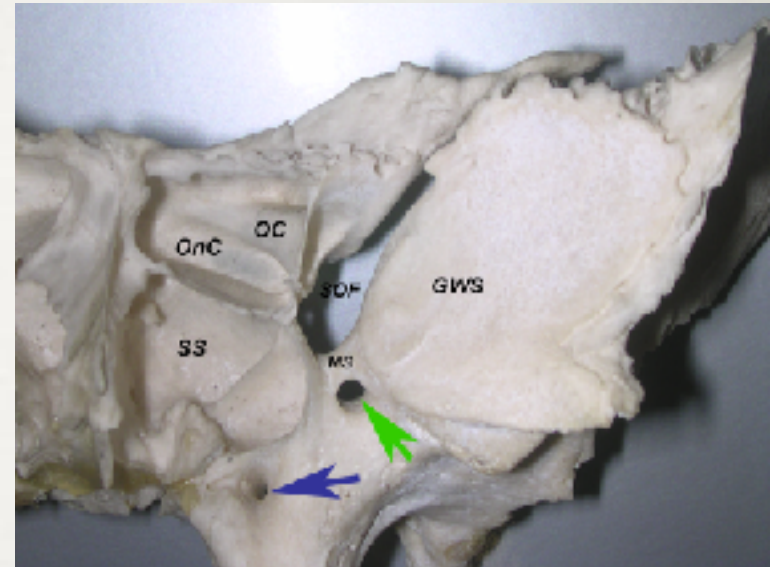
Sphenoid sinus_critical relationship



Sphenoethmoidal recess



Onodi Cell



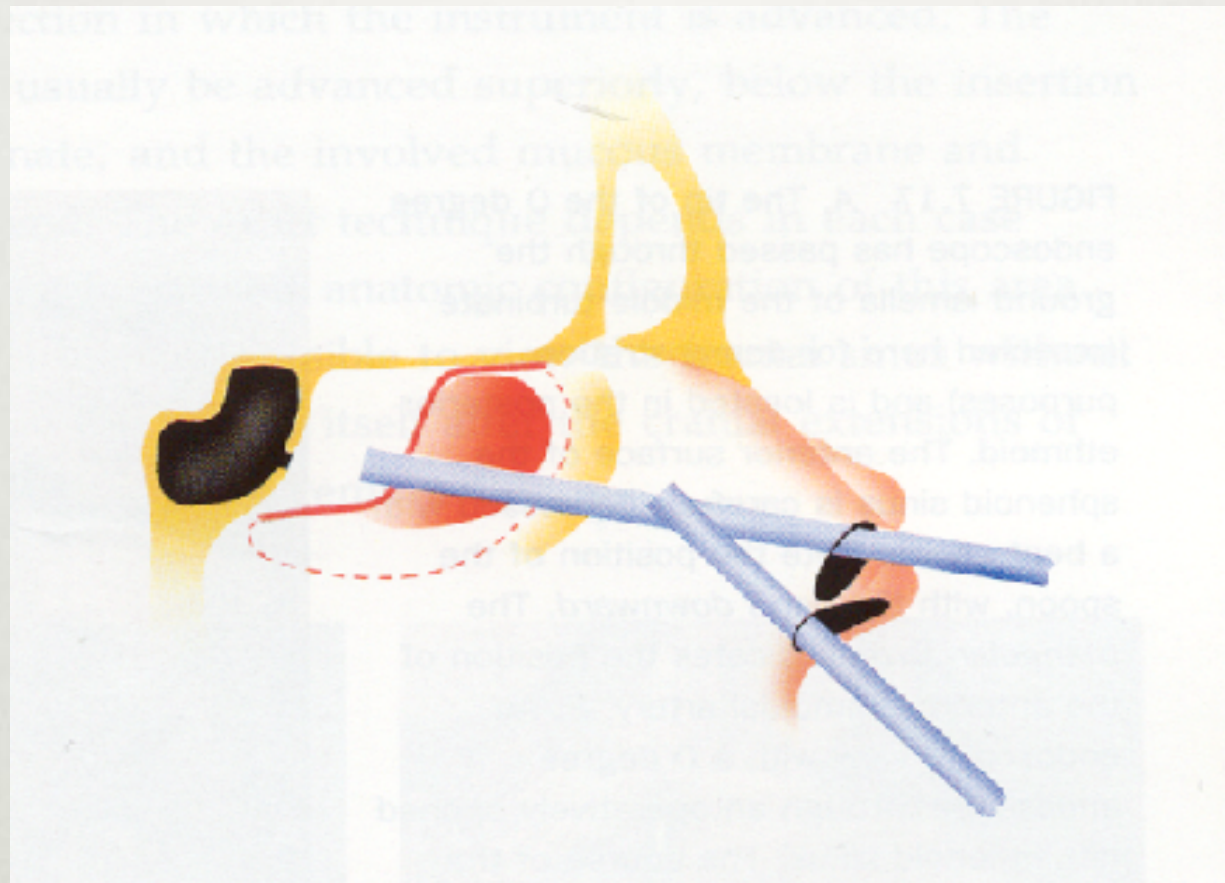
ΣΦΗΝΟΕΙΔ'ΗΣ



ΣΦΗΝΟΕΙΔΕΚΤΟΜΉ

- Η πρόσθια επιφάνεια του σφηνοειδούς είναι περίπου 8 εκ από την ρινική άκανθα και σε 15^ο γωνία με την βάση της ρινικής κοιλότητας

ΣΦΗΝΟΕΙΔΕΚΤΟΜΉ



ΤΕΣΣΕΡΕΙΣ ΤΡΟΠΟΙ ΝΑ ΕΙΣ'ΕΛΘΕΙΣ ΣΤΟ ΣΦΗΝΟΕΙΔ'Η

A. **Ανω κόγχη**

- Μετακίνησε επί τα εκτός την μέση κόγχη.
- Πίσω και πάνω απο την μέση κόγχη είναι ορατη η άνω κόγχη.
- Επί τα εντός είναι το στόμιο του σφηνοειδούς

ΤΕΣΣΕΡΕΙΣ ΤΡΟΠΟΙ ΝΑ ΕΙΣ'ΕΛΘΕΙΣ ΣΤΟ ΣΦΗΝΟΕΙΔ'Η

Β. Ρινοφάρυγγας-οπίσθιες χοάνες

- Ακολουθήσε τον ρινοφάρυγγα
- Βρες την οπίσθια χοάνη (ακριβώς εκεί που απο το οπίσθιο τοιχωμα απο κατακόρυφο γίνεται οριζόντιο)
- 1 με 1.5 εκατοστά πιο πάνω είναι το στομιο (4-5 φορές η διάμετρος αναρόφησης)

ΤΕΣΣΕΡΕΙΣ ΤΡΟΠΟΙ ΝΑ ΕΙΣ'ΕΛΘΕΙΣ ΣΤΟ ΣΦΗΝΟΕΙΔ'Η

Γ. Μέσω του ρινικού διαφράγματος –rostrum (πιο ασφαλής)

- Αφαίρεσε τον βλενογόνο από το rostrum
- Ακολούθησε το οστό προς τα πλάγια
- Το στόμιο είναι 0.5 – 1 εκ από το διάφραγμα

ΤΕΣΣΕΡΕΙΣ ΤΡΟΠΟΙ ΝΑ ΕΙΣ'ΕΛΘΕΙΣ ΣΤΟ ΣΦΗΝΟΕΙΔ'Η

Και ο λιγότερος ασφαλής τρόπος

Δ: Μέσω οπισθίων ηθμοειδών

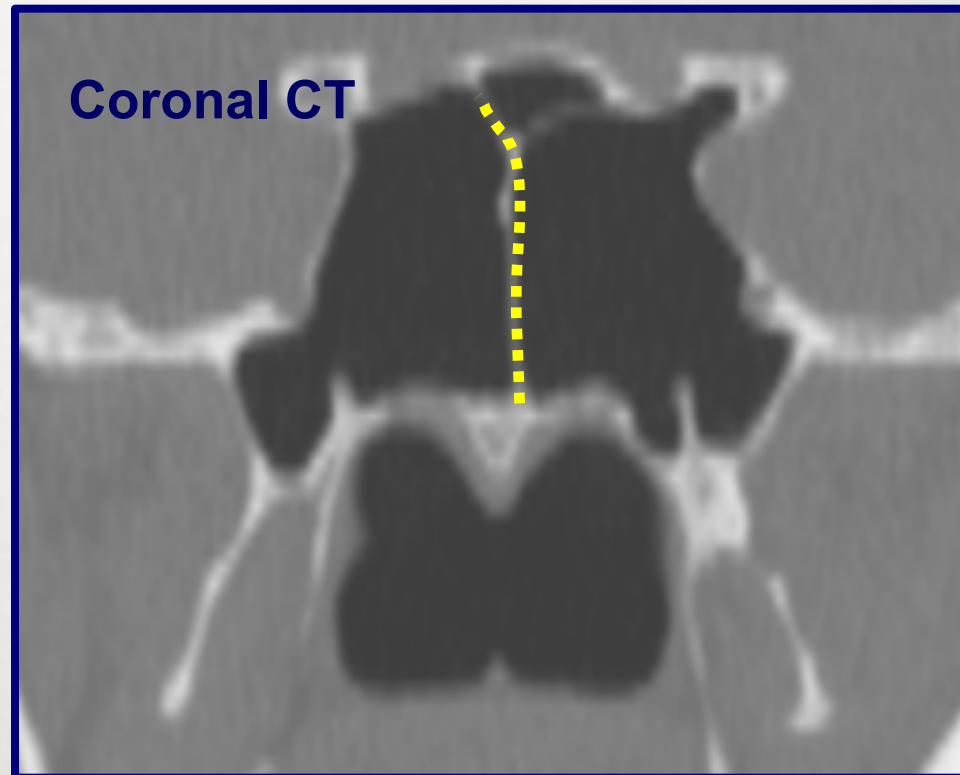
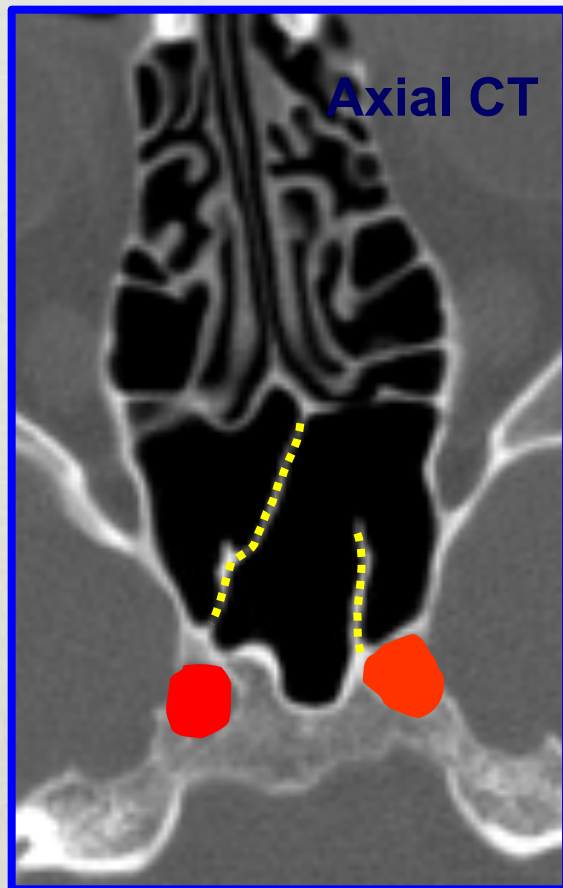
Διάτρησε τη τελευταία ηθμοειδή κυψέλη σε
κατεύθυνση οπίσθια και μέση –
ΑΝΤΕΝΔΥΚΝΕΙΤΑΙ!!!

ΣΦΗΝΟΕΙΔΕΚΤΟΜΉ

Ο οπίσθιος ρινικός κλάδος της
πτερυγουπερώιας αρτηρίας διατρέχει το
πρόσθιο τοίχωμα του σφηνοειδούς

Ενοχλητική αιμοραγία

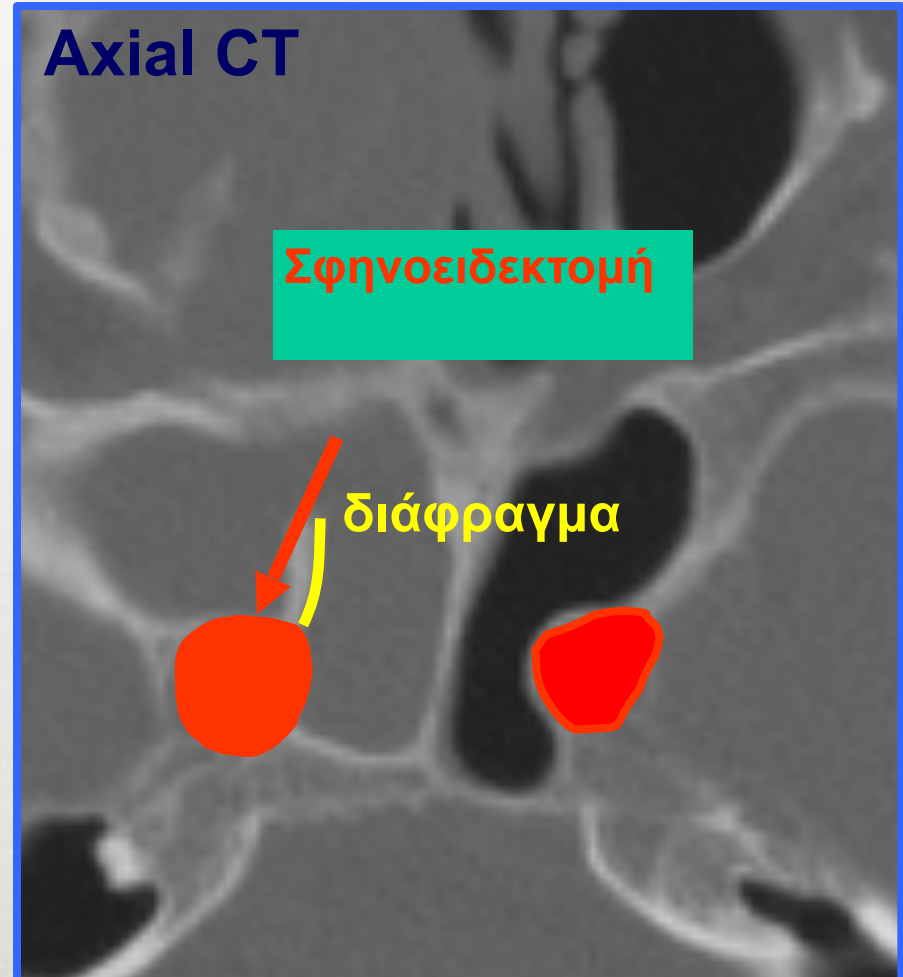
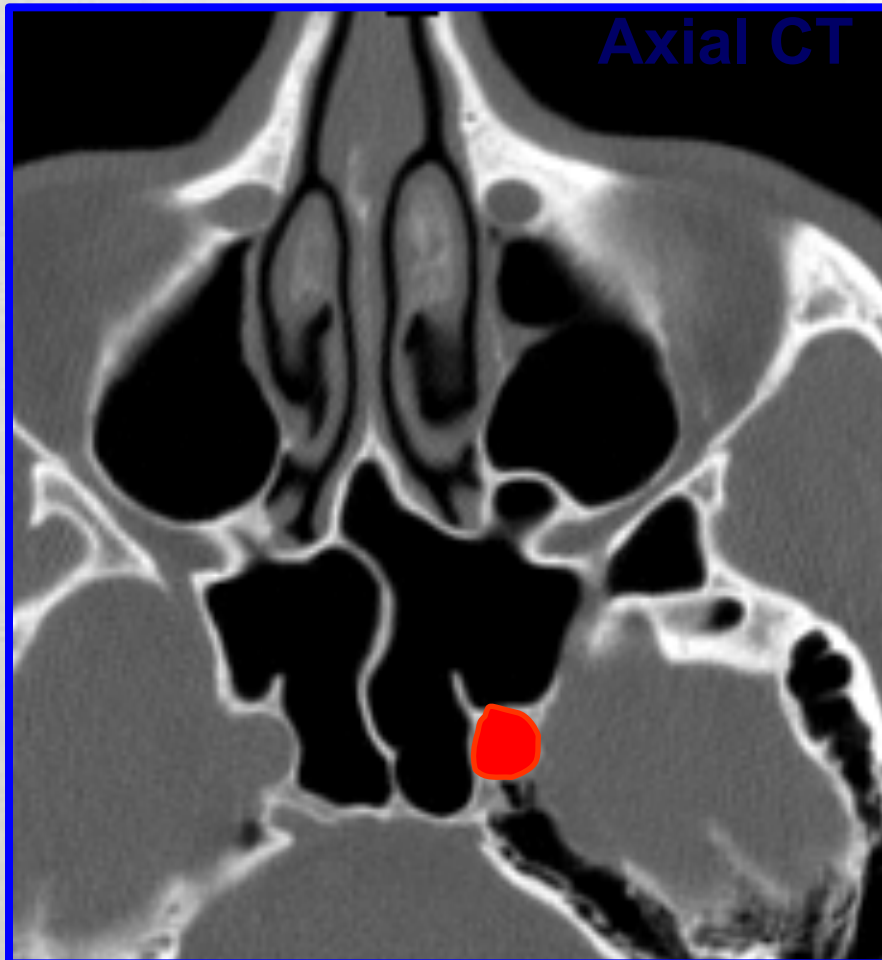
Διαφραγμάτια του σφηνοειδούς



 Προ – επιππίου τμήμα της έσω καρωτίδας

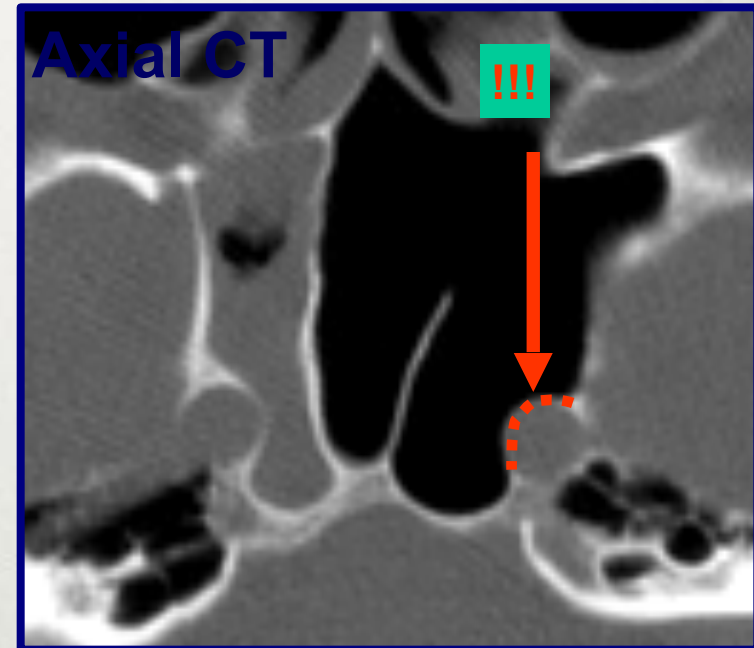
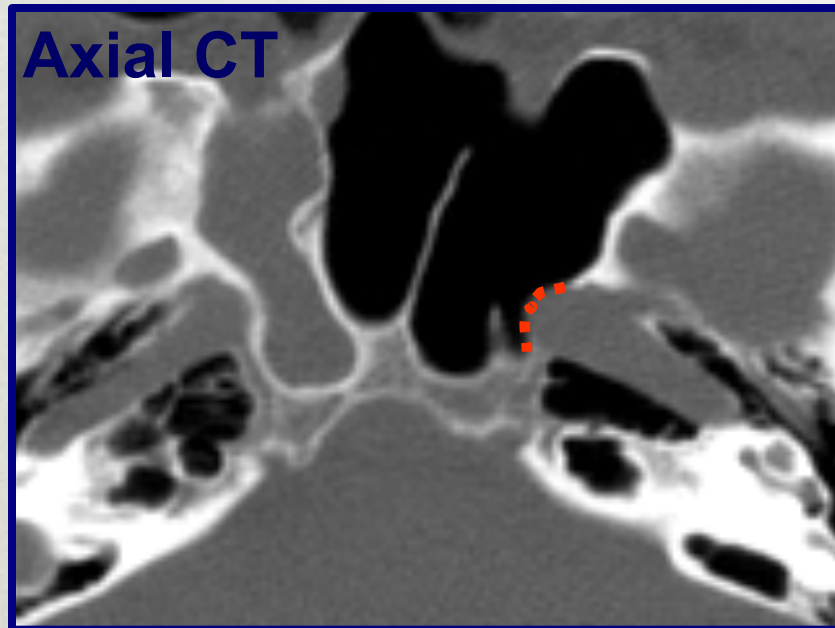
Η έσω καρωτίδα είναι ευάλωτη

Η έσω καρωτίδα μπορεί να προβάλλει ή να μην καλύπτεται με οστό
Τα διαφραγμάτια σχεδόν πάντα καταλήγουν στην έσω καρωτίδα

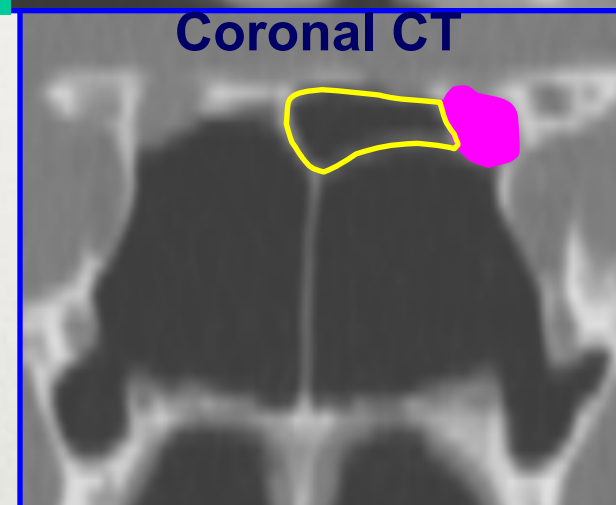
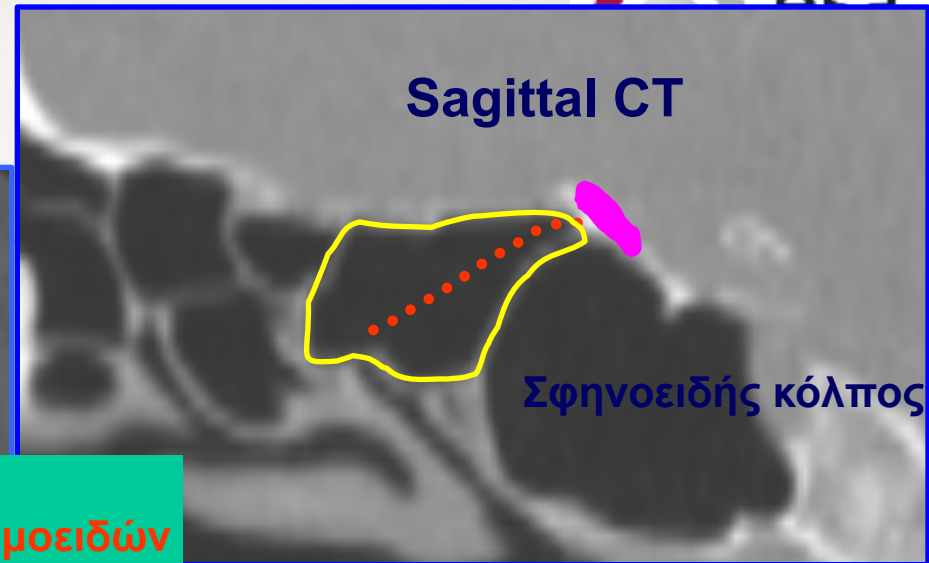
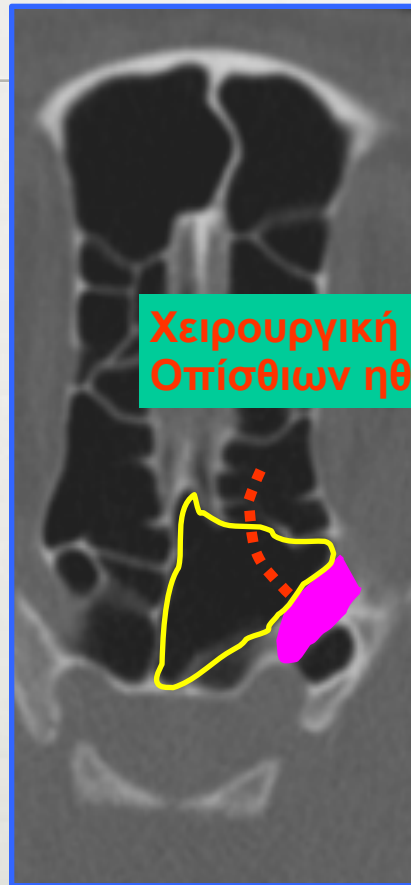
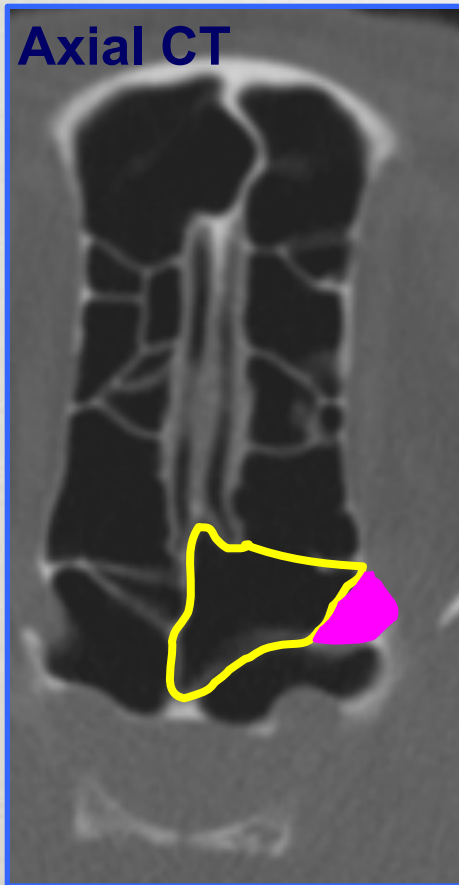


Η έσω καρωτίδα είναι ευάλωτη !

Dehiscent κανάλι
καρωτίδας (8%)

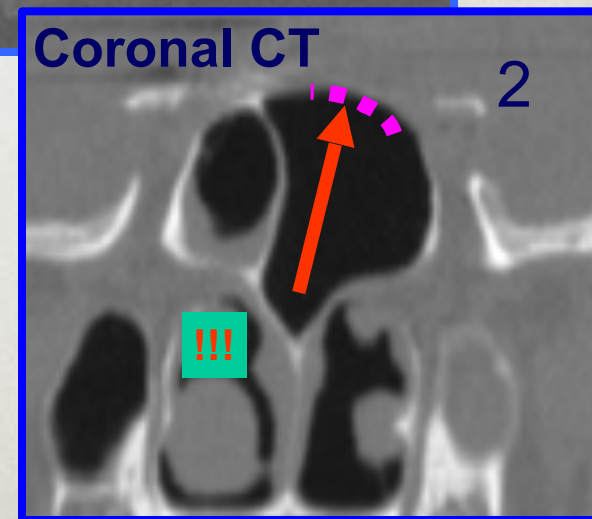
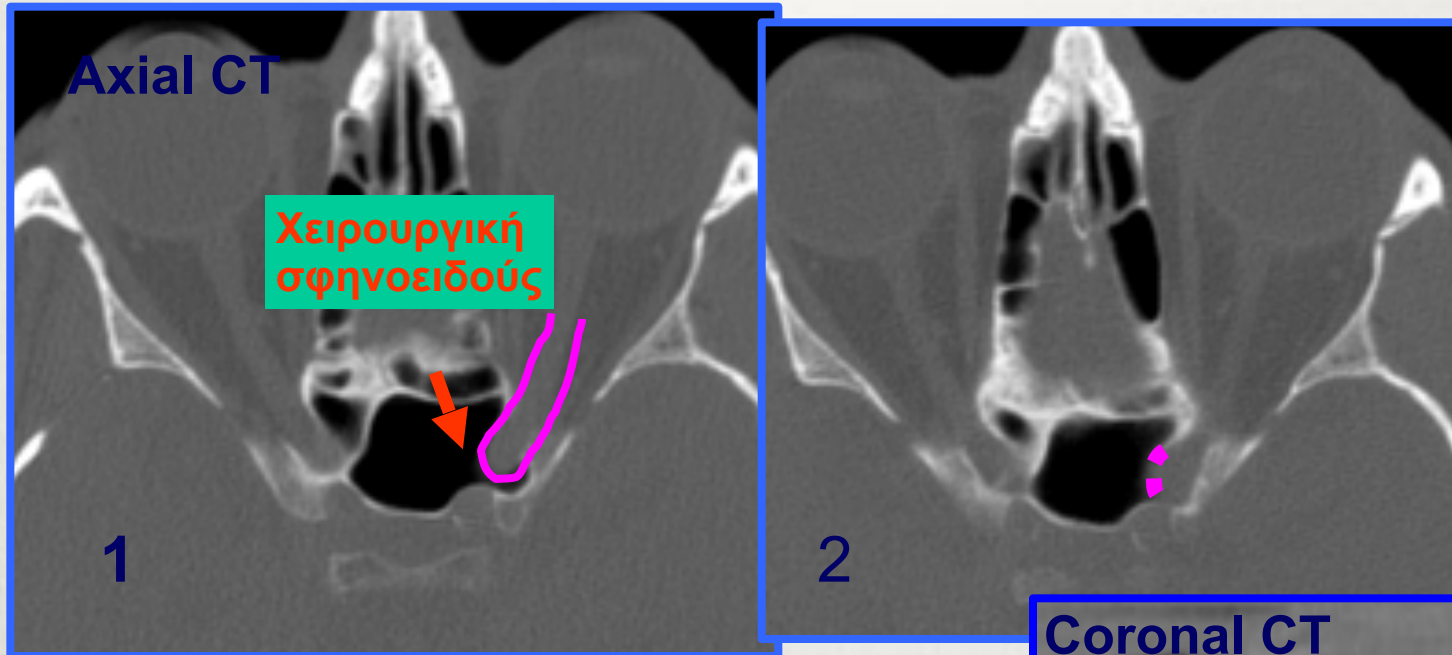


Κυψέλη Onodi



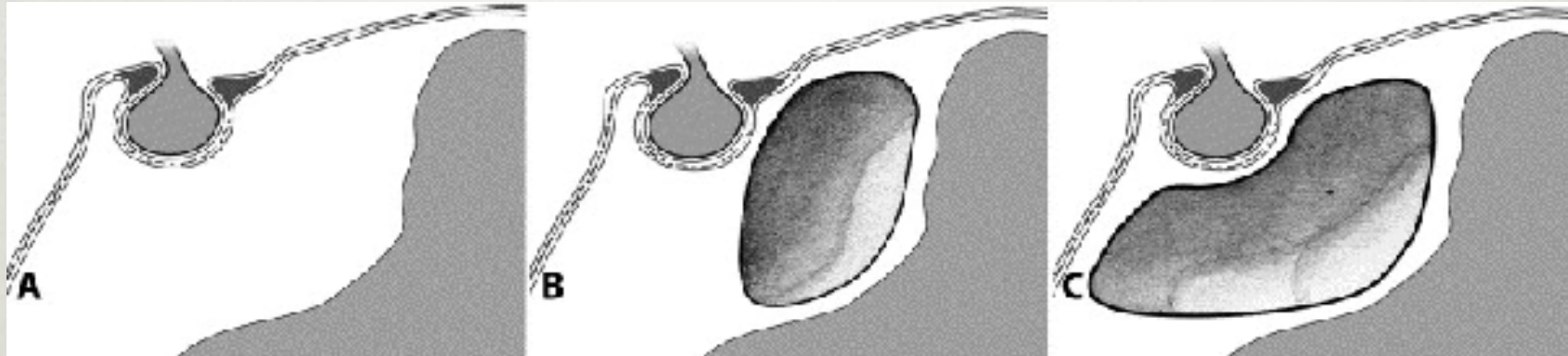
Οπίσθια ηθμοειδής κυψέλη που επεκτείνεται μέσα στο σφηνοειδή κόλπο και περιέχει το οπτικό νεύρο

Το οπτικό νεύρο είναι ευάλωτο!



1. Προβολή του οπτικού νέυρου εντός του σφηνοειδούς κόλπου
2. Dehiscent οπτικό κανάλι (4%)

ΤΥΠΟΙ ΠΝΕΥΜΑΤΩΣΗΣ ΤΟΥ ΣΦΗΝΟΕΙΔΟΎΣ



A. Κογχικός (Conchal)
C. Εφιππιτικός (Sellar)

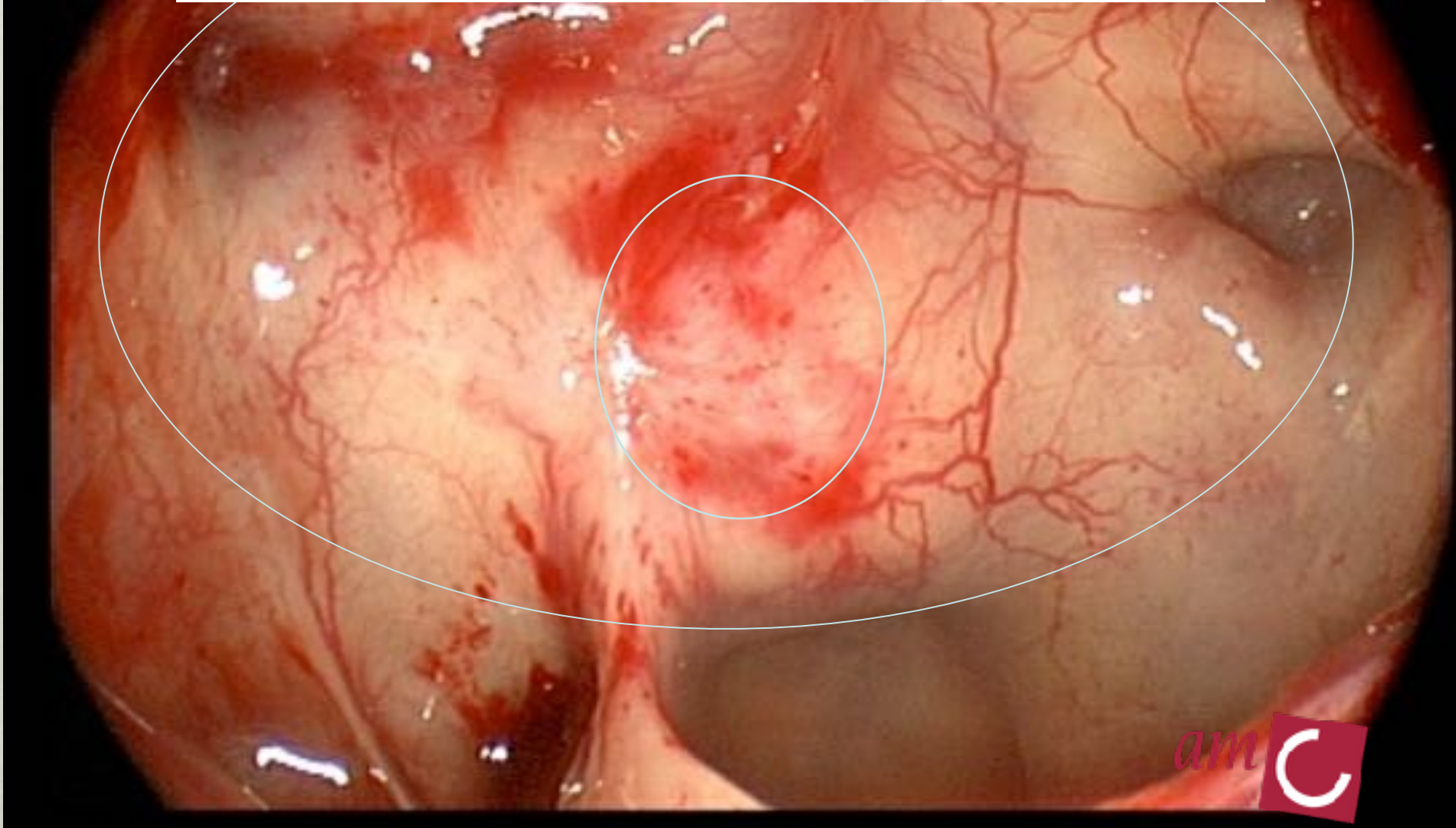
B. Προ εφιπιακός (Pre-sellar)

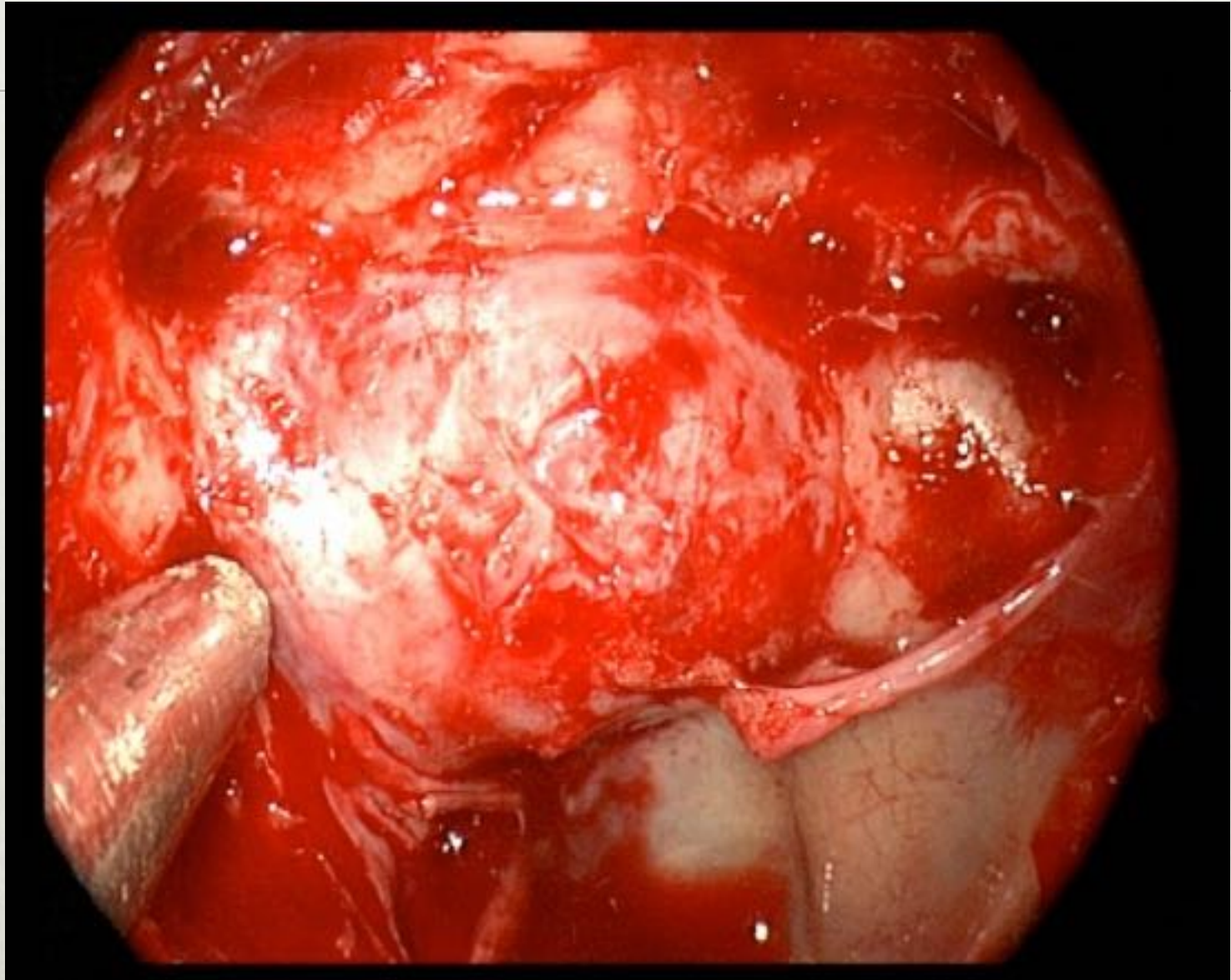
Extended endoscopic endonasal skull base surgery: from the sella to the anterior and posterior cranial fossa

Amanda Oostra,* Wouter van Furth† and Christos Georgalast

*Department of Neurosurgery, Slotervaart Hospital

†Endoscopic Skull Base Amsterdam, Academic Medical Centre, Amsterdam, The Netherlands

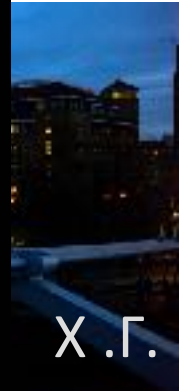
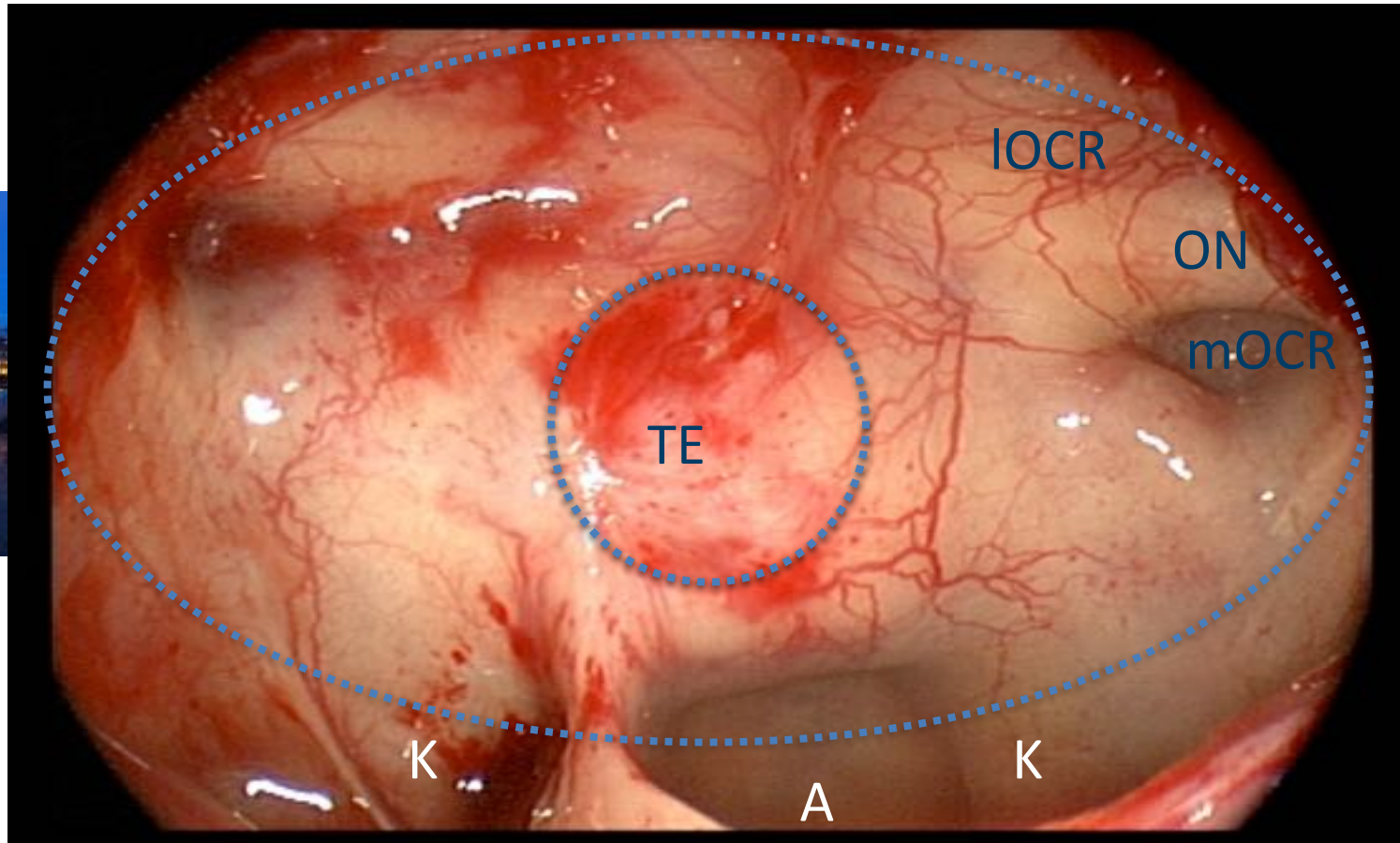


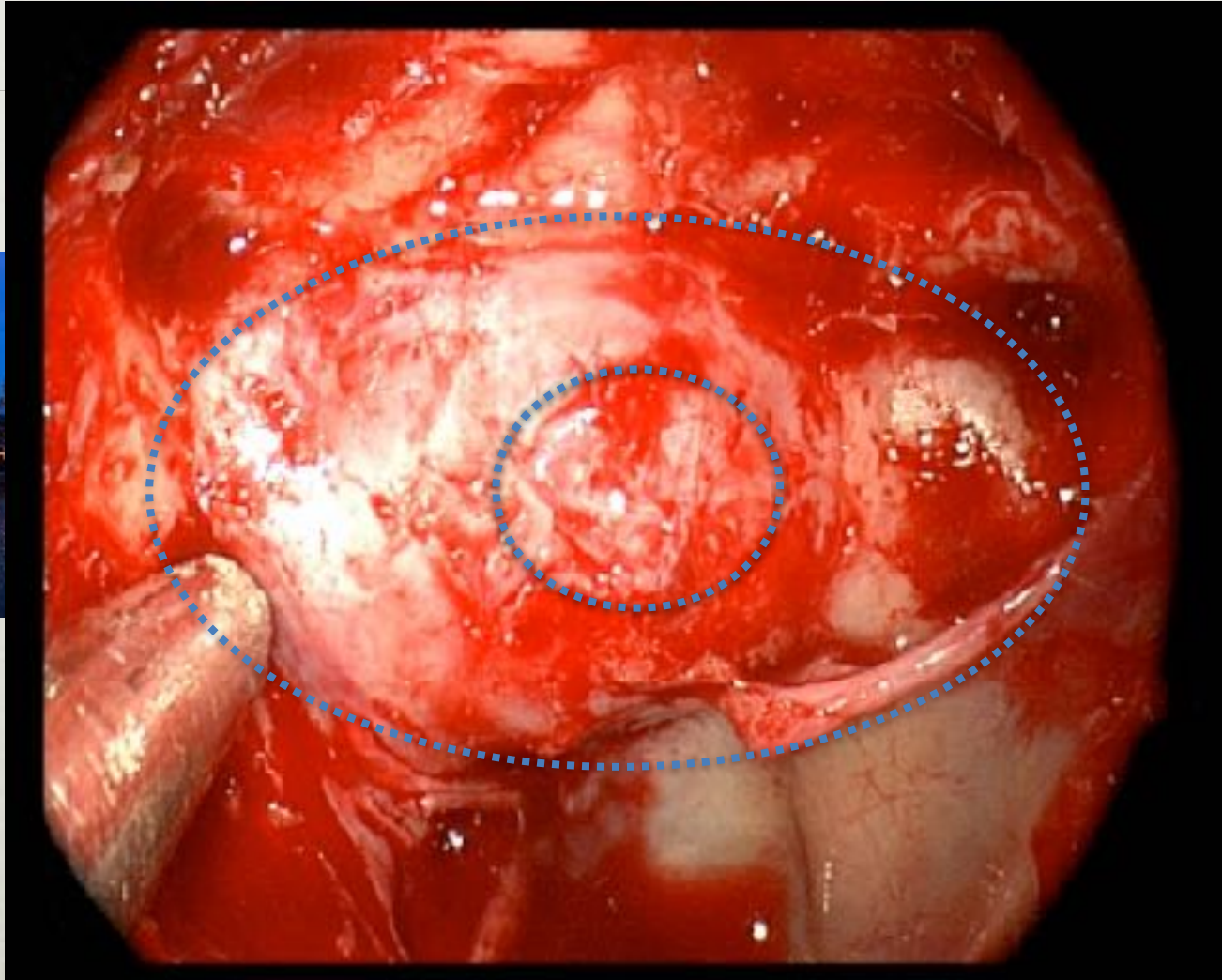




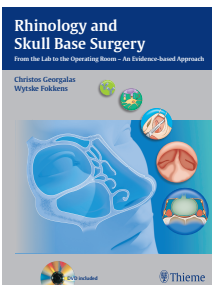
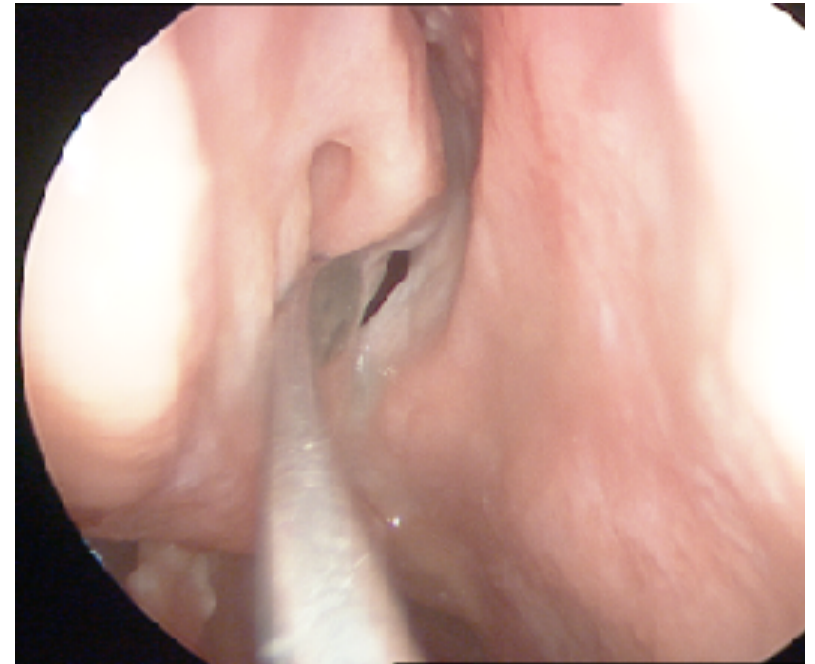


Πανοραμική θέα



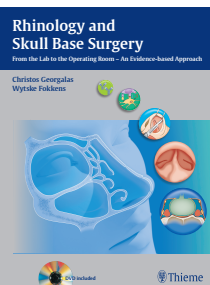
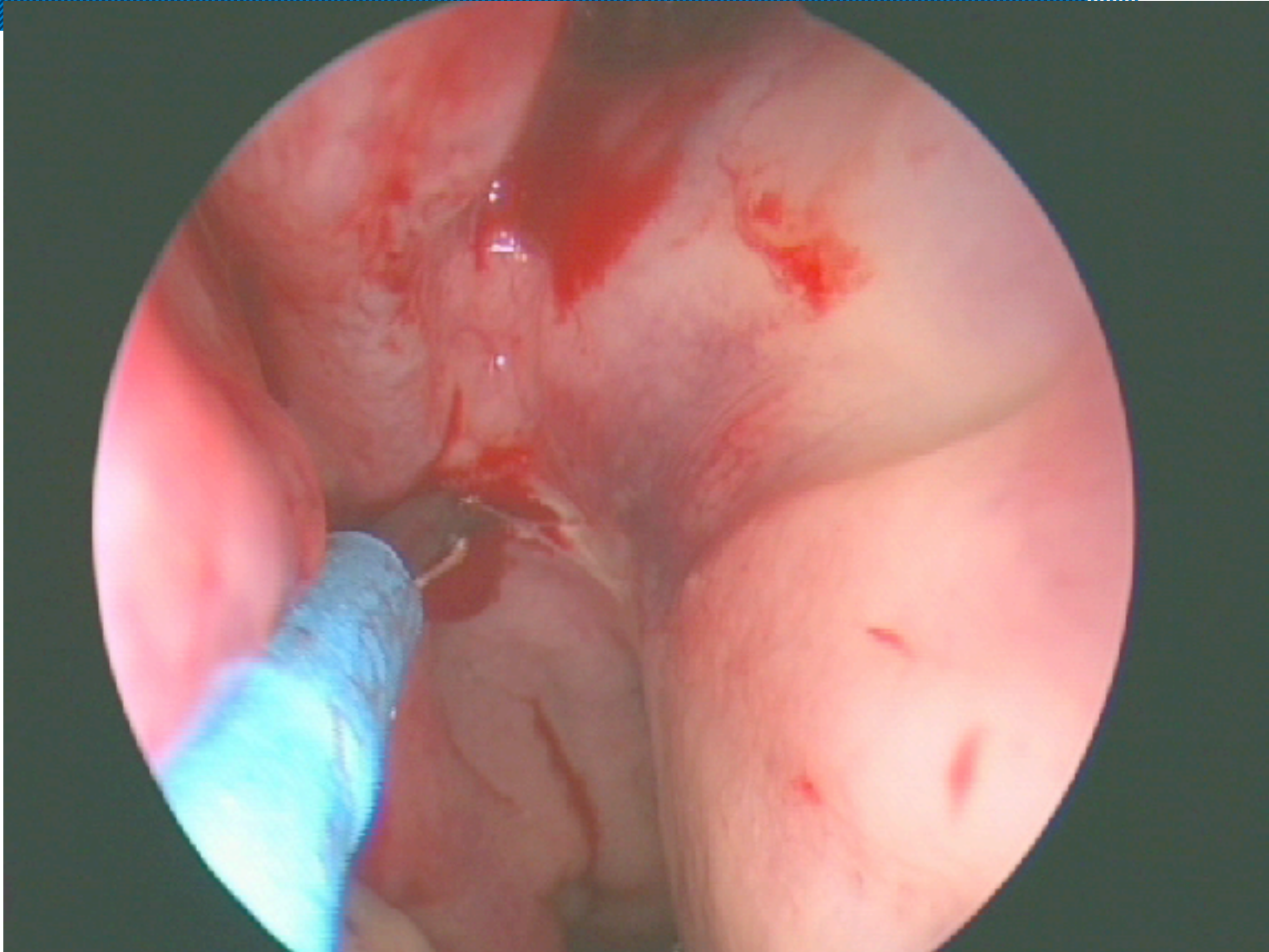


Βημα 1 - Σφηνοειδεκτομη αμφω



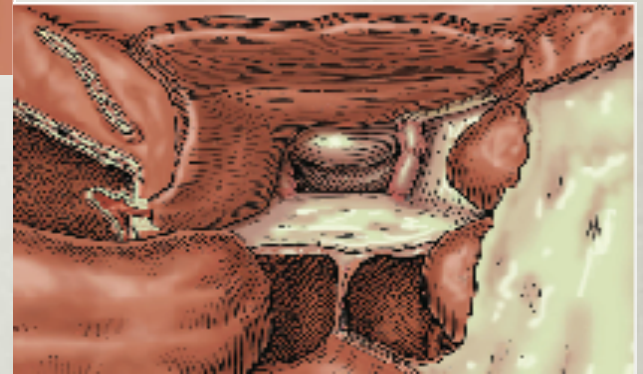
Georgalas C: et al: Rhinology and Skull Base surgery, Thieme , 2013

Βημα 2 - Αφαιρεση οπισθιου διαφραγματος/ Παρασκευη κρημνου (ΑΝ χρειάζεται)



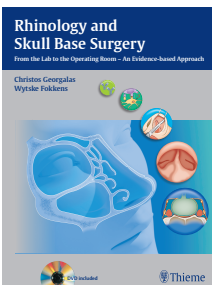
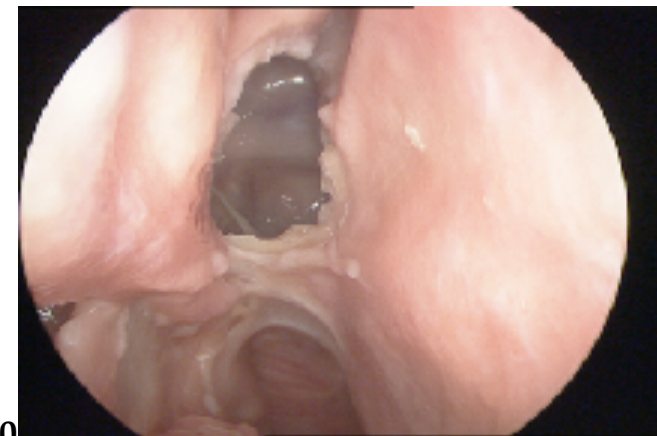
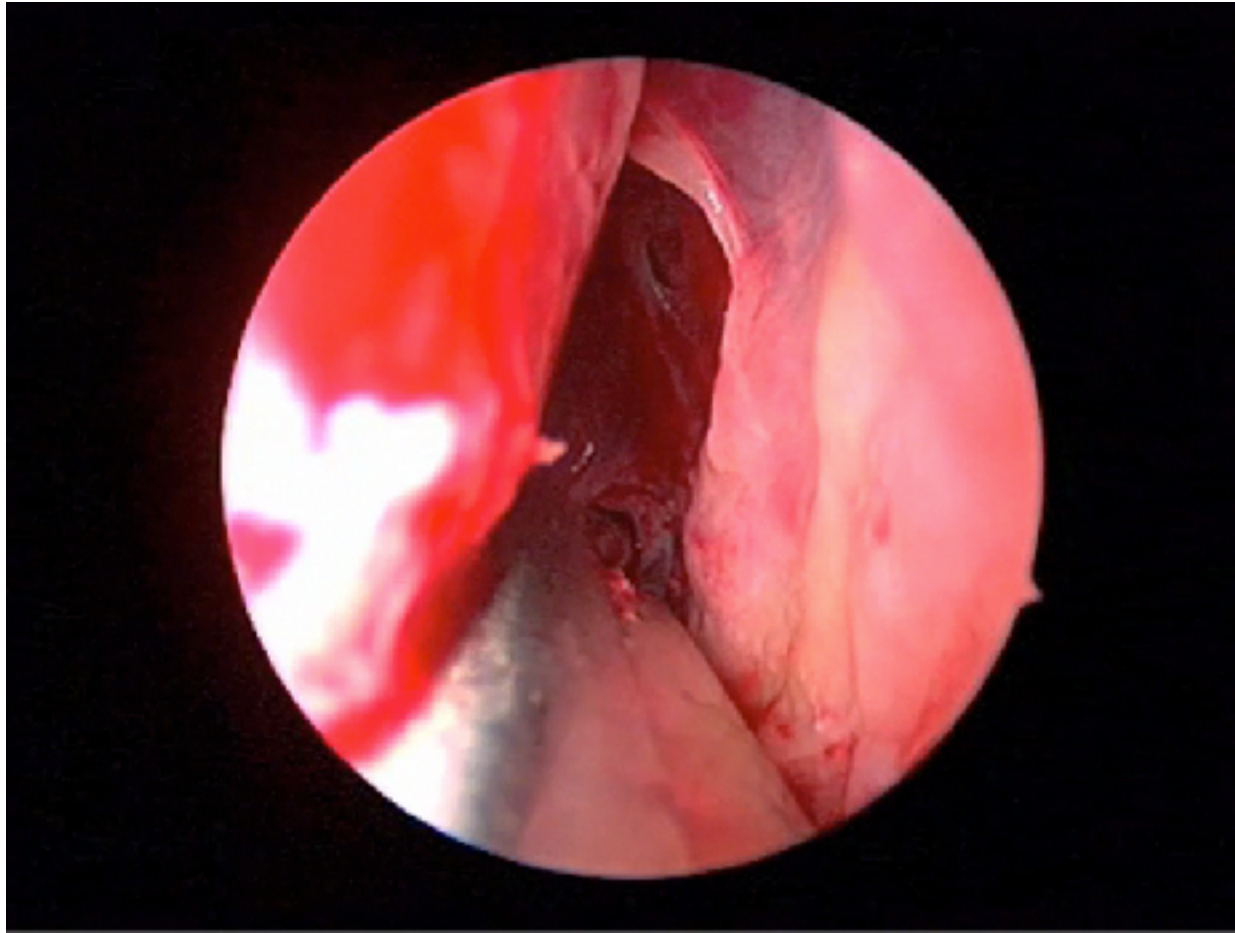
Georgalas C: et al: Rhinology and Skull Base surgery, Thieme , 2013

THE PEDICLED NASOSEPTAL



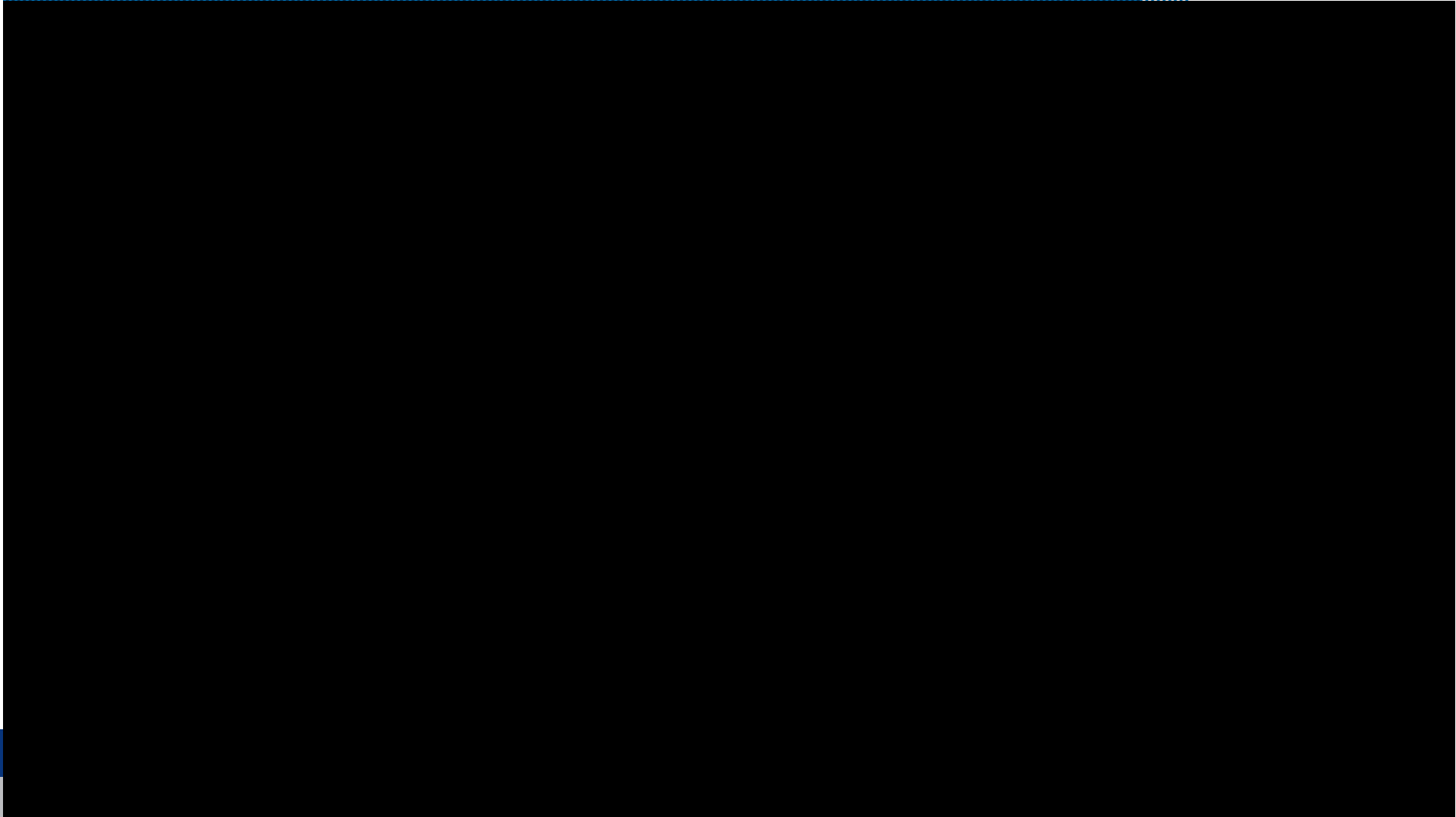
Hadad G, Bassagasteguy L, Carrau RL, Mataza JC, Kassam A, Snyderman CH, Mintz A.
A novel reconstructive technique after endoscopic expanded endonasal approaches: vascular pedicle
nasoseptal flap. *Laryngoscope*. 2006 Oct;116(10):1882-6.

Βημα 3 - Ευρεία αποκαλυψη σφηνοειδους



Georgalas C: et al: Rhinology and Skull Base surgery, Thieme , 2015

Βημα 4 - αφαιρεση προσθιου τοιχωματος εφίππιου

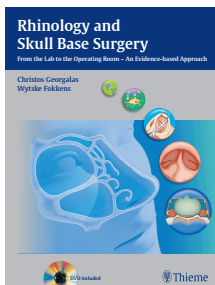
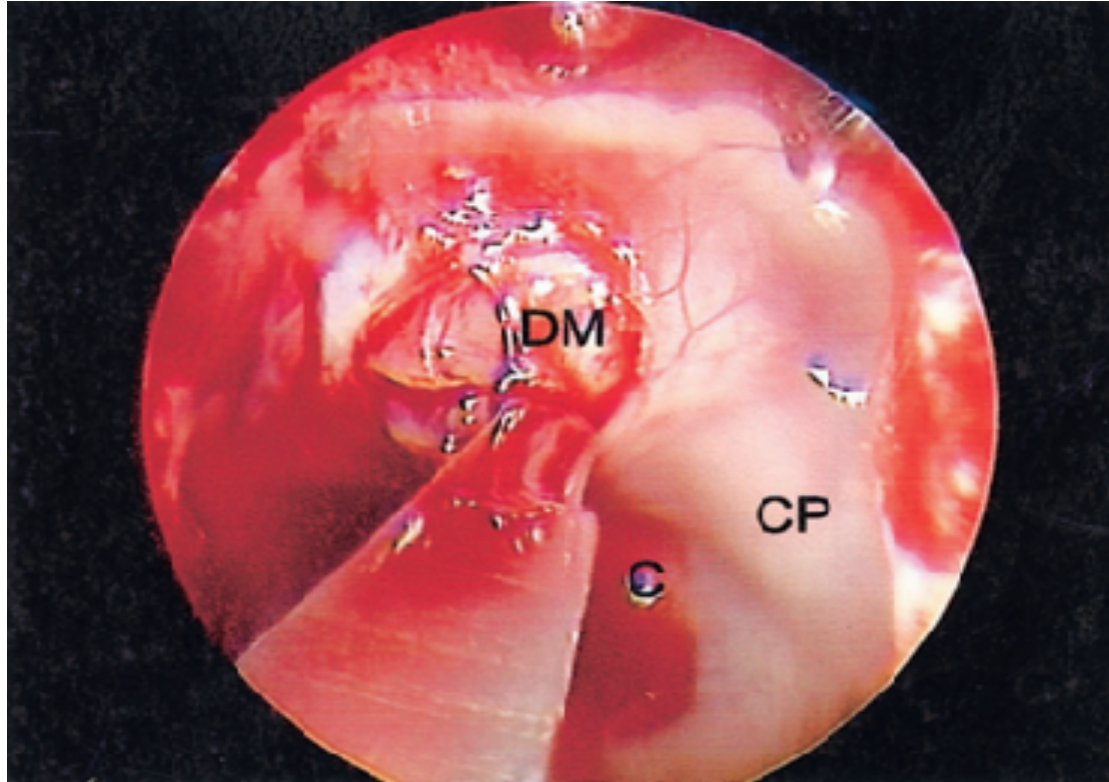


Georgalas C: et al: Rhinology and Skull Base surgery, Thieme , 2013



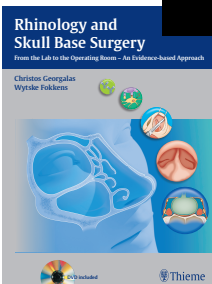
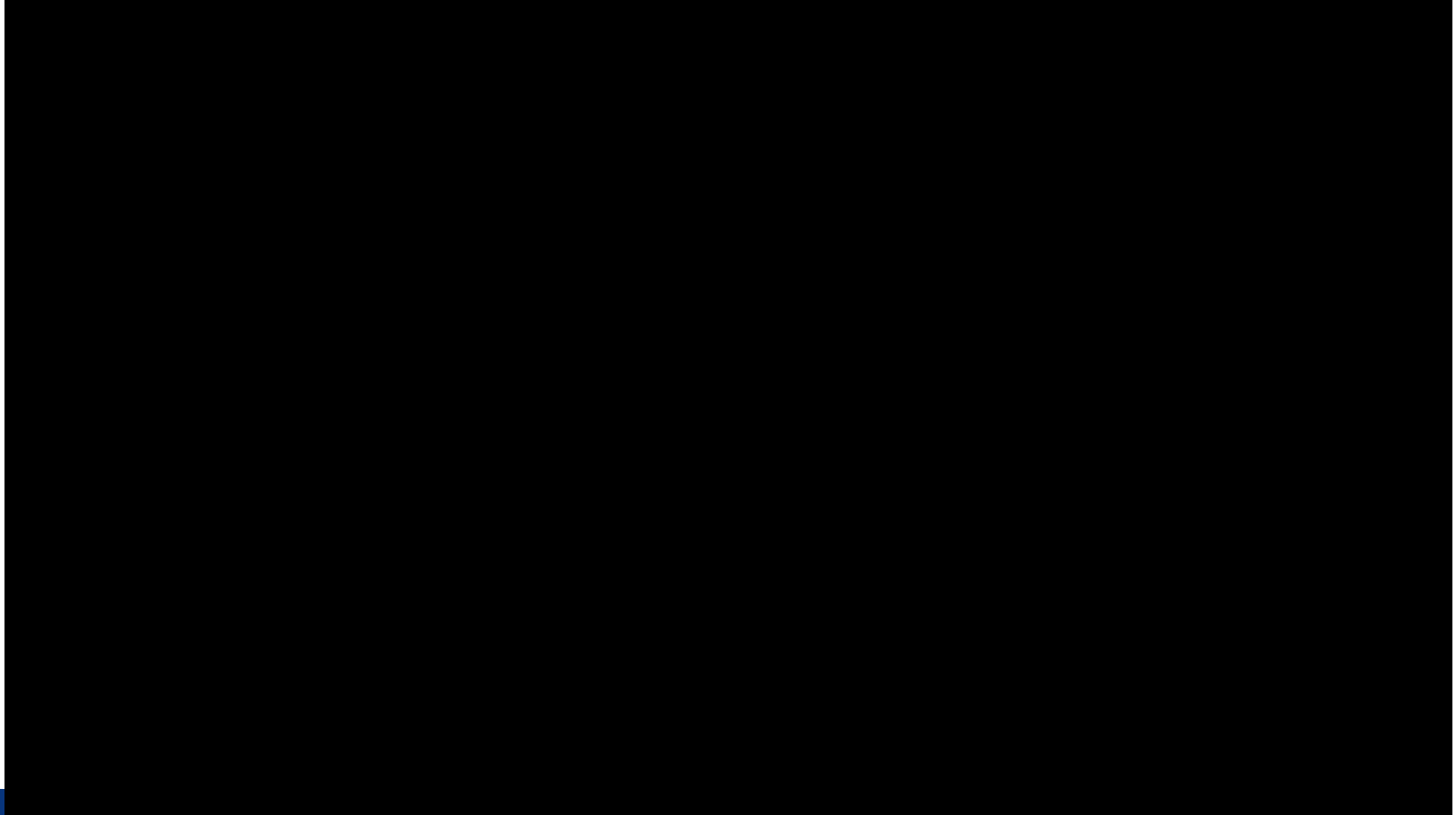
Thieme

Βημα 5 - τομη μήνιγγας



Georgalas C: et al: Rhinology and Skull Base surgery, Thieme , 2013

Βημα 6 - αφαιρεση αδενώματος



Georgalas C: et al: Rhinology and Skull Base surgery, Thieme , 2013

Βημα 7 - ανακατασκευή



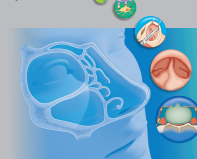
Pituitary surgery: Sellar closure

C Georgalas R Willemsse

Rhinology and Skull Base Surgery

From the Lab to the Operating Room - An Evidence-Based Approach

Christos Georgalas
Wytse Fokkens

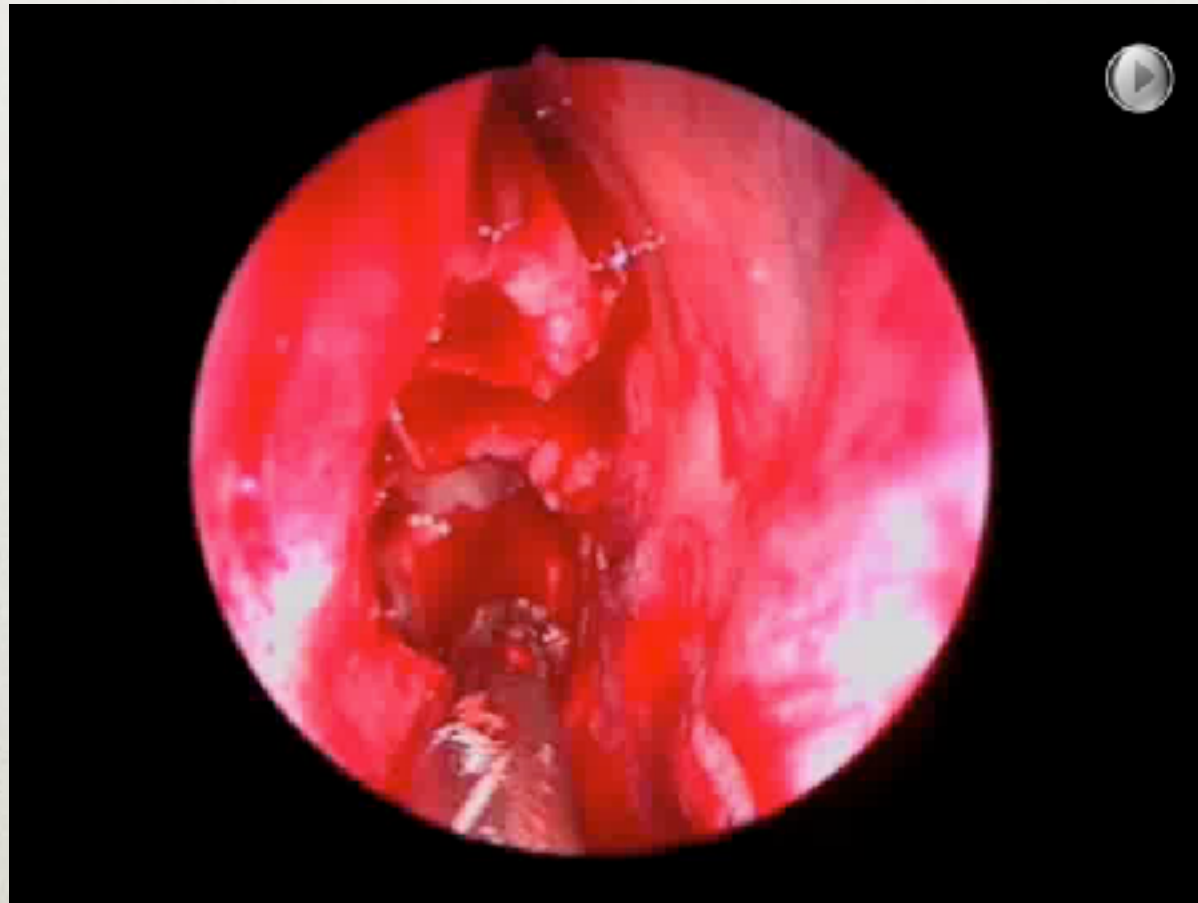


Thieme

Georgalas C: et al: Rhinology and Skull Base surgery, Thieme

ΠΕΡΙΕΧΌΜΕΝΑ

ΣΦΗΝΟΕΙΔΕΚΤΟΜΉ ΓΙΑ ΠΡΟΣΠΈΛΑΣΗ ΣΕ ΚΎΣΤΗ ΡΑΤΗΚΕ



ΒΙΒΛΙΟΓΡΑΦΙΑ

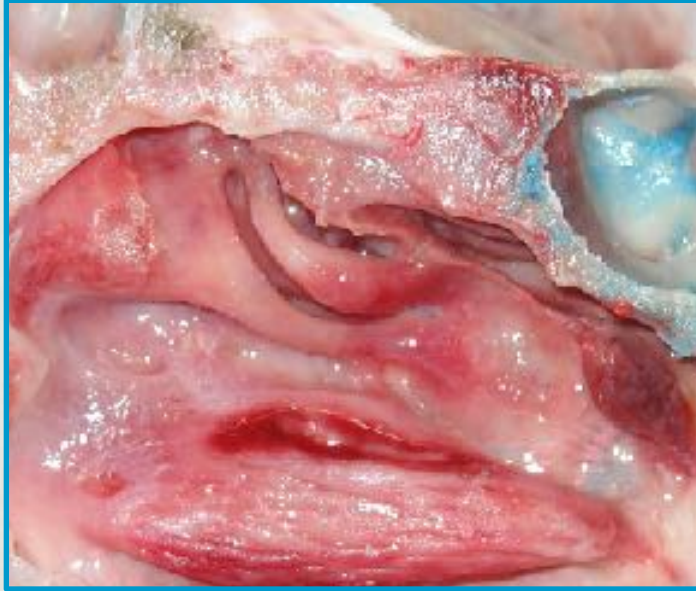
Κεφάλαια σε βιβλία :

- **Revision Sinus Surgery, Springer Editions, New York, NY, 2008** Pathophysiology of inflammation in the surgically failed sinus cavity
Georgalas C, Fokkens W , Rinia B
- **Nasal Polyposis, Springer Editions, New York, NY, 2009** Evidence – based surgery in nasal polyposis Georgalas C, Ebbens F , Fokkens W

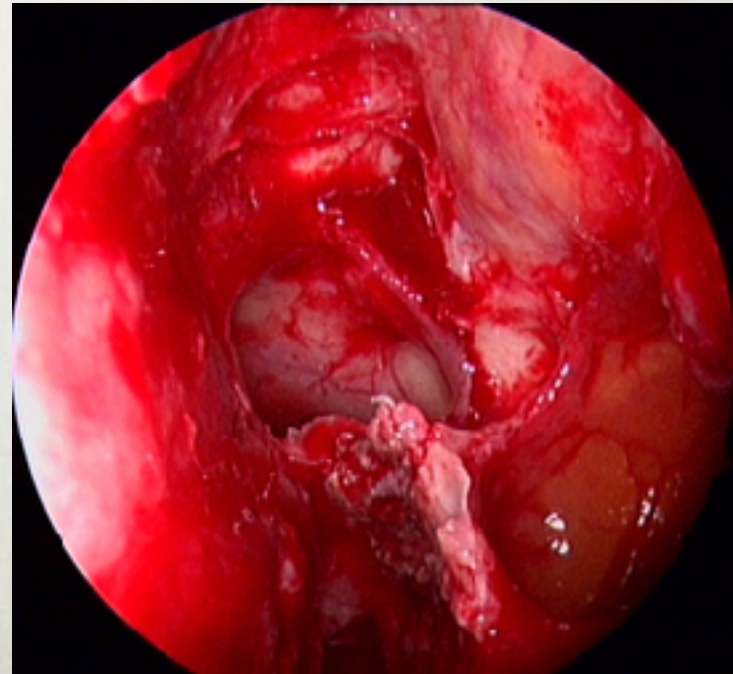
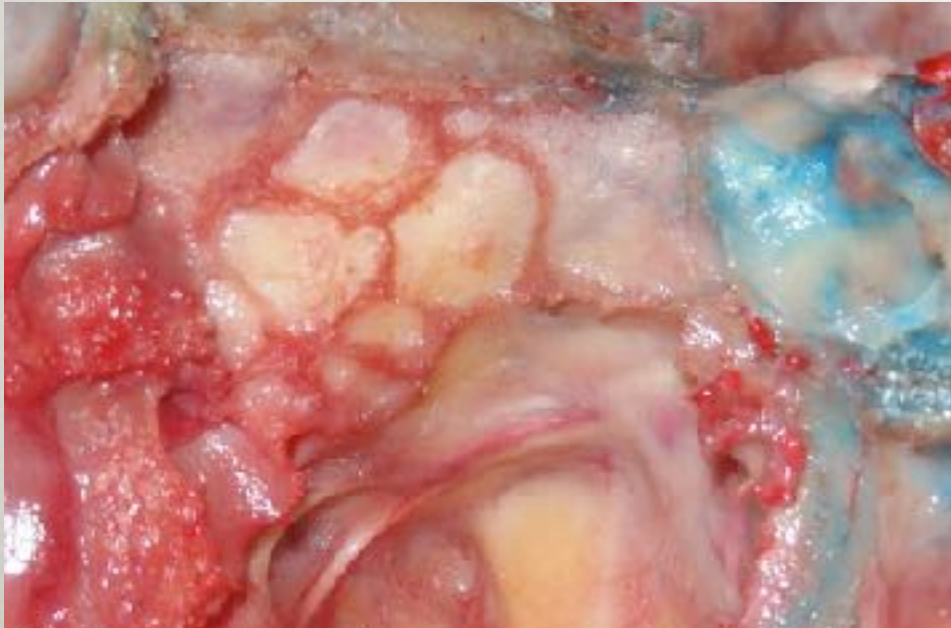
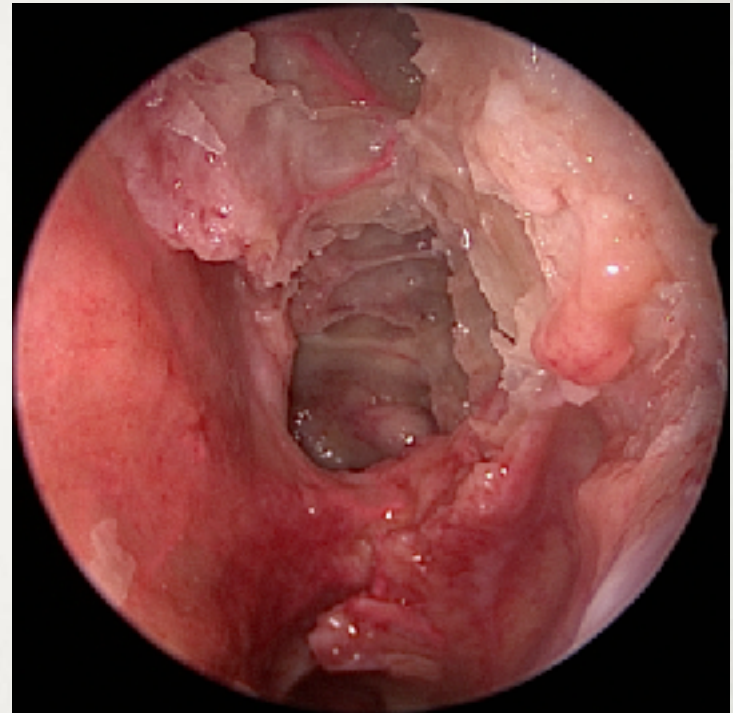
Αρθρα:

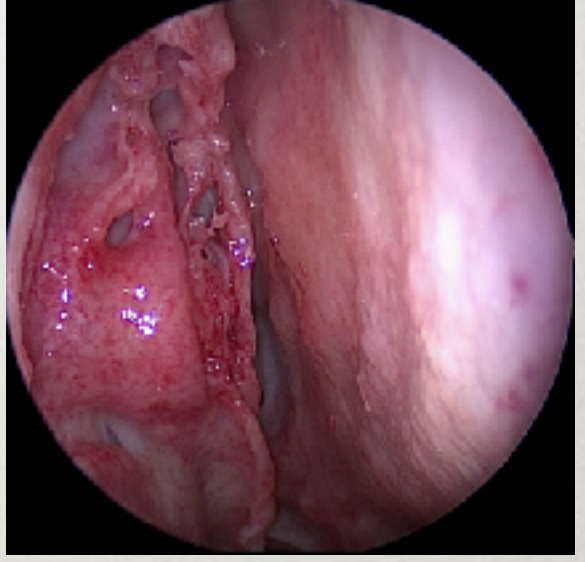
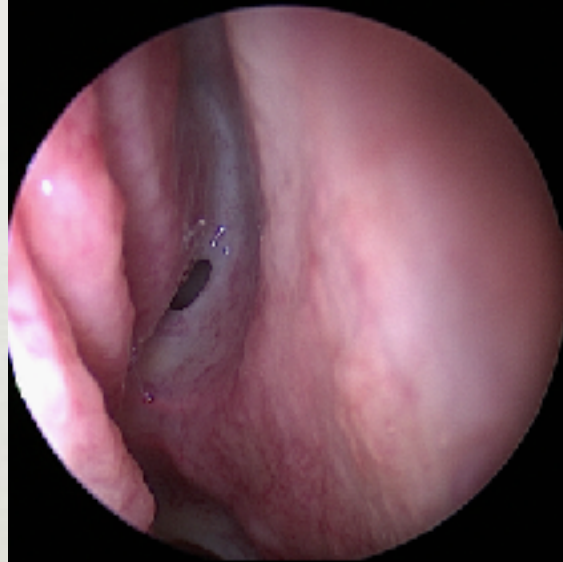
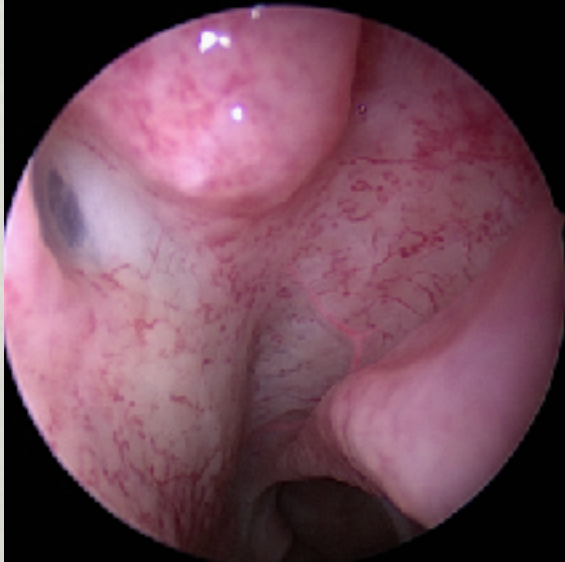
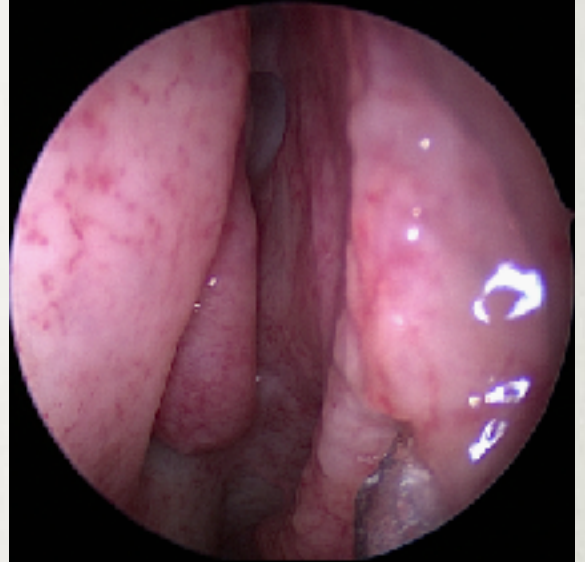
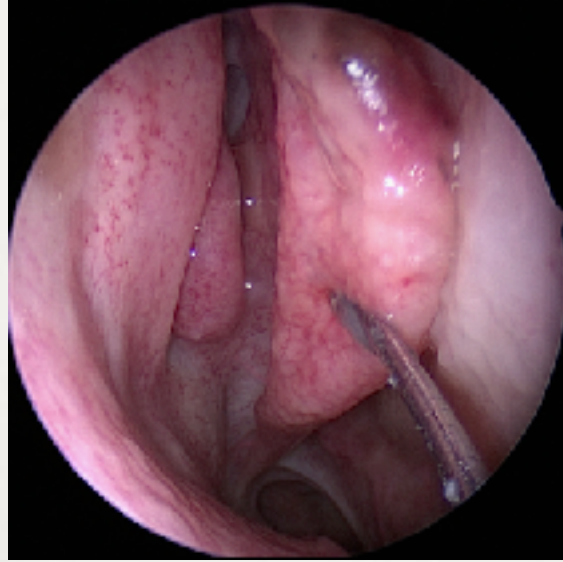
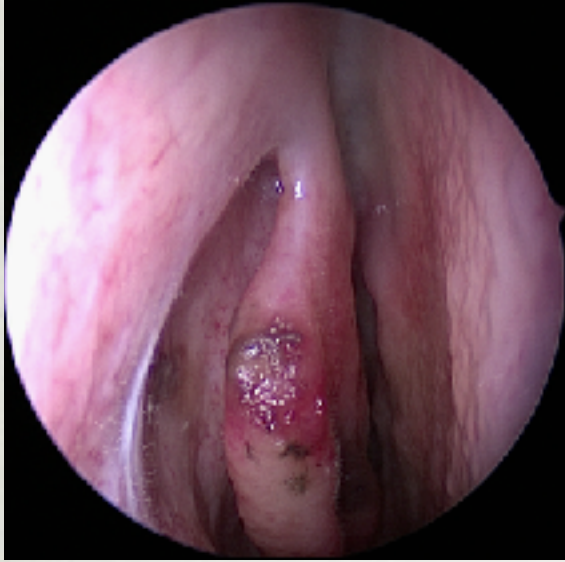
- Georgalas C, Kania R, Sauvaget K, Tran Ba Huy P, Herman P
Endoscopic transsphenoidal surgery for cholesterol granulomas involving the petrous apex: a case series. *Clinical Otolaryngology* 2008 Feb; 33(1):38-4
- Ebbens FA, Georgalas C, Rinia AB, van Drunen CM, Lund VJ, Fokkens WJ.
The fungal debate: where do we stand today?
Rhinology. 2007 Sep;45(3):178-89.
- Maxillary mucosal cyst is not a manifestation of rhinosinusitis: Results of a prospective three-dimensional CT study of ophthalmic patients.
Kanagalingam J, Bhatia K, Georgalas C, Fokkens W, Miszkiel K, Lund VJ. *Laryngoscope*. 2008 Dec 31;119(1):8-12.
- A randomized trial of Rapid Rhino Riemann and Telfa nasal packs following endoscopic sinus surgery. Cruise AS, Amonoo-Kuofi K, Srouji I, Kanagalingam J, Georgalas C, Patel NN, Badia L, Lund VJ. *Clin Otolaryngol*. 2006 Feb;31(1):25-32.
- Basu S, Georgalas C, Kumar BN, Desai S Correlation between symptoms and radiological findings in patients with chronic rhinosinusitis: an evaluation study using the Sinonasal Assessment Questionnaire and Lund-Mackay grading system. *European Archives of Otorhinolaryngology*. 2005 Sep;262(9):751-4

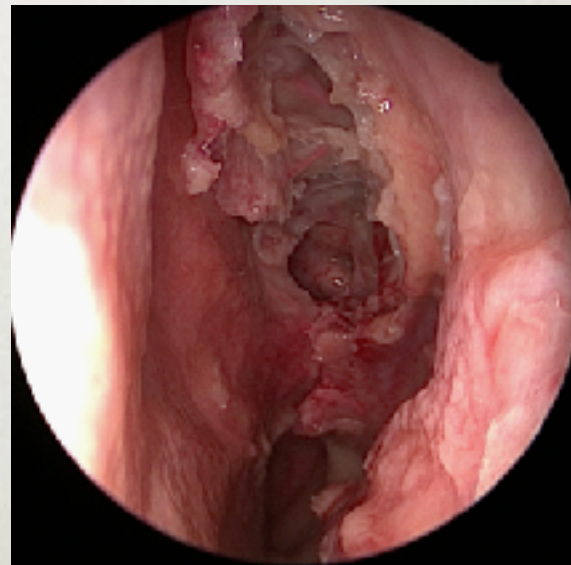
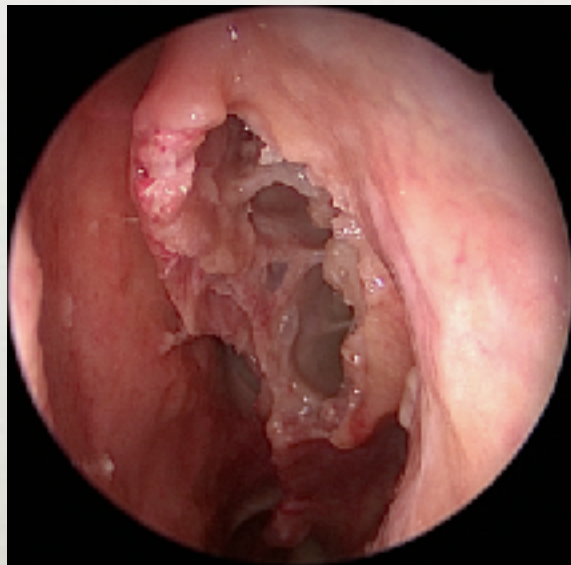
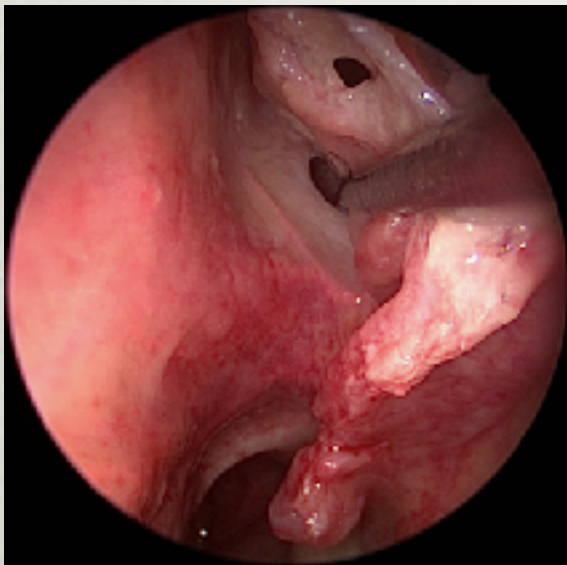
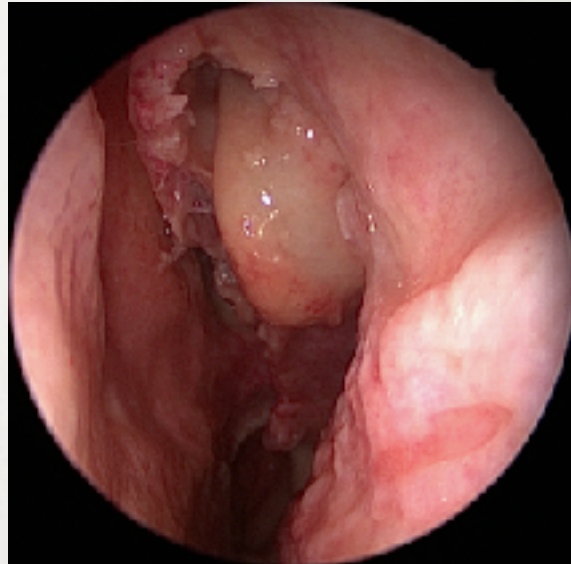
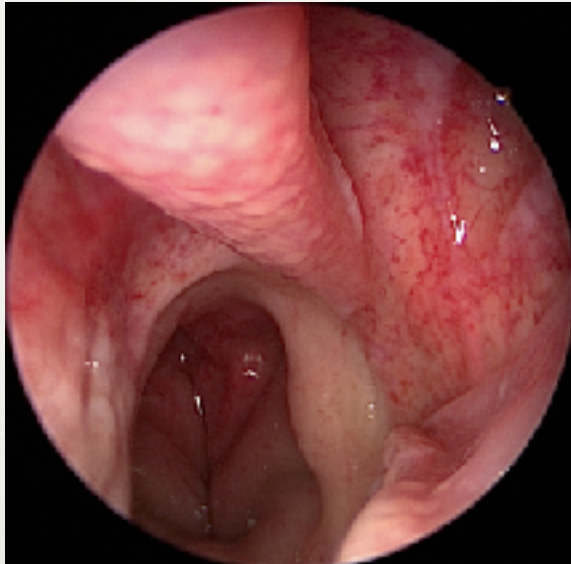
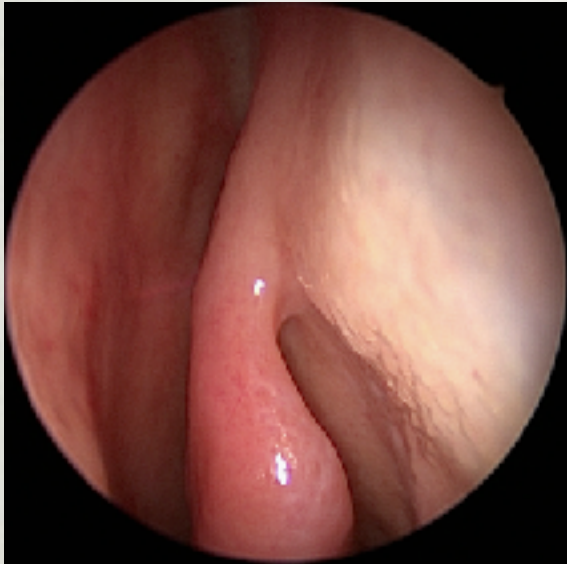
Ethmoidal disassembly & papiracea exposure



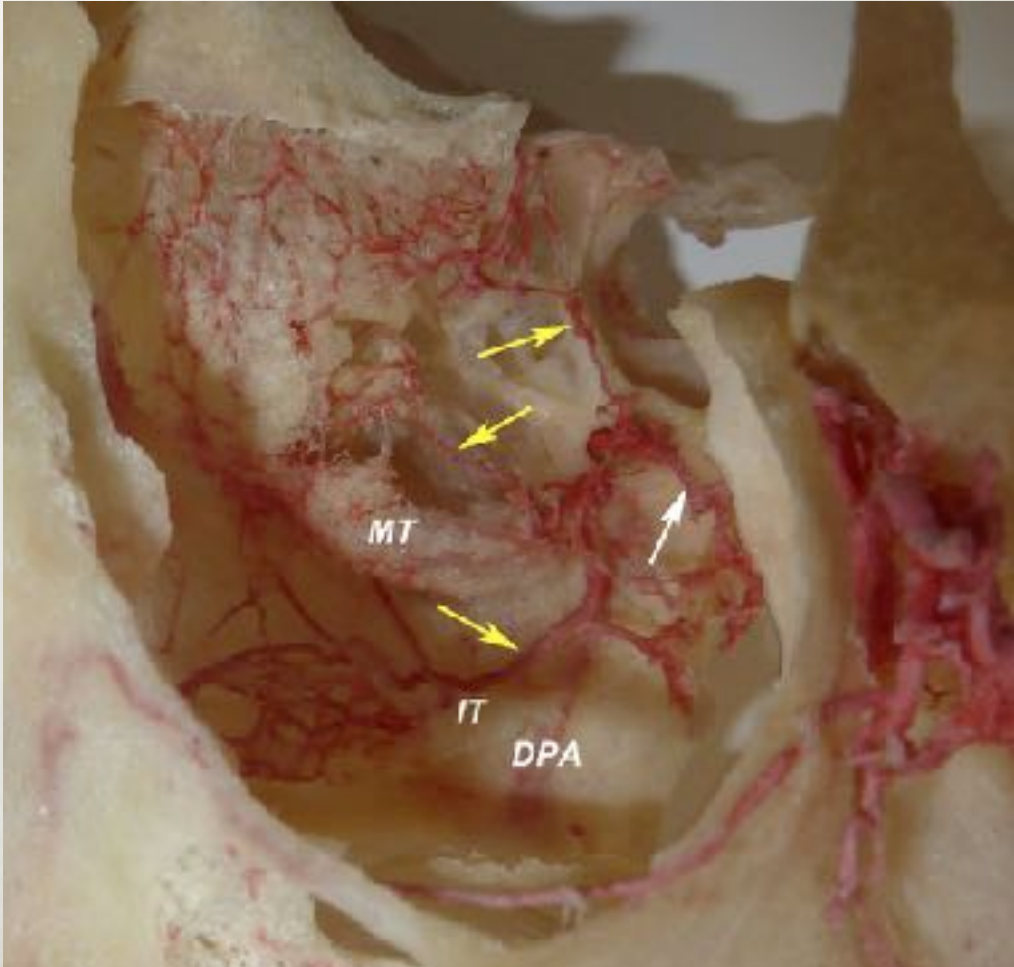
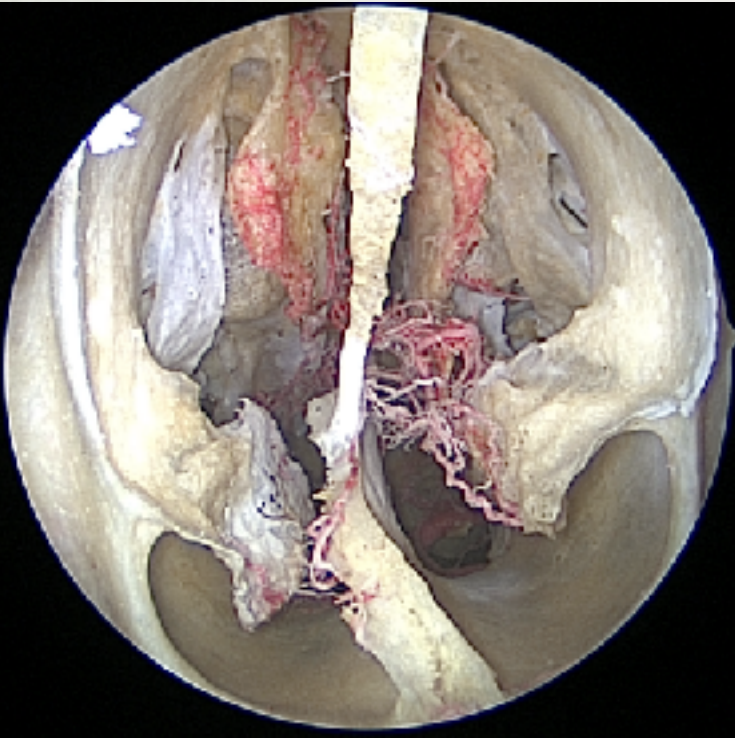
*Complete
ethmoidectomy*



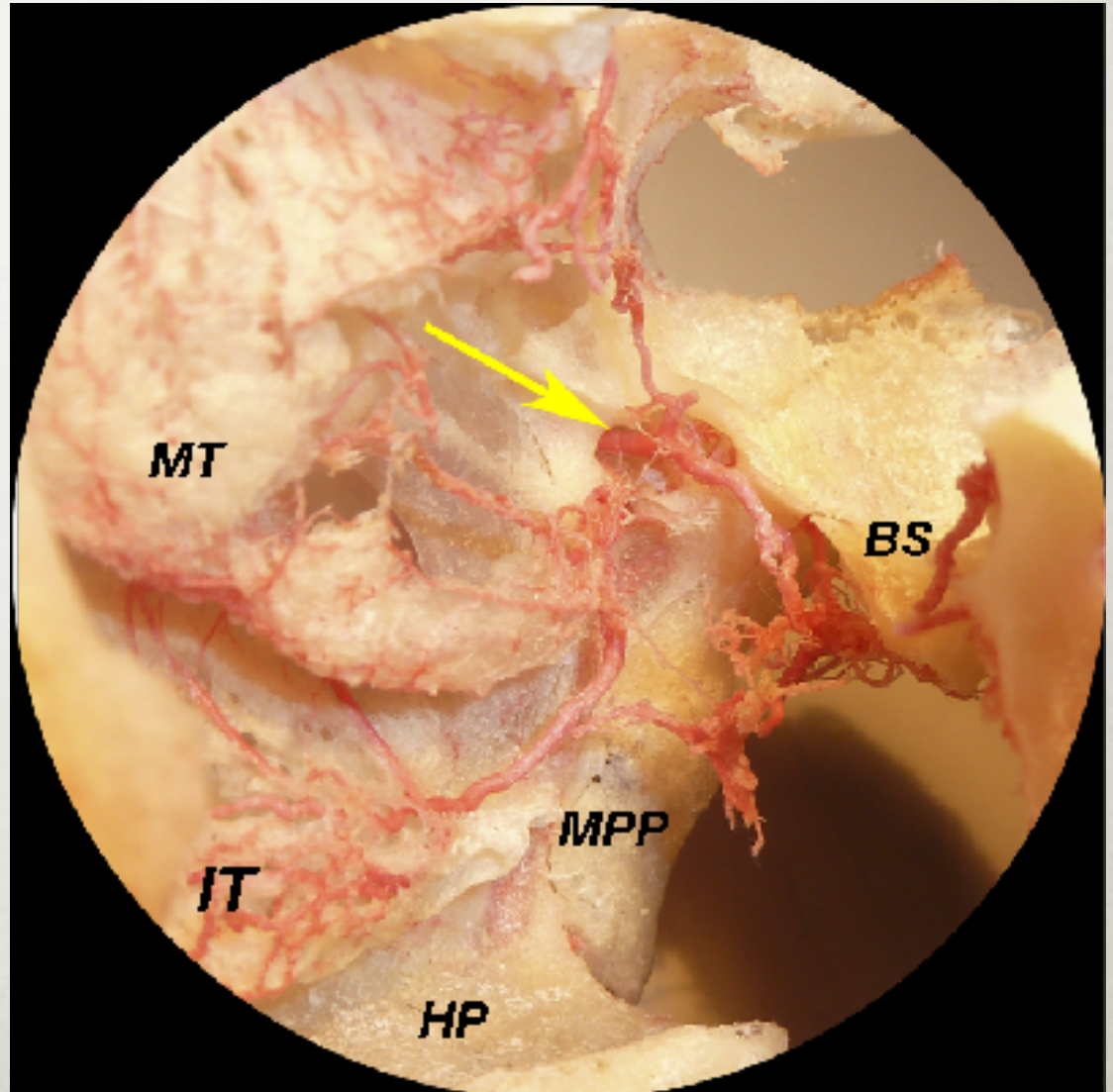
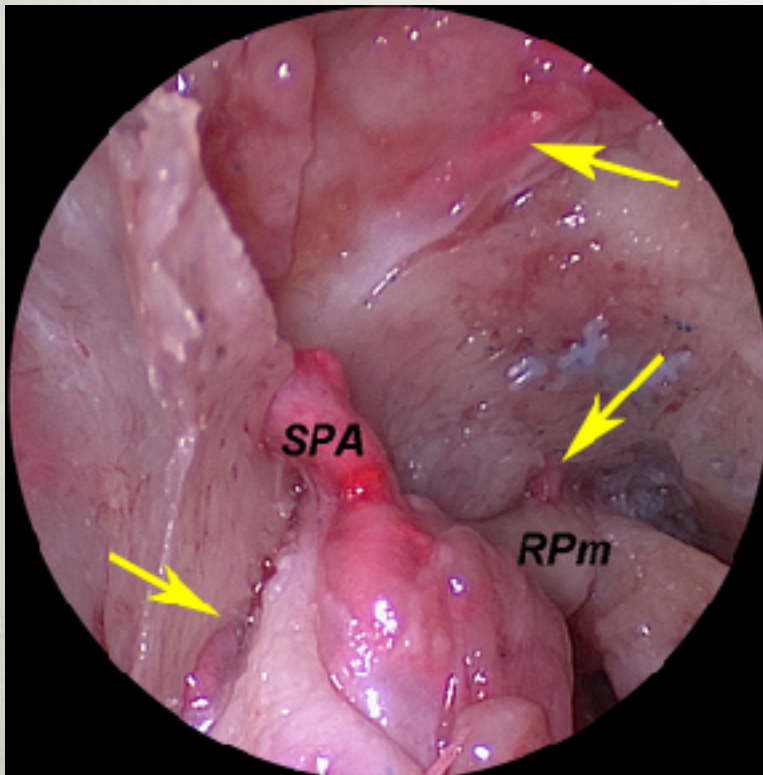




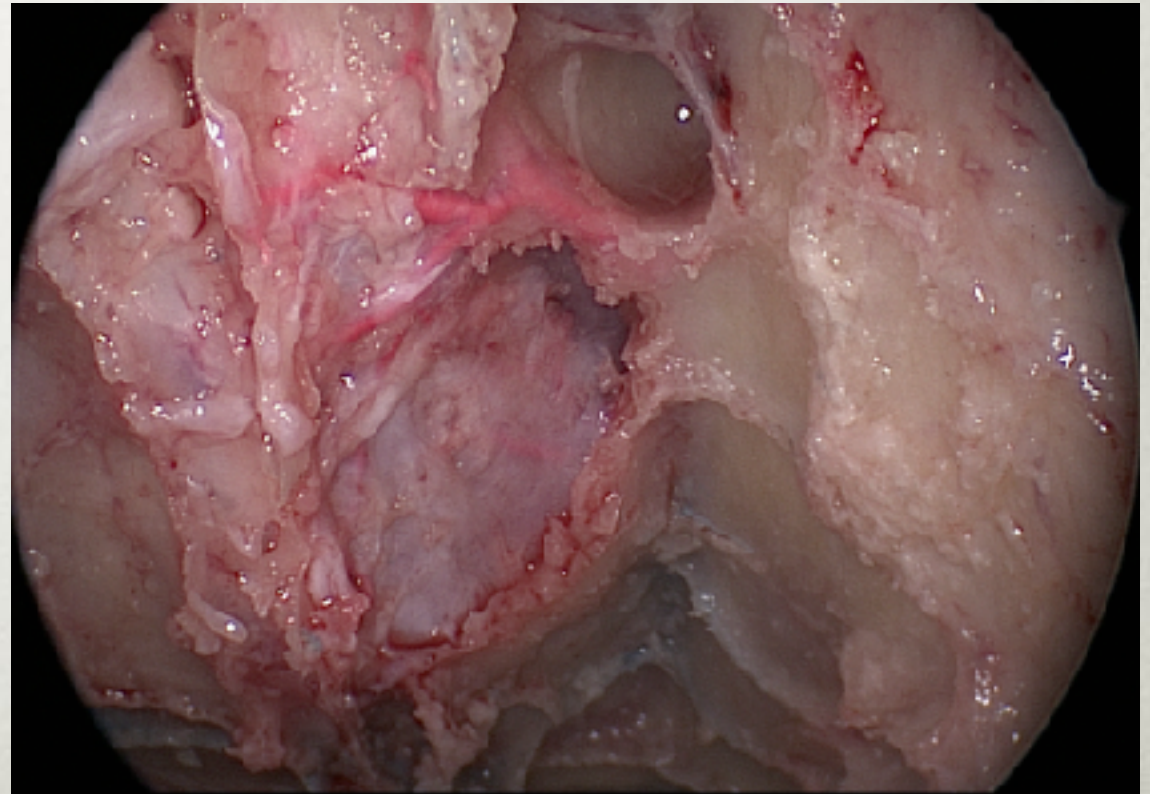
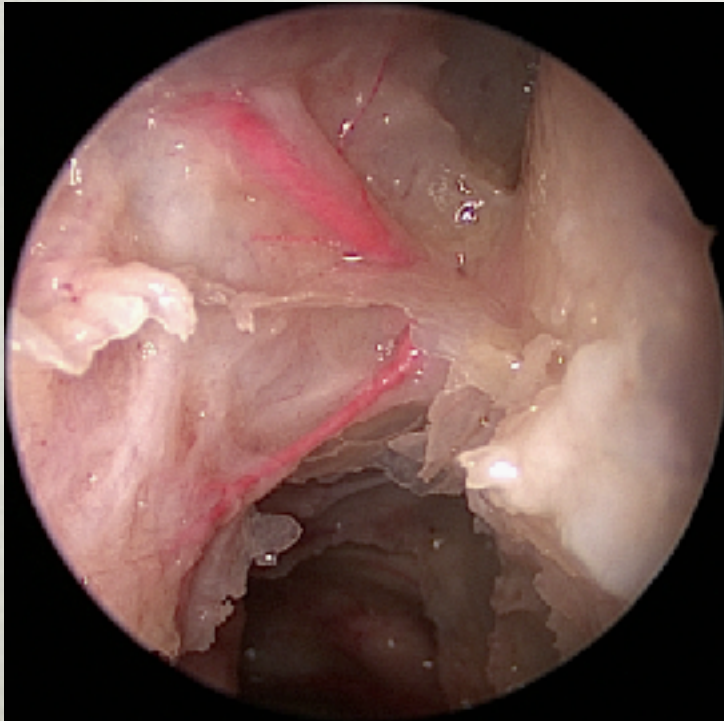
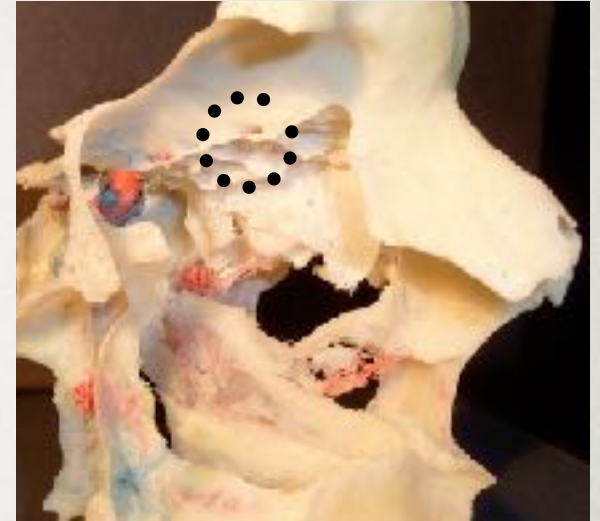
Lateral wall vascular network



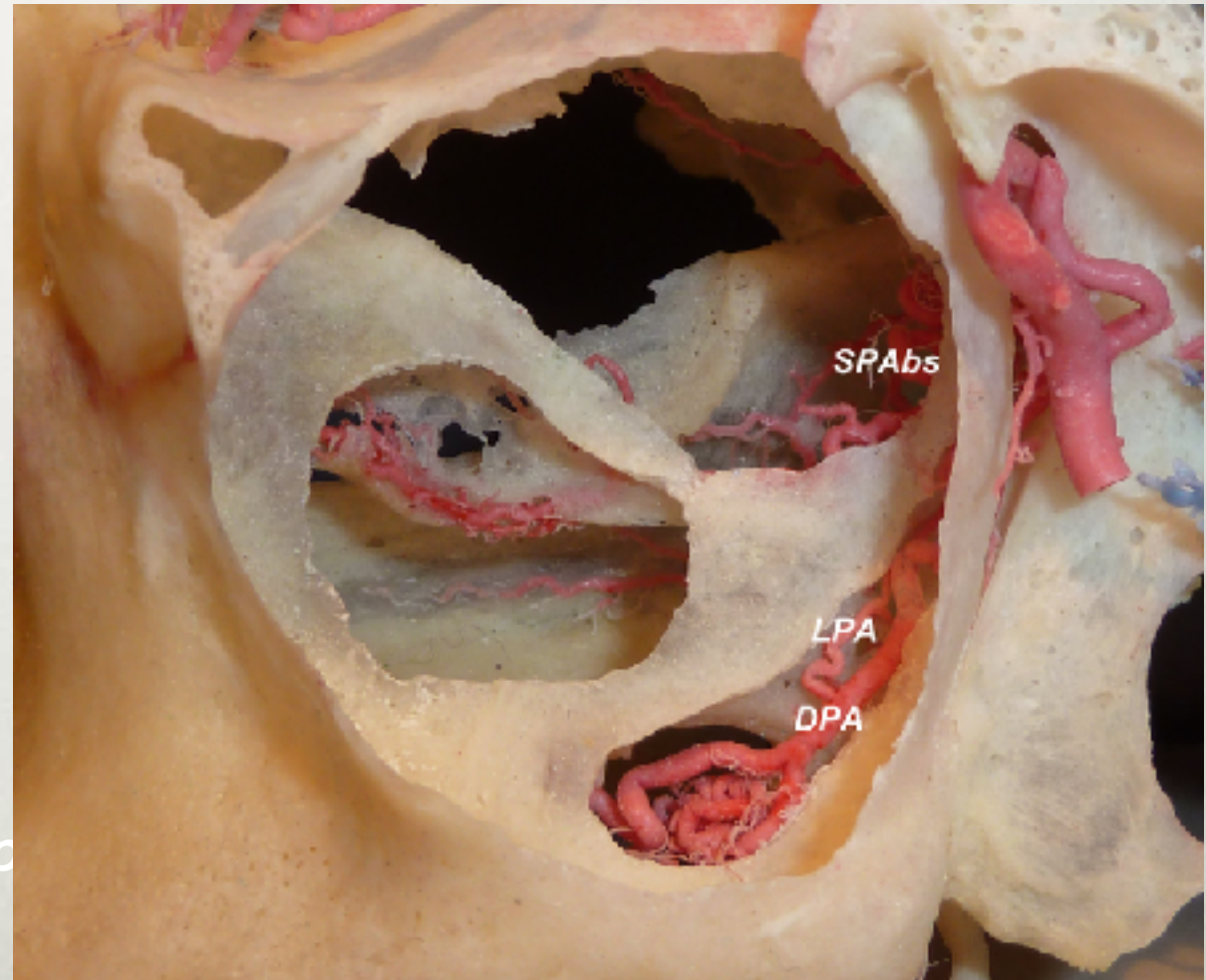
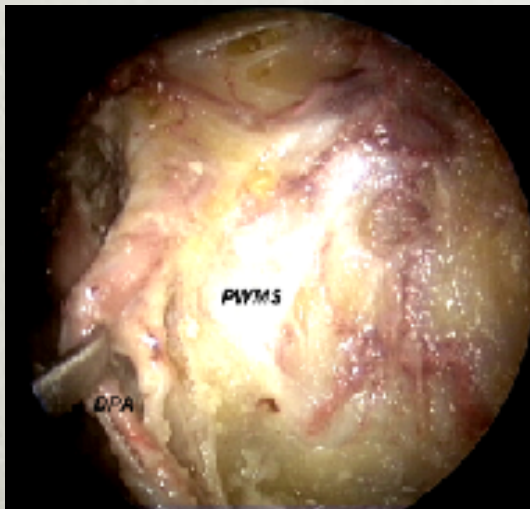
Lateral wall vascular network



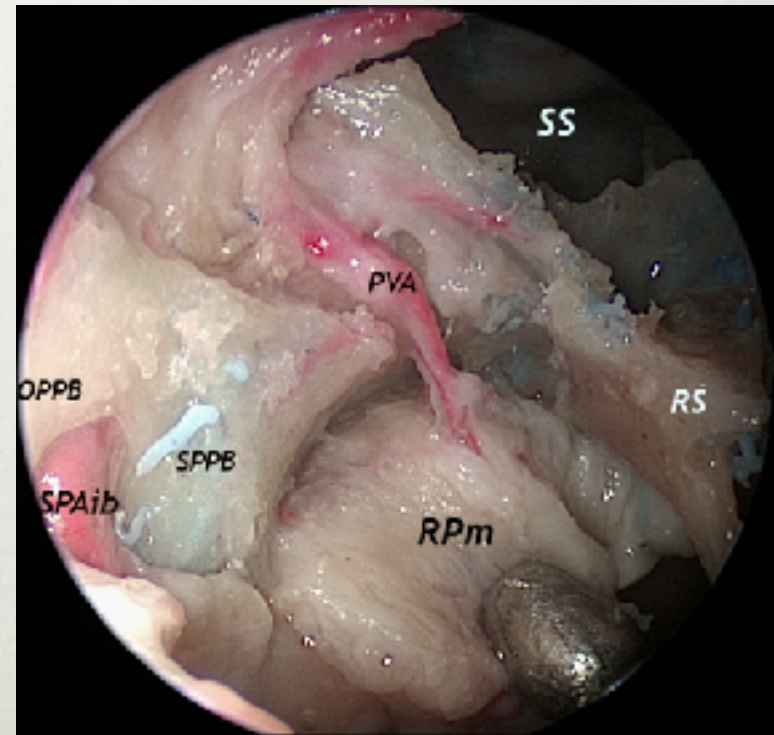
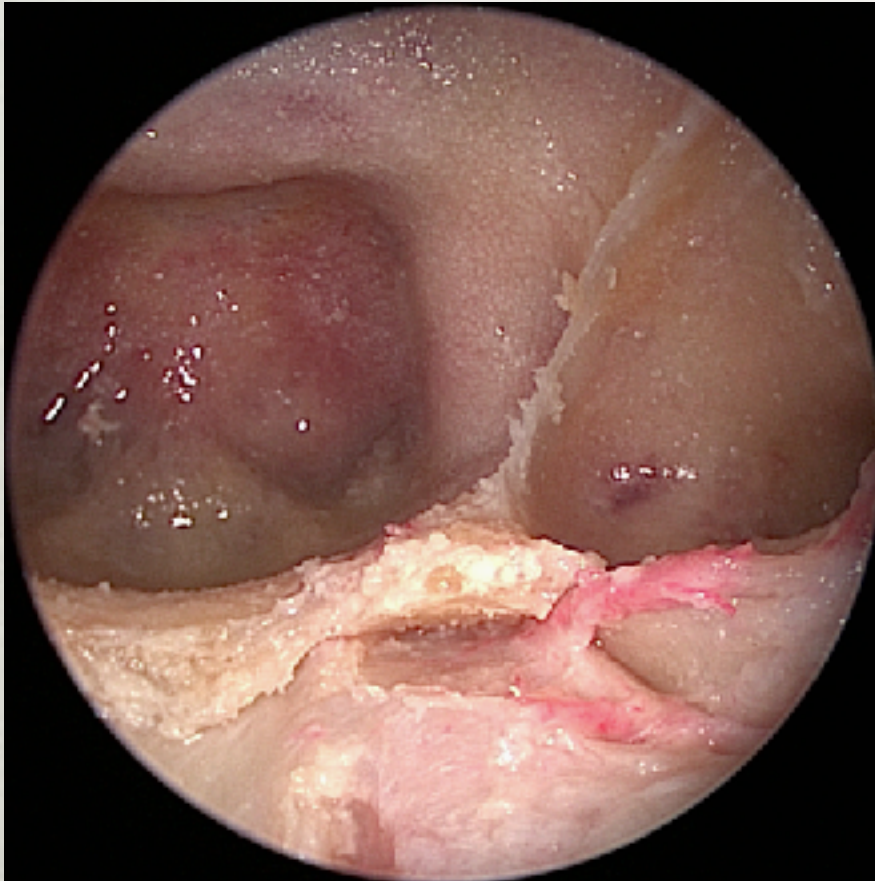
Anterior ethmoidal artery



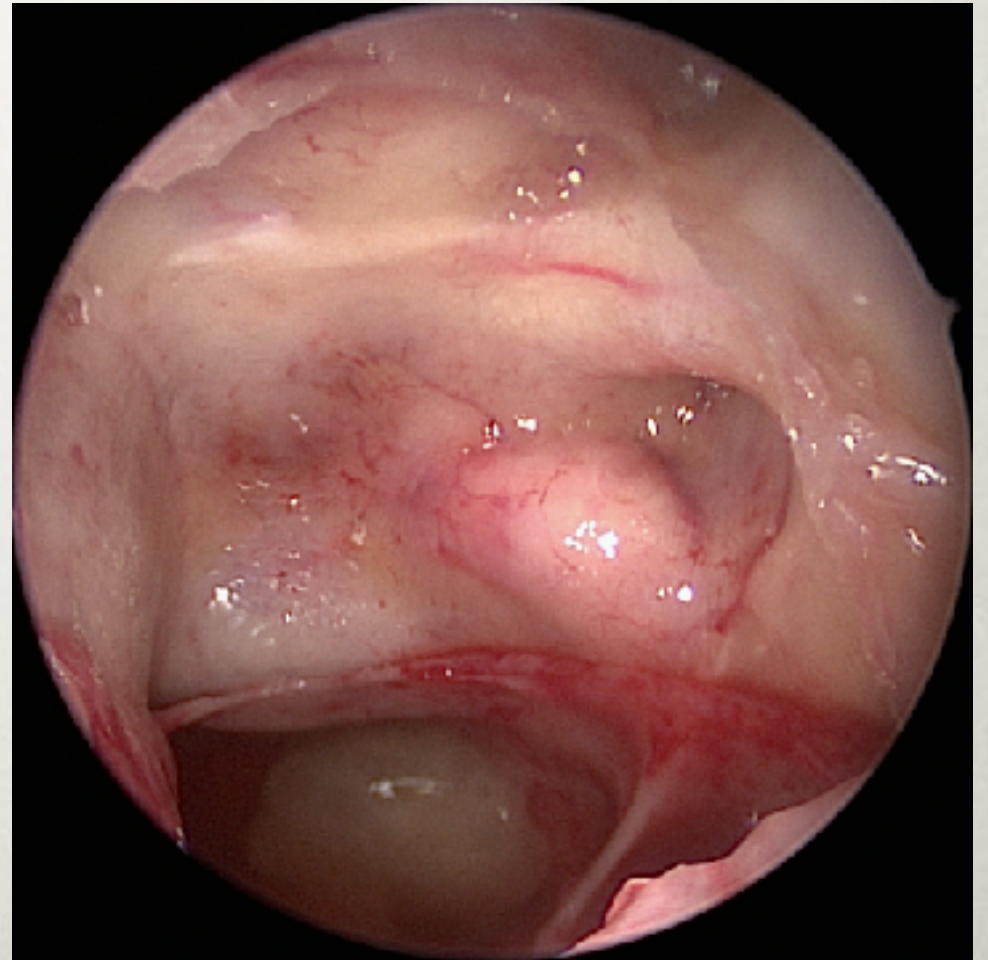
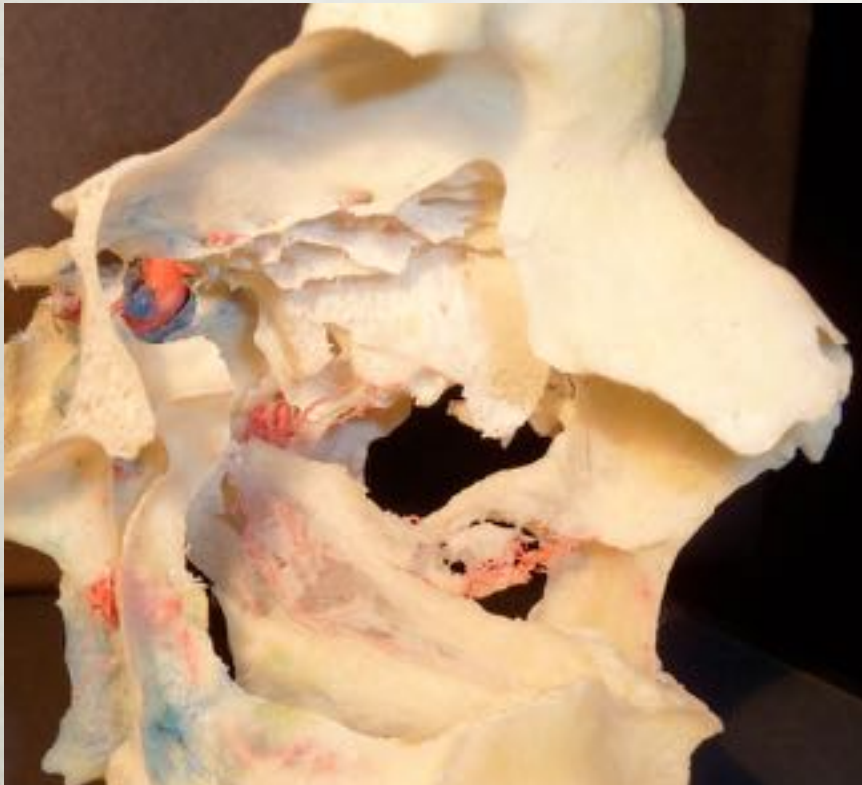
Descending palatine artery and lesser palatine artery



Palatovaginal artery

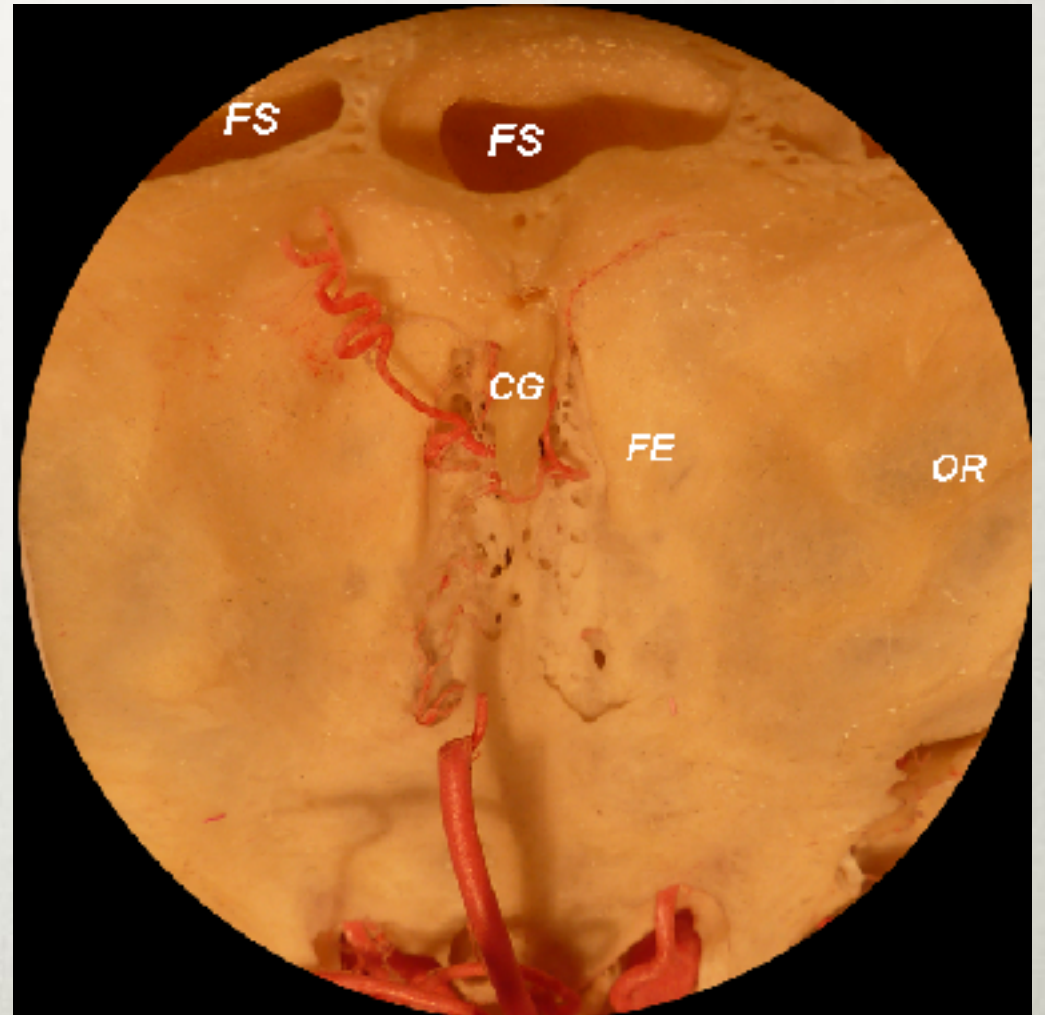
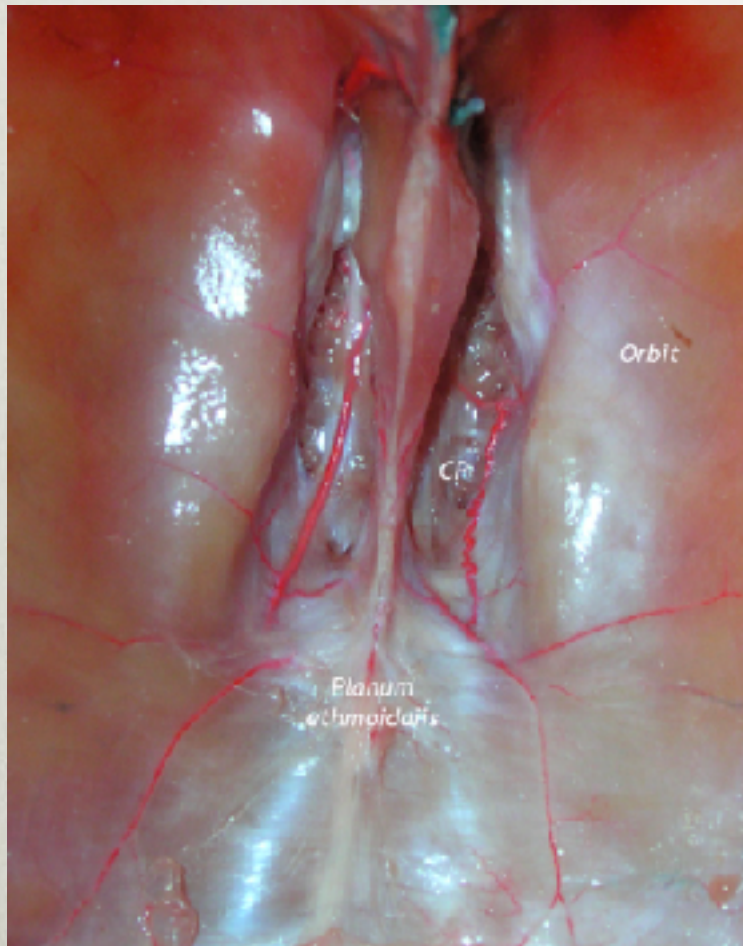


Posterior ethmoidal artery



Meningeal arteries

Cranial vision



Venous channels



